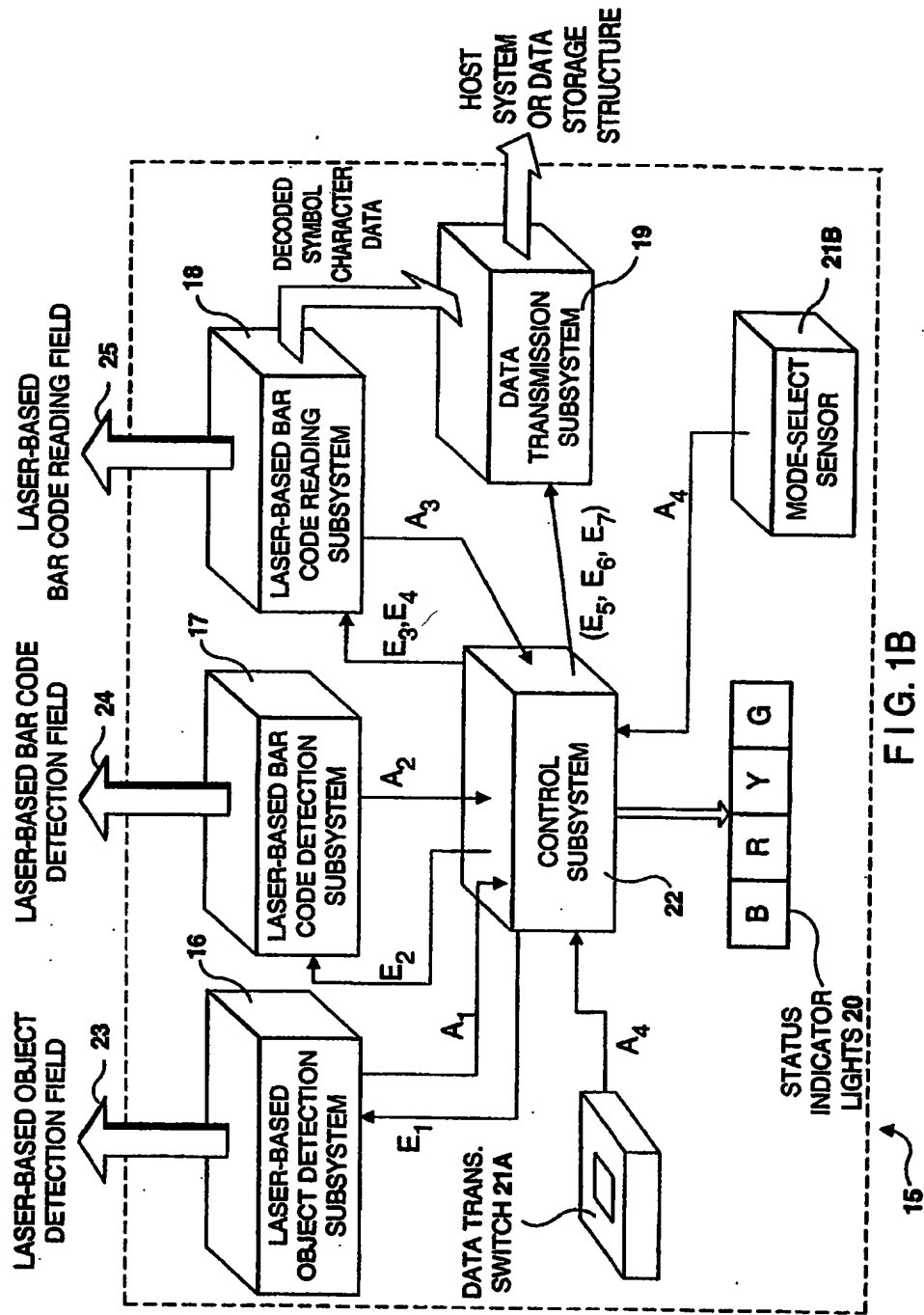


FIG. 1A



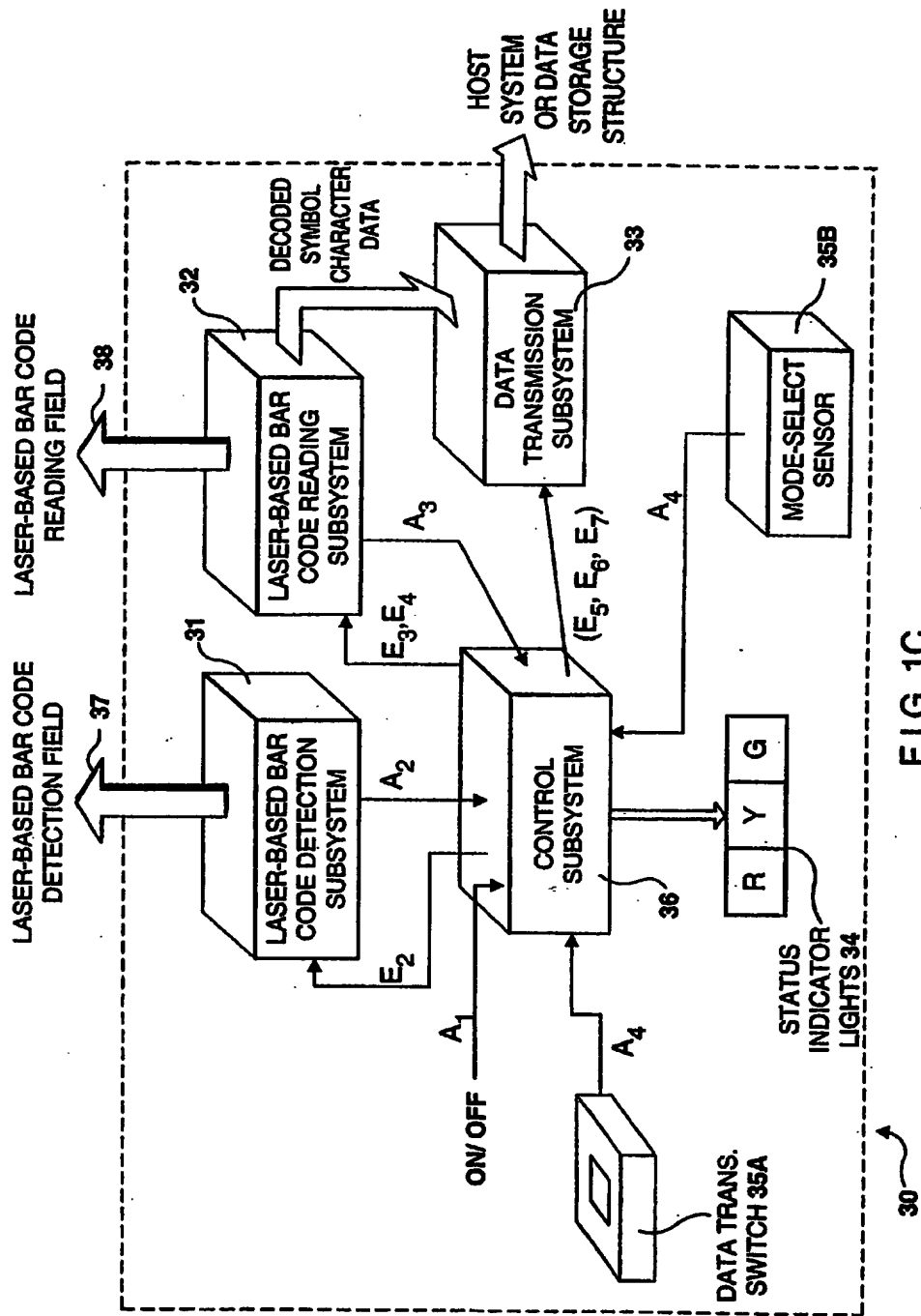


FIG. 1C

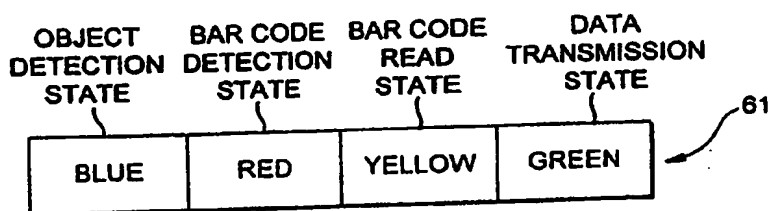
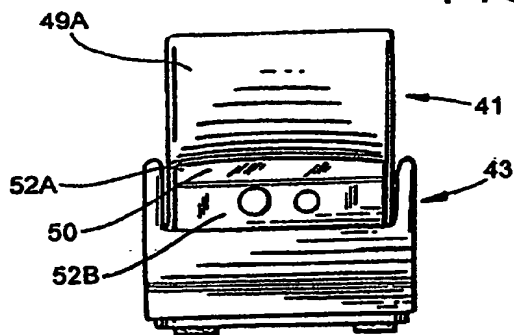
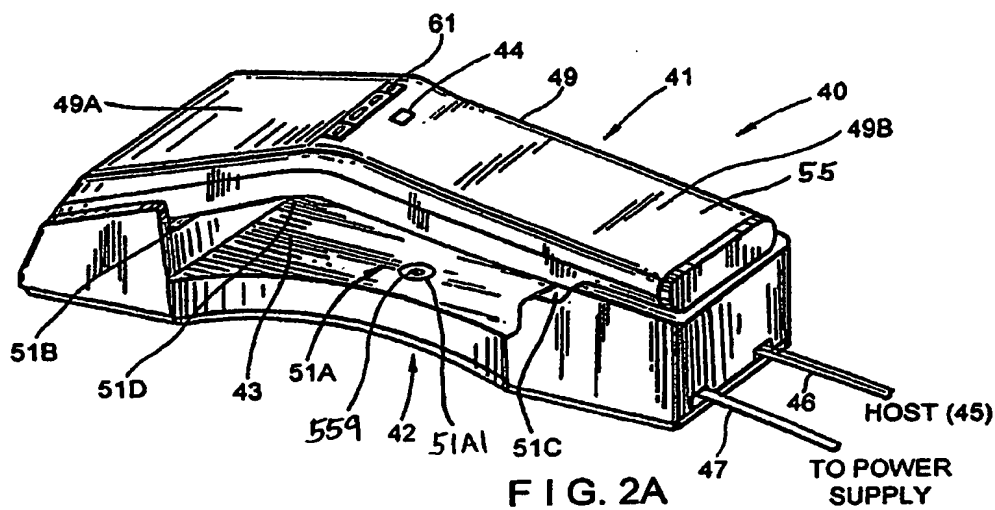
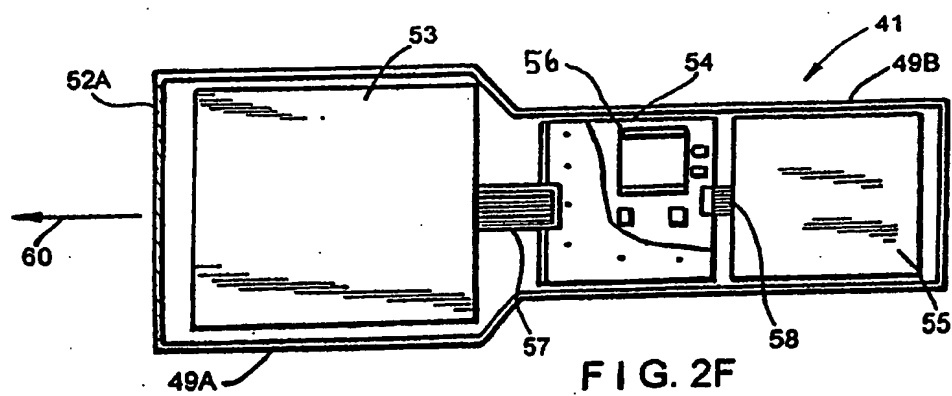
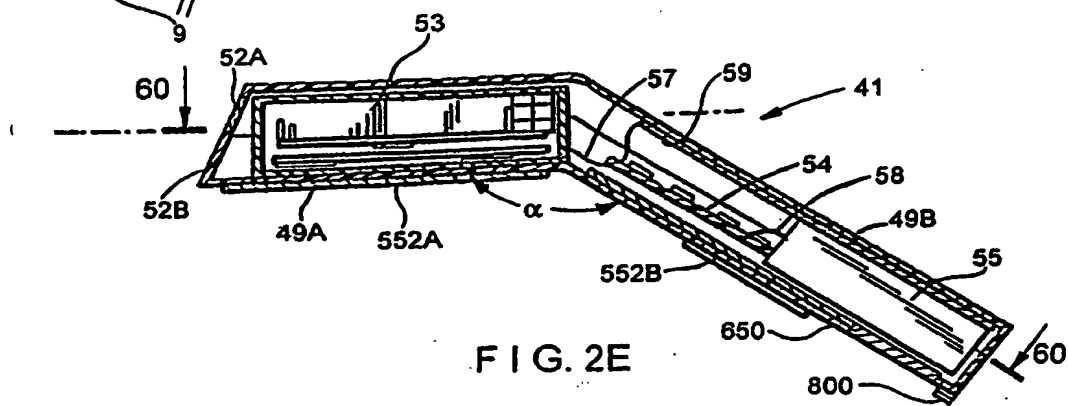
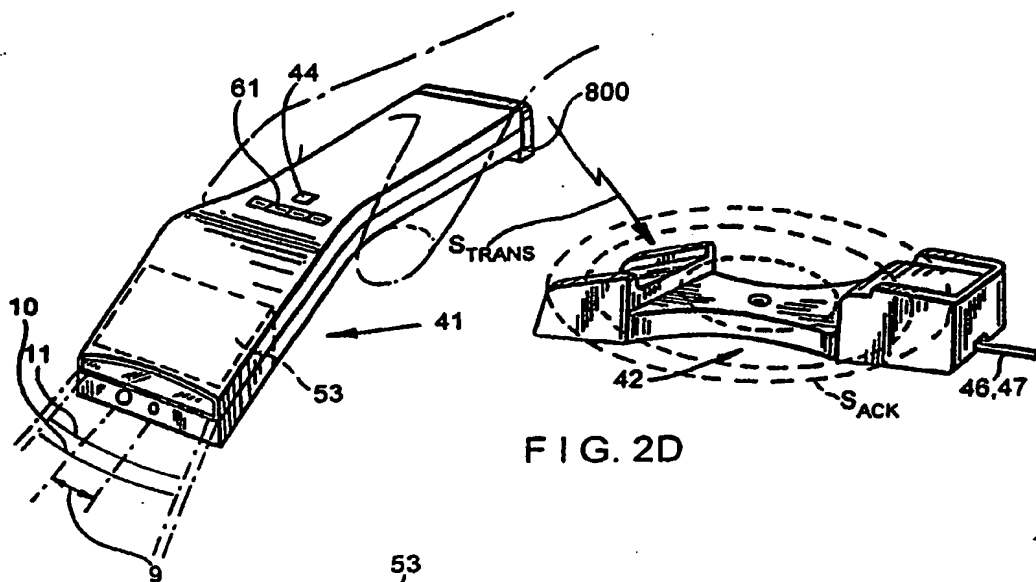
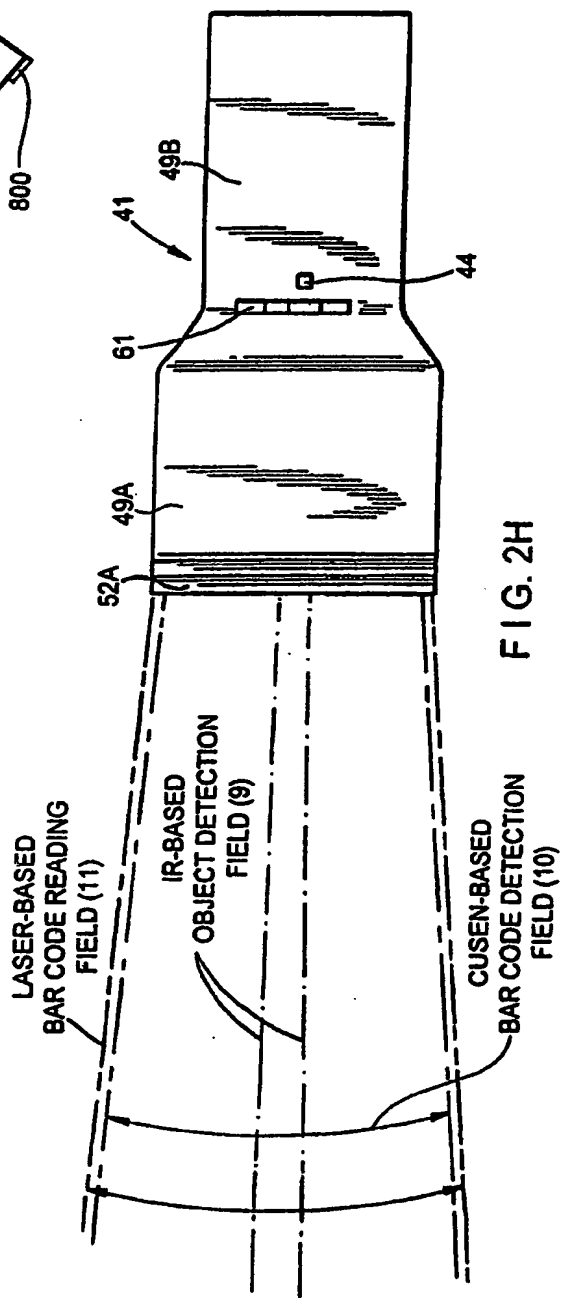
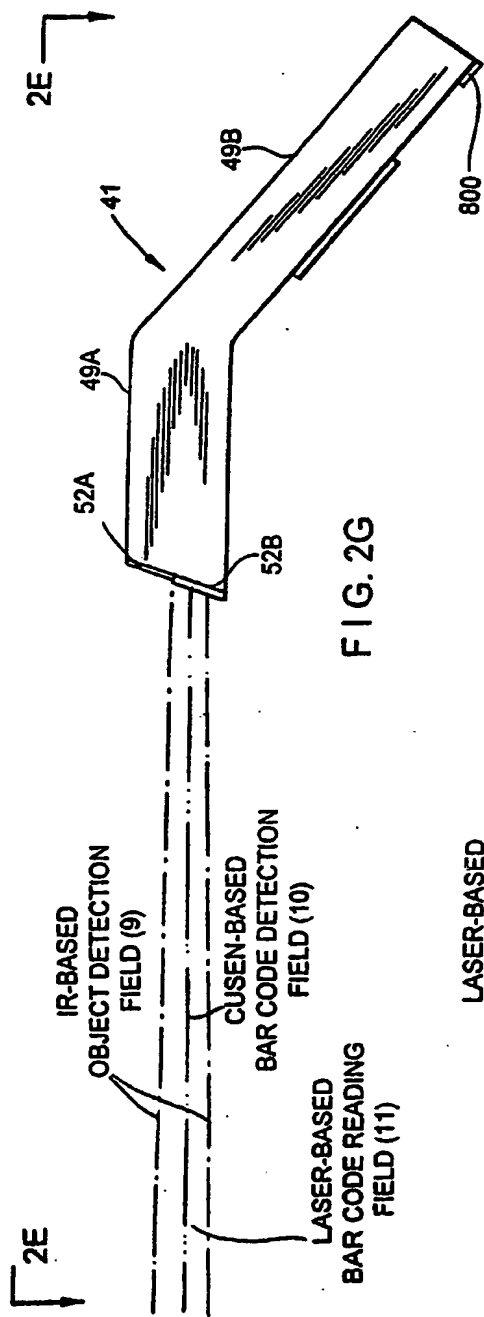
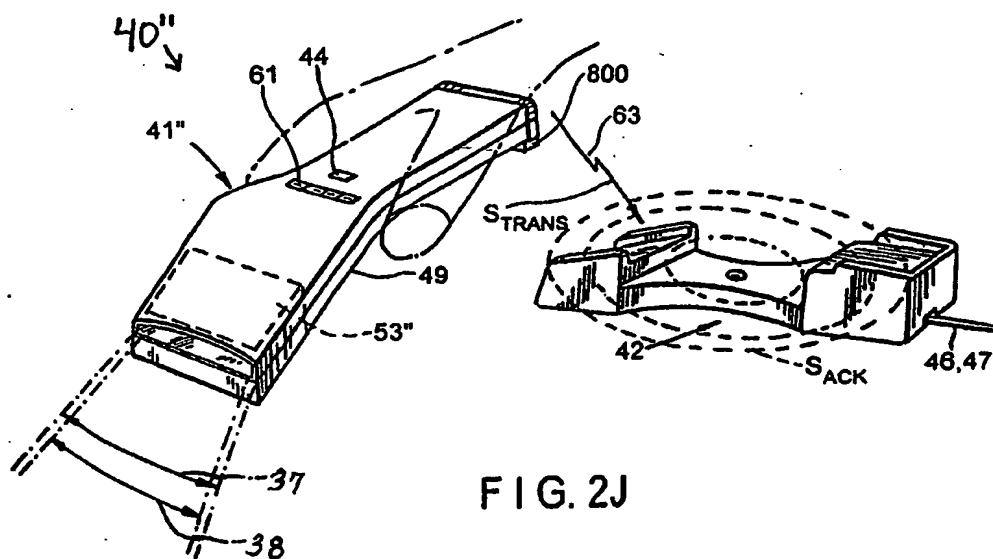
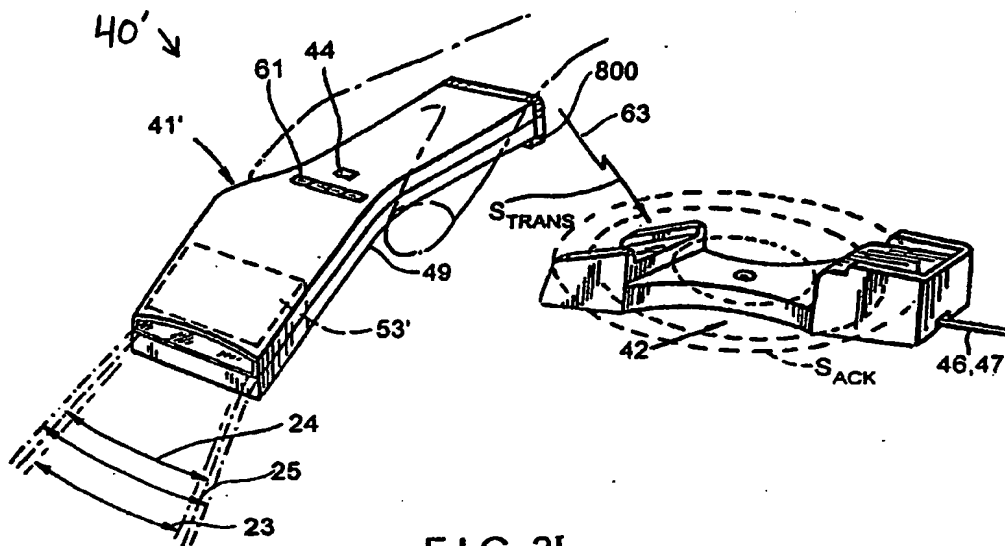
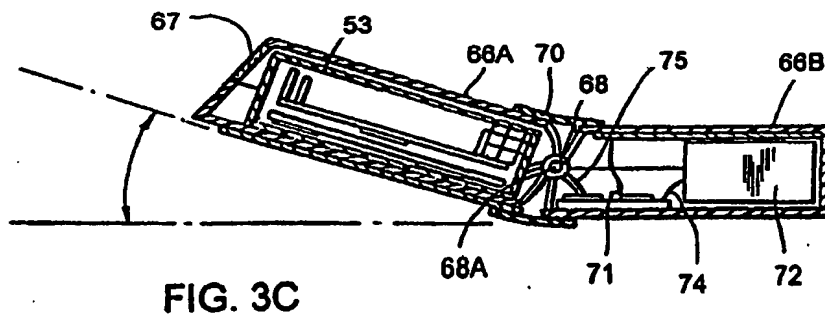
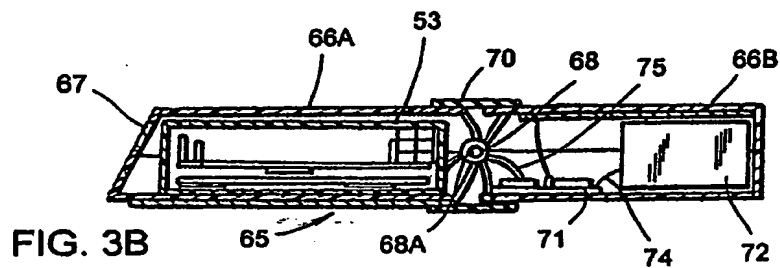
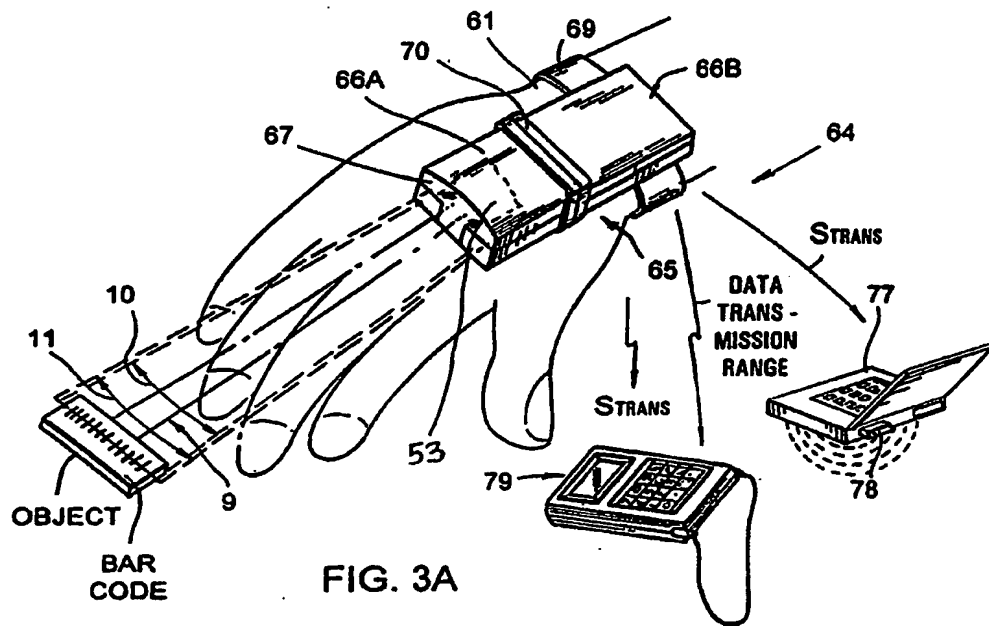


FIG. 2C









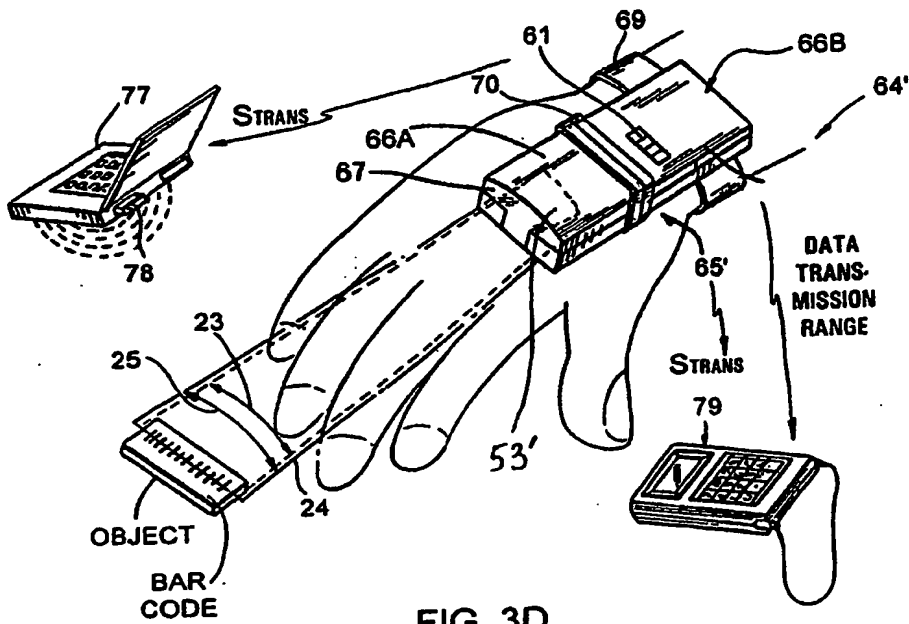


FIG. 3D

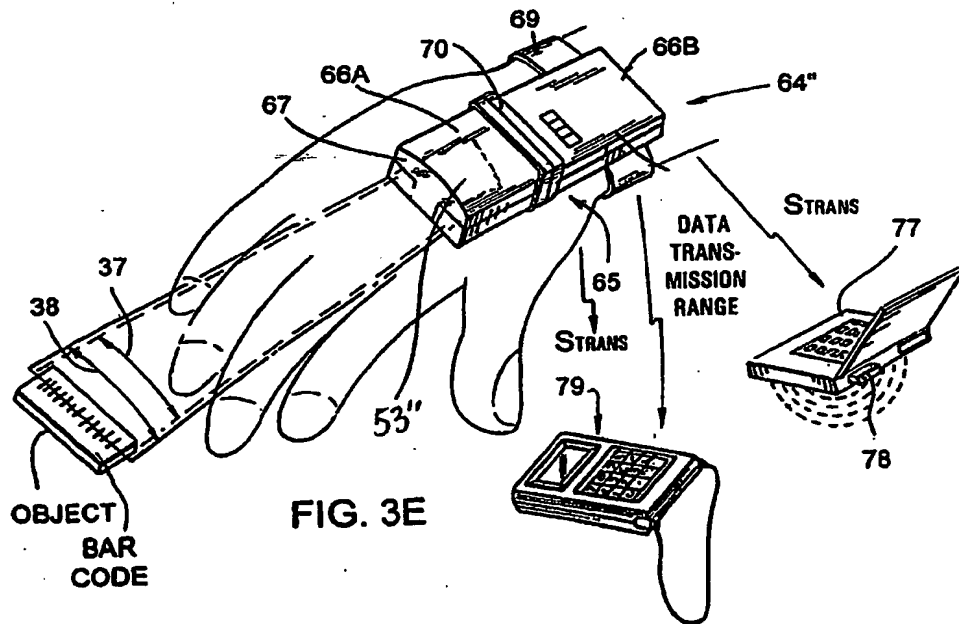
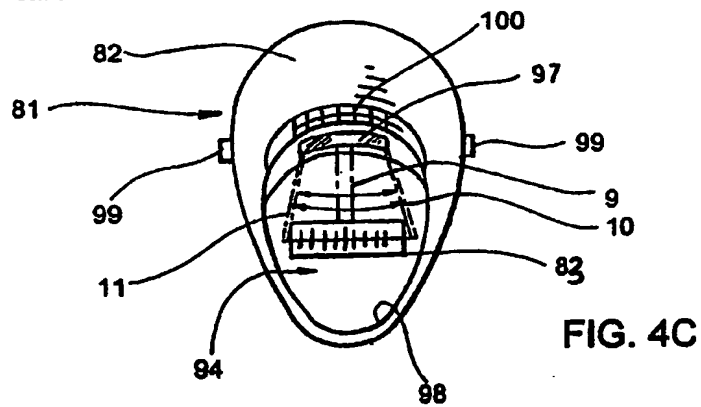
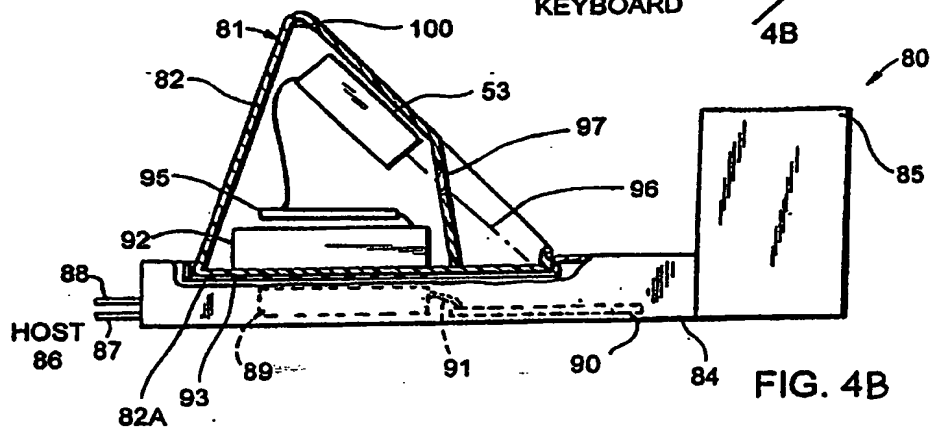
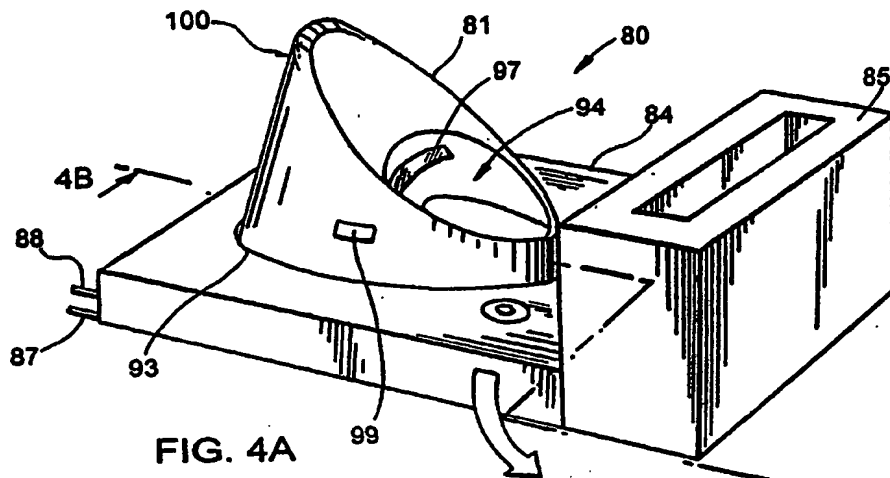
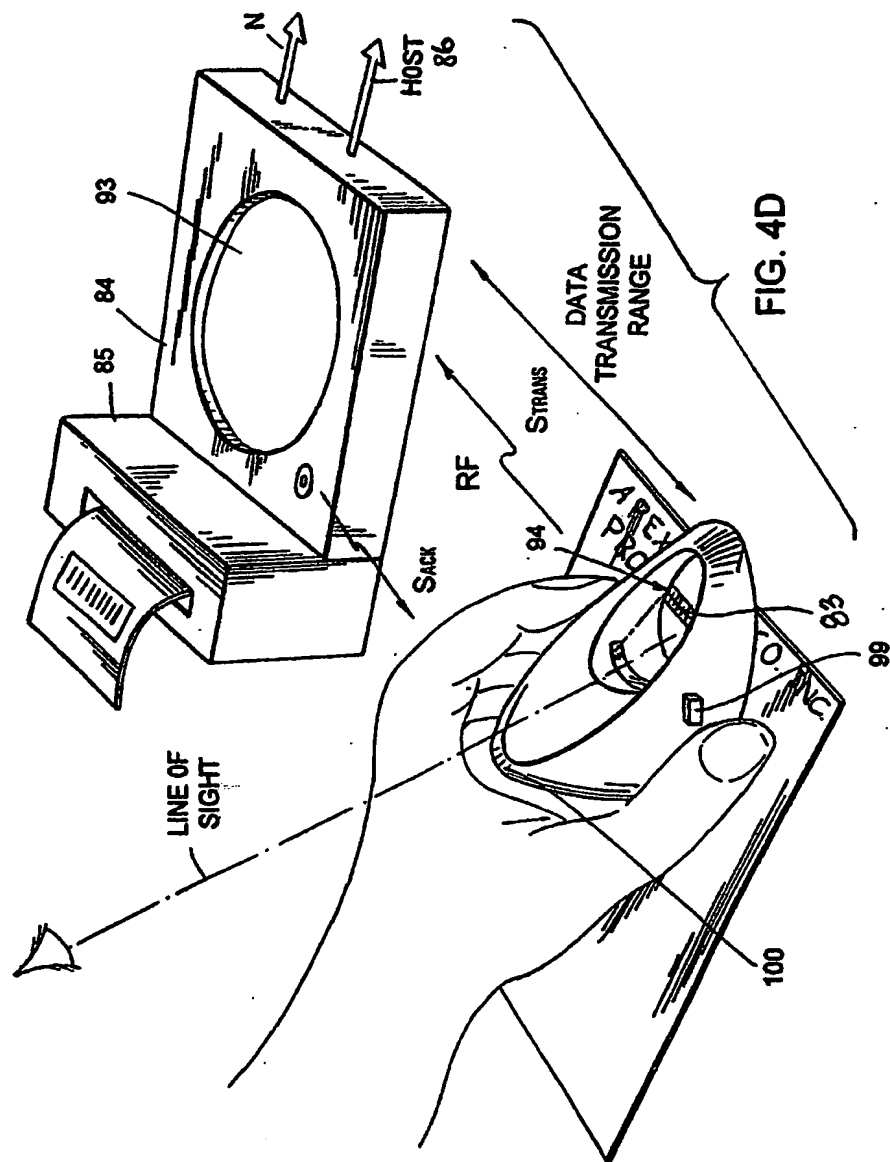


FIG. 3E





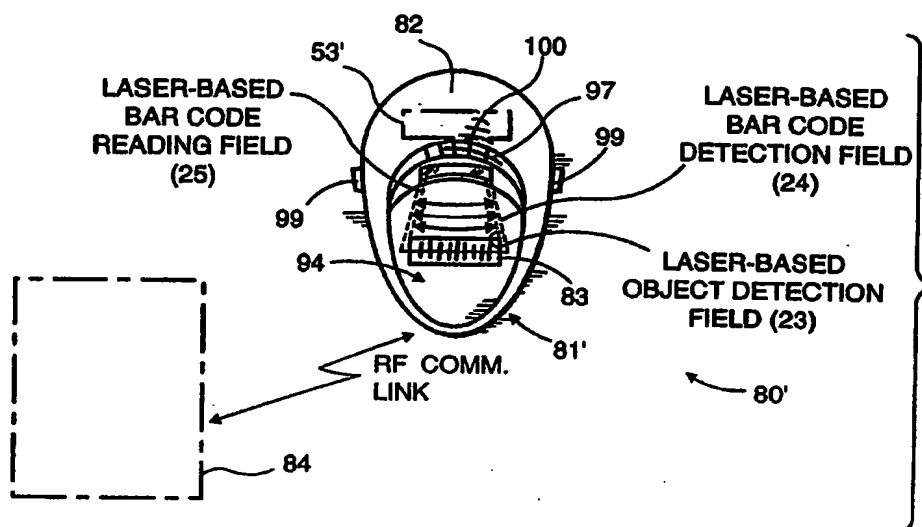


FIG. 4E

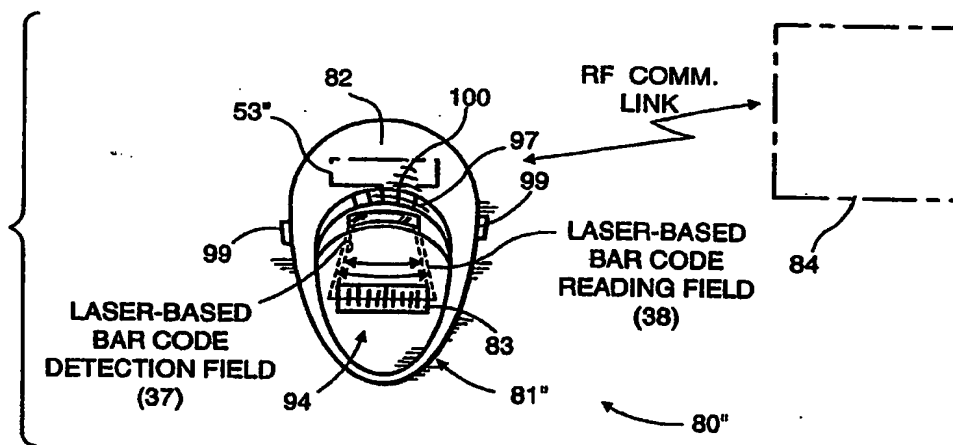


FIG. 4F

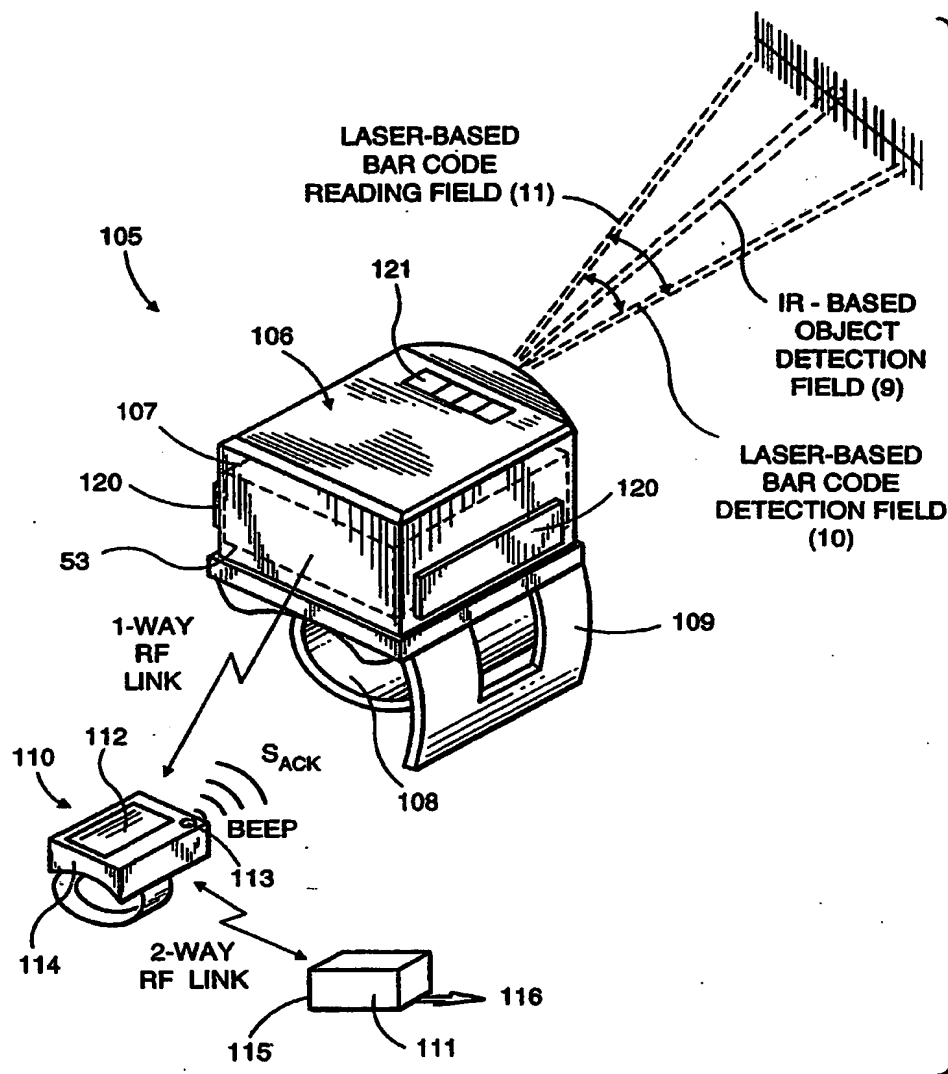


FIG. 5A

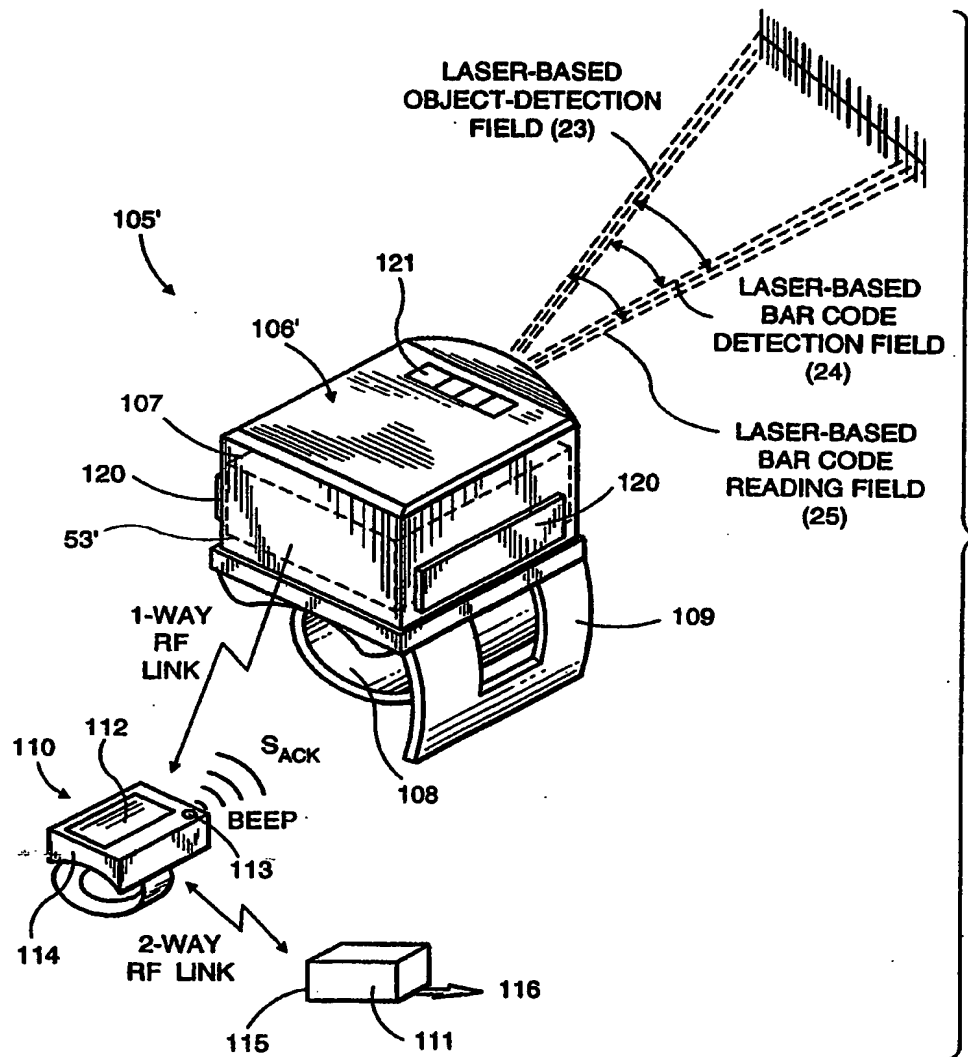


FIG. 5B

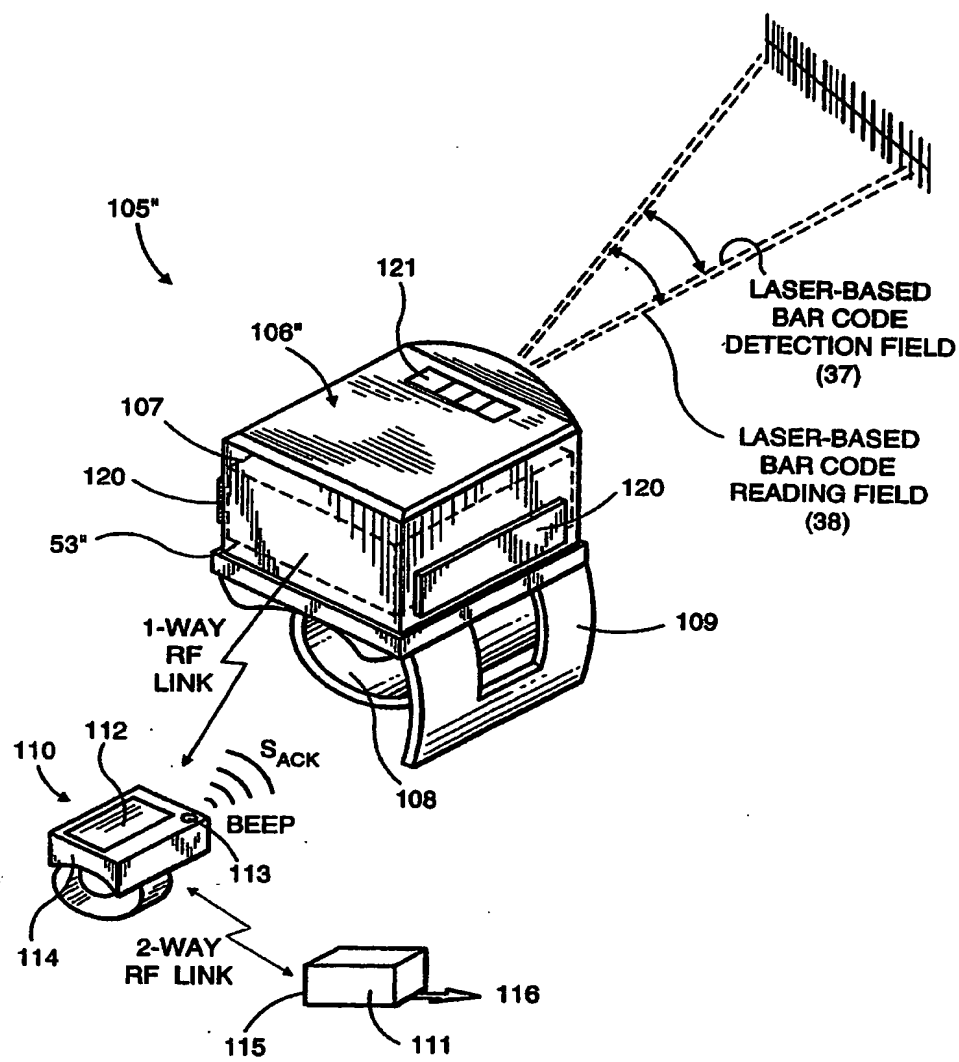


FIG. 5C

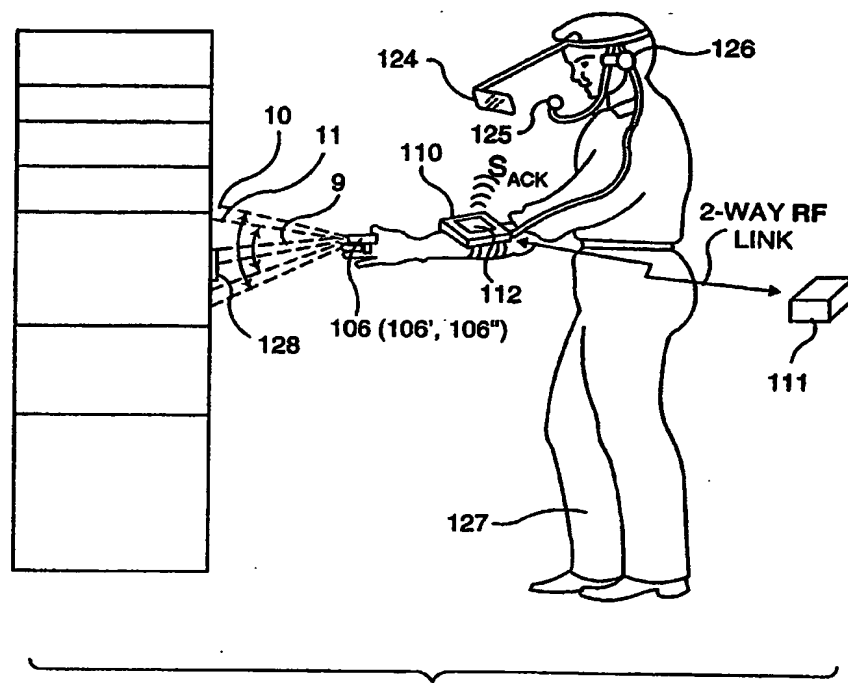


FIG. 5D

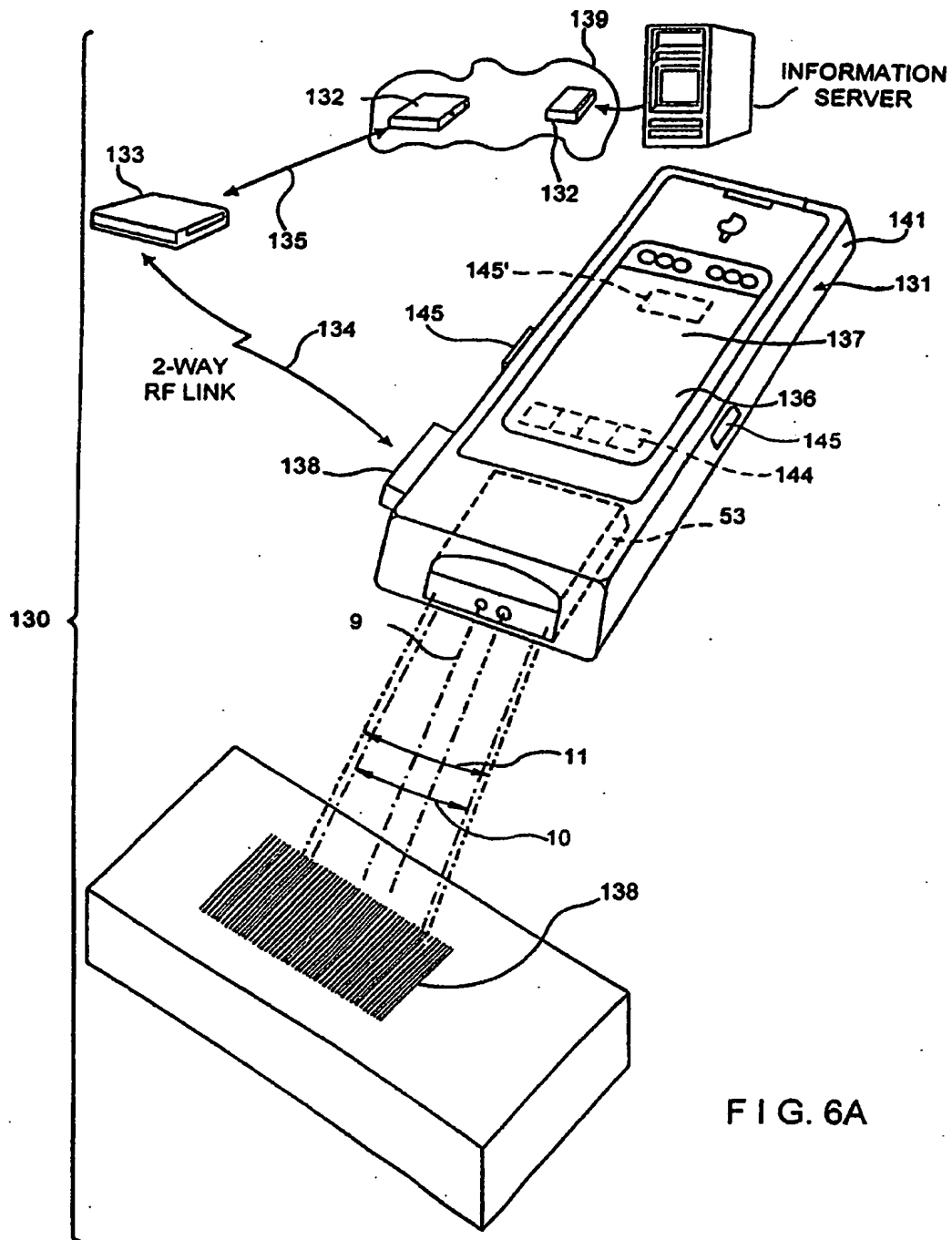
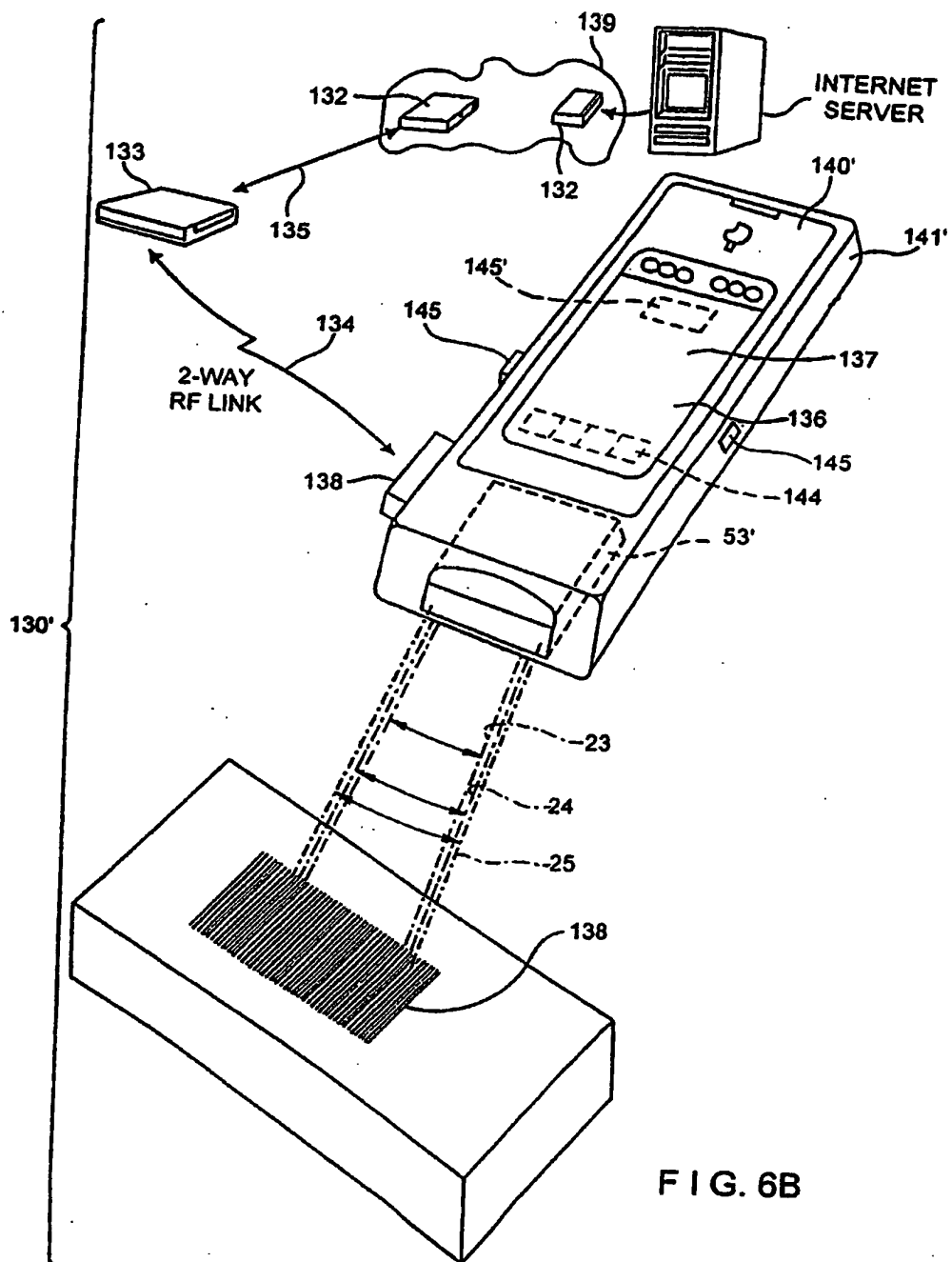


FIG. 6A



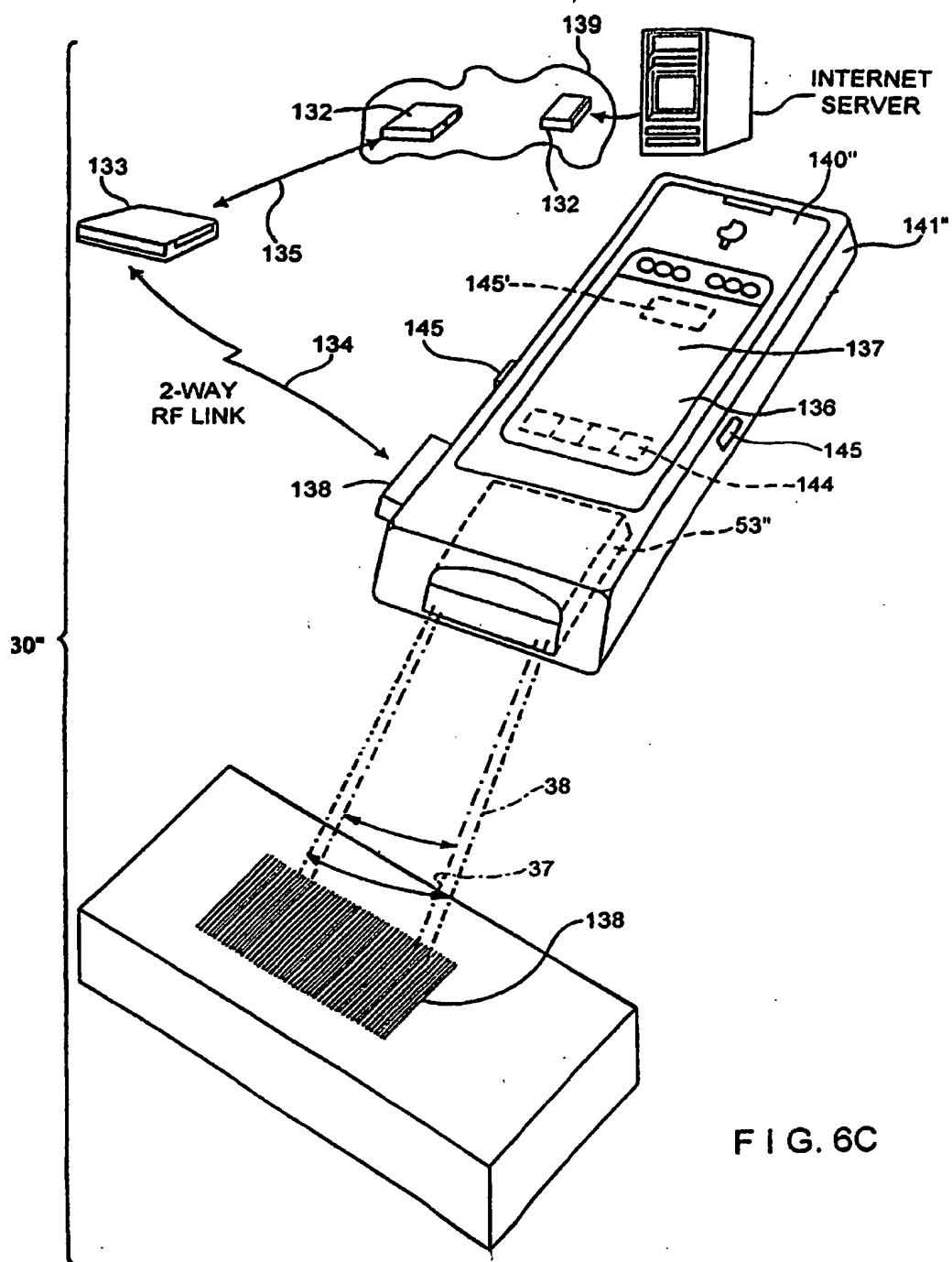


FIG. 6C

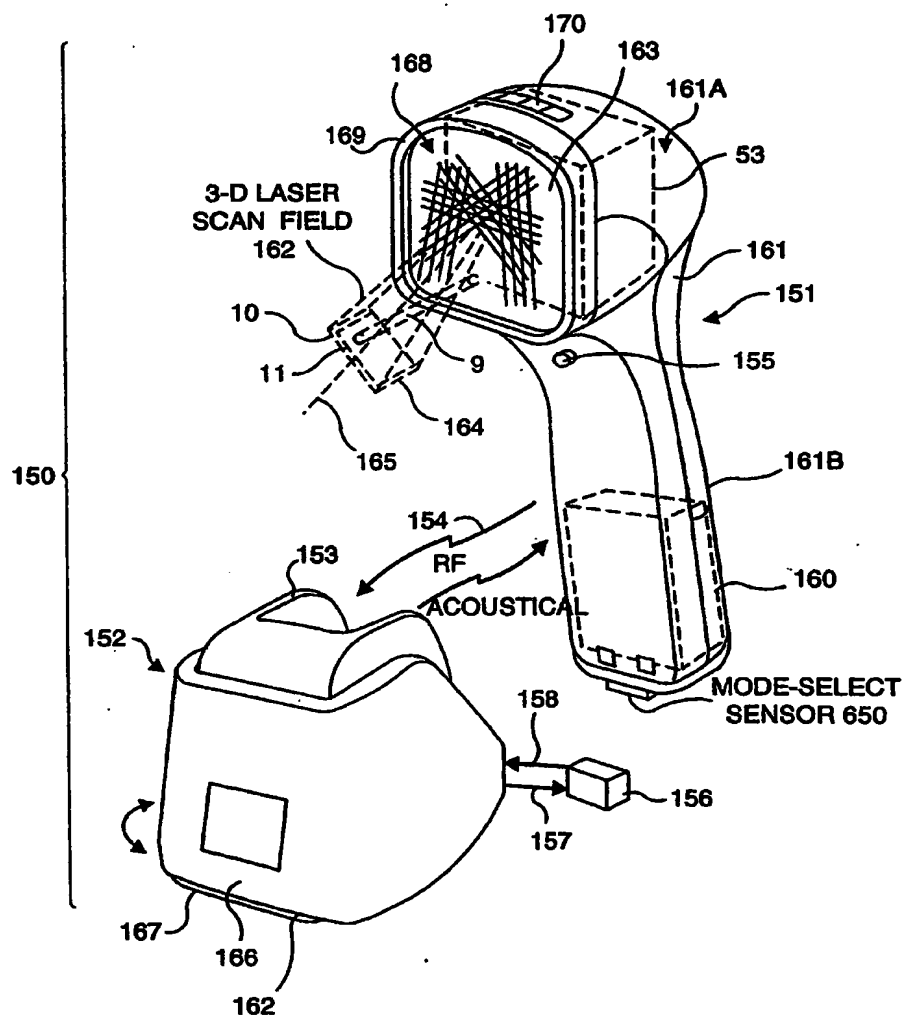


FIG. 7A

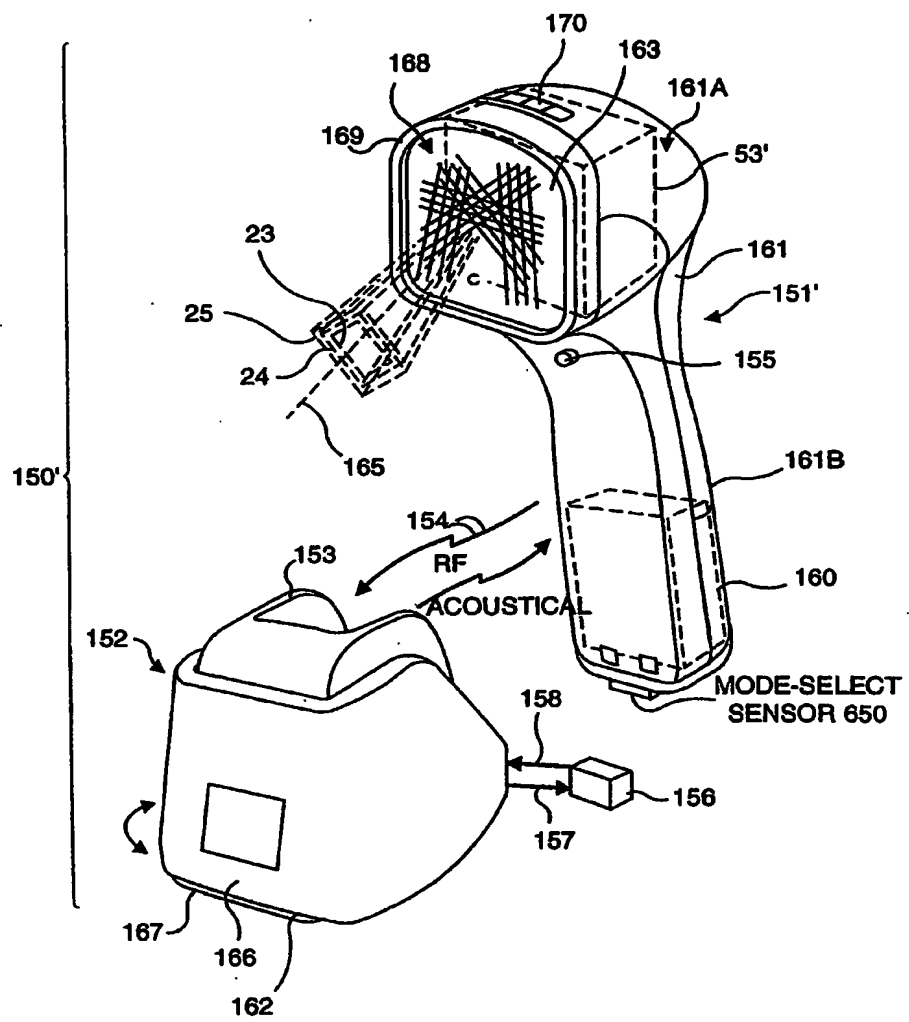


FIG. 7B

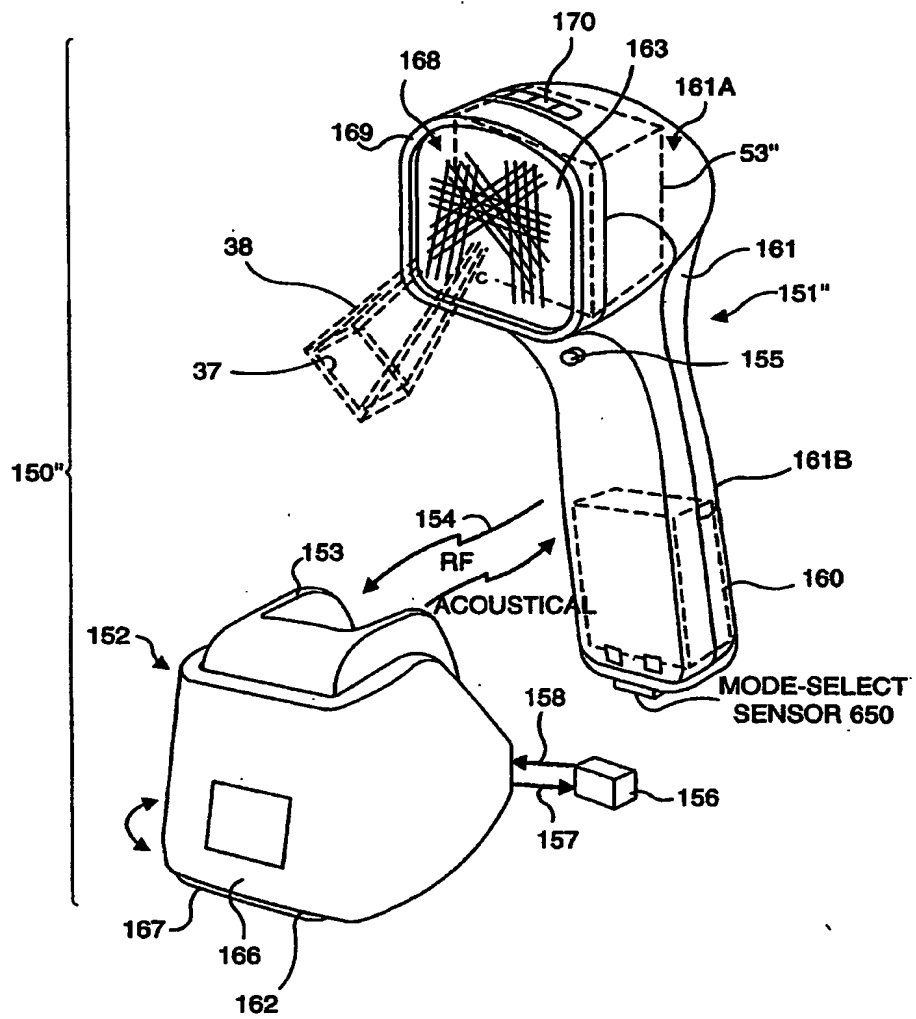


FIG. 7C

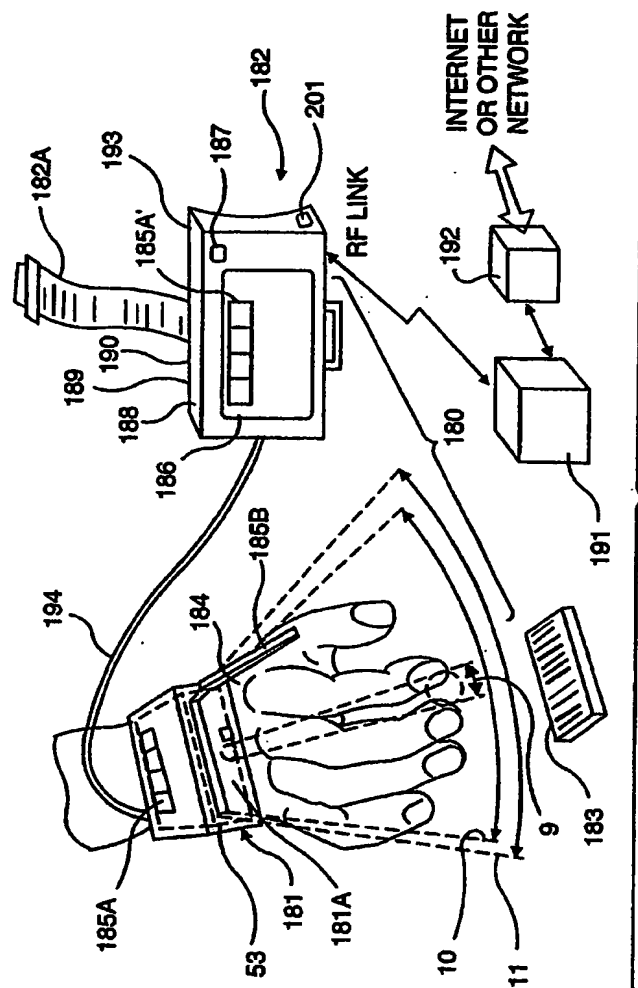


FIG. 8A

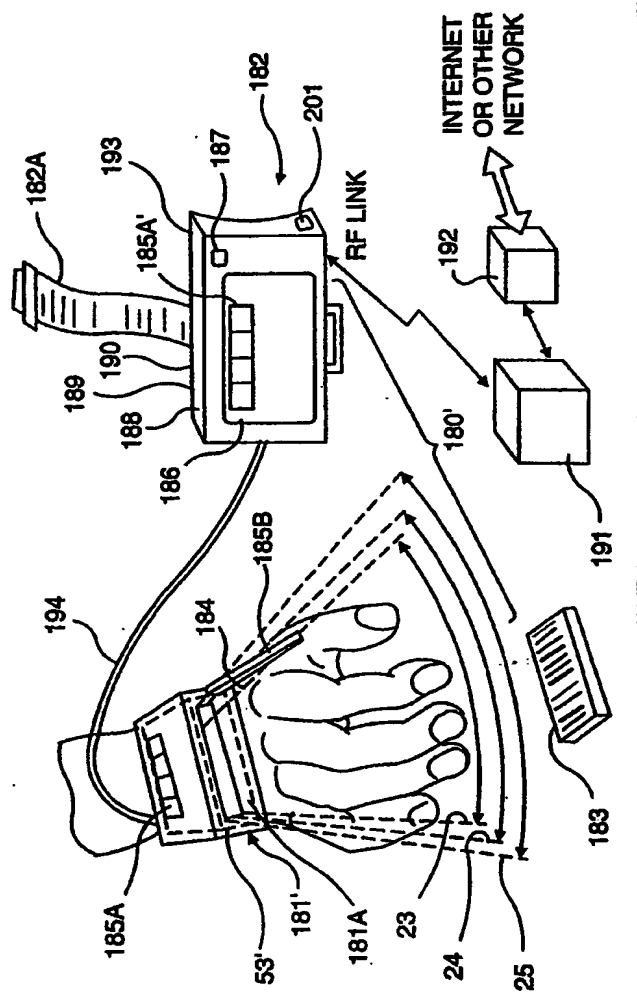


FIG. 8B

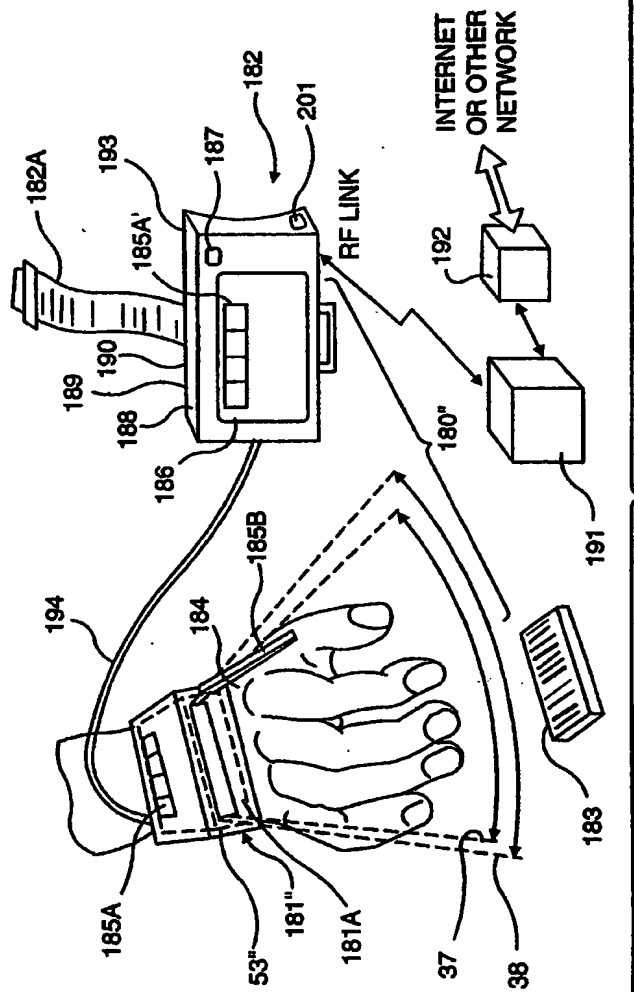


FIG. 8C

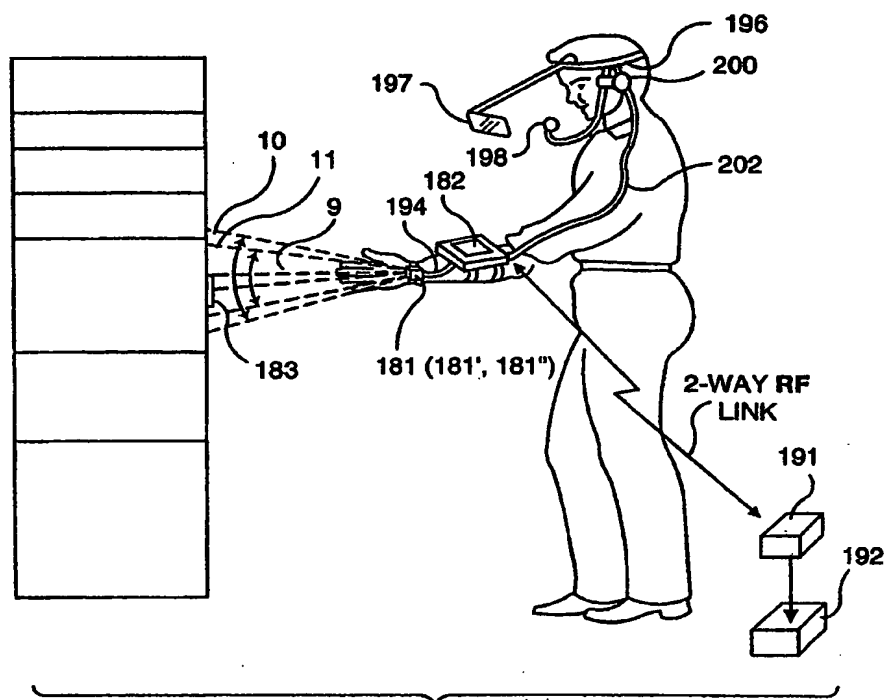
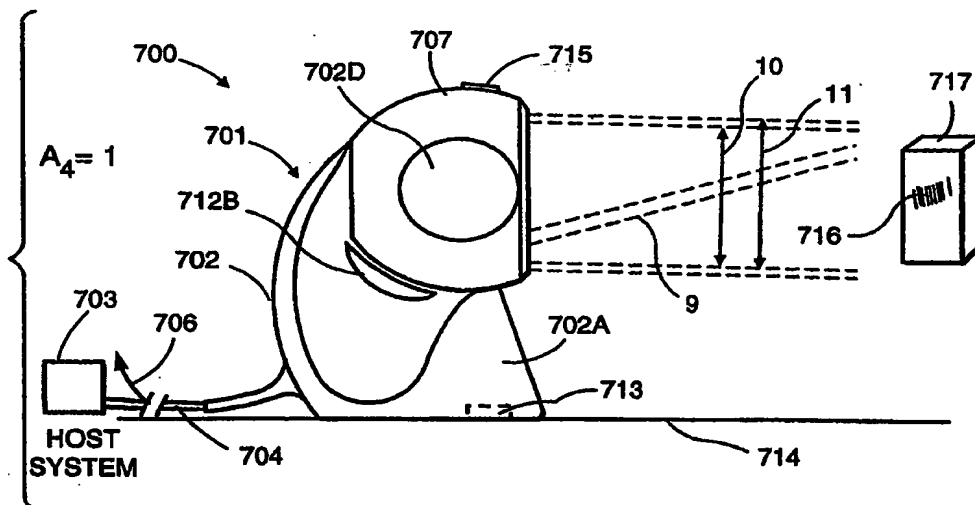
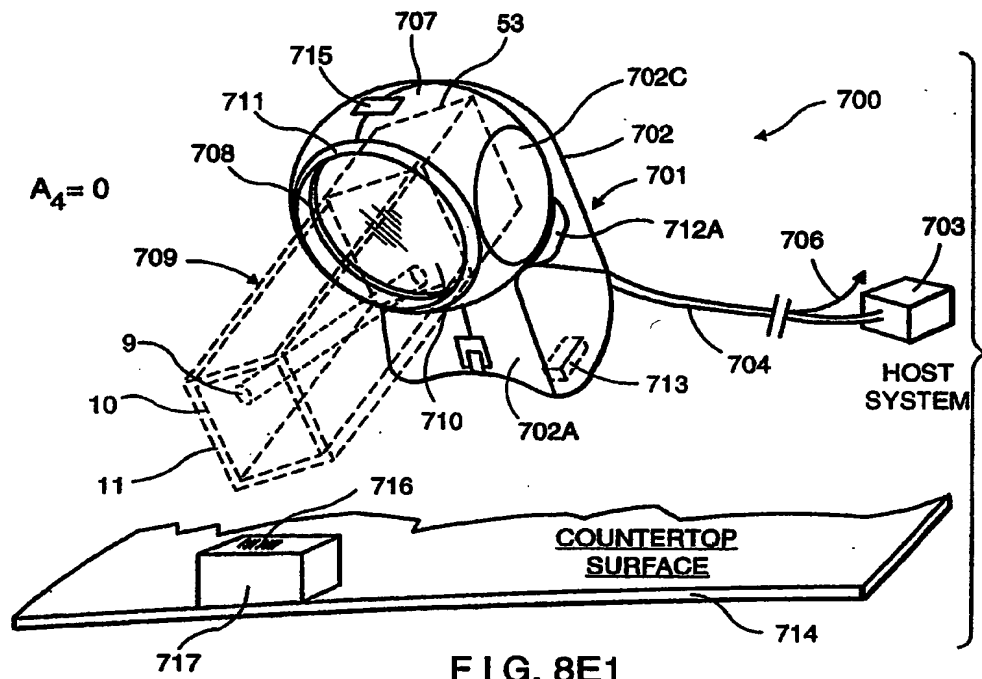


FIG. 8D



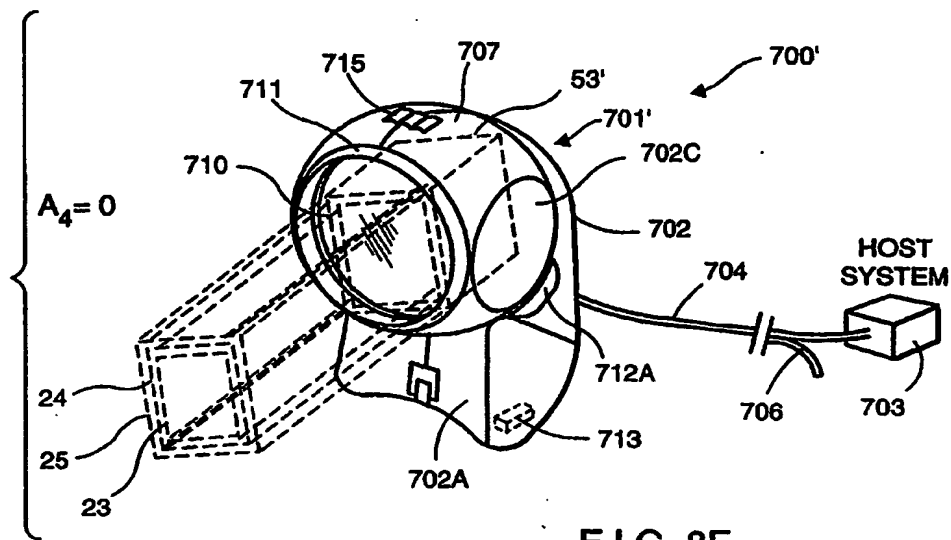


FIG. 8F

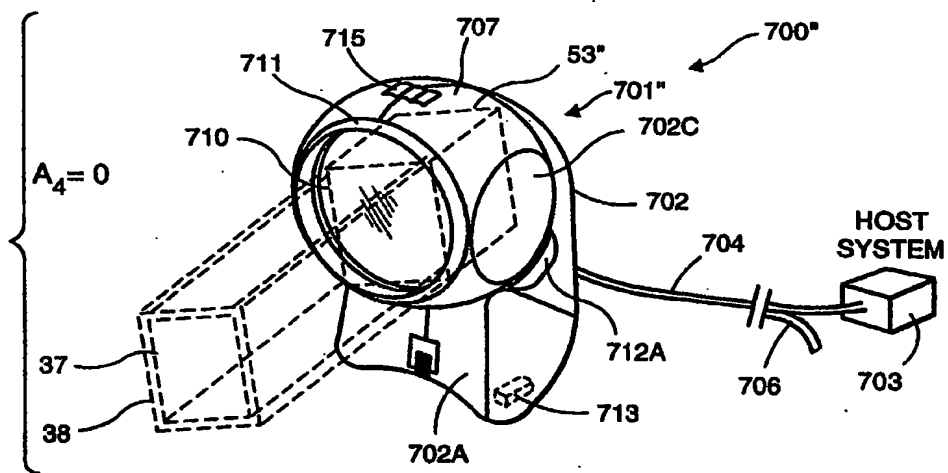


FIG. 8G

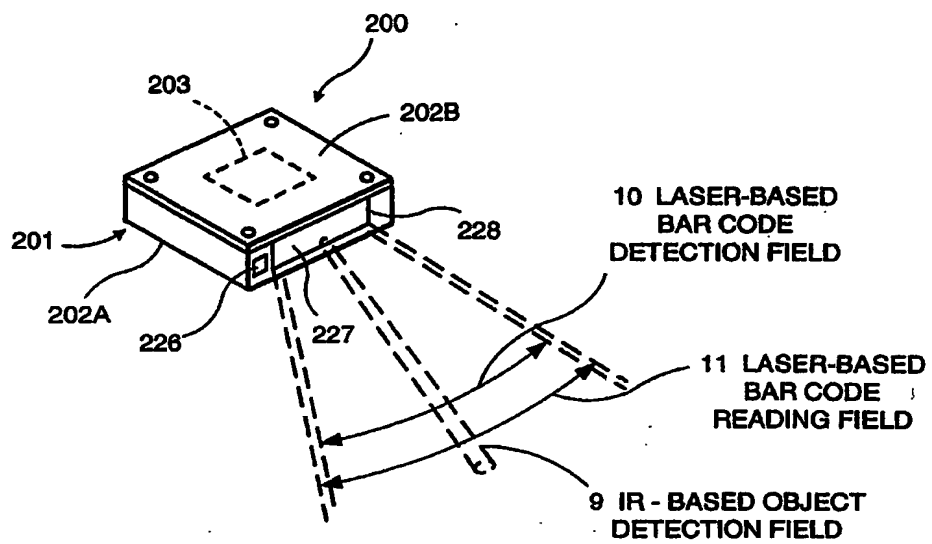


FIG. 9A

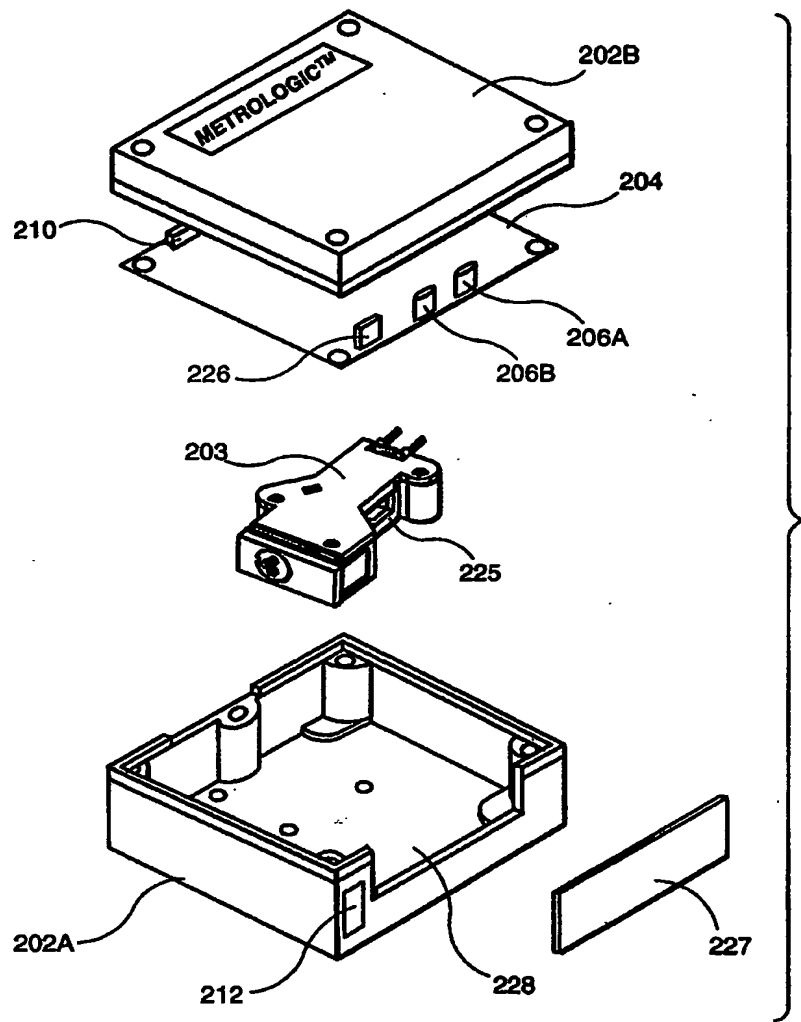


FIG. 9B

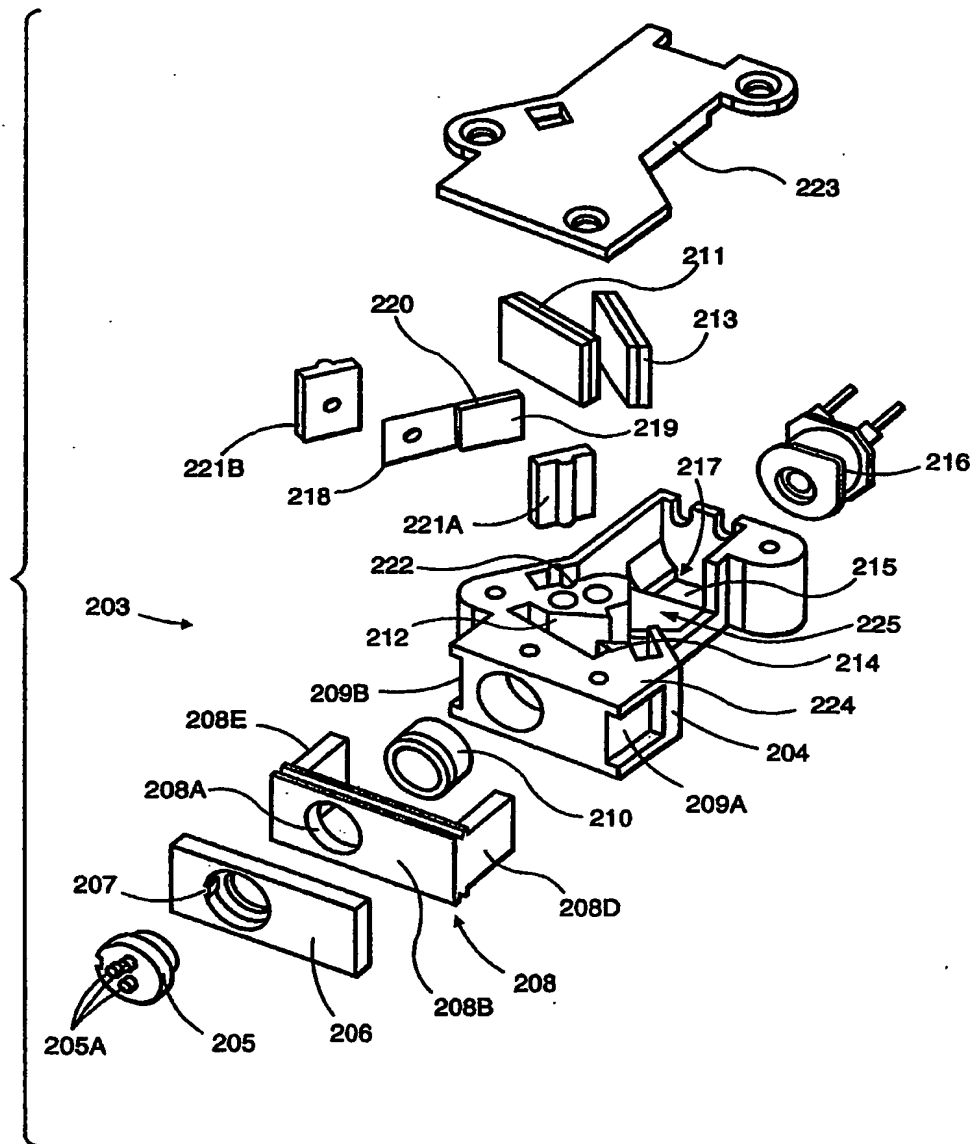


FIG. 9C

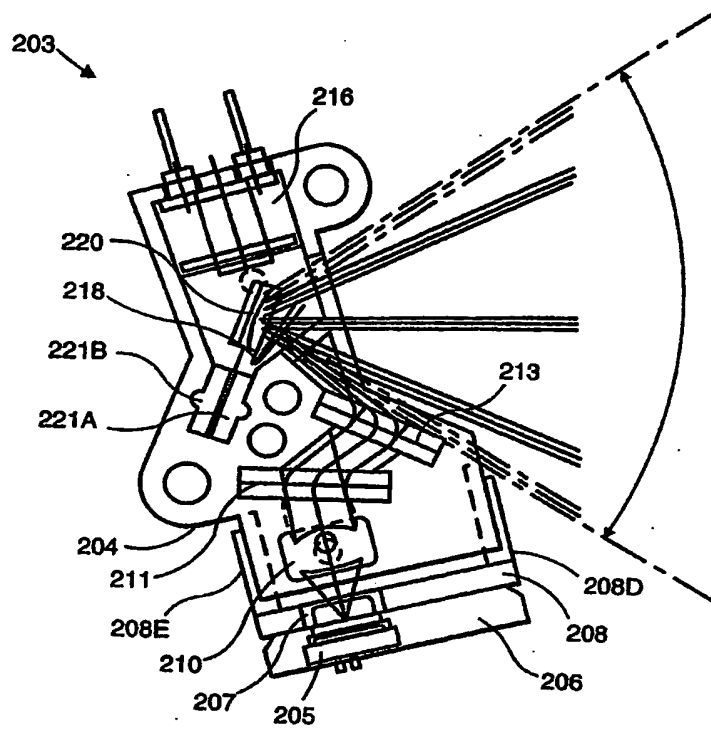


FIG. 9D

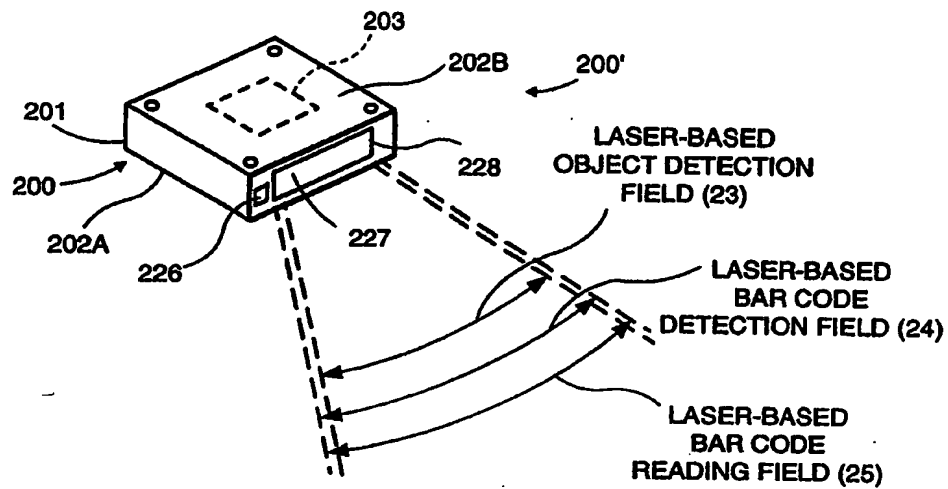


FIG. 9E

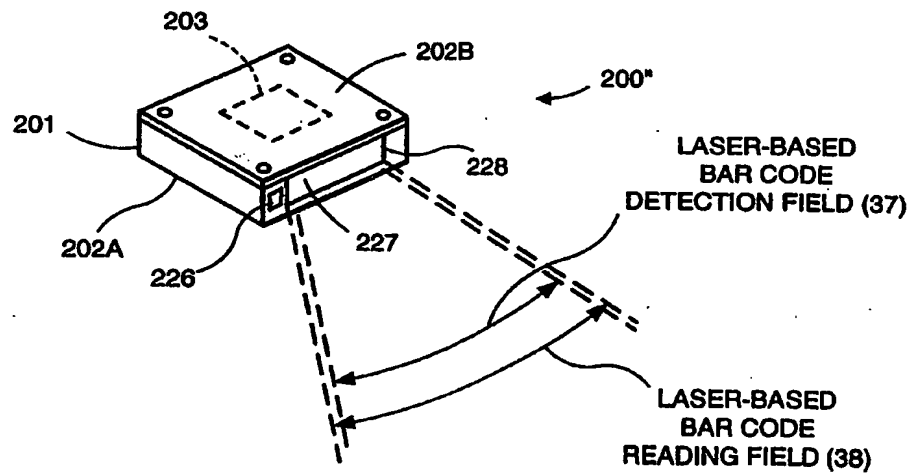


FIG. 9F

FIG. 10A

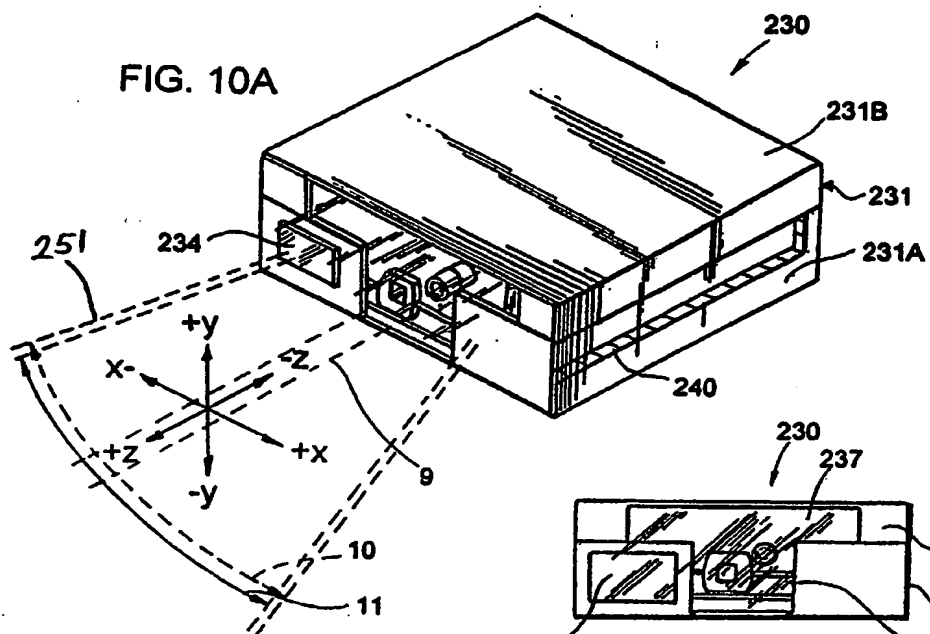


FIG. 10B

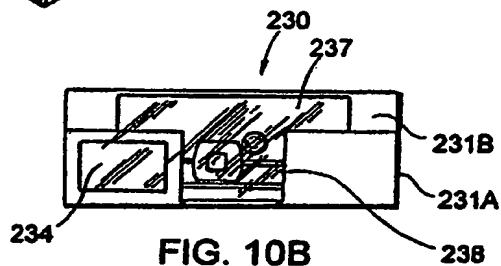


FIG. 10C

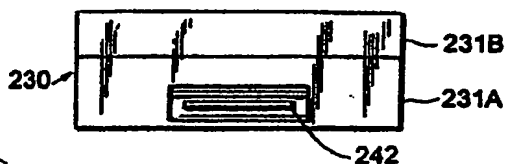


FIG. 10D

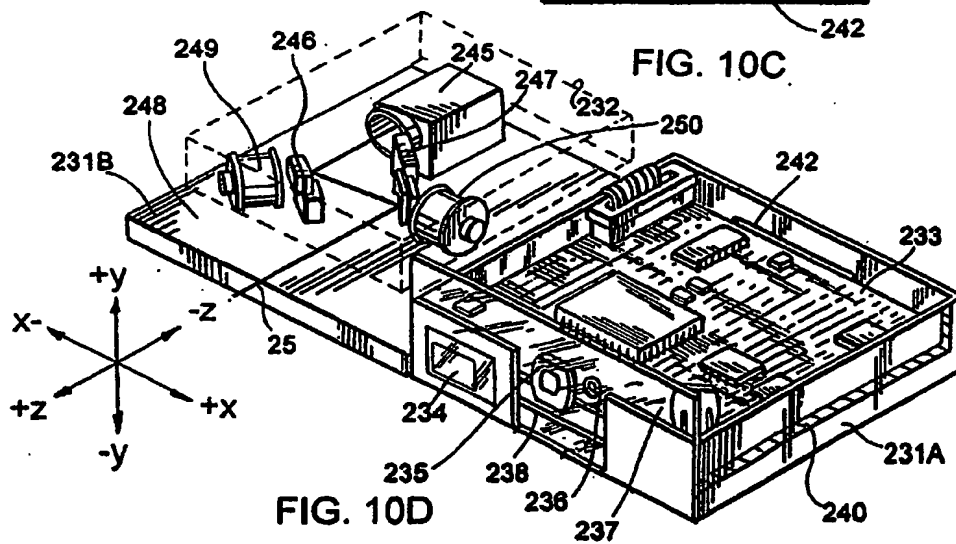


FIG. 10E

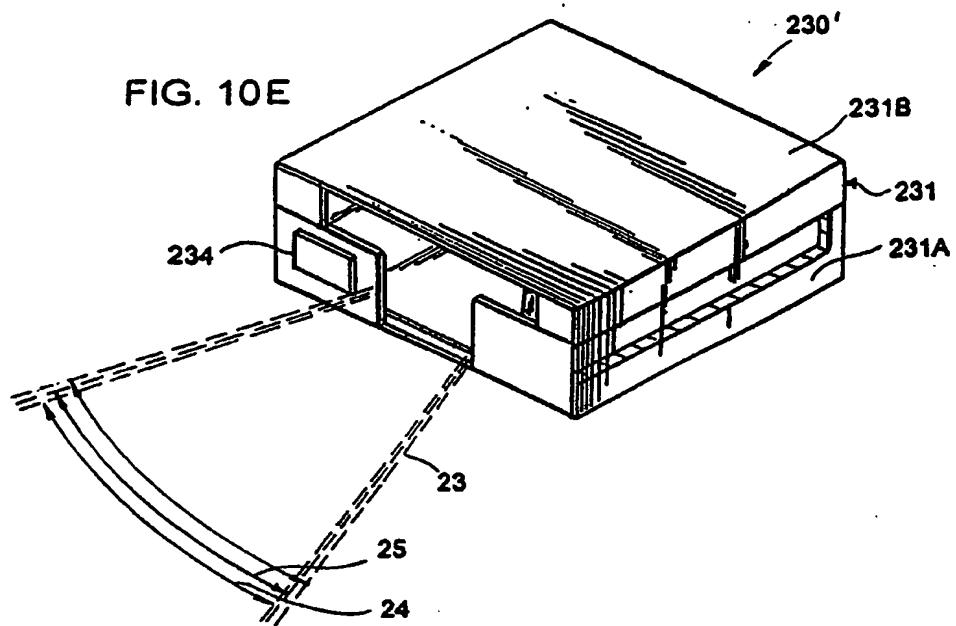
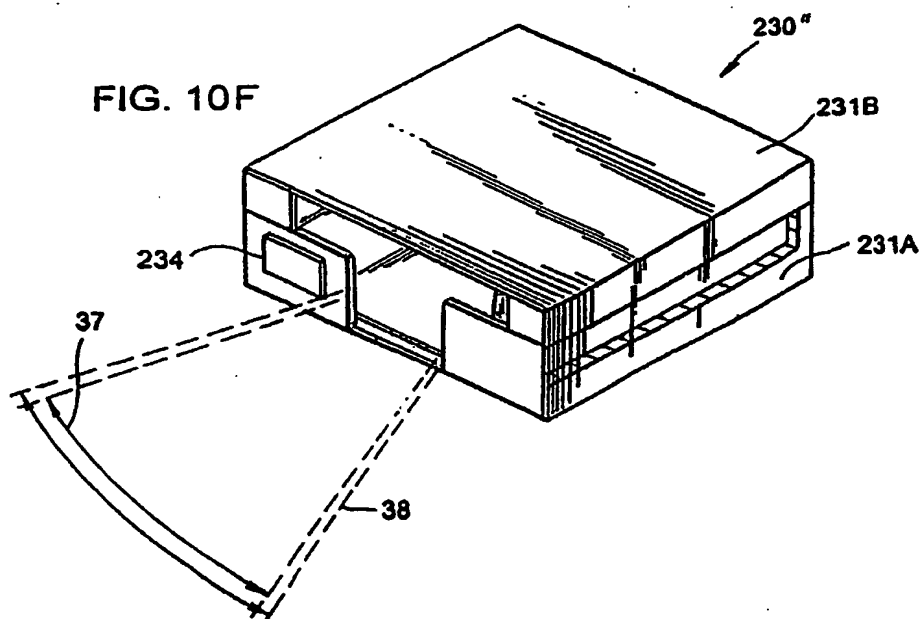


FIG. 10F



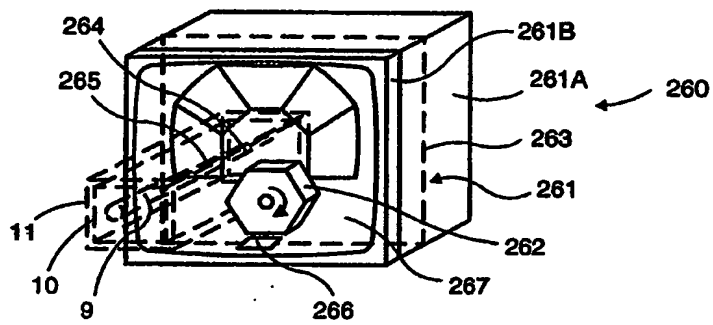


FIG. 11A

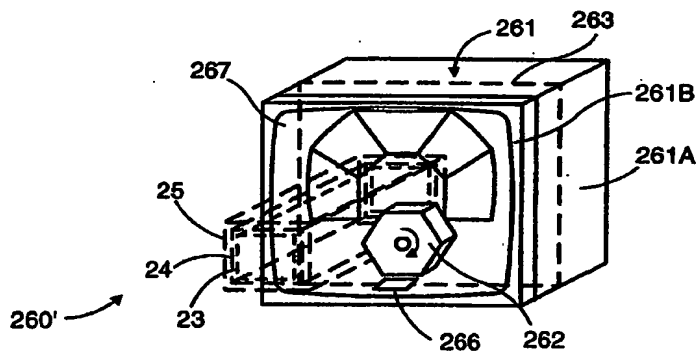


FIG. 11B

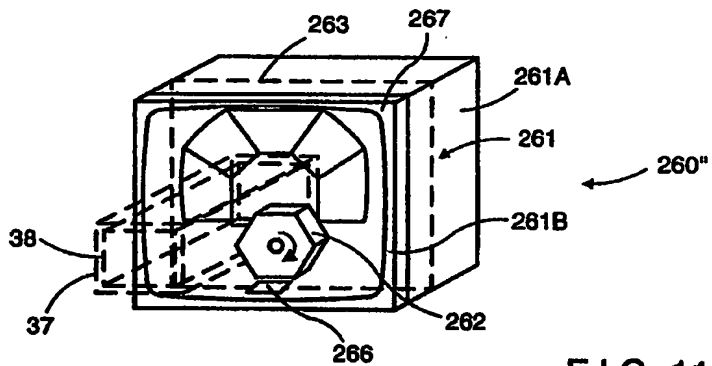
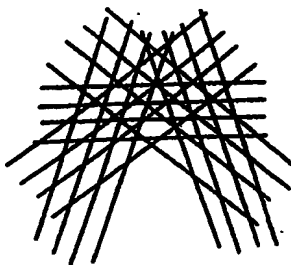
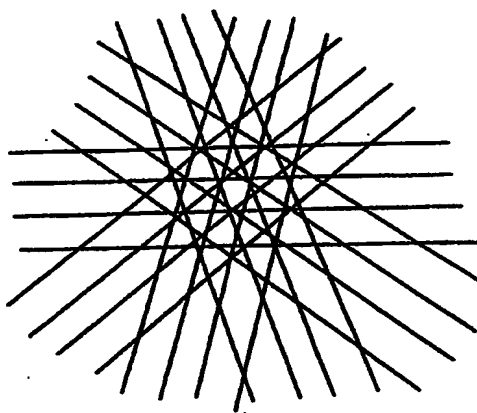


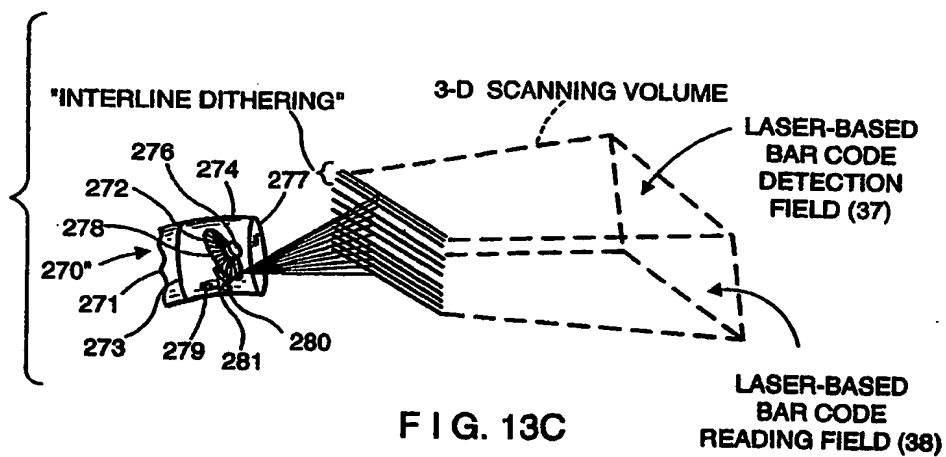
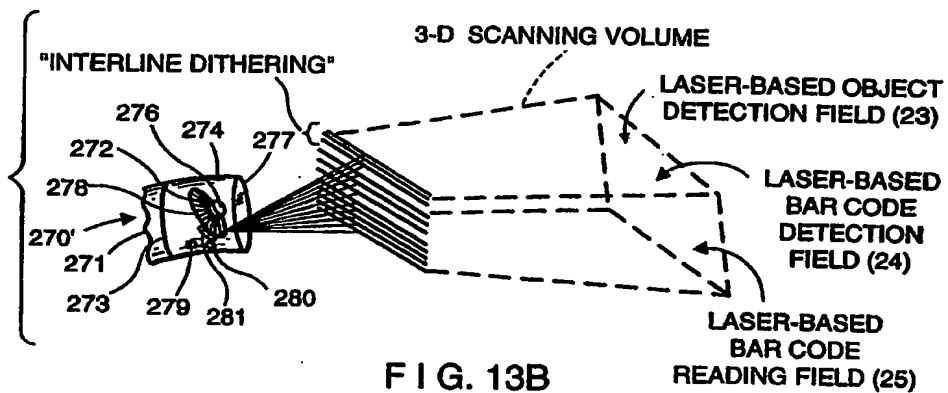
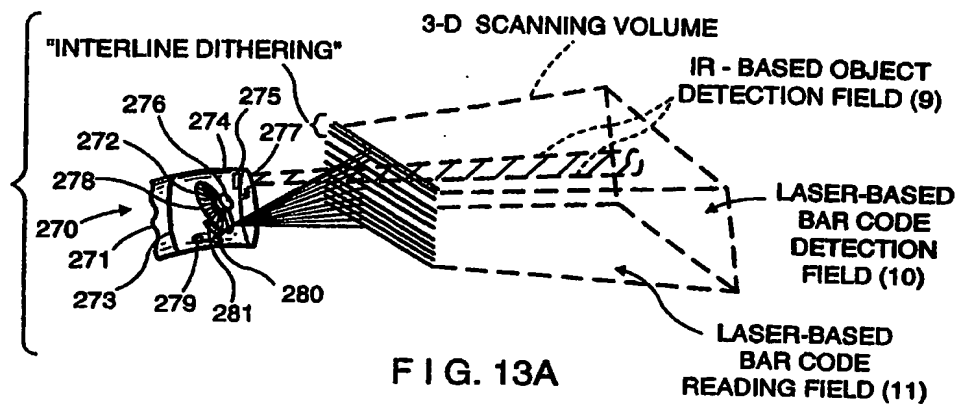
FIG. 11C

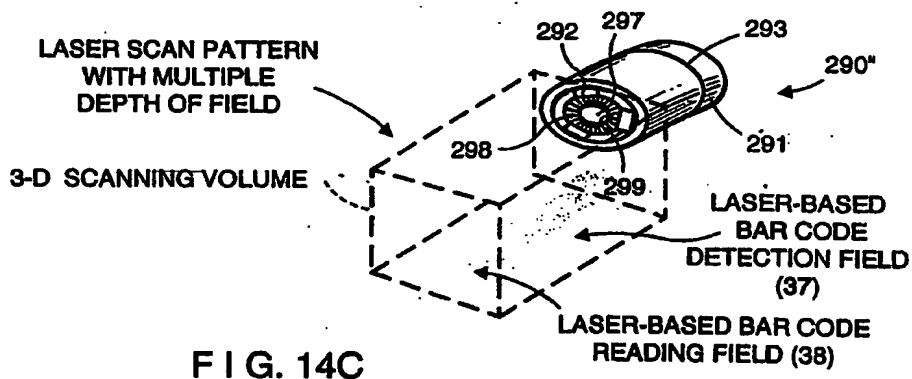
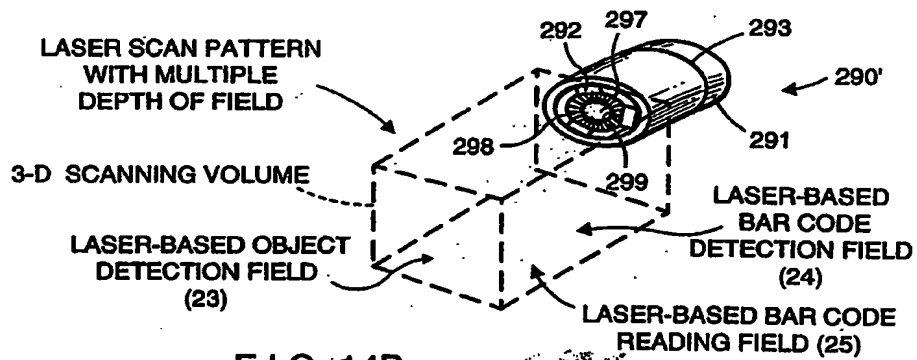
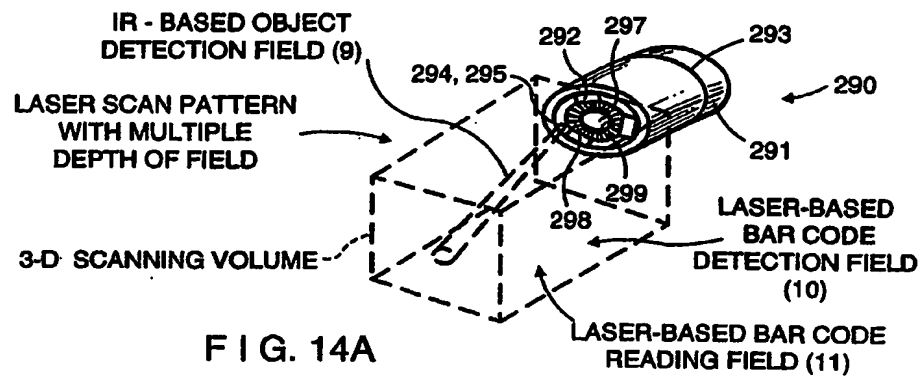


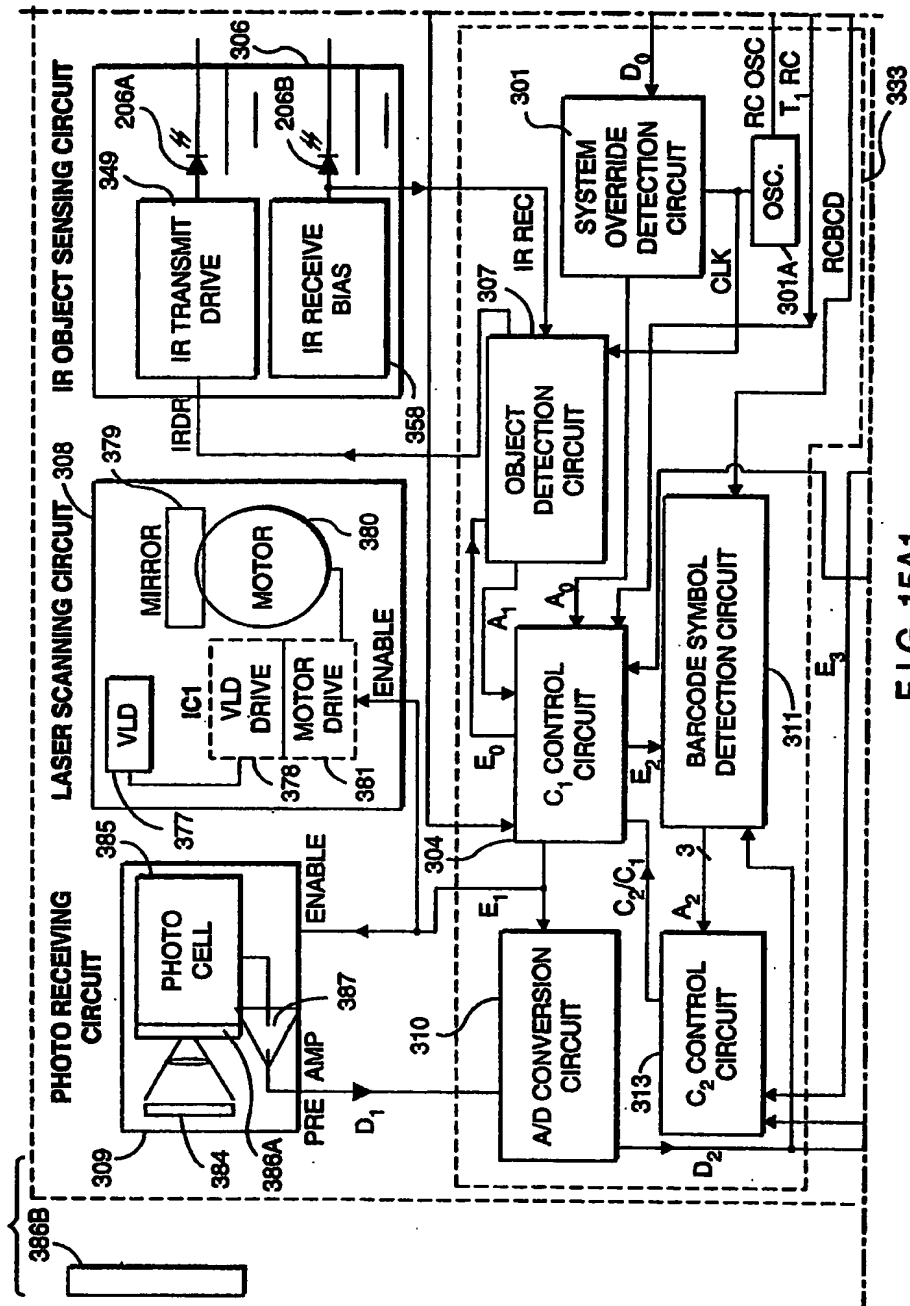
**FIG. 12A**



**FIG. 12B**







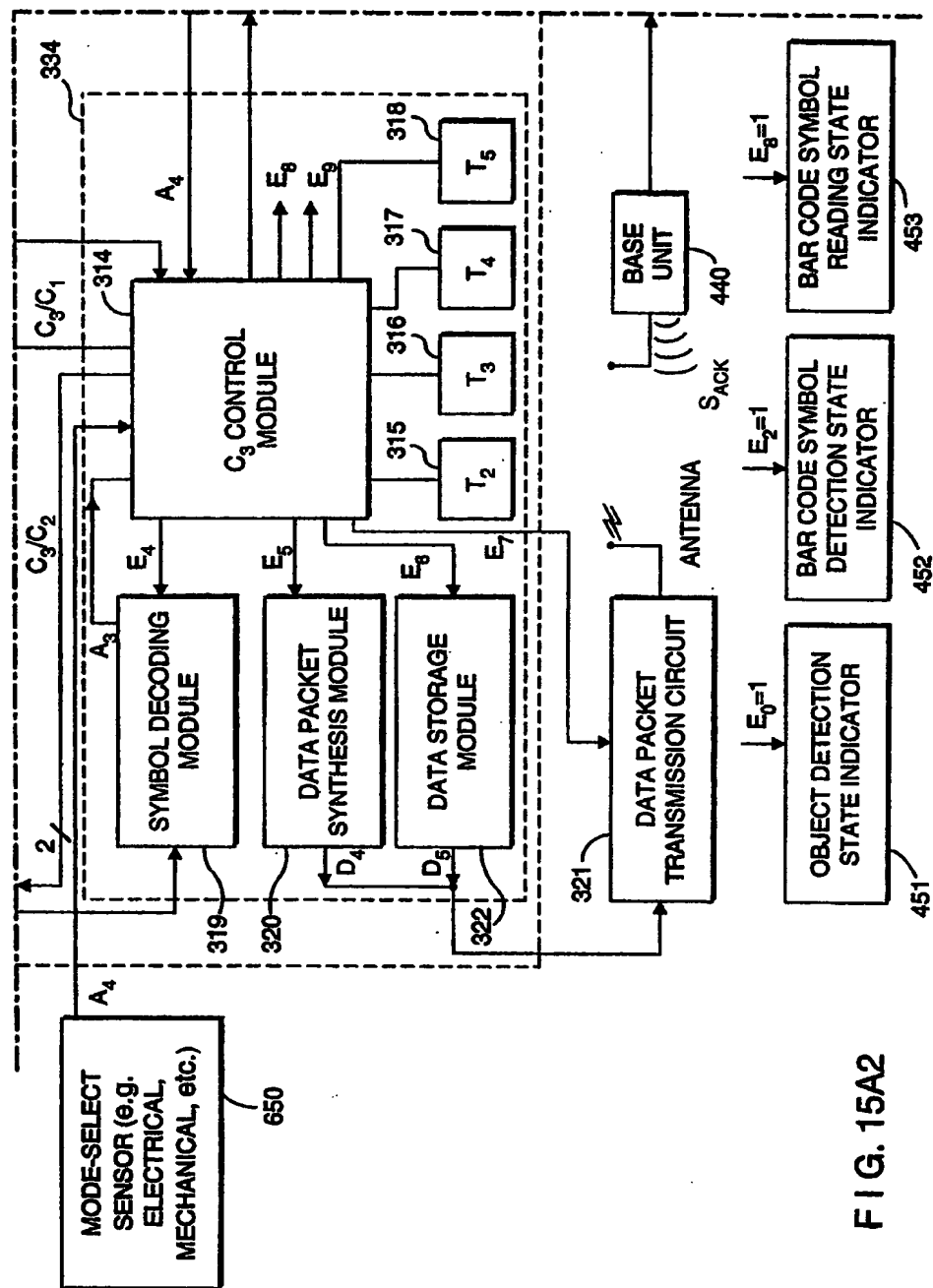


FIG. 15A2

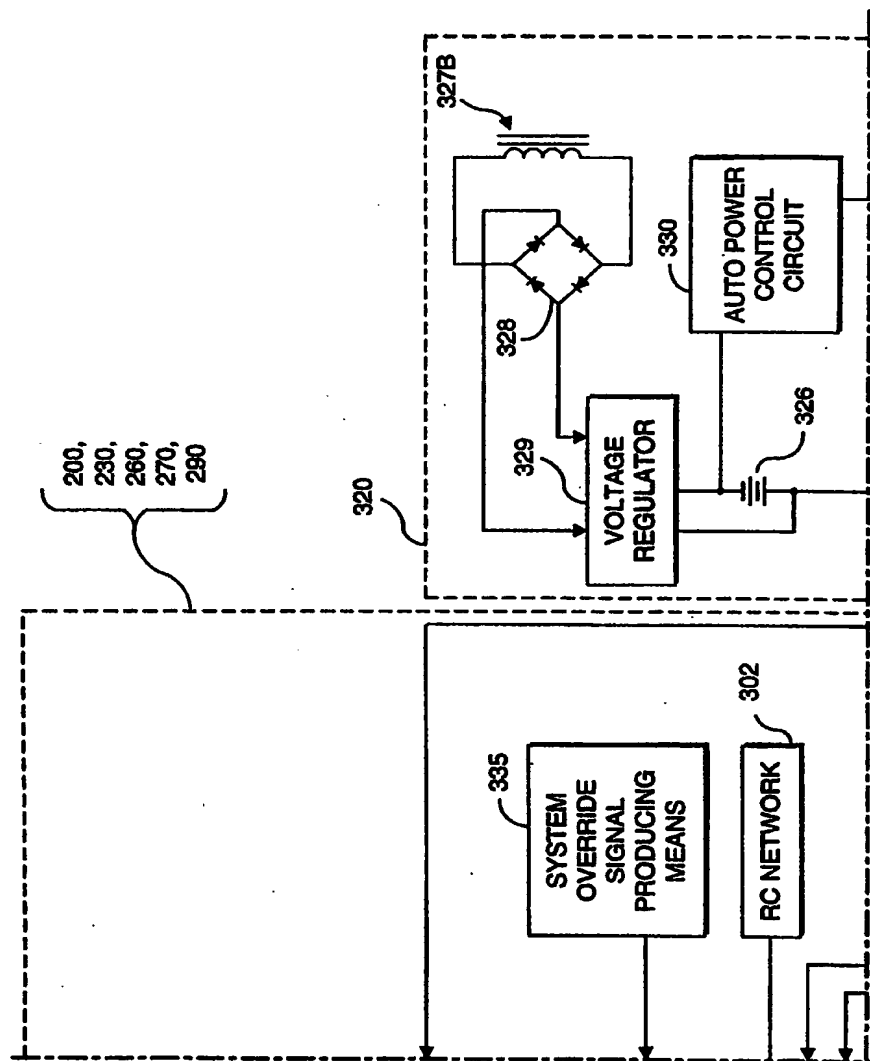
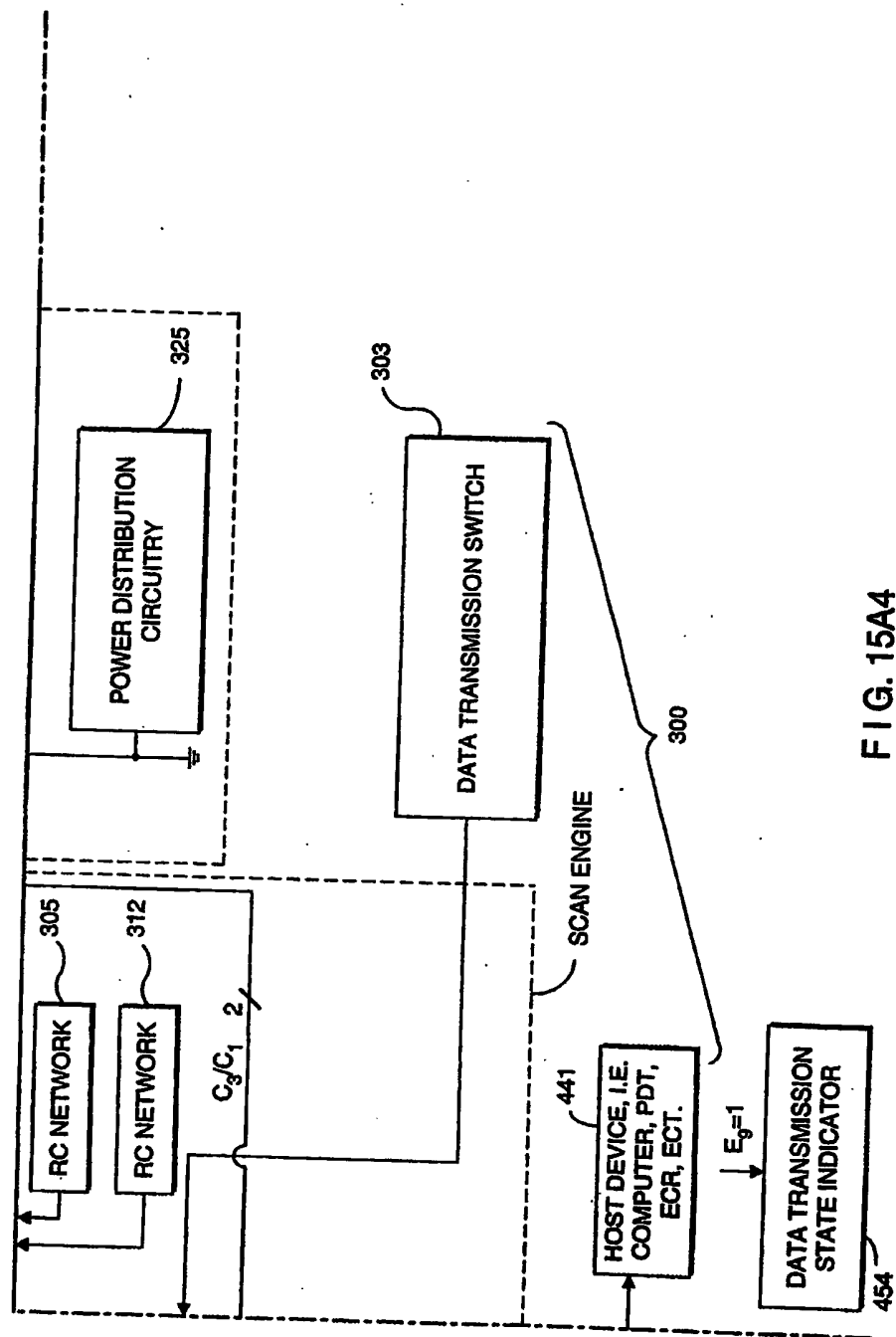


FIG. 15A3



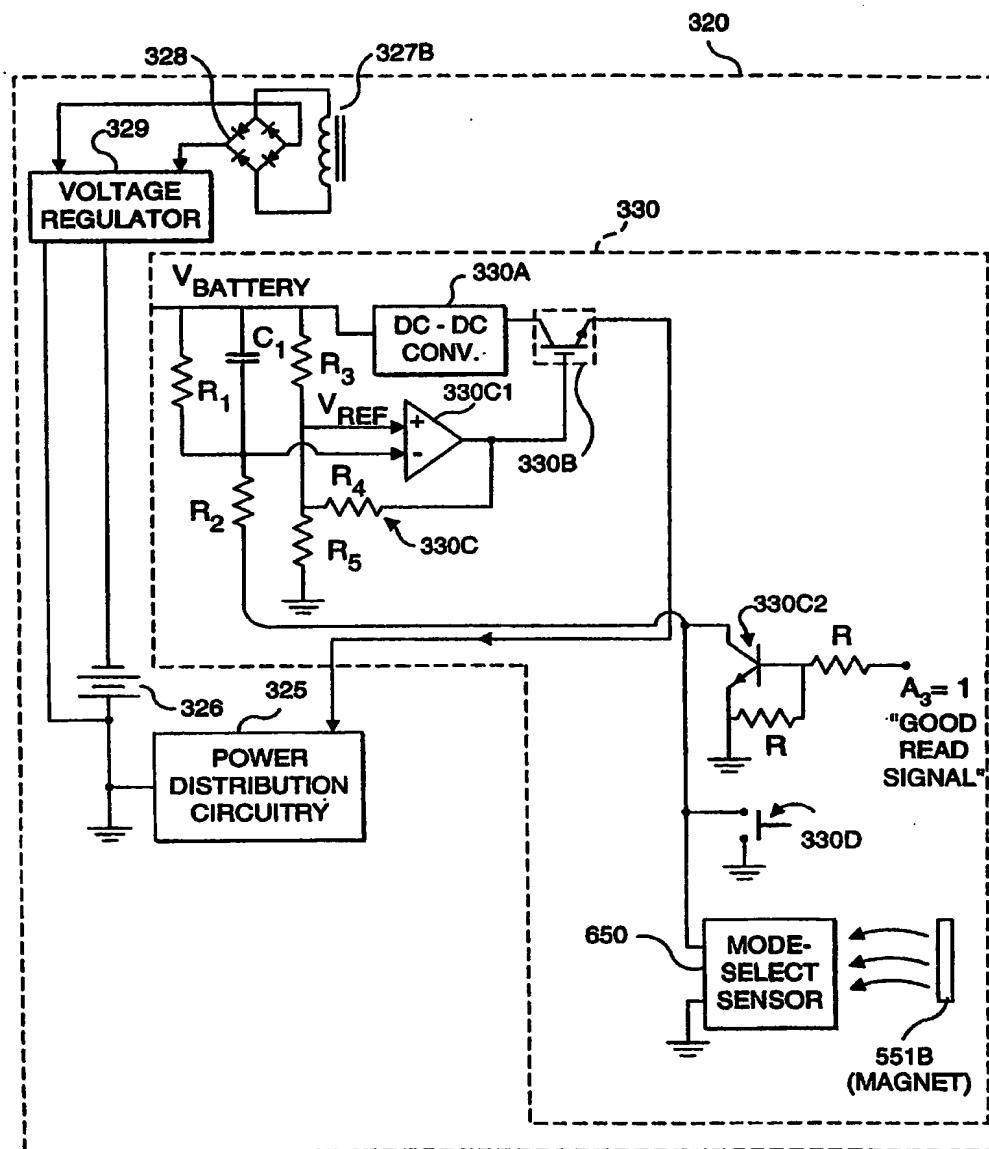


FIG. 15B1

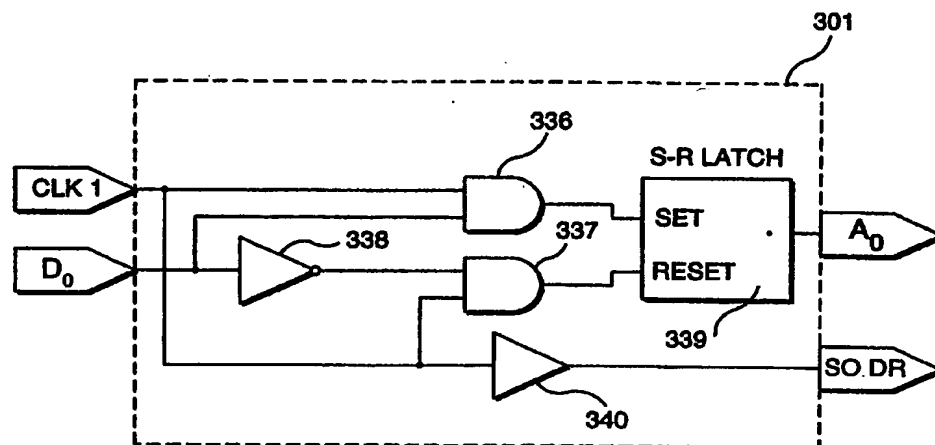


FIG. 15B2

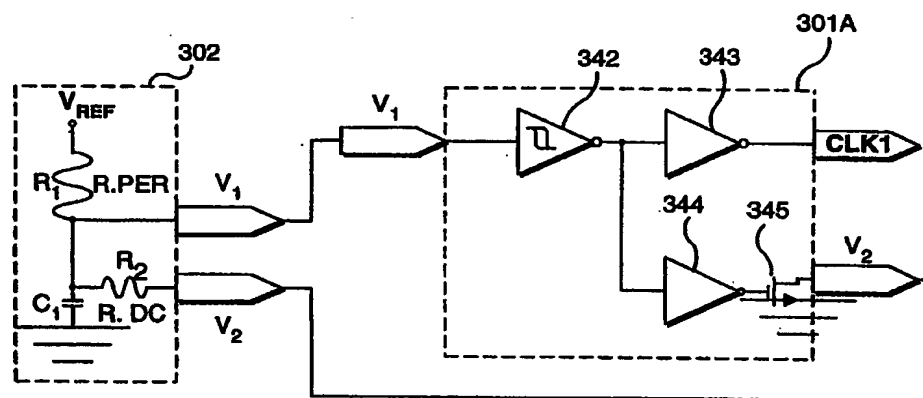


FIG. 15C

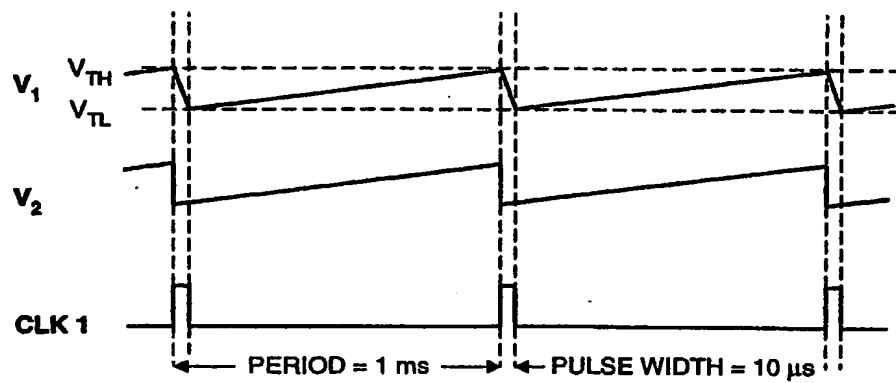


FIG. 15D

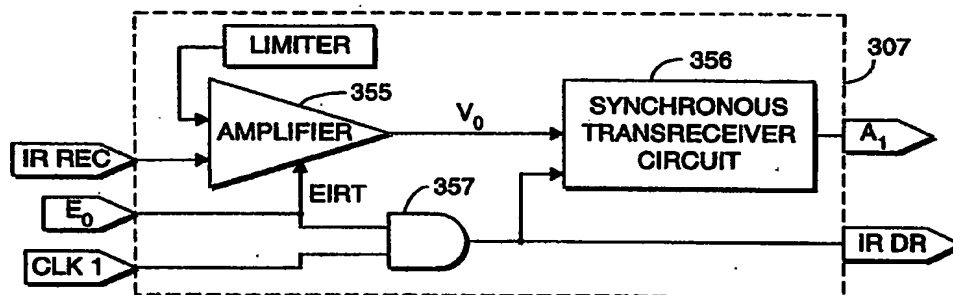


FIG. 15E

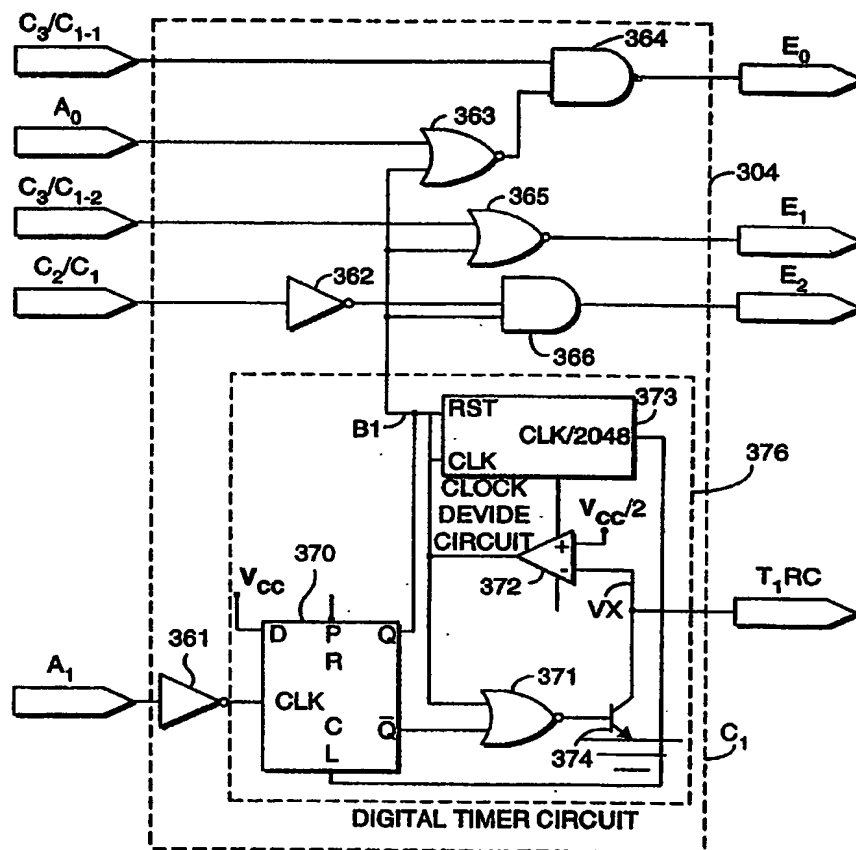


FIG. 15F

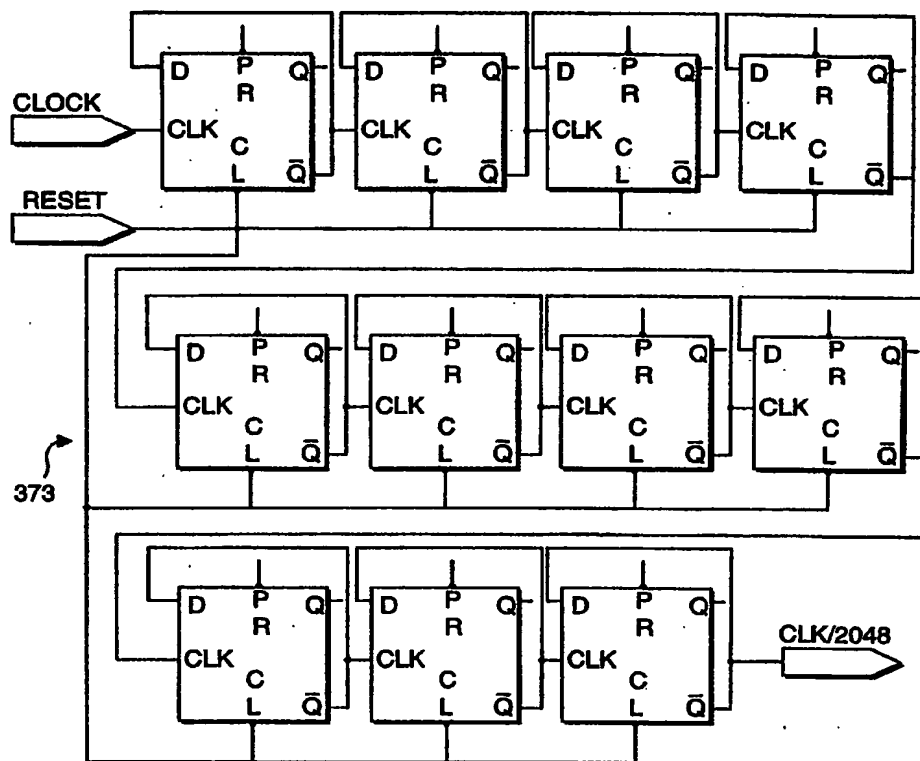


FIG. 15G

$$\left. \begin{aligned} E_0 &= (B_1 + A_0) (C_3 / C_{1-1}) \\ E_1 &= (C_3 / C_{1-2}) + B_1 \\ E_2 &= (C_2 / C_1) (T_1) \end{aligned} \right\}$$

FIG. 15H

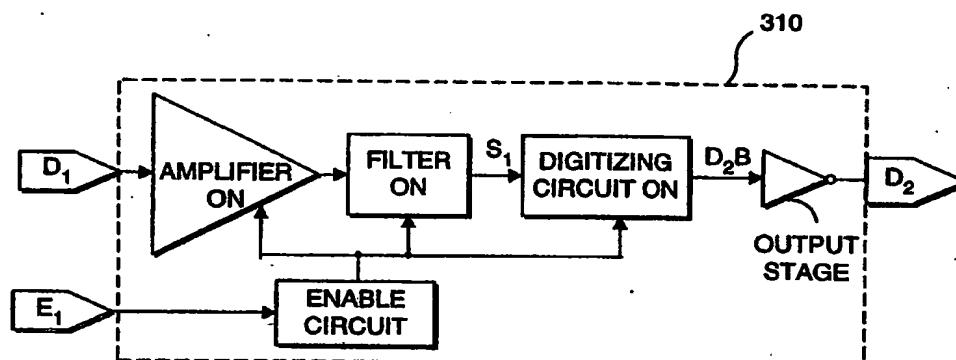


FIG. 15I

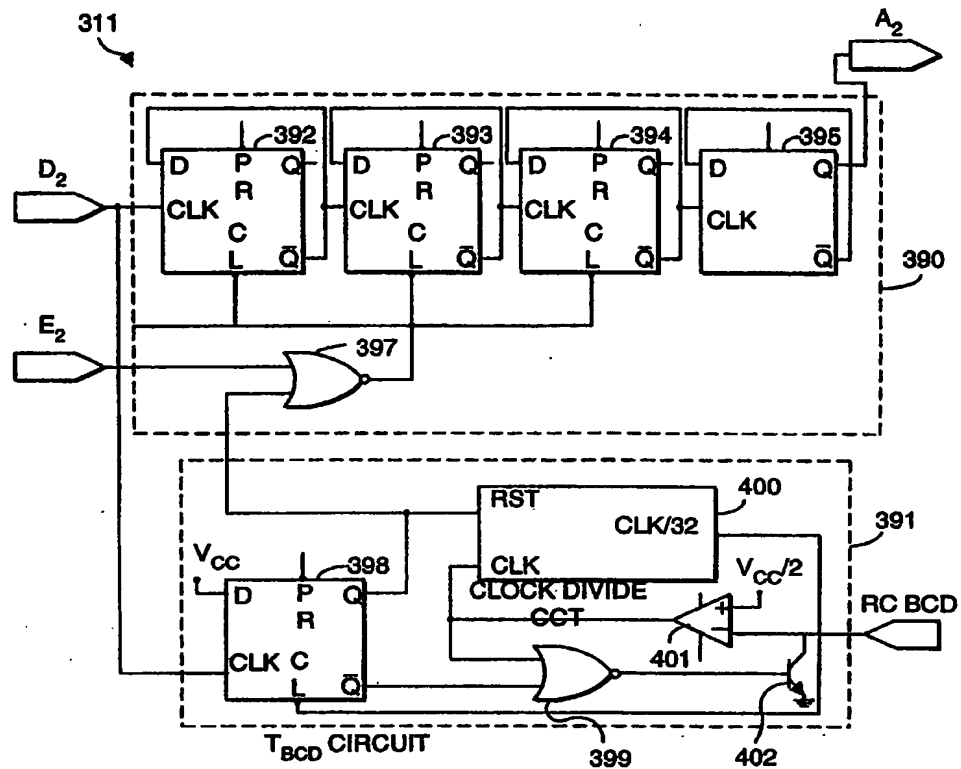


FIG. 15J

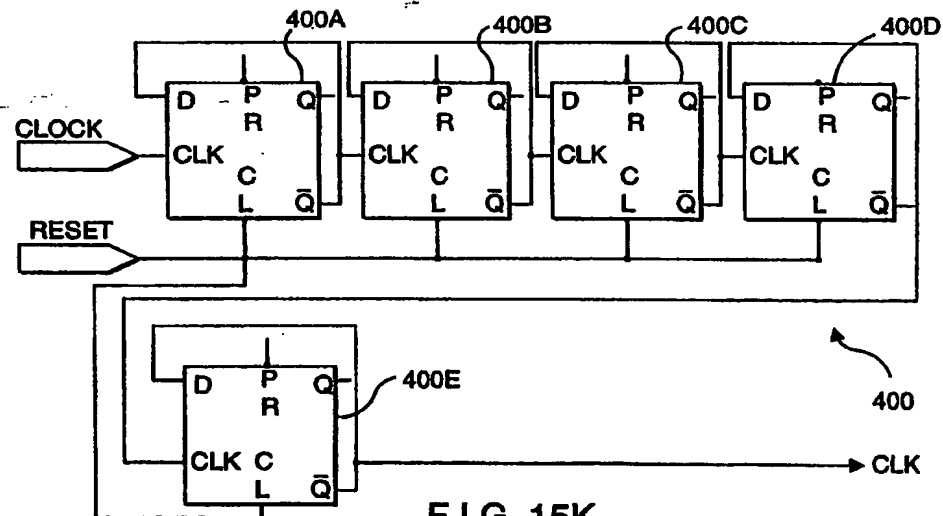


FIG. 15K

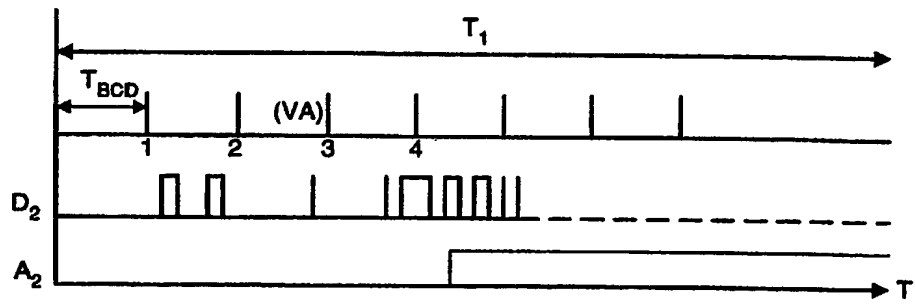


FIG. 15L

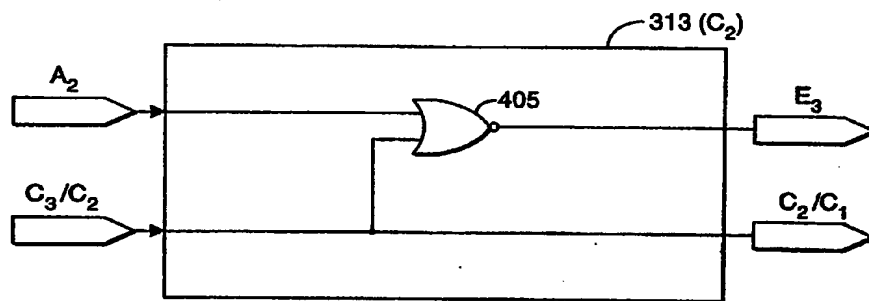


FIG. 15M

$C_3 / C_2$	$A_2$	$E_3$	$C_2 / C_1$
0	0	0	0
0	1	1	0
1	X	1	1

X: DONT CARE (I.E.  $C_3 / C_2$  OVERRIDES  $A_2$ )

FIG. 15N

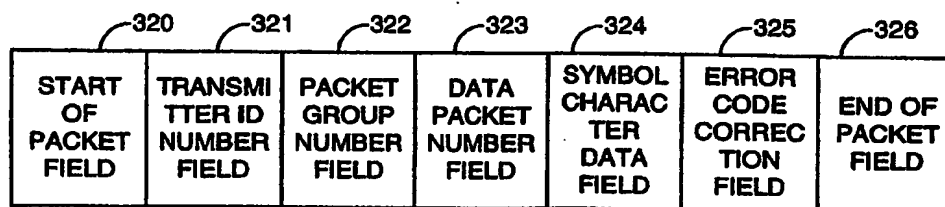


FIG. 150

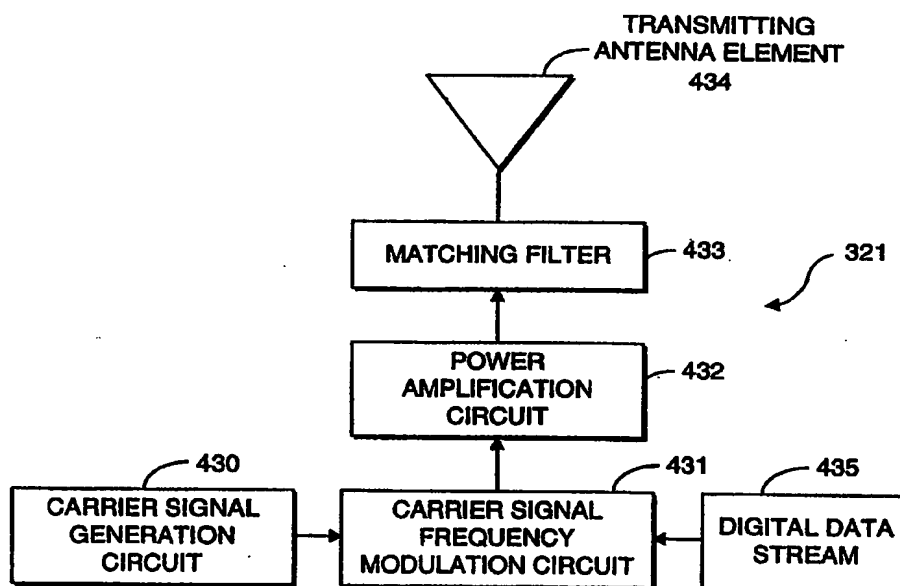


FIG. 16

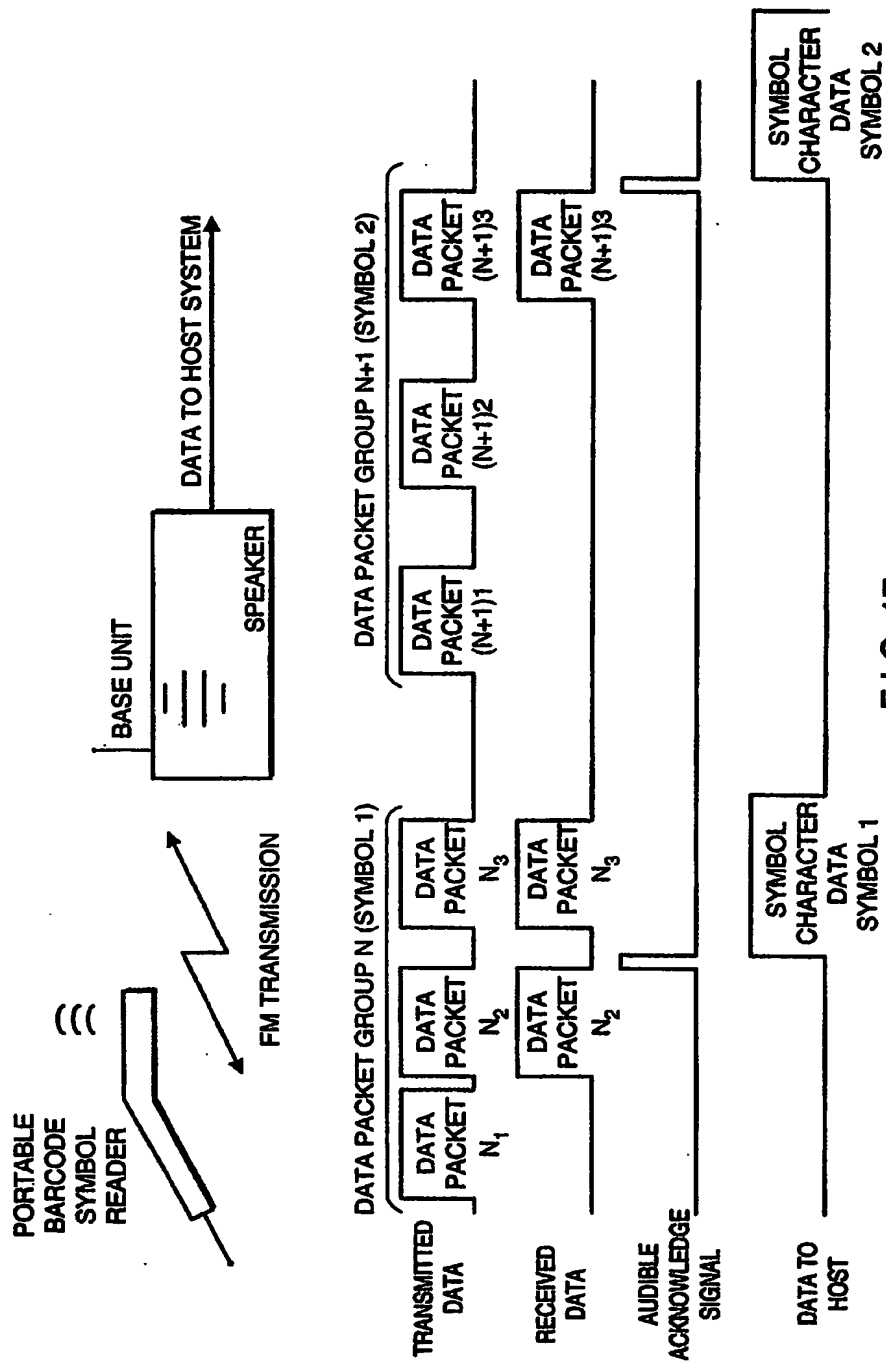


FIG. 17

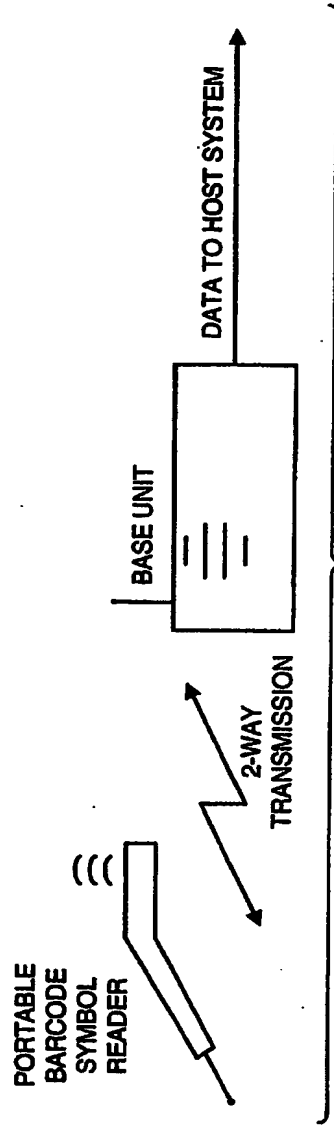


FIG. 18



FIG. 19

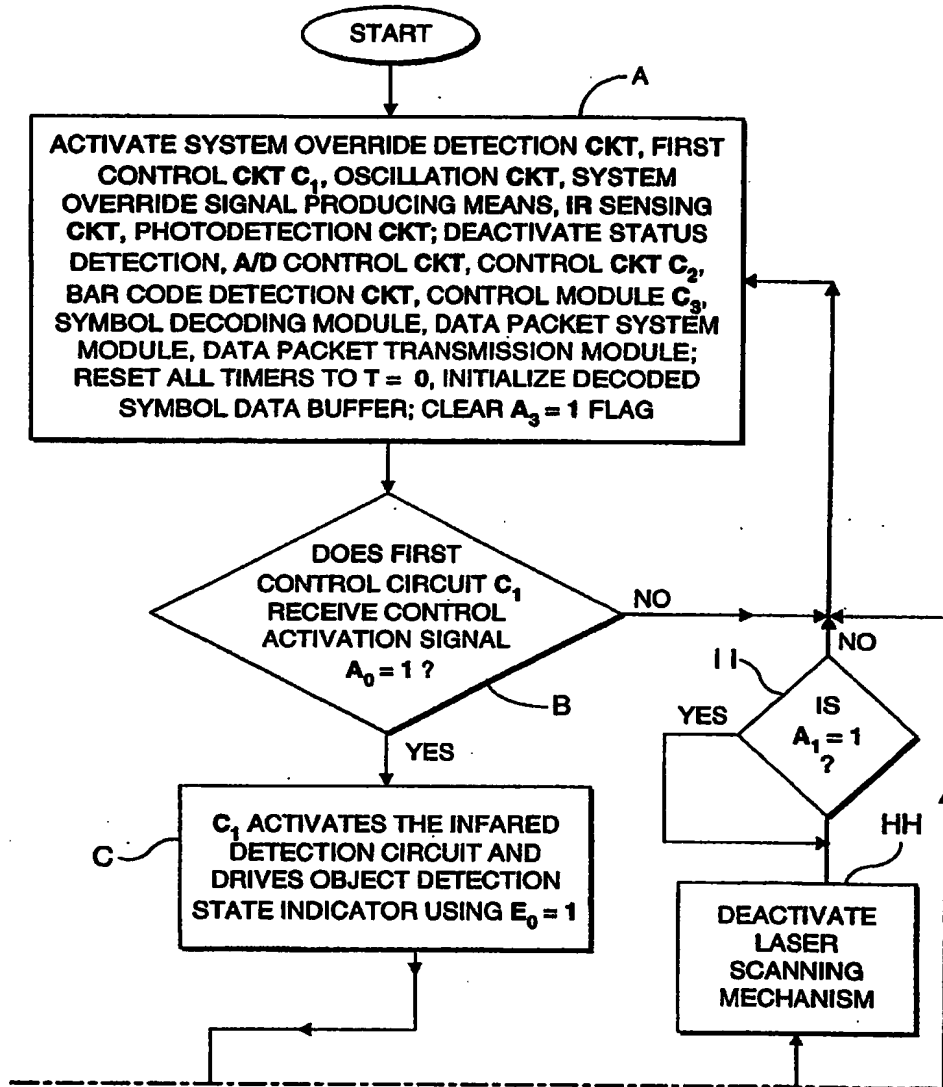


FIG. 20A1

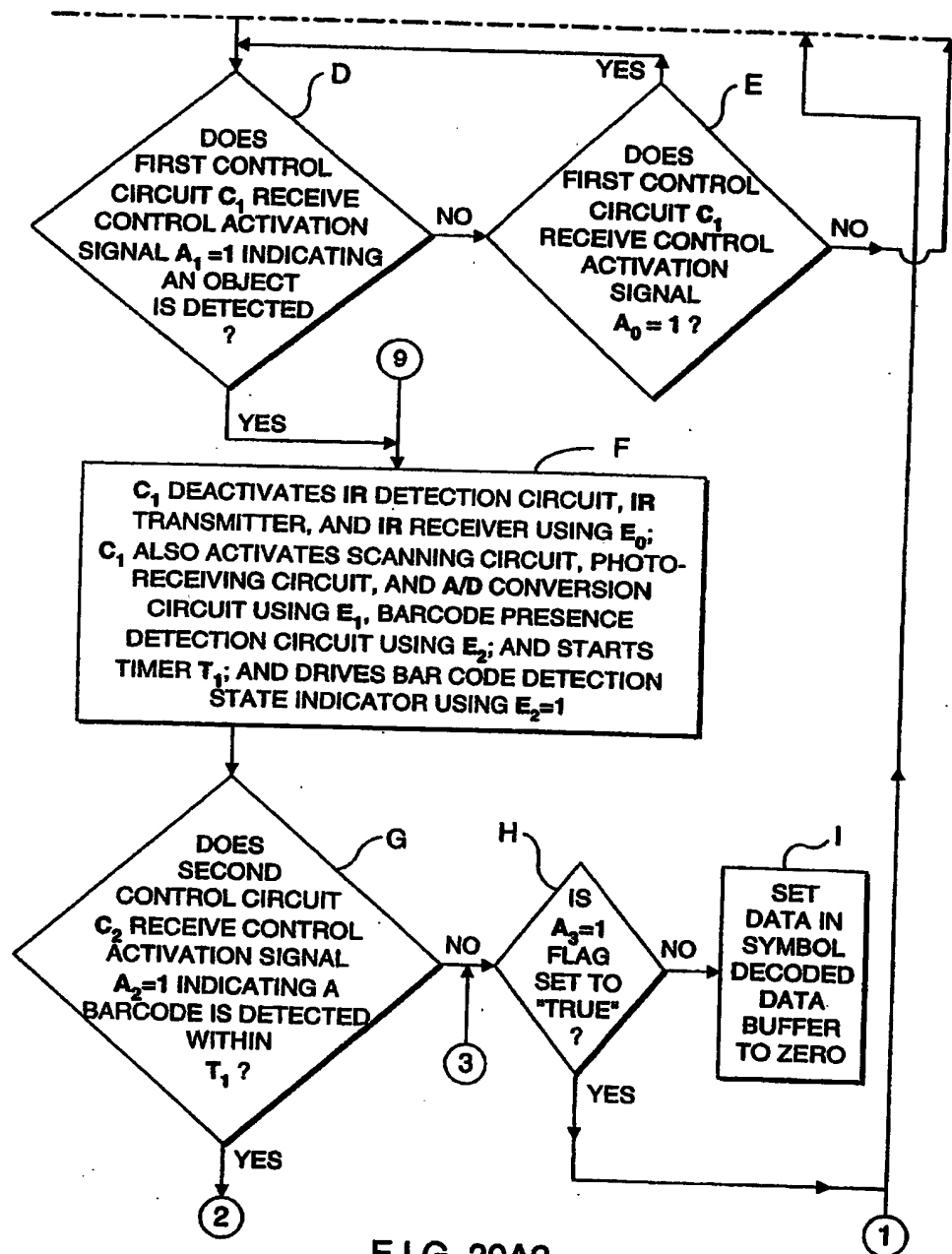


FIG. 20A2

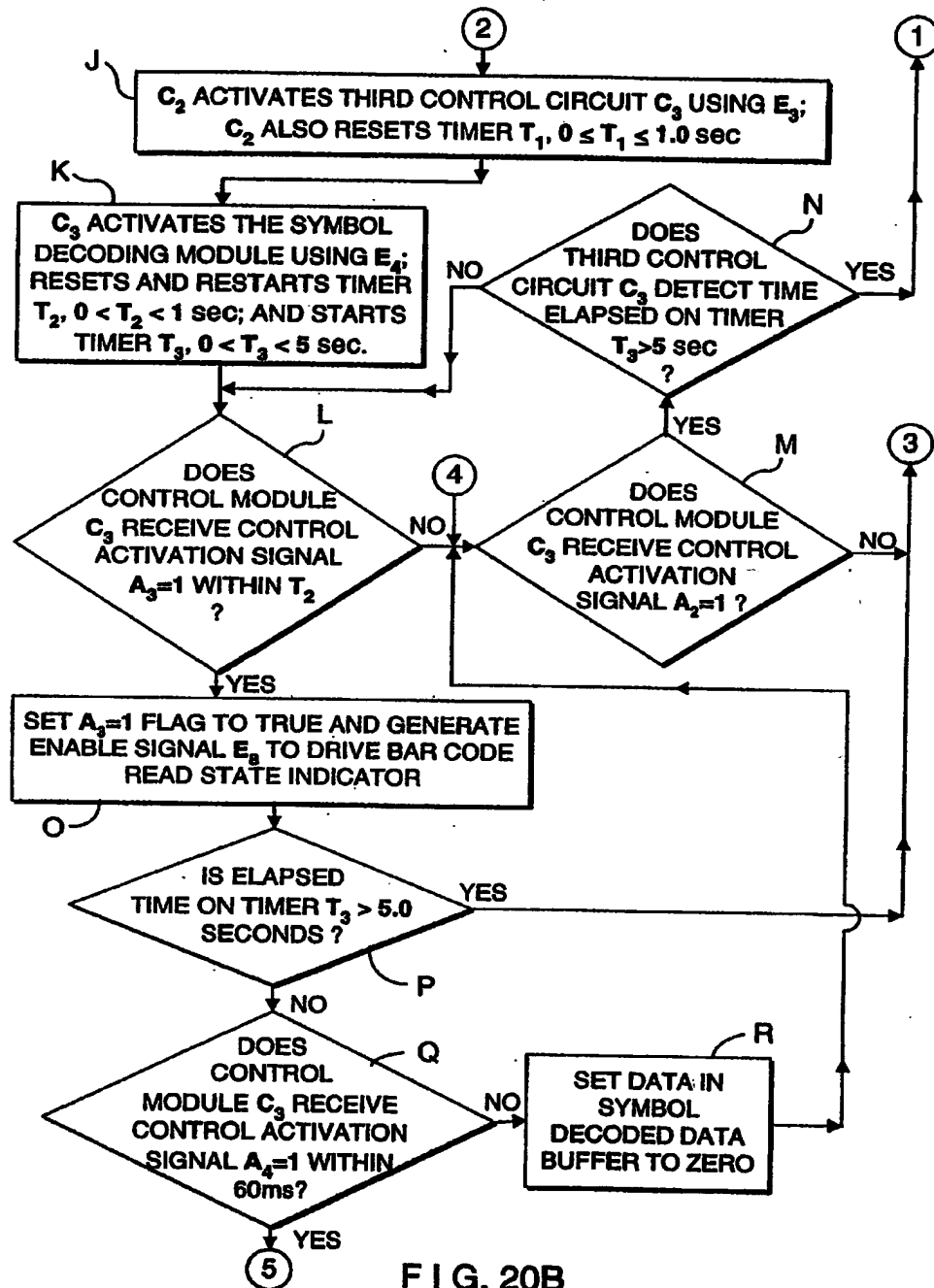


FIG. 20B

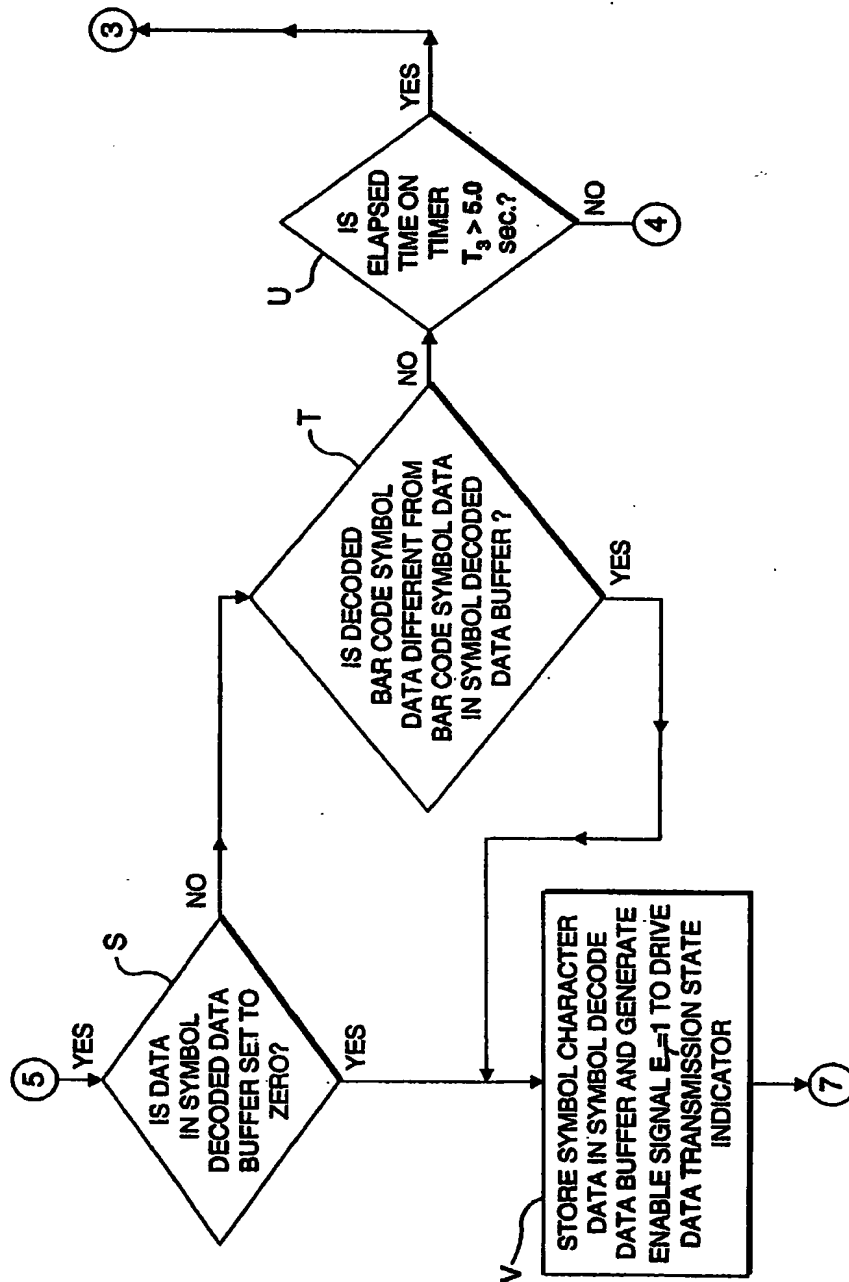


FIG. 20C

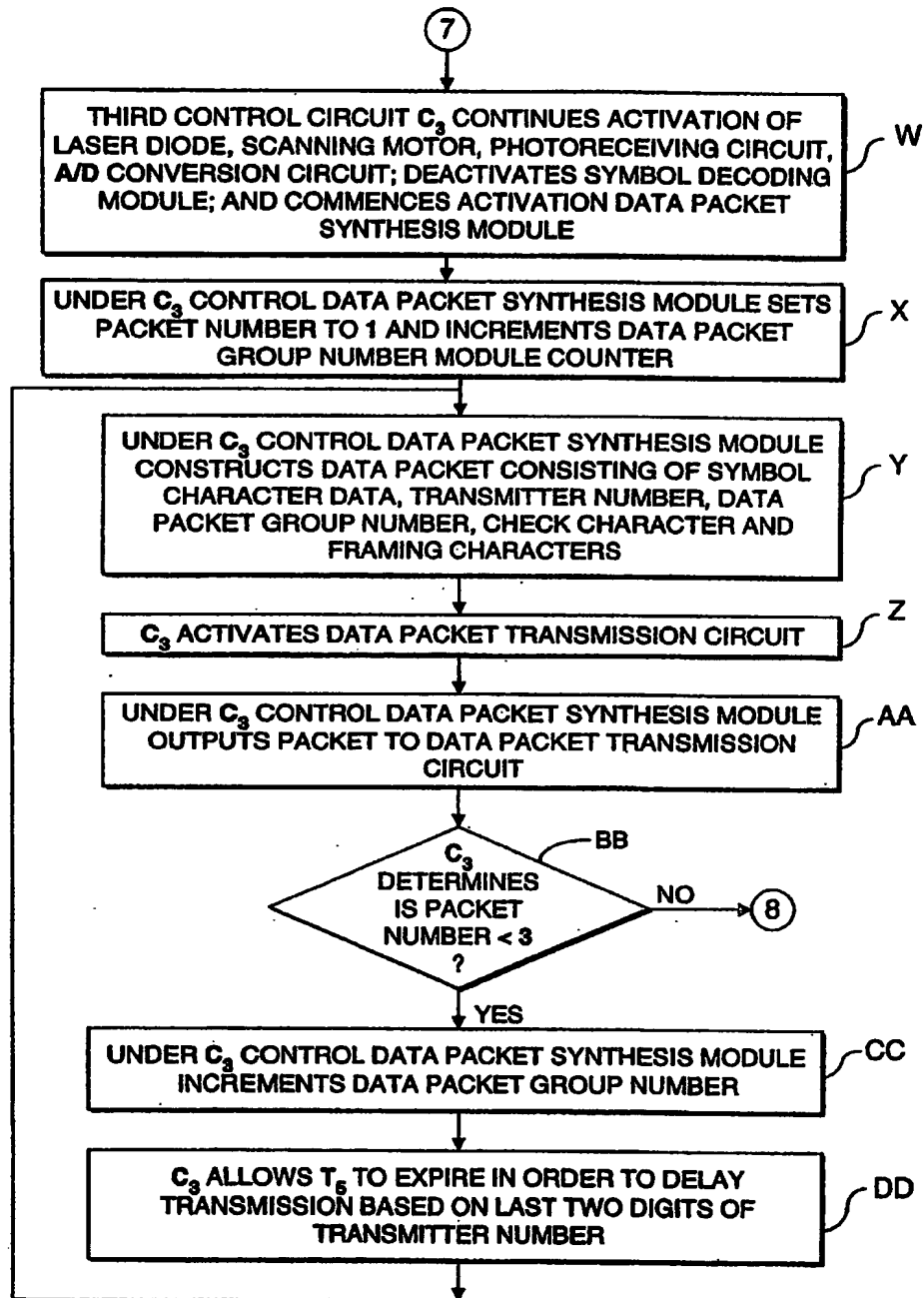


FIG. 20D

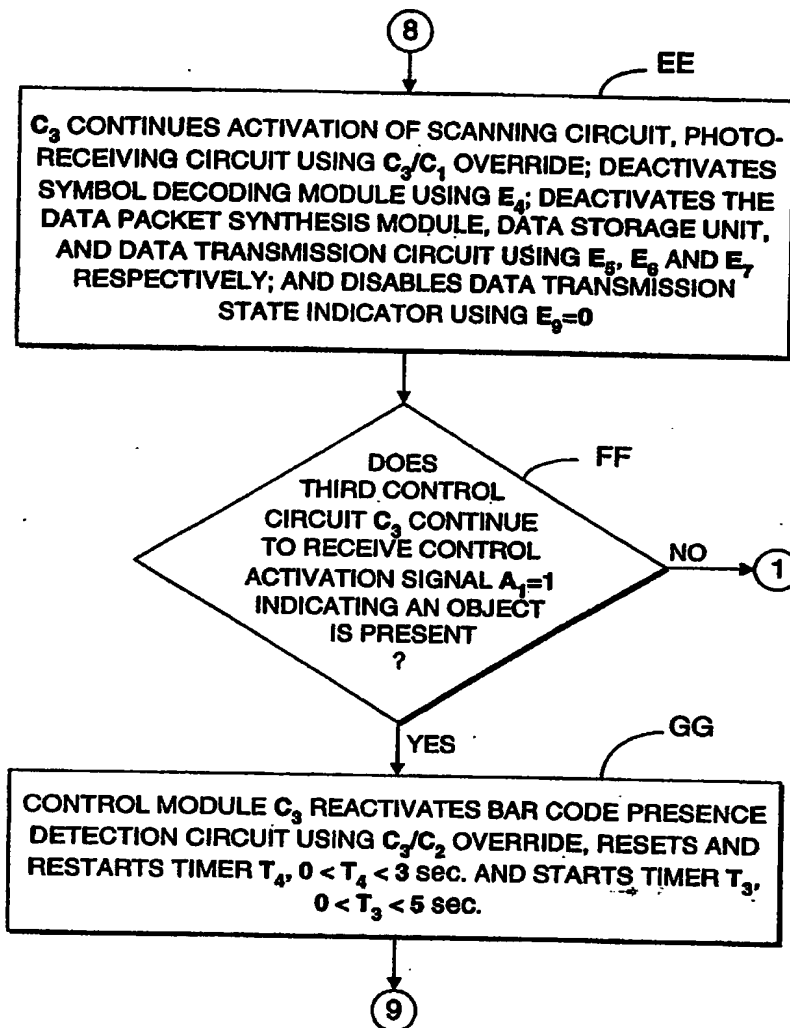


FIG. 20E

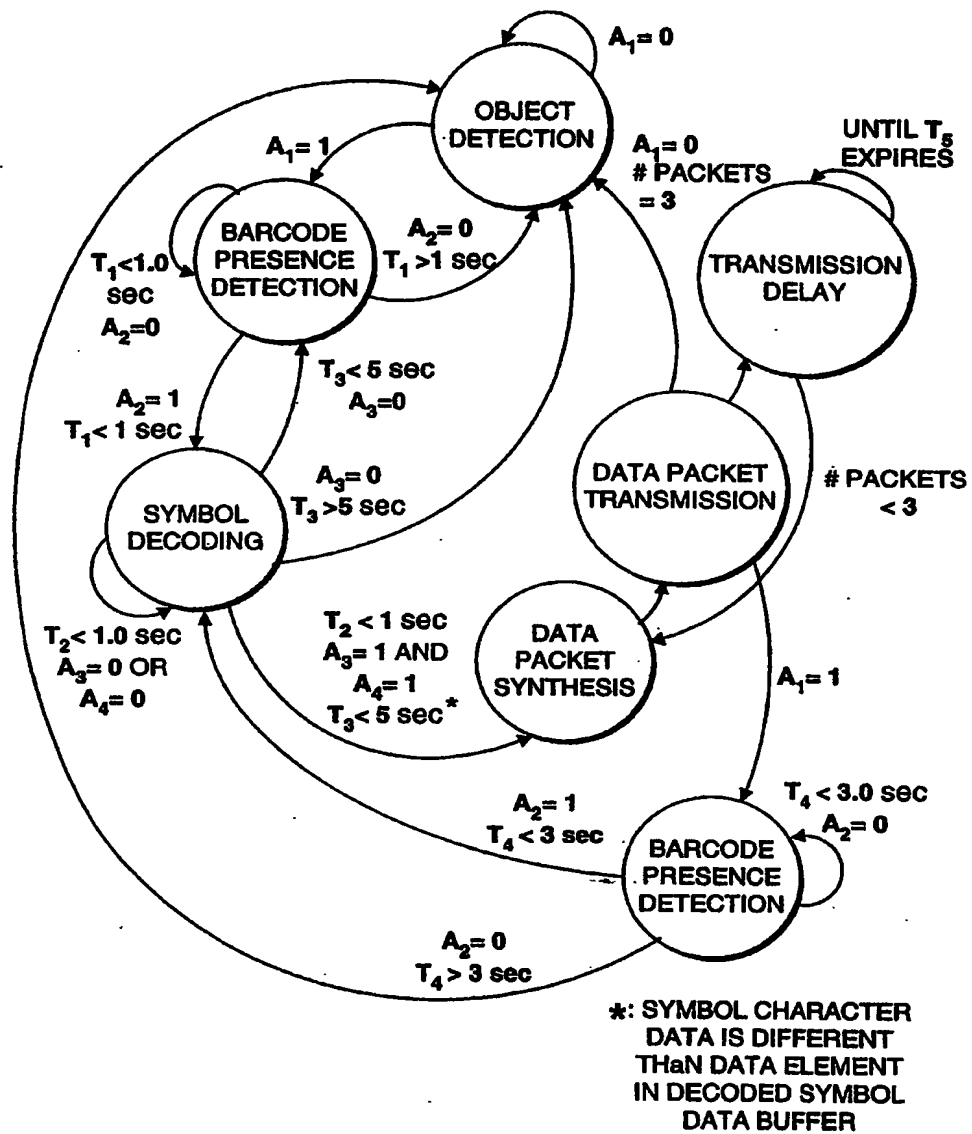


FIG. 21

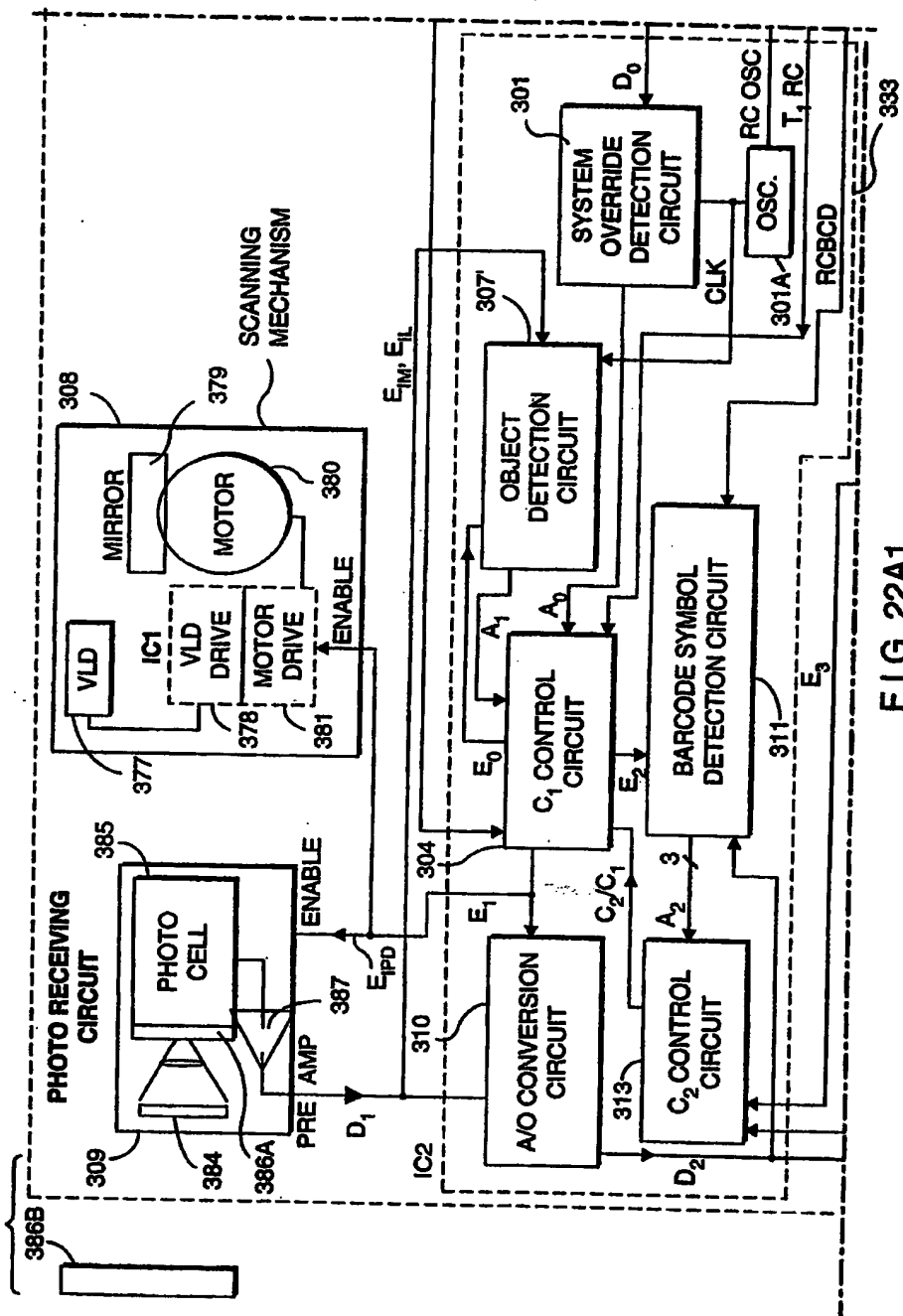


FIG. 22A1

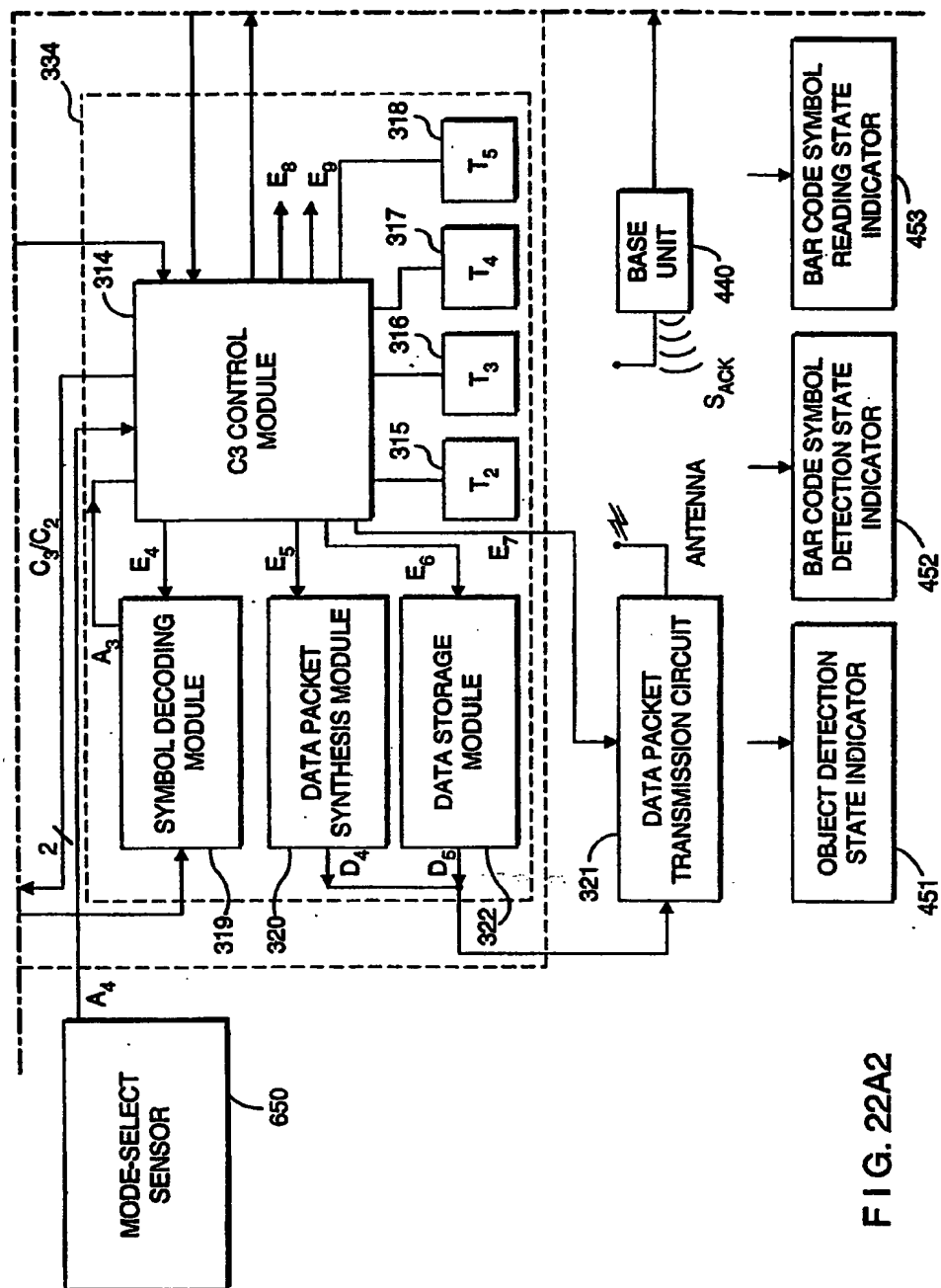


FIG. 22A2

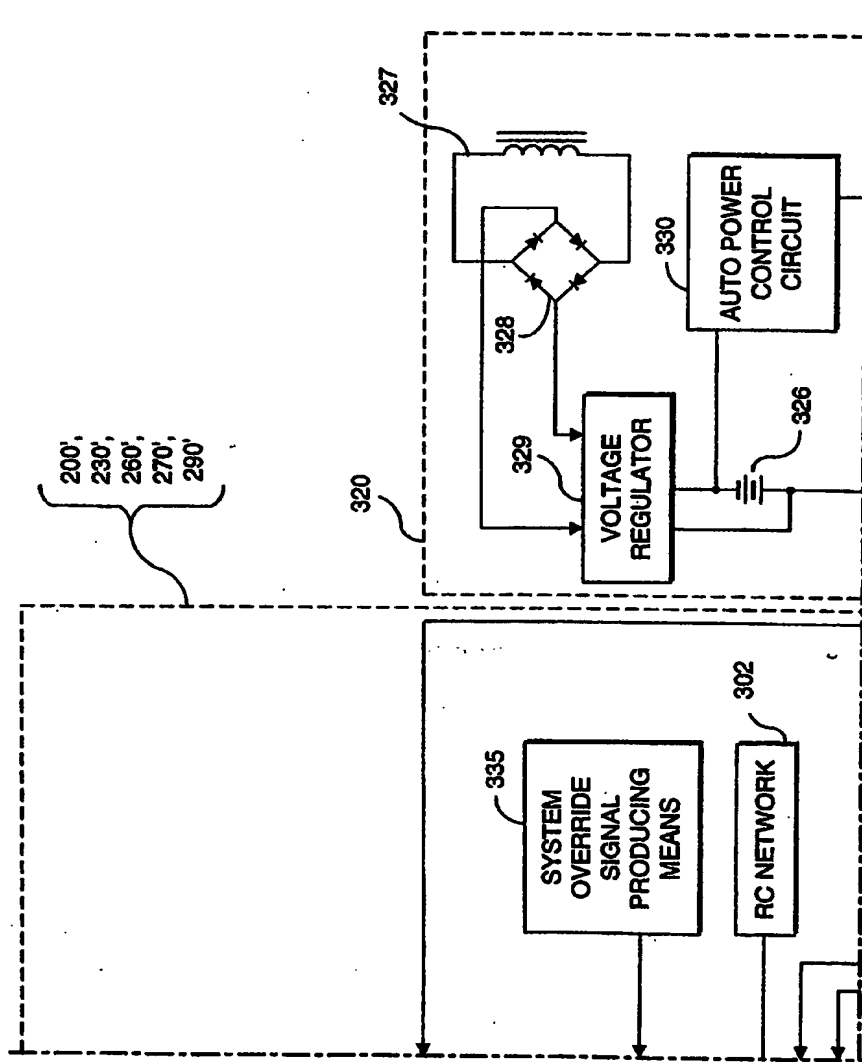


FIG. 22A3

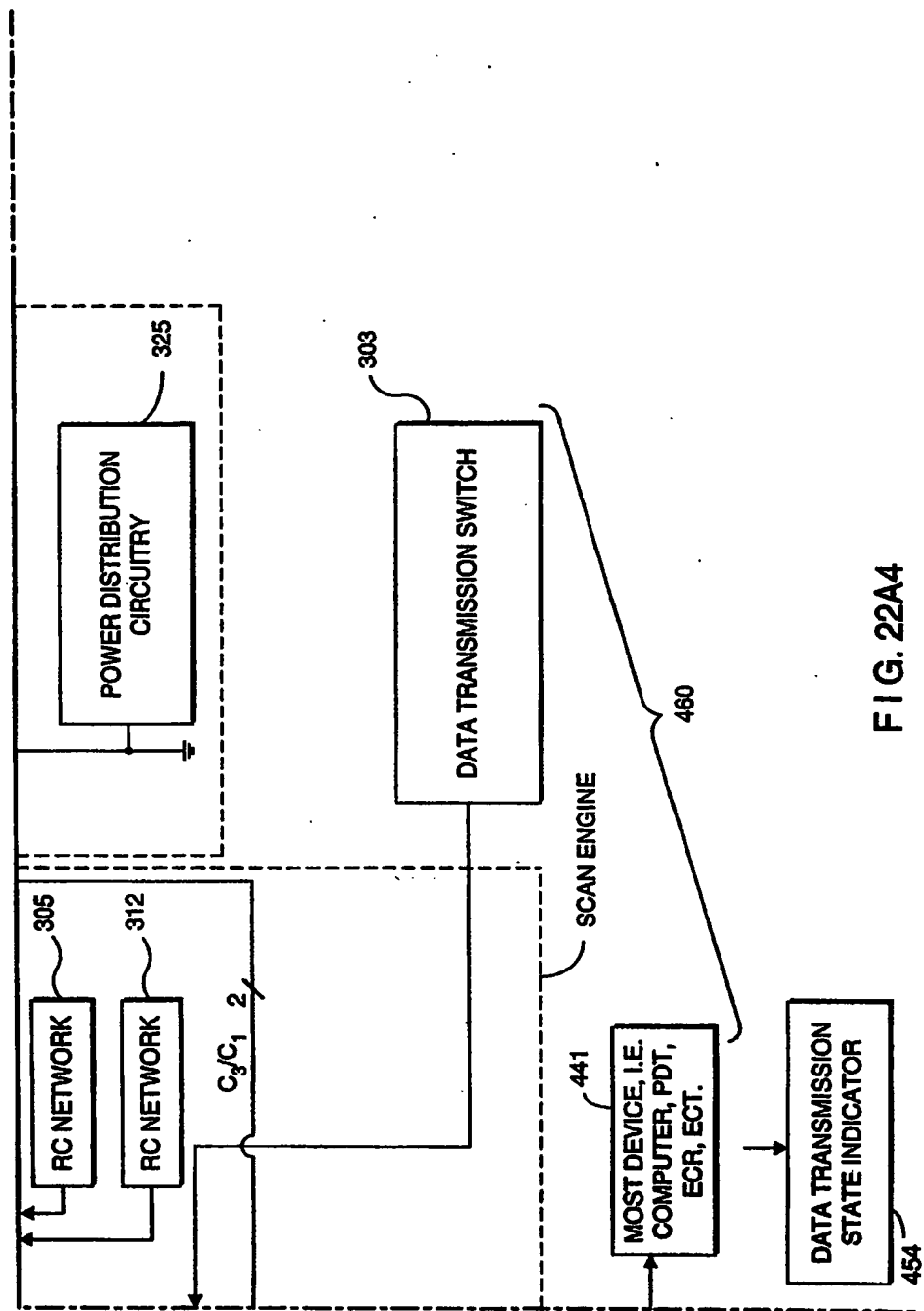


FIG. 22A4

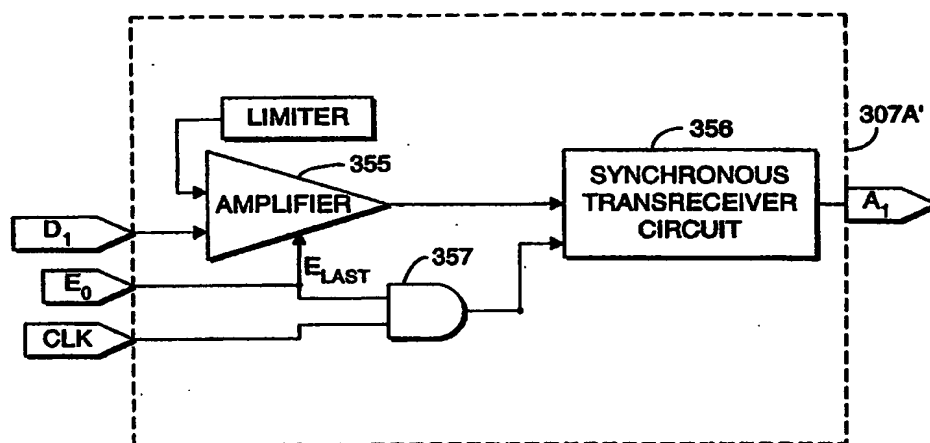


FIG. 22B

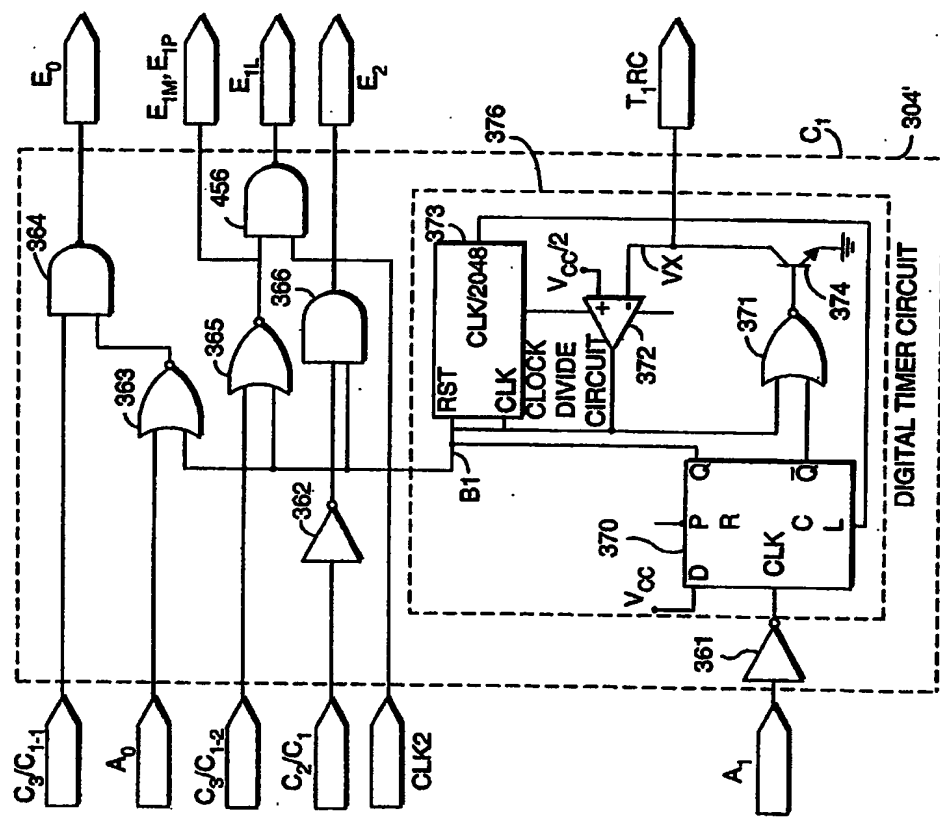


FIG. 22C

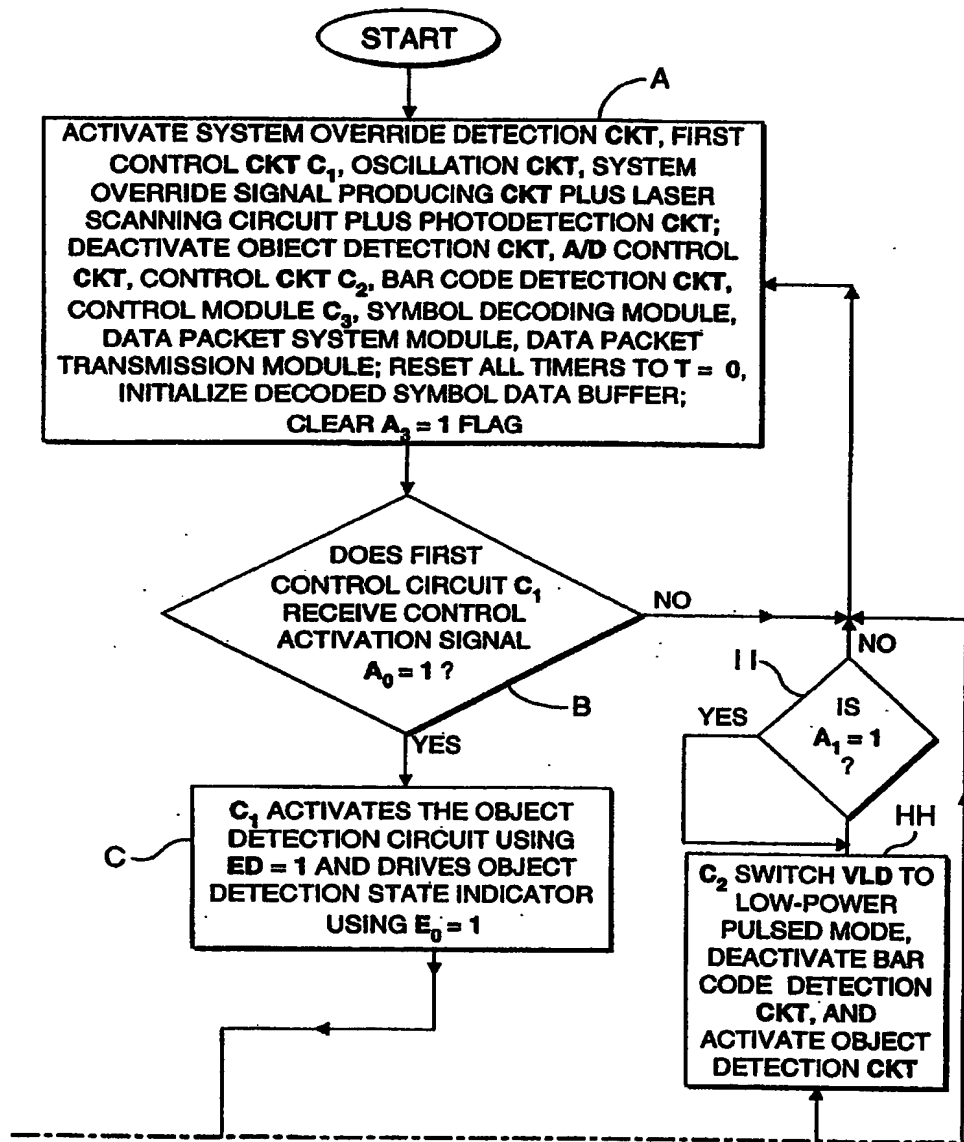


FIG. 23A1

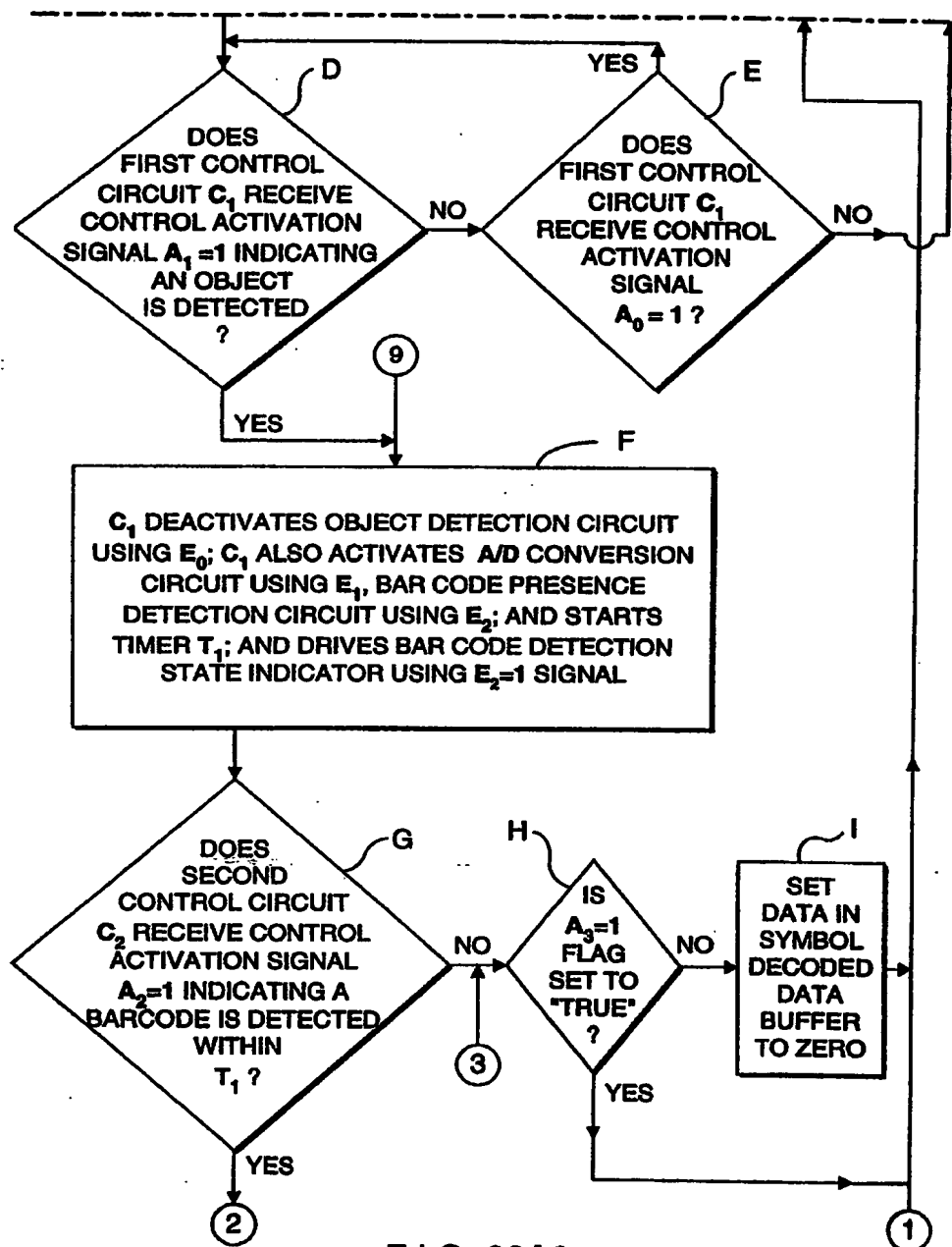


FIG. 23A2

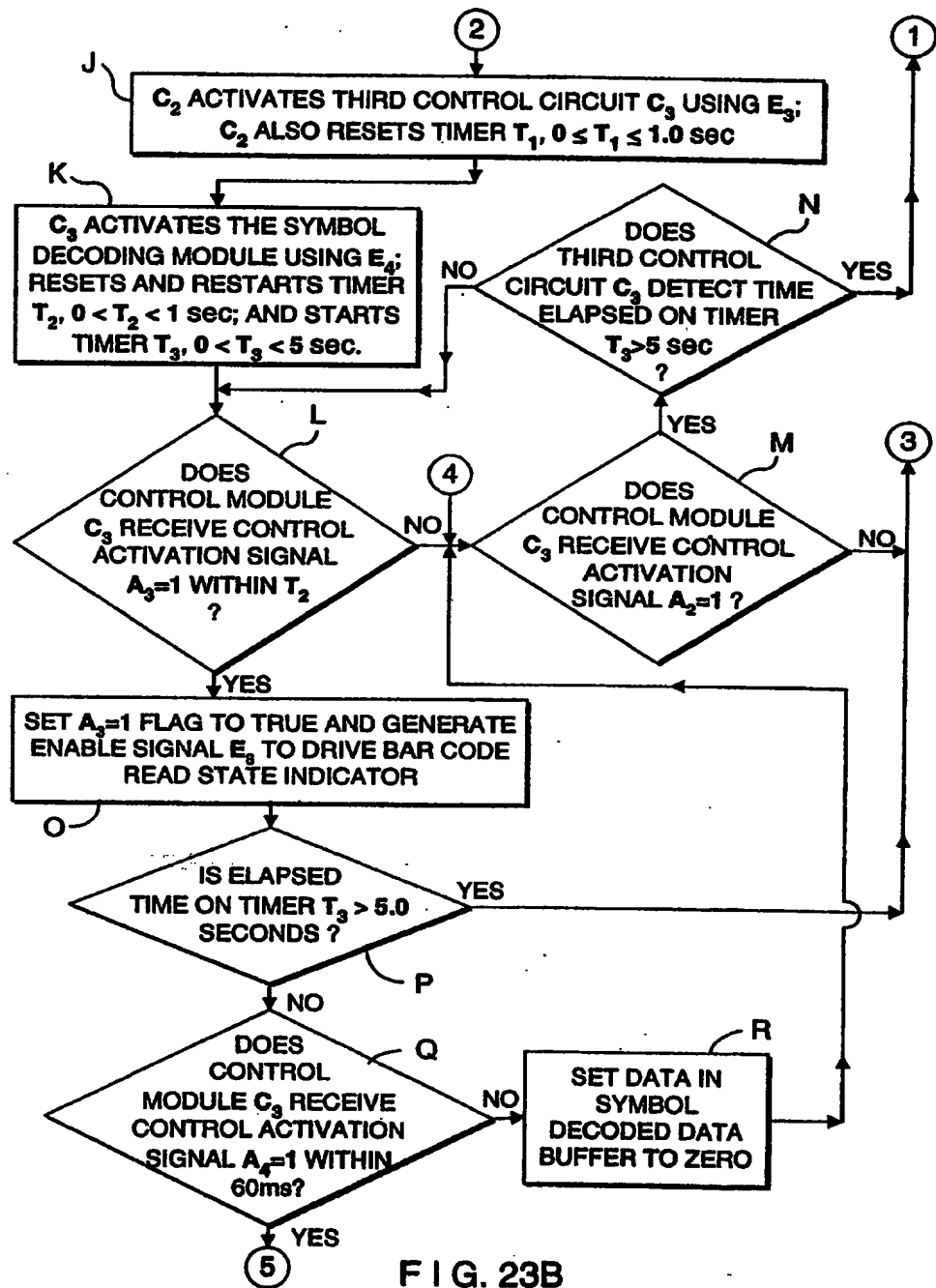


FIG. 23B

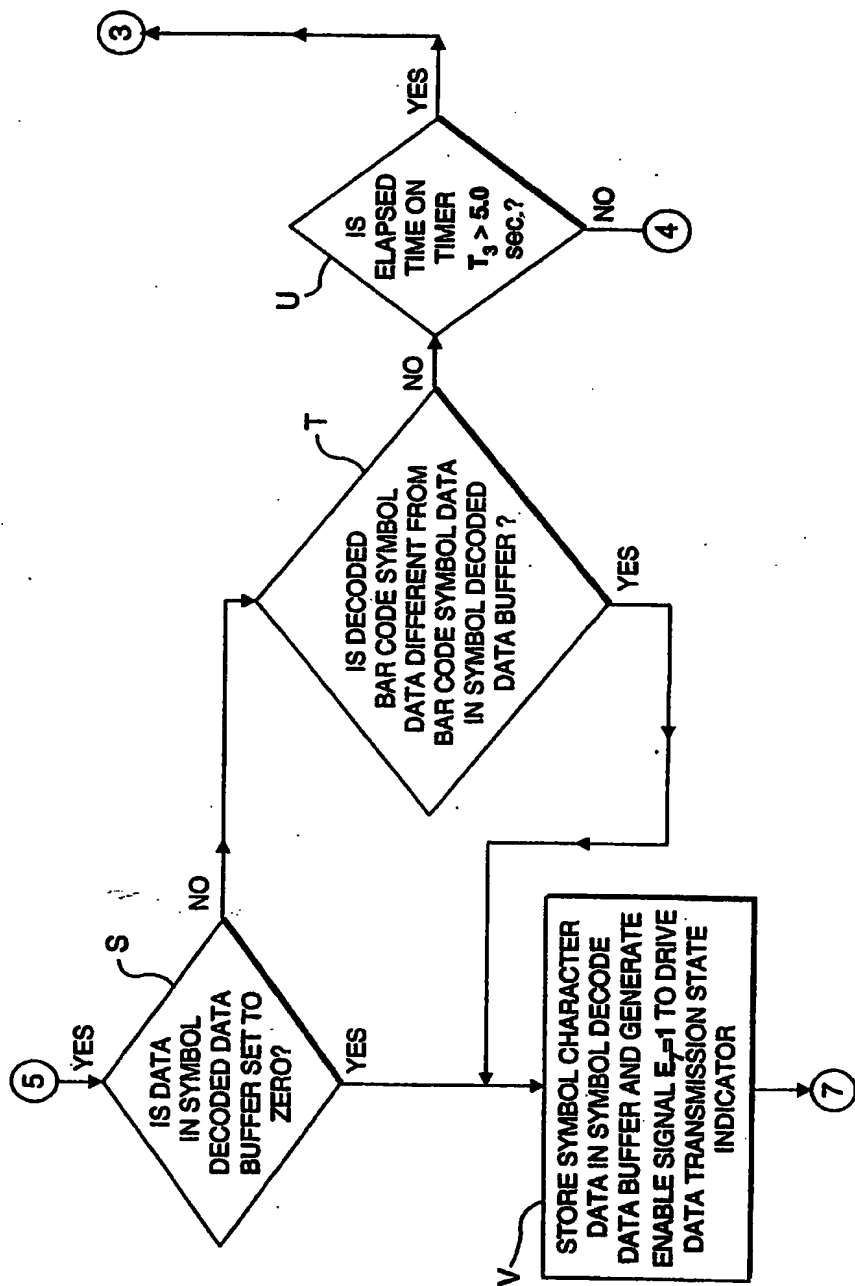


FIG. 23C

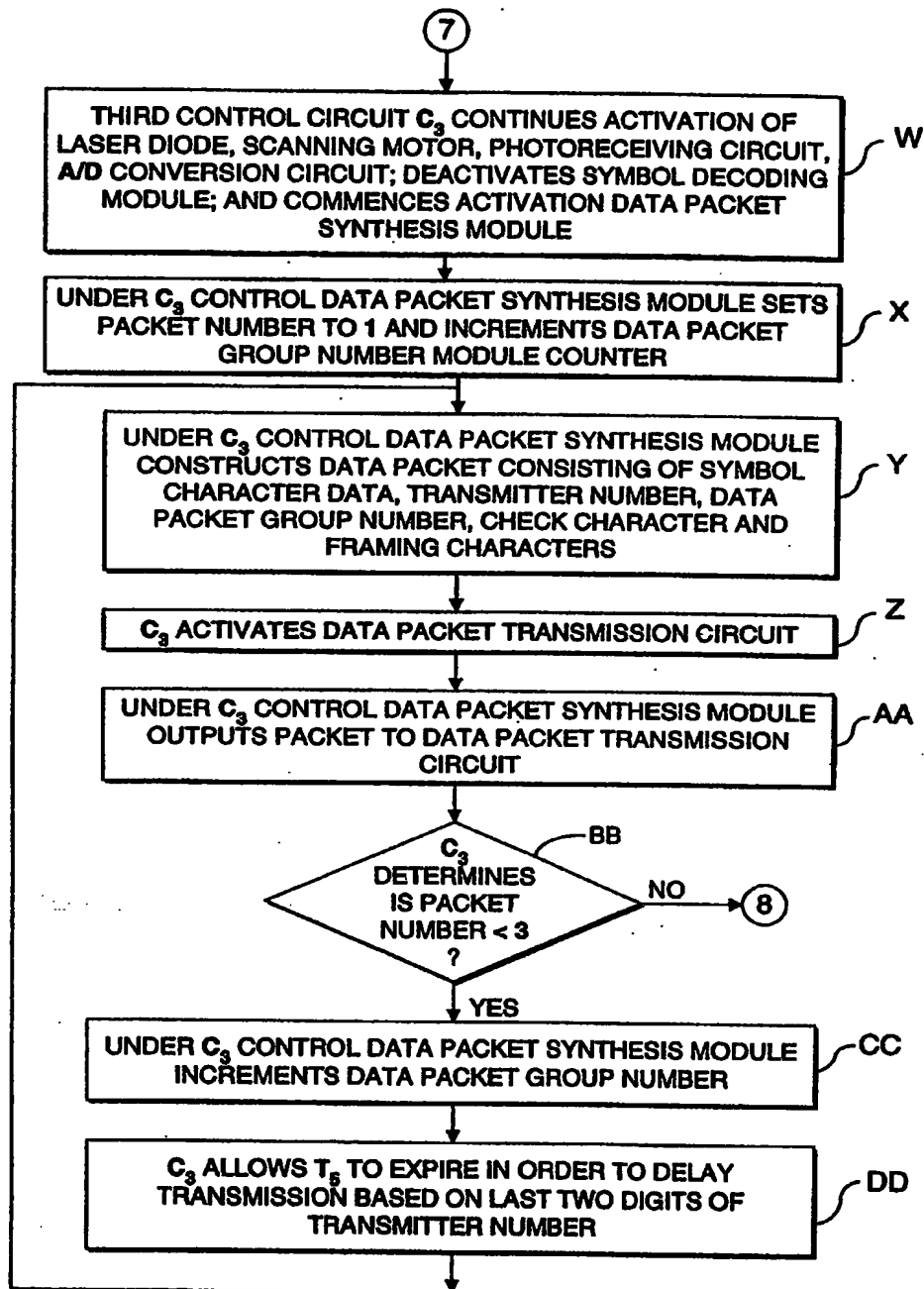


FIG. 23D

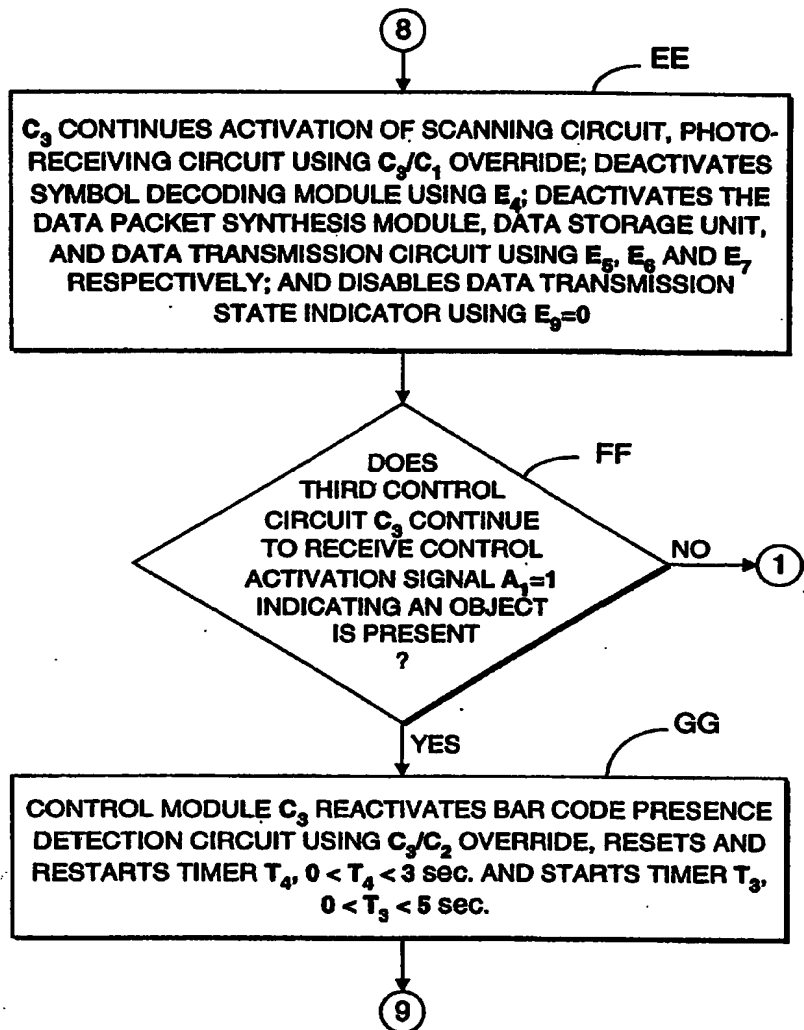


FIG. 23E

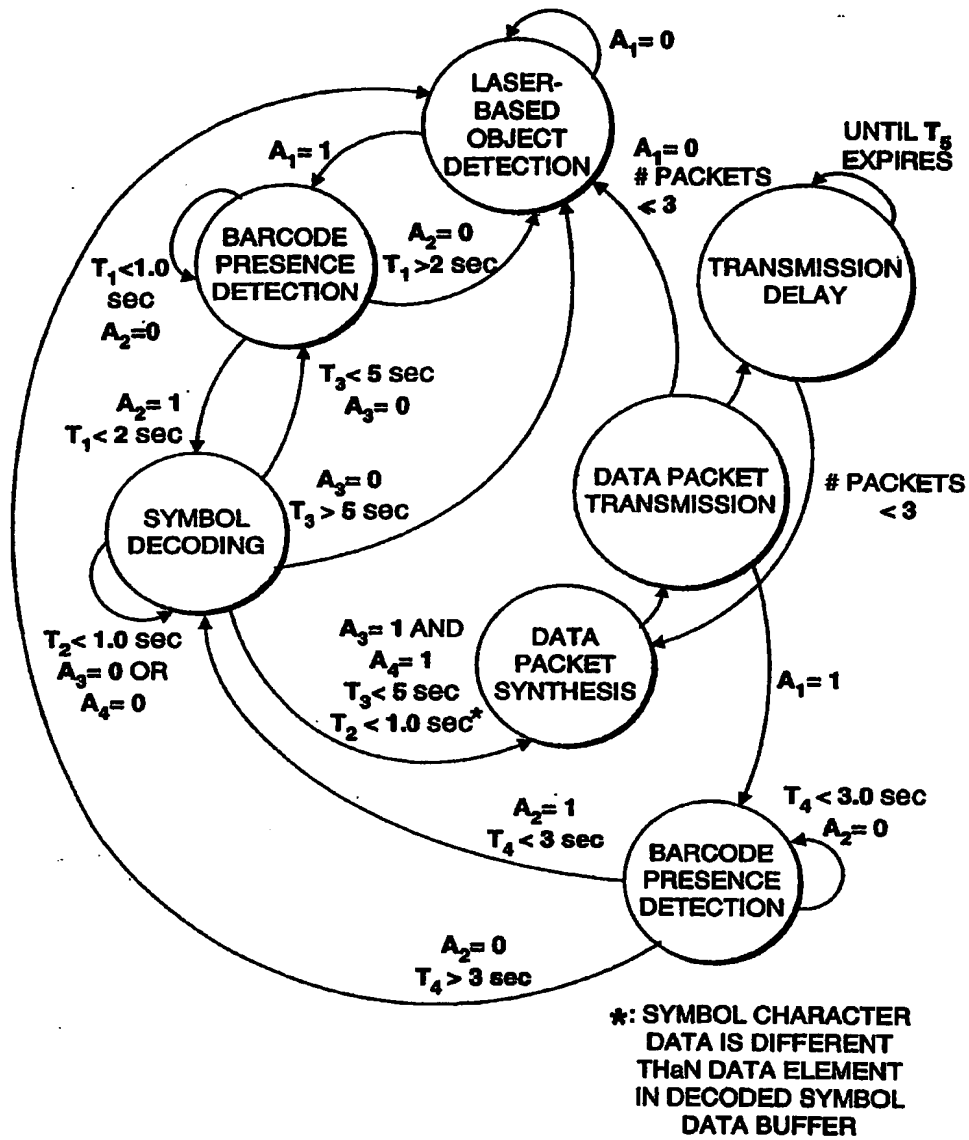
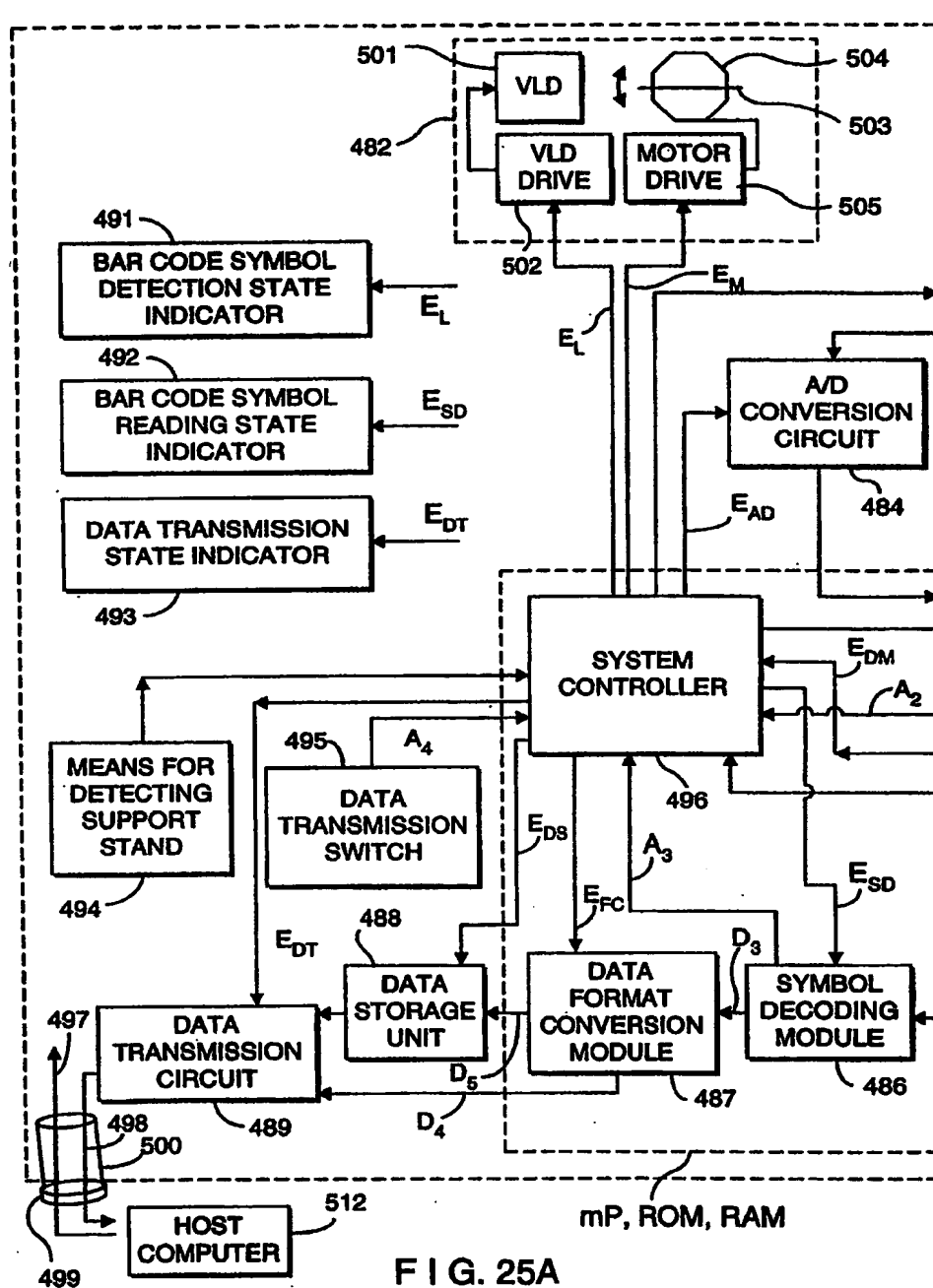


FIG. 24



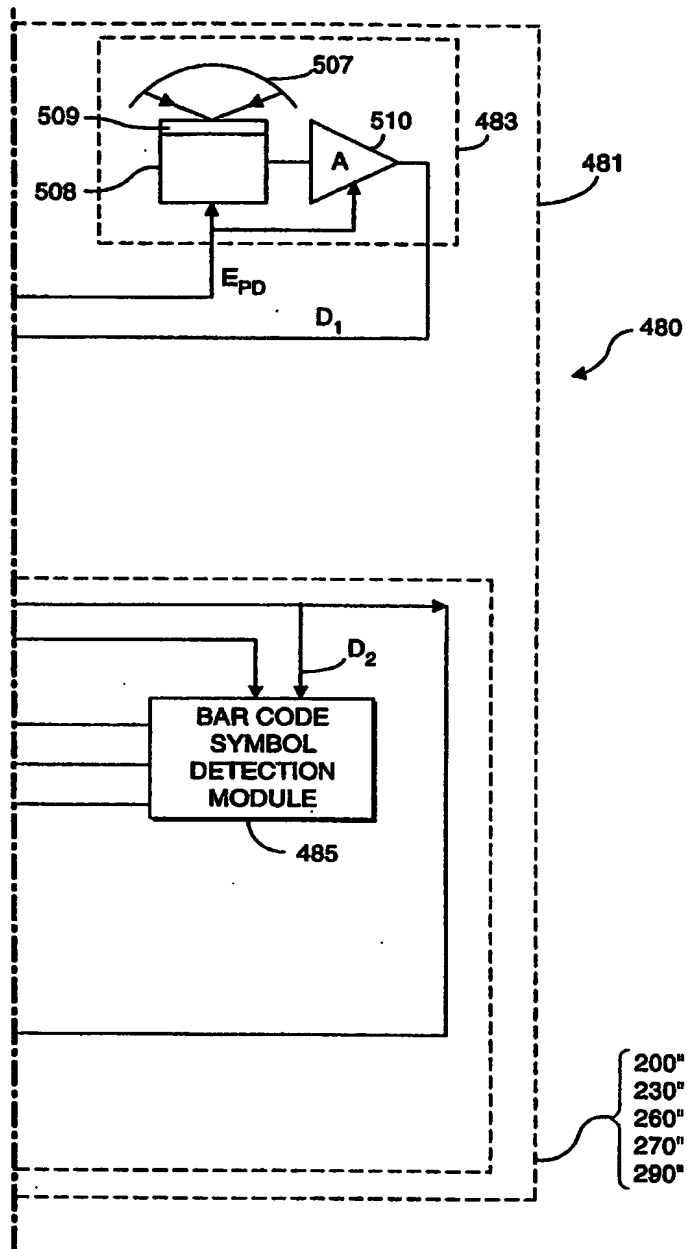
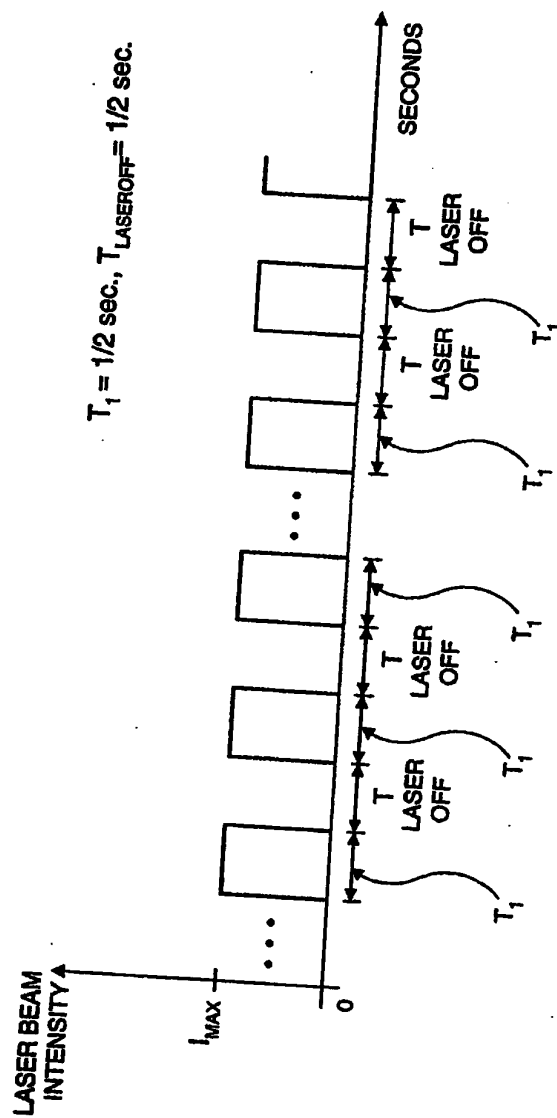


FIG. 25B



**FIG. 26**

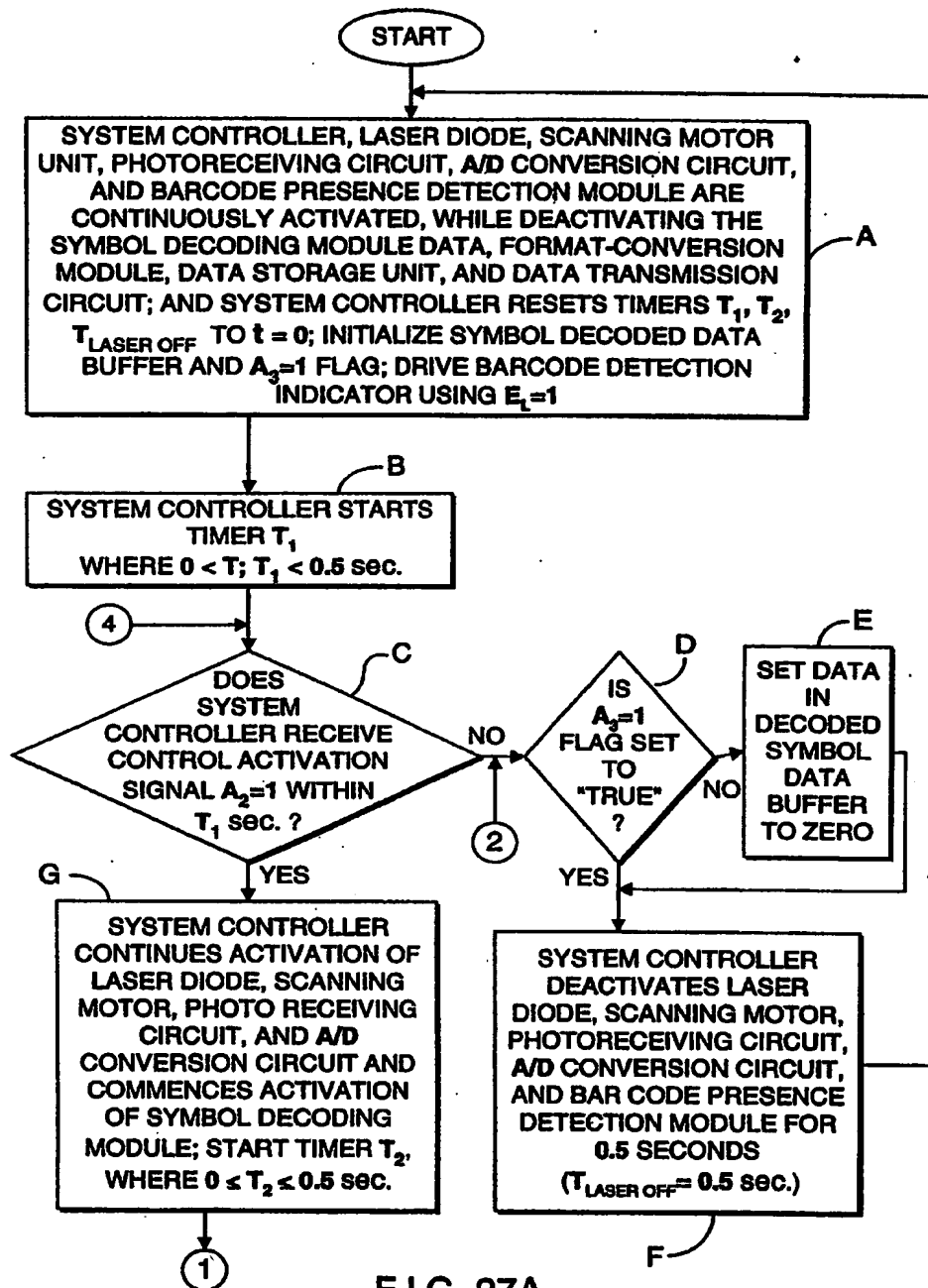


FIG. 27A

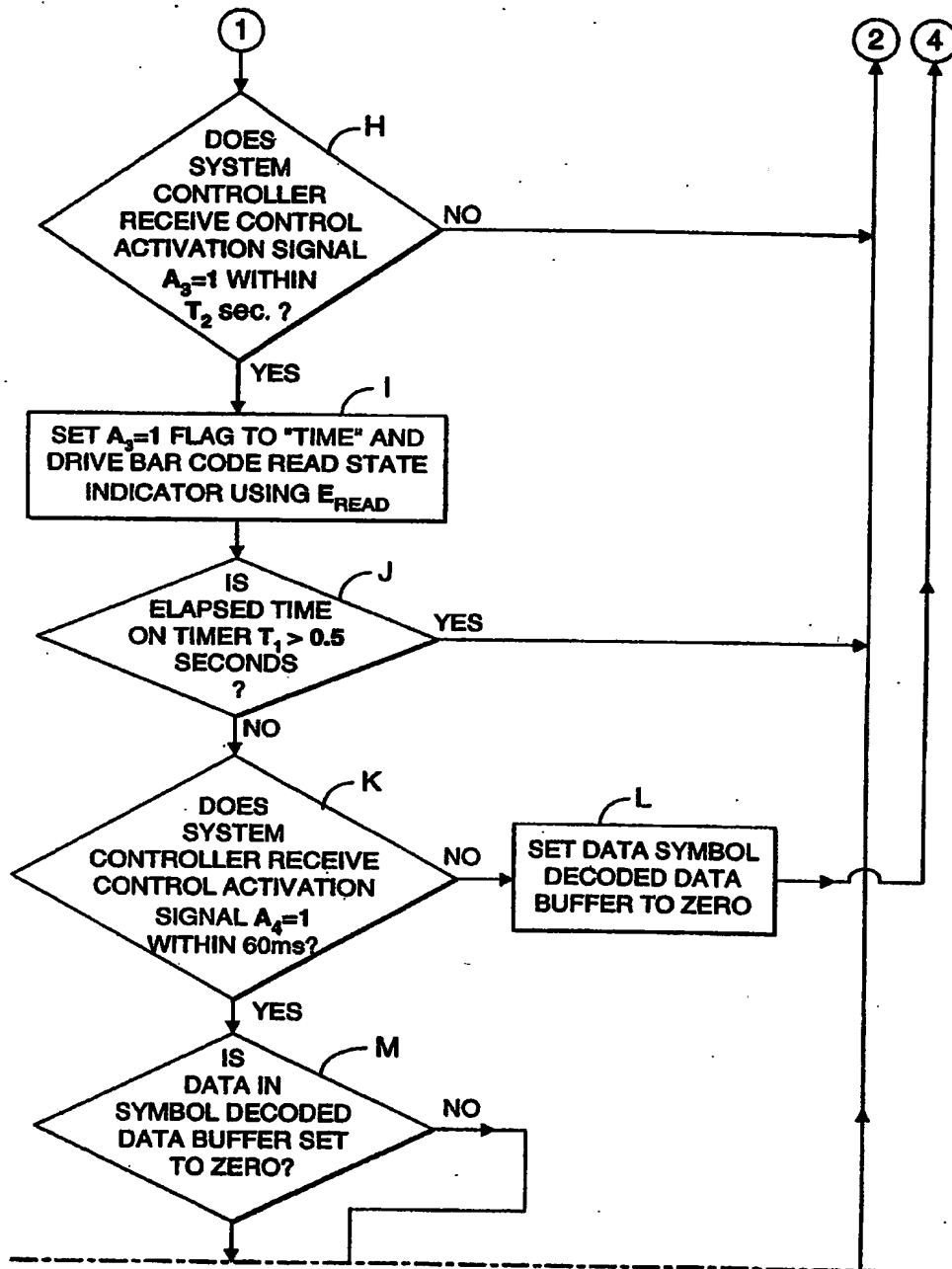


FIG. 27B1

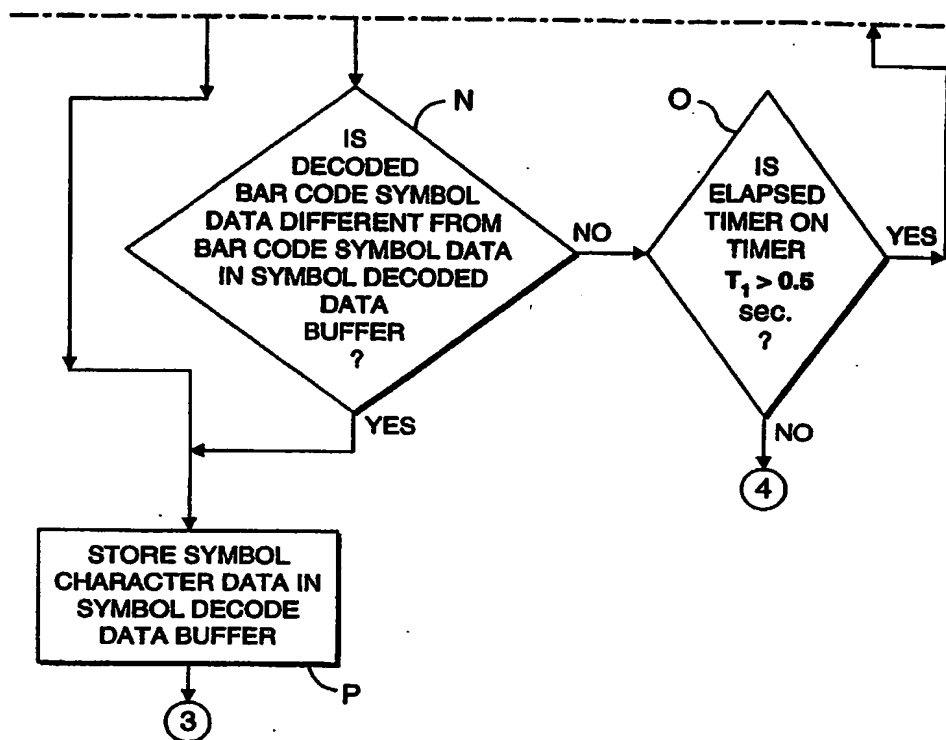


FIG. 27B2

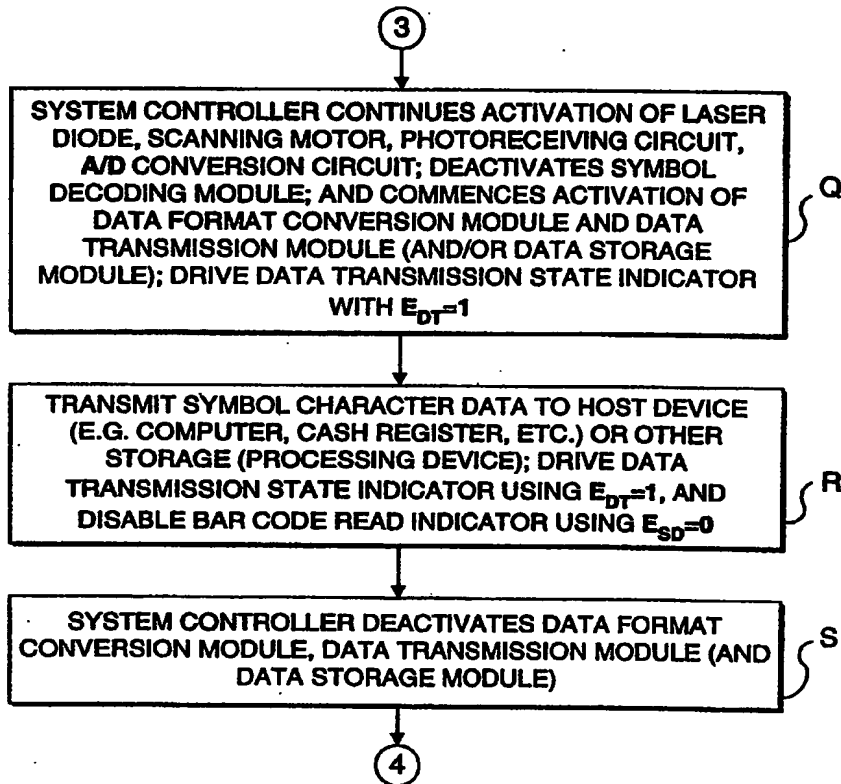


FIG. 27C

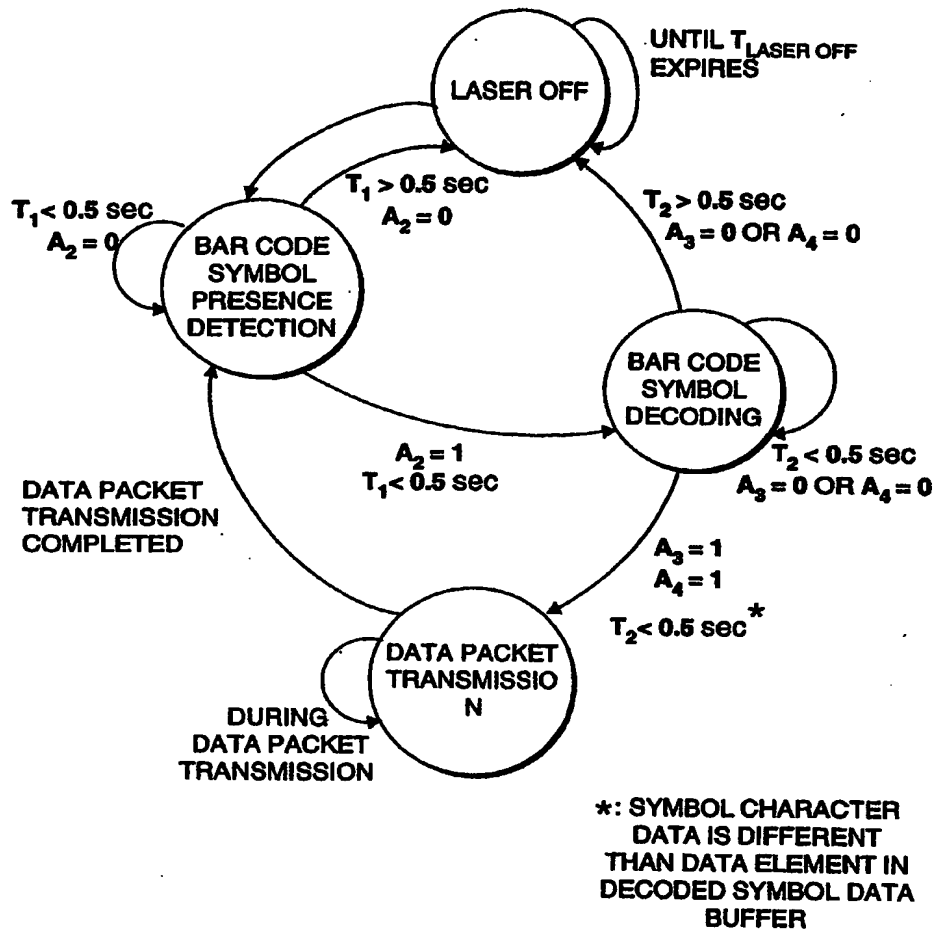


FIG. 28

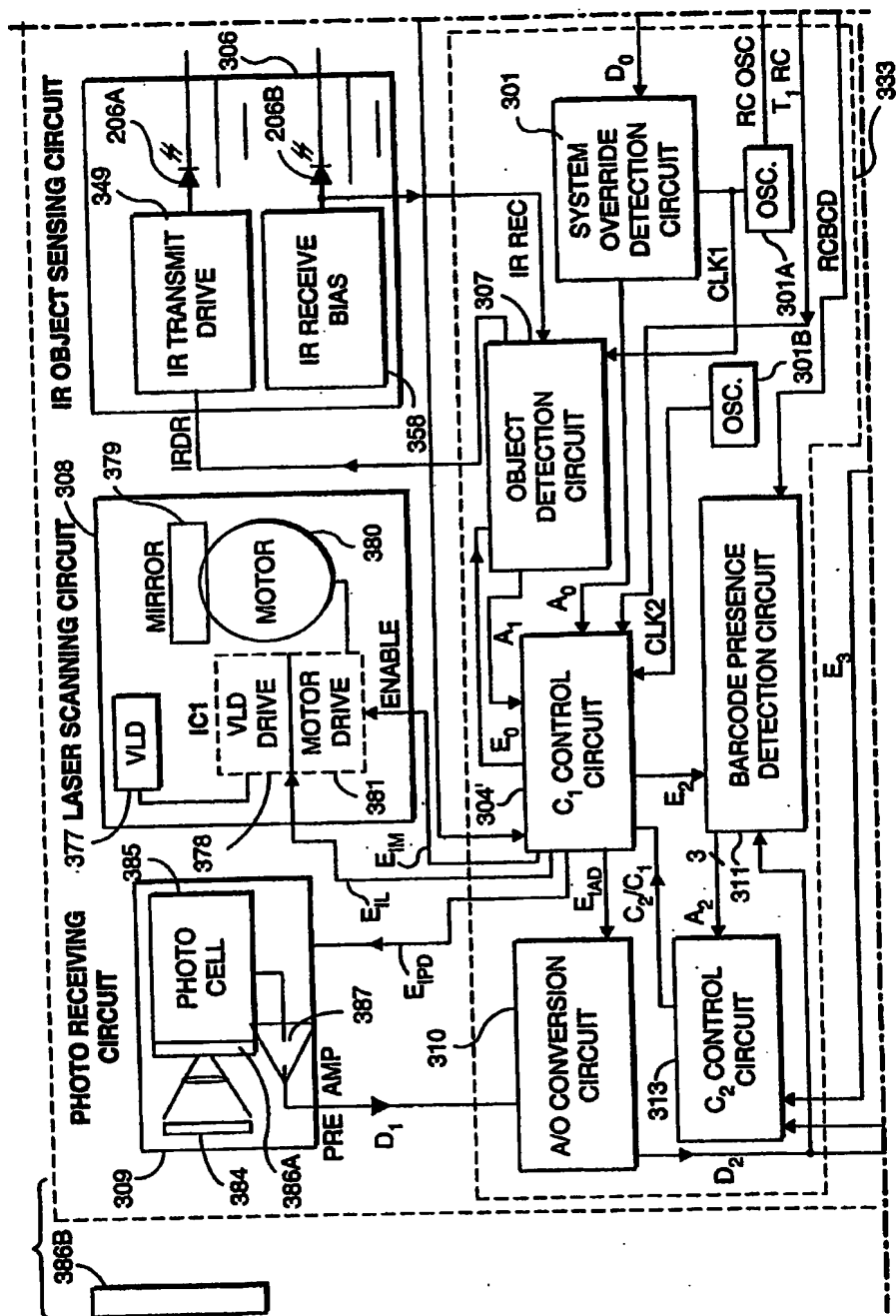


FIG. 29A1

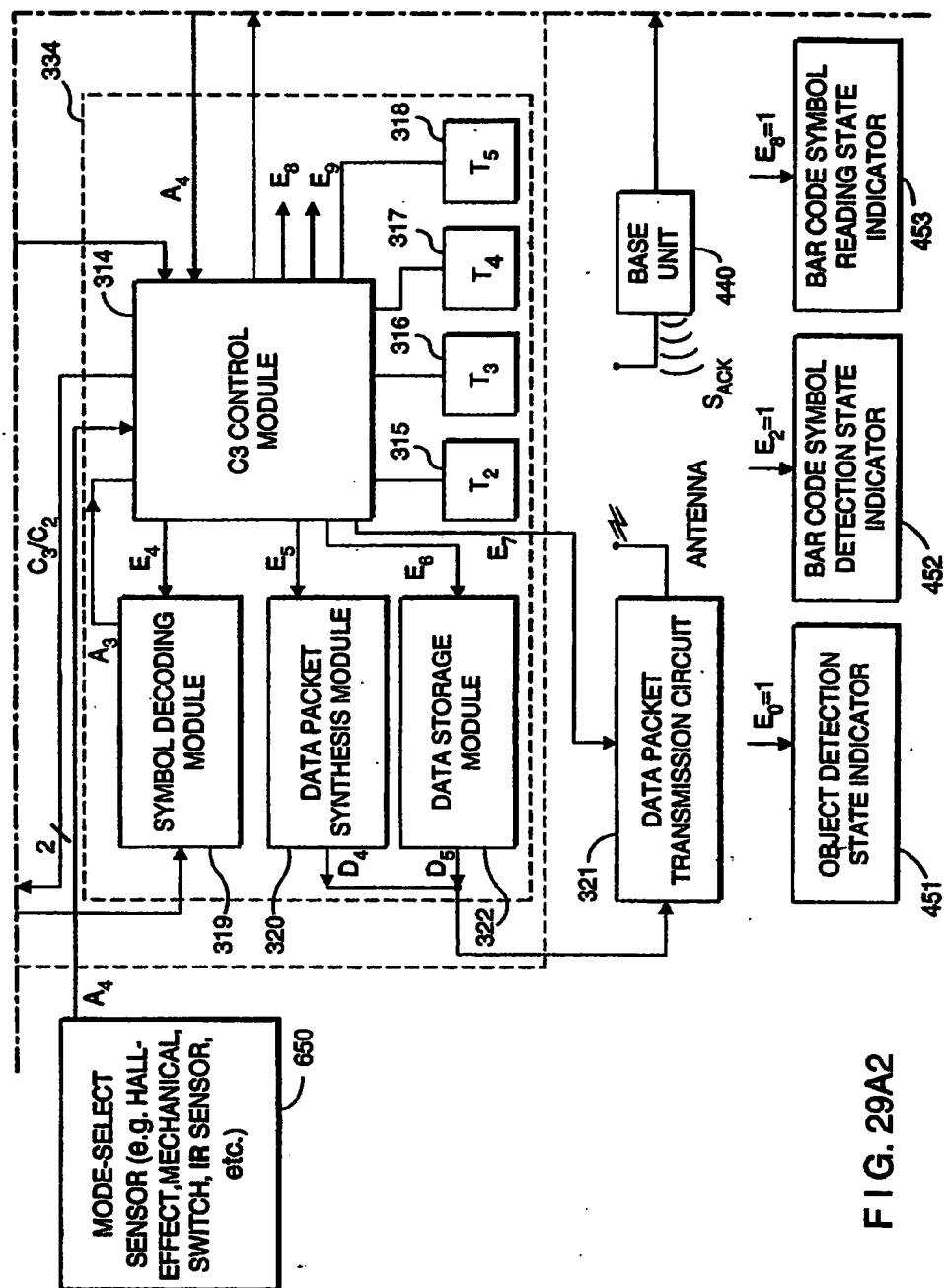


FIG. 29A2

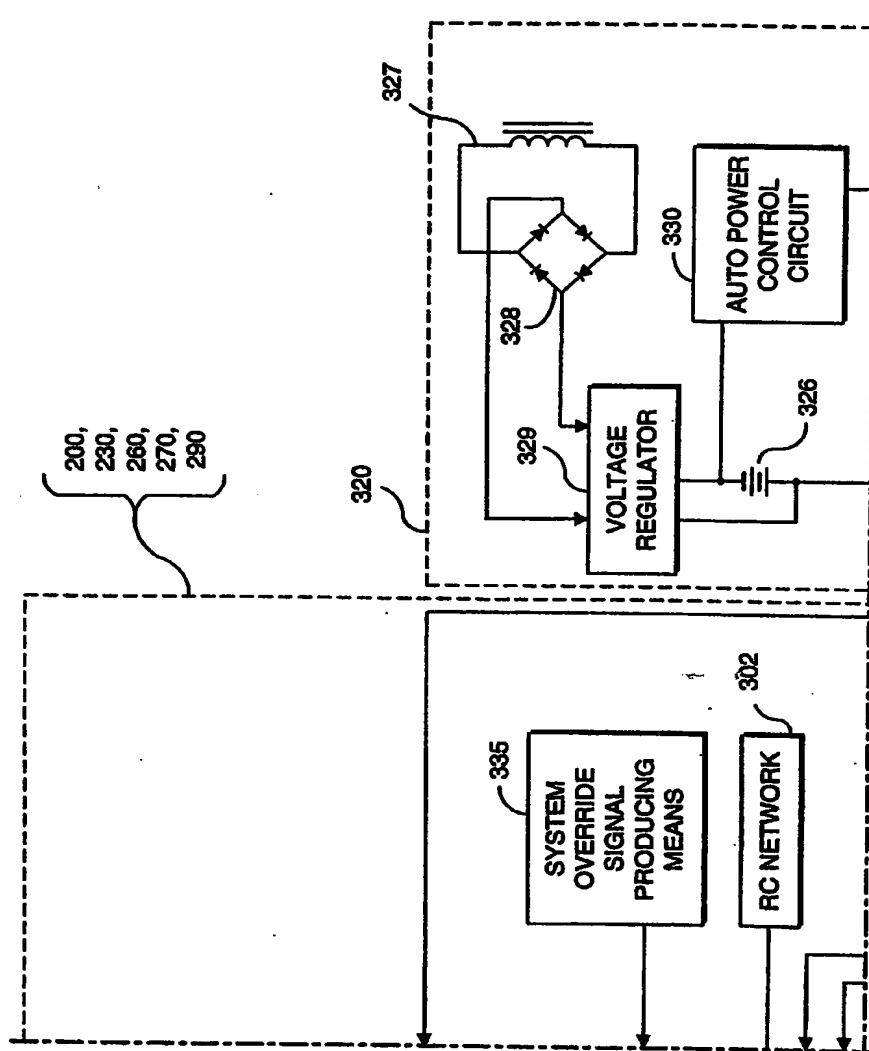


FIG. 29A3

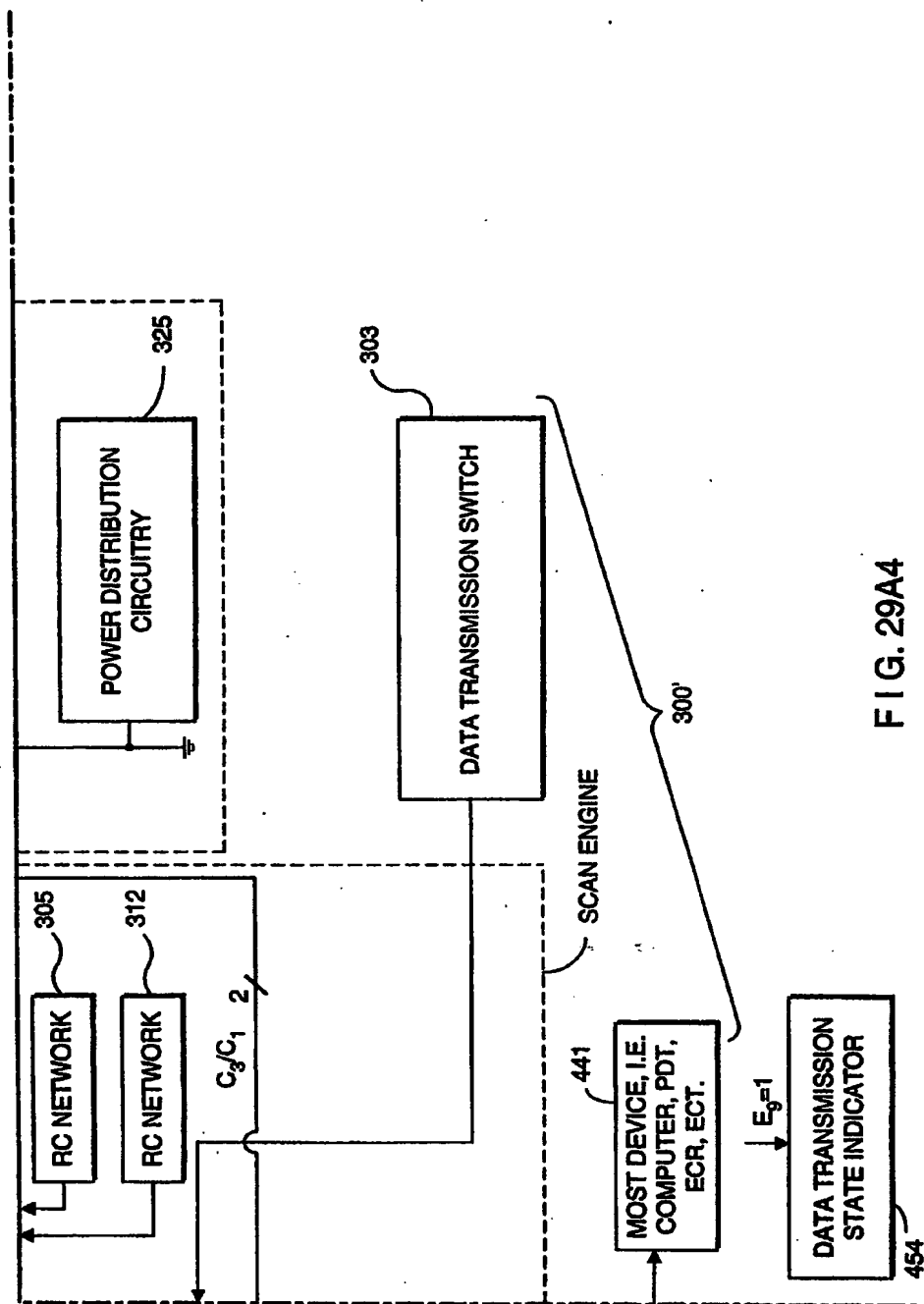


FIG. 29A4

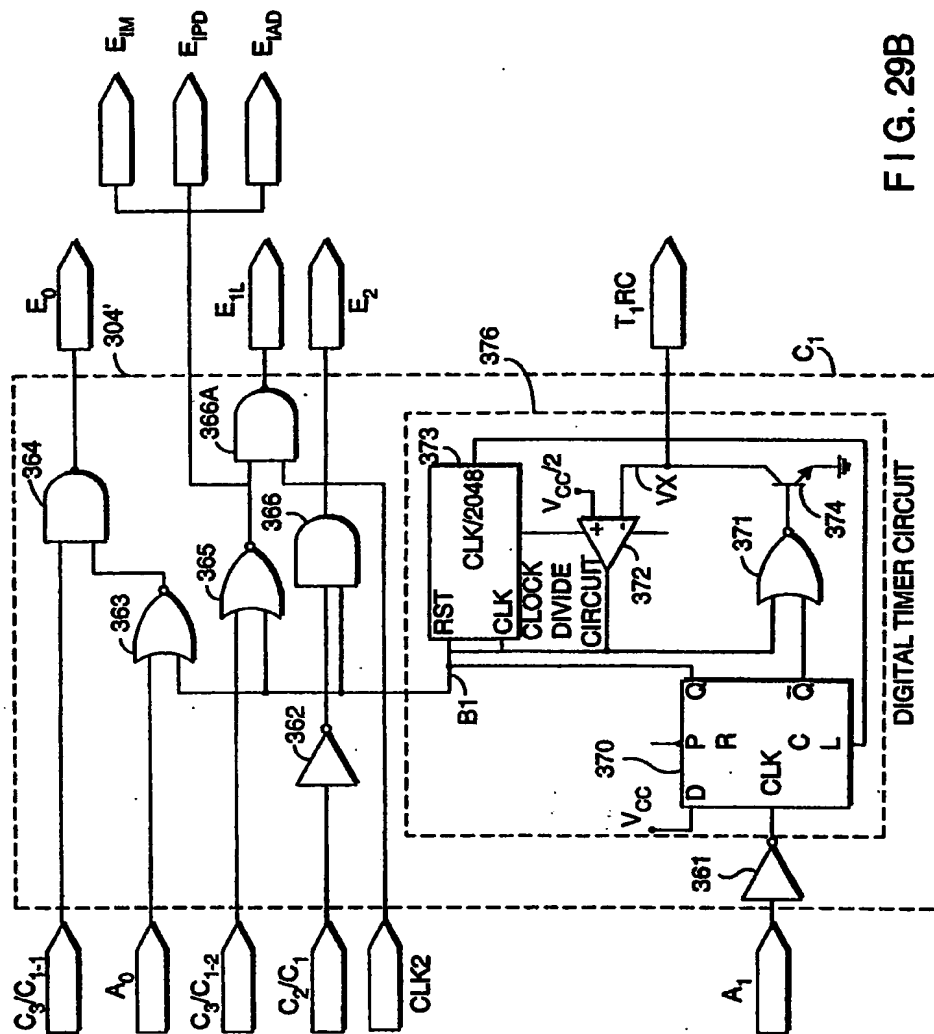


FIG. 29B

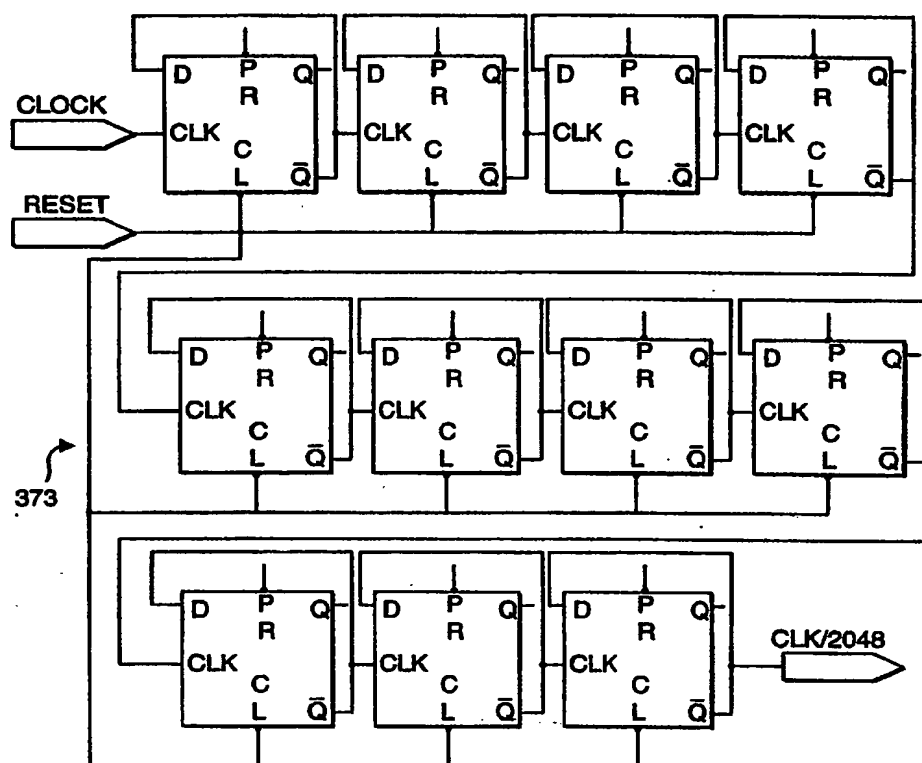


FIG. 29C

$$\left\{ \begin{array}{l} E_0 = \overline{(B1 + A_0) (C_3 / C_{1-1})} \\ E_{IM} = E_{IPD} = E_{IAD} = \overline{(C_3 / C_{1-2}) + B1} \\ E_L = \overline{[(C_3 / C_{1-1}) + B1]} [B2] \\ E_2 = \overline{(C_2 / C_1) (B1)} \end{array} \right.$$

**F I G. 29D**

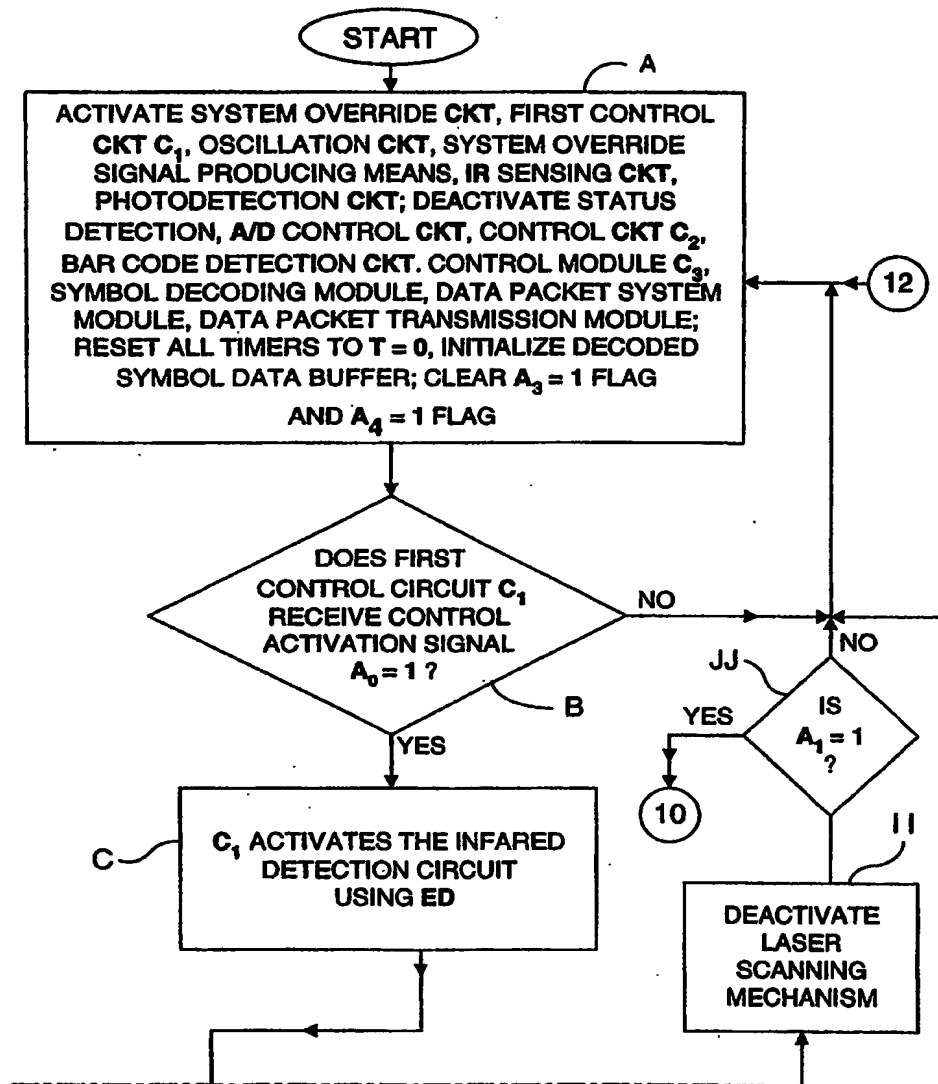
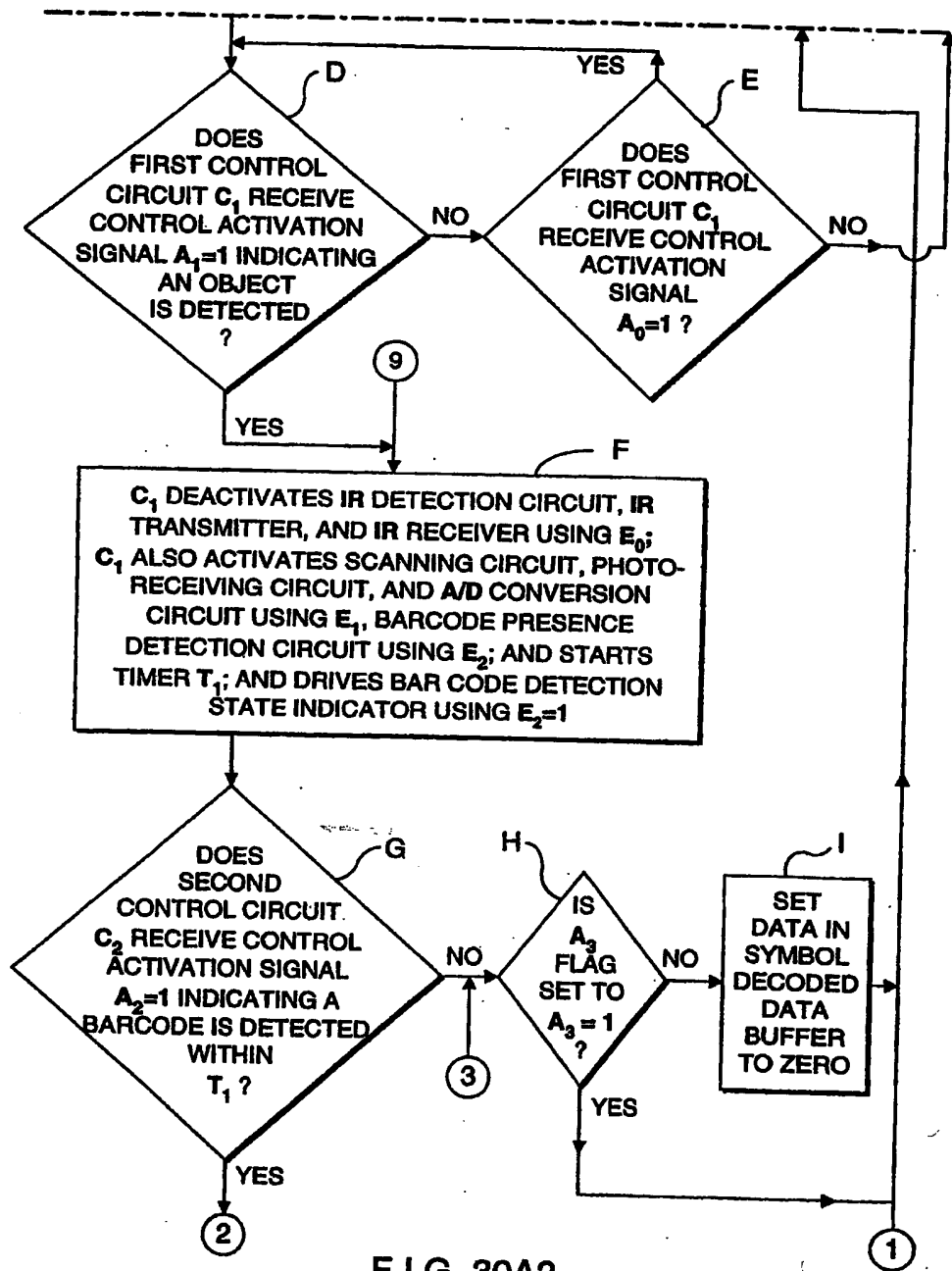


FIG. 30A1



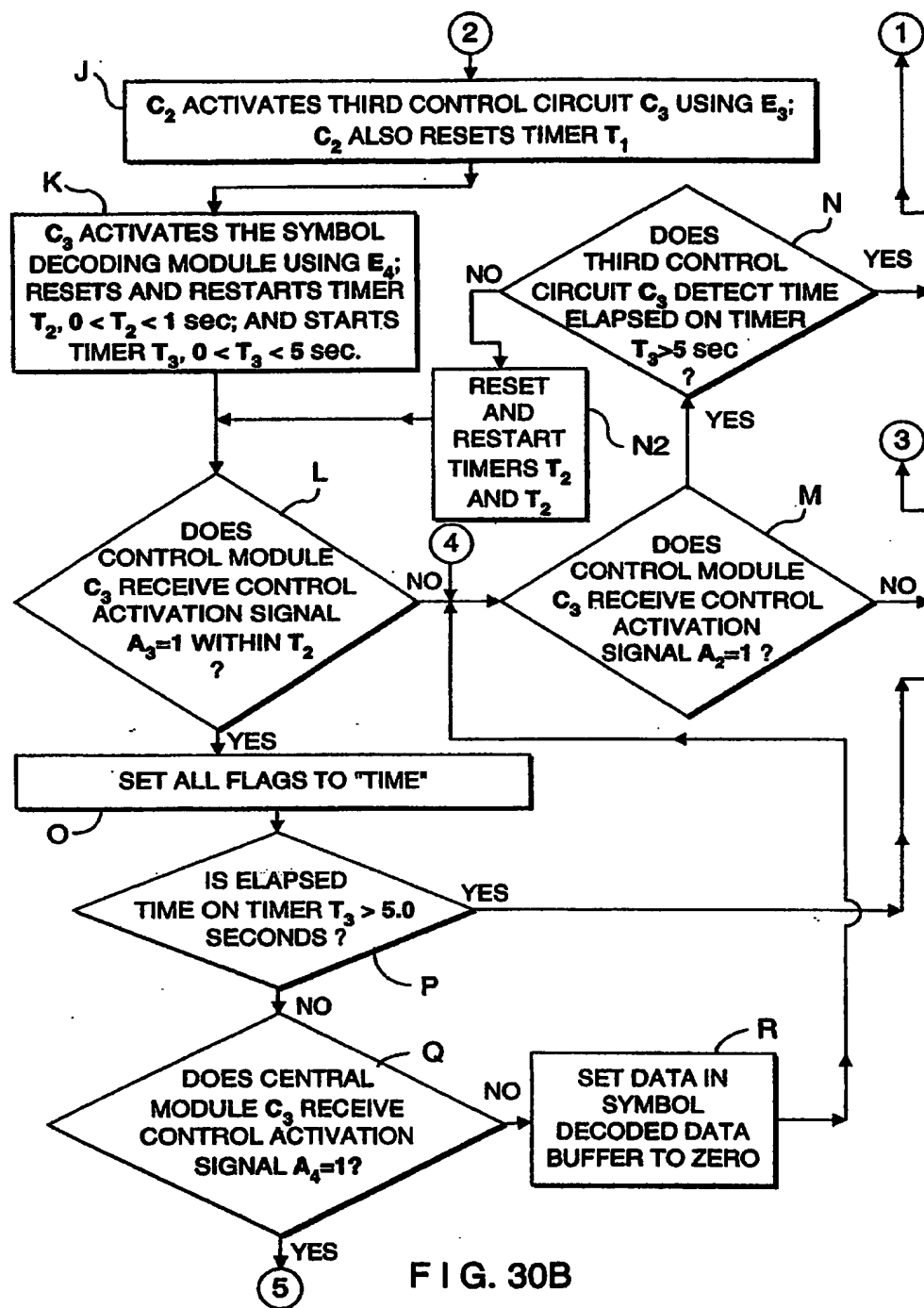


FIG. 30B

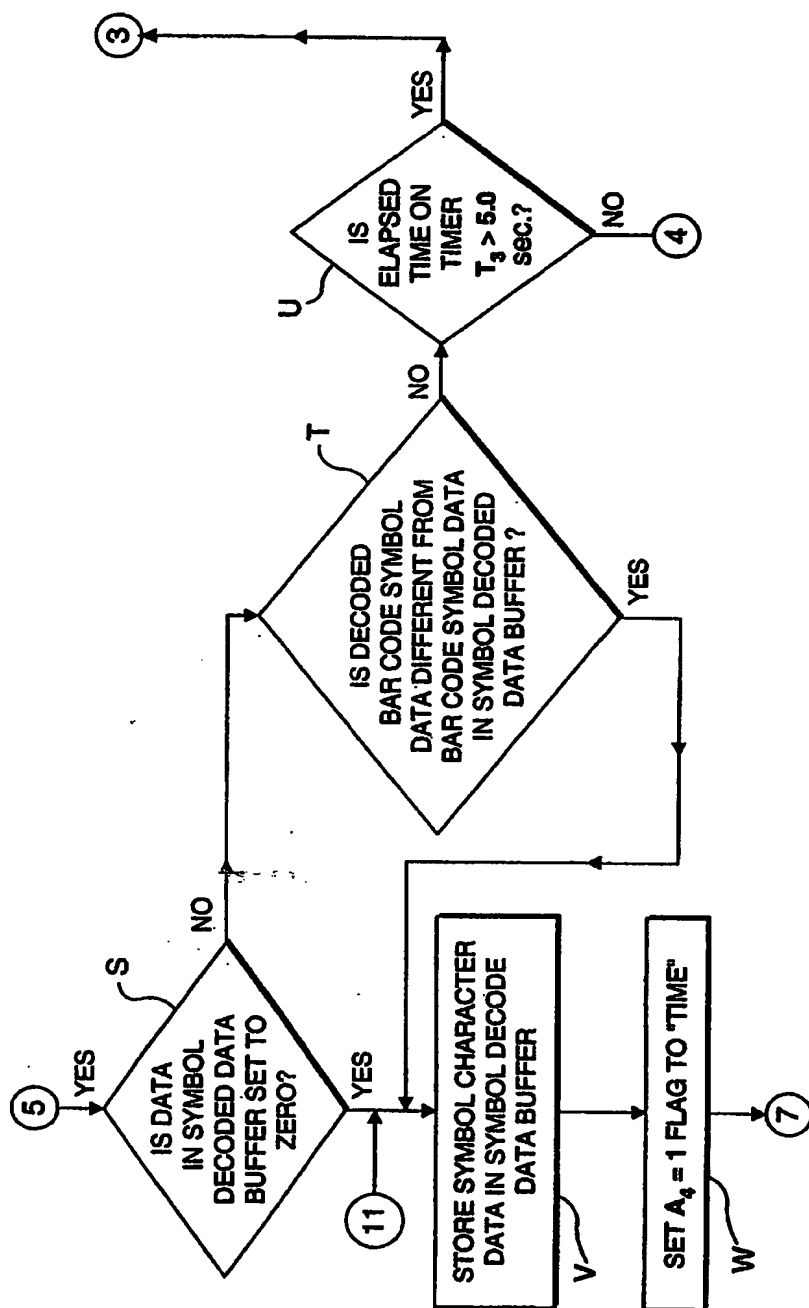


FIG. 30C

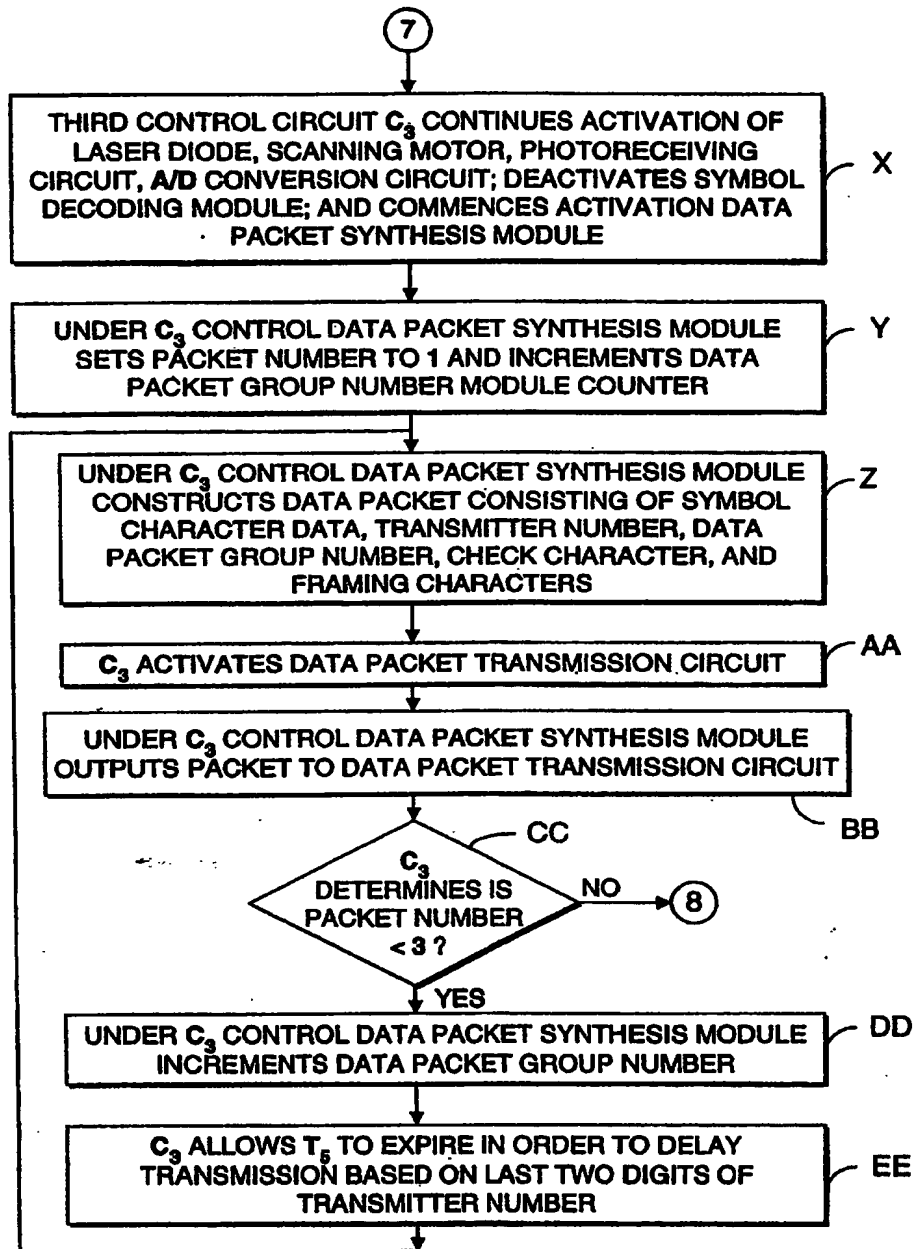


FIG. 30D

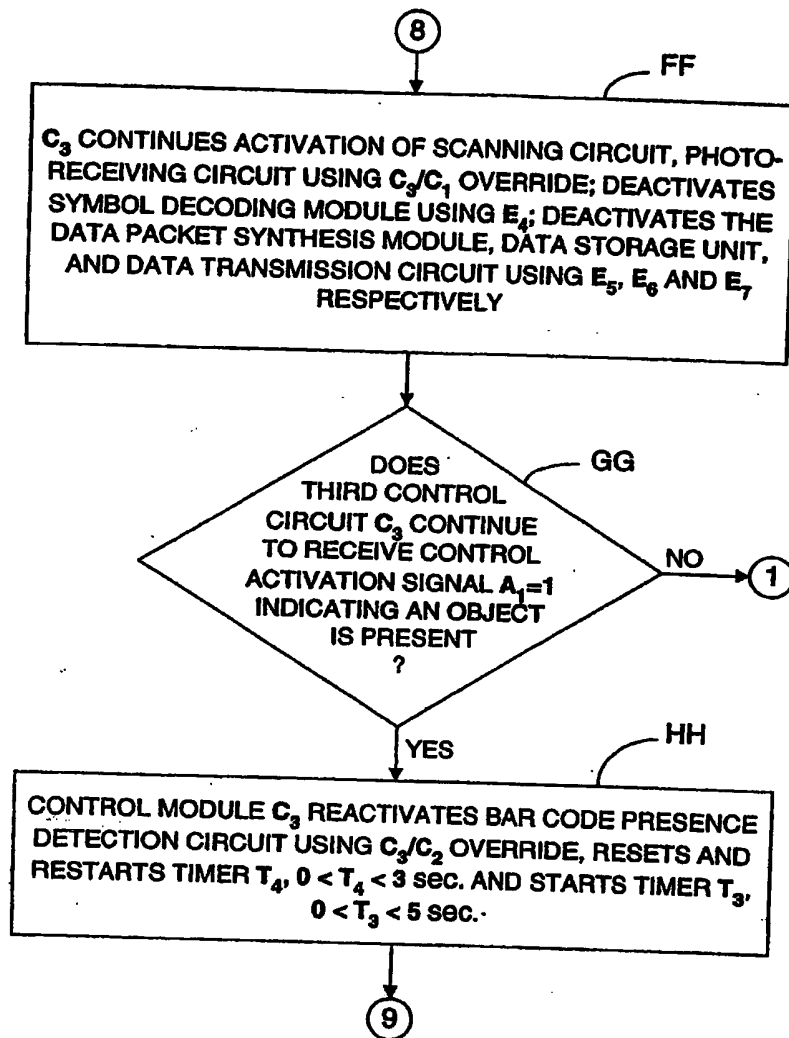


FIG. 30E

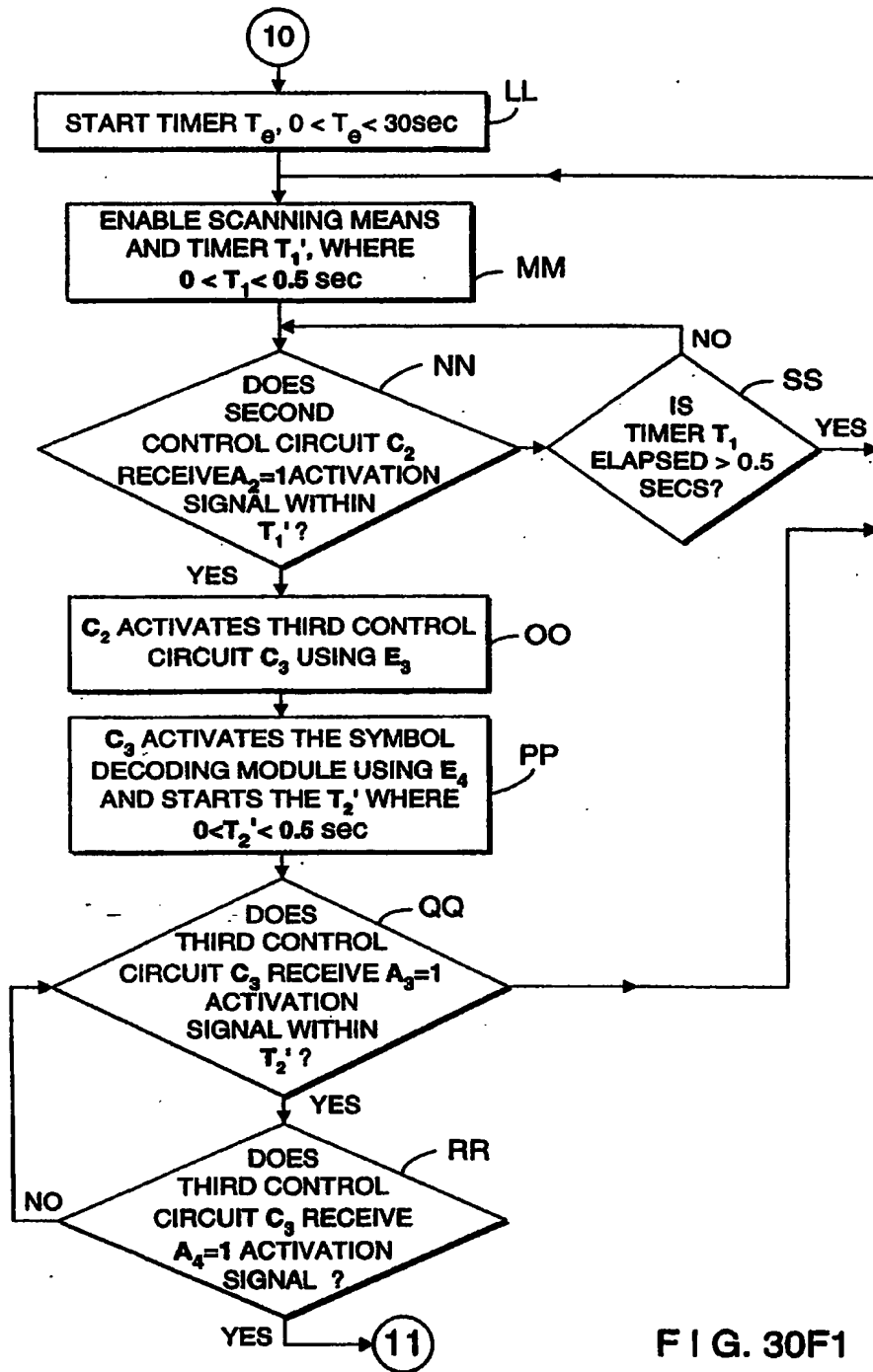
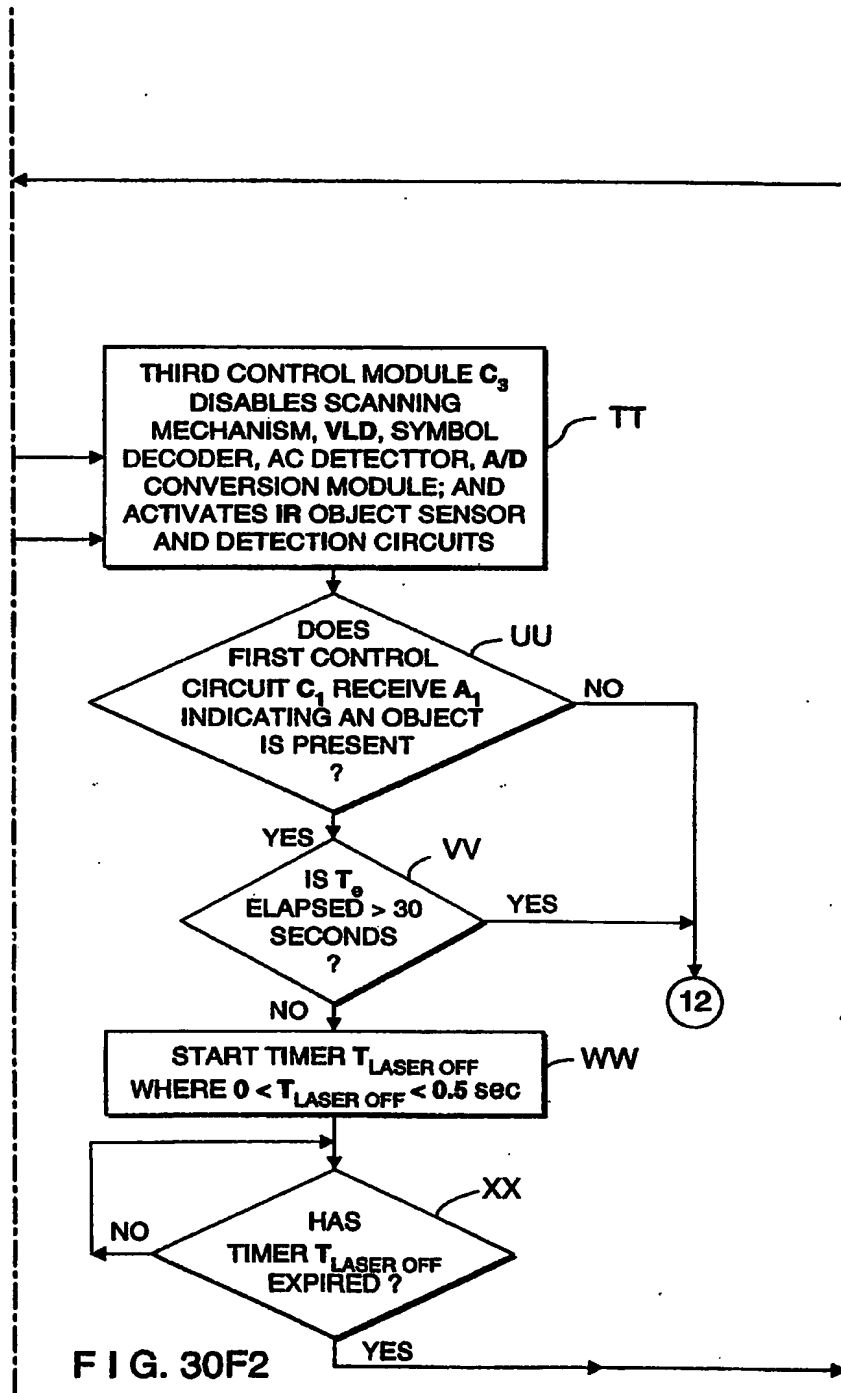


FIG. 30F1



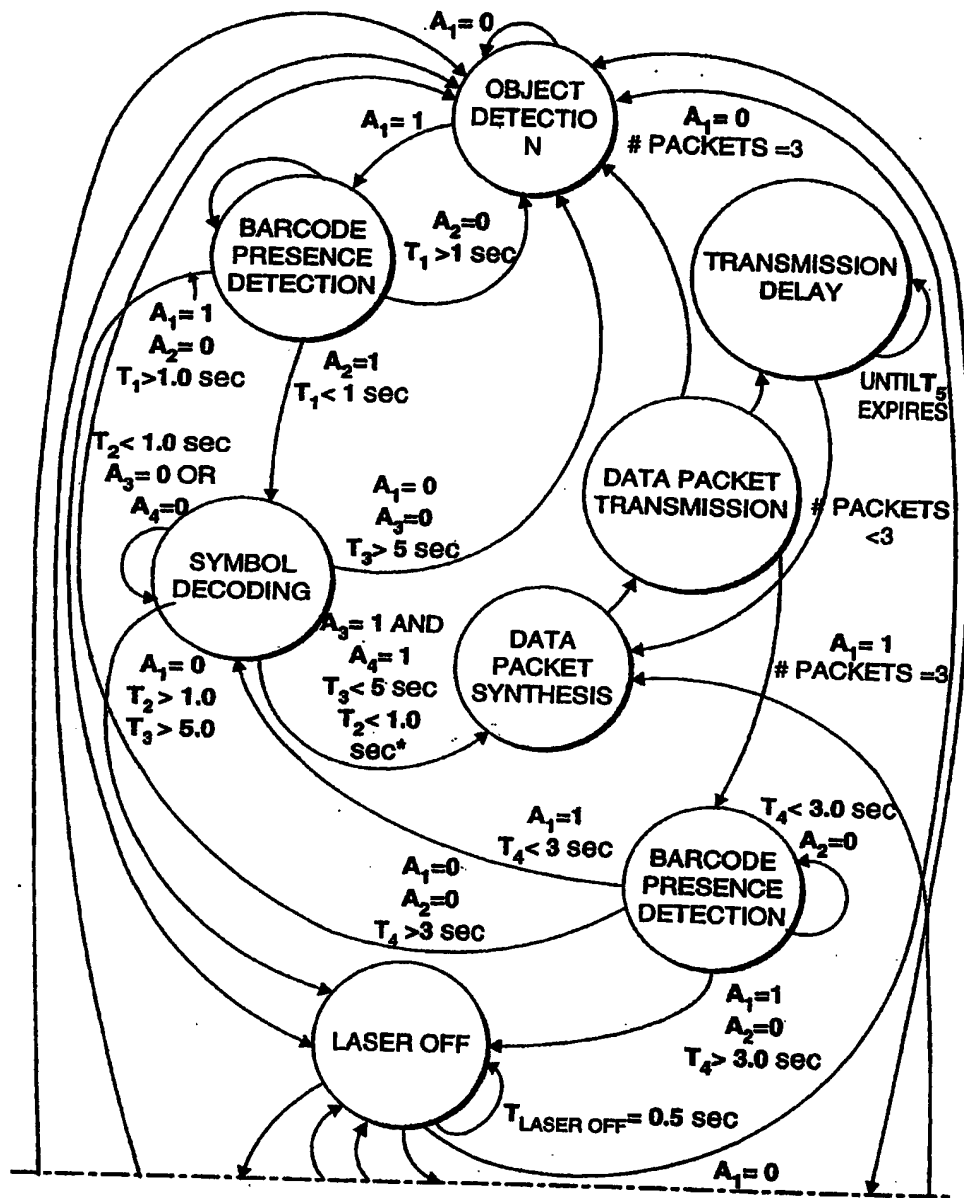
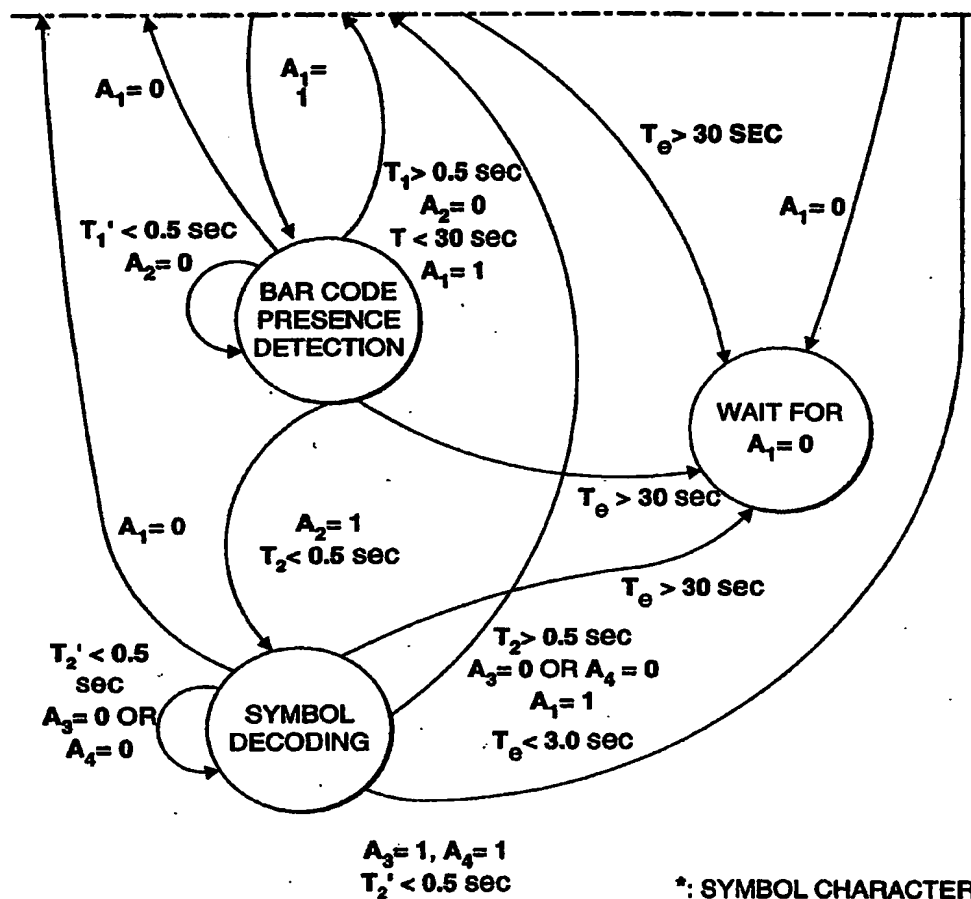


FIG. 31A



\*: SYMBOL CHARACTER  
DATA IS DIFFERENT  
THAN DATA ELEMENT IN  
DECODED SYMBOL  
DATA BUFFER

FIG. 31B

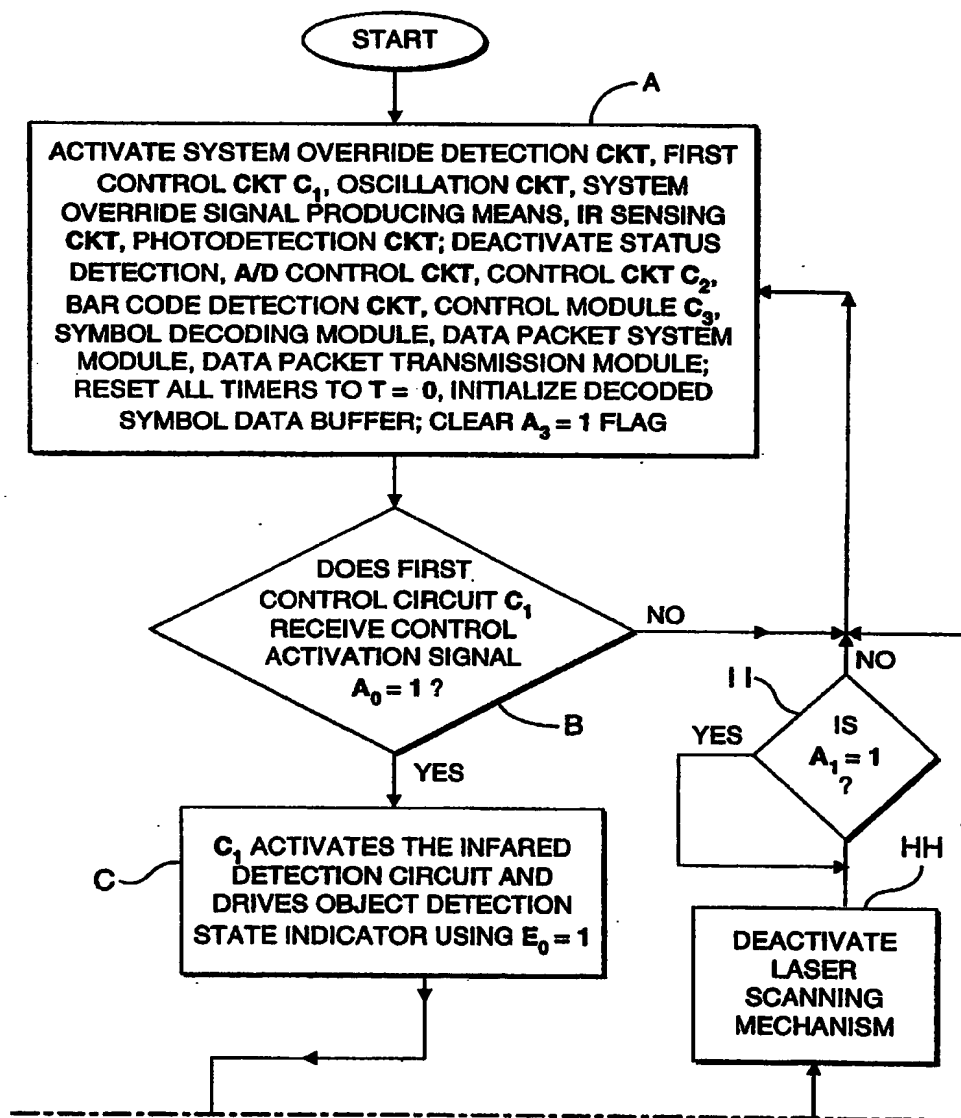


FIG. 32A1

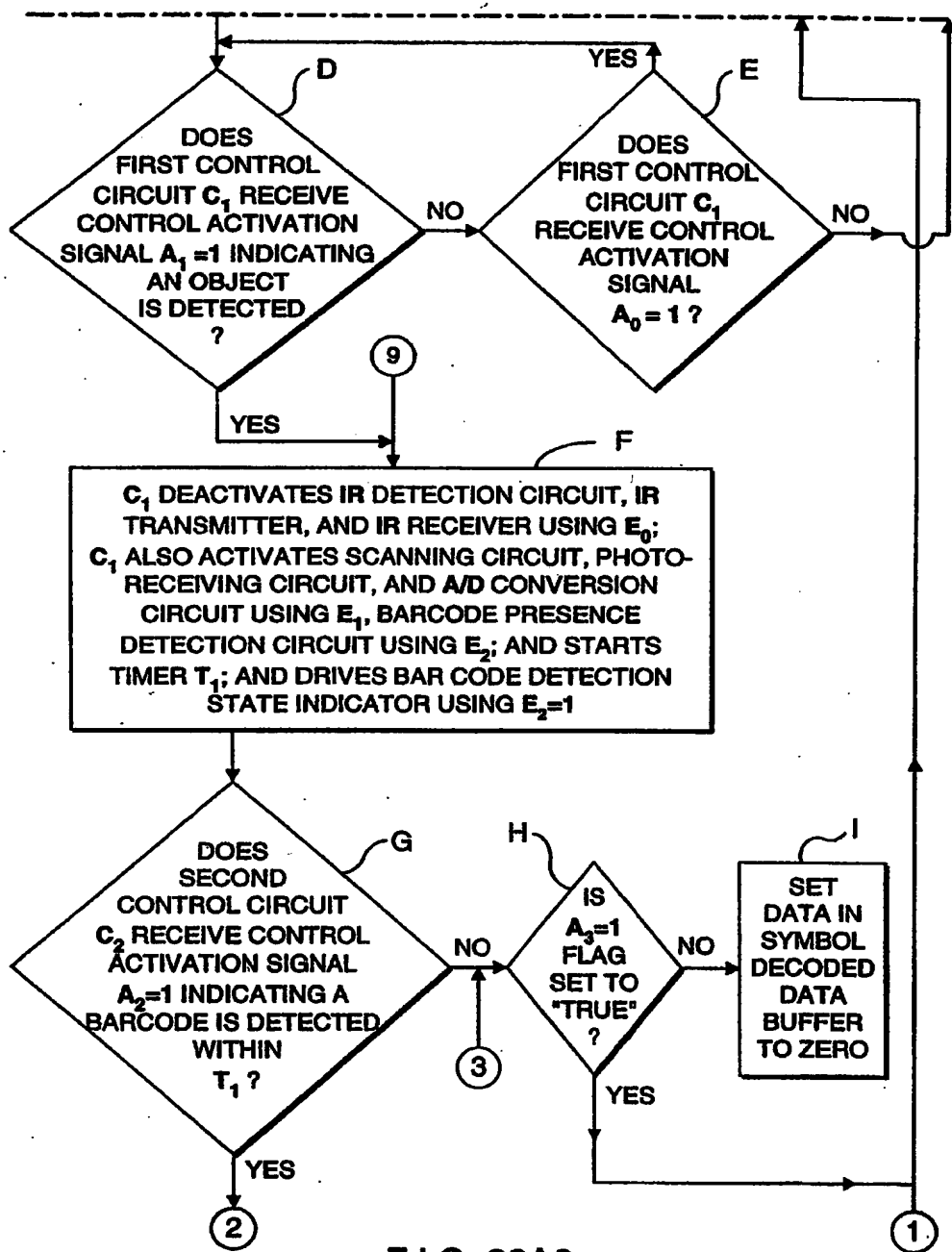


FIG. 32A2

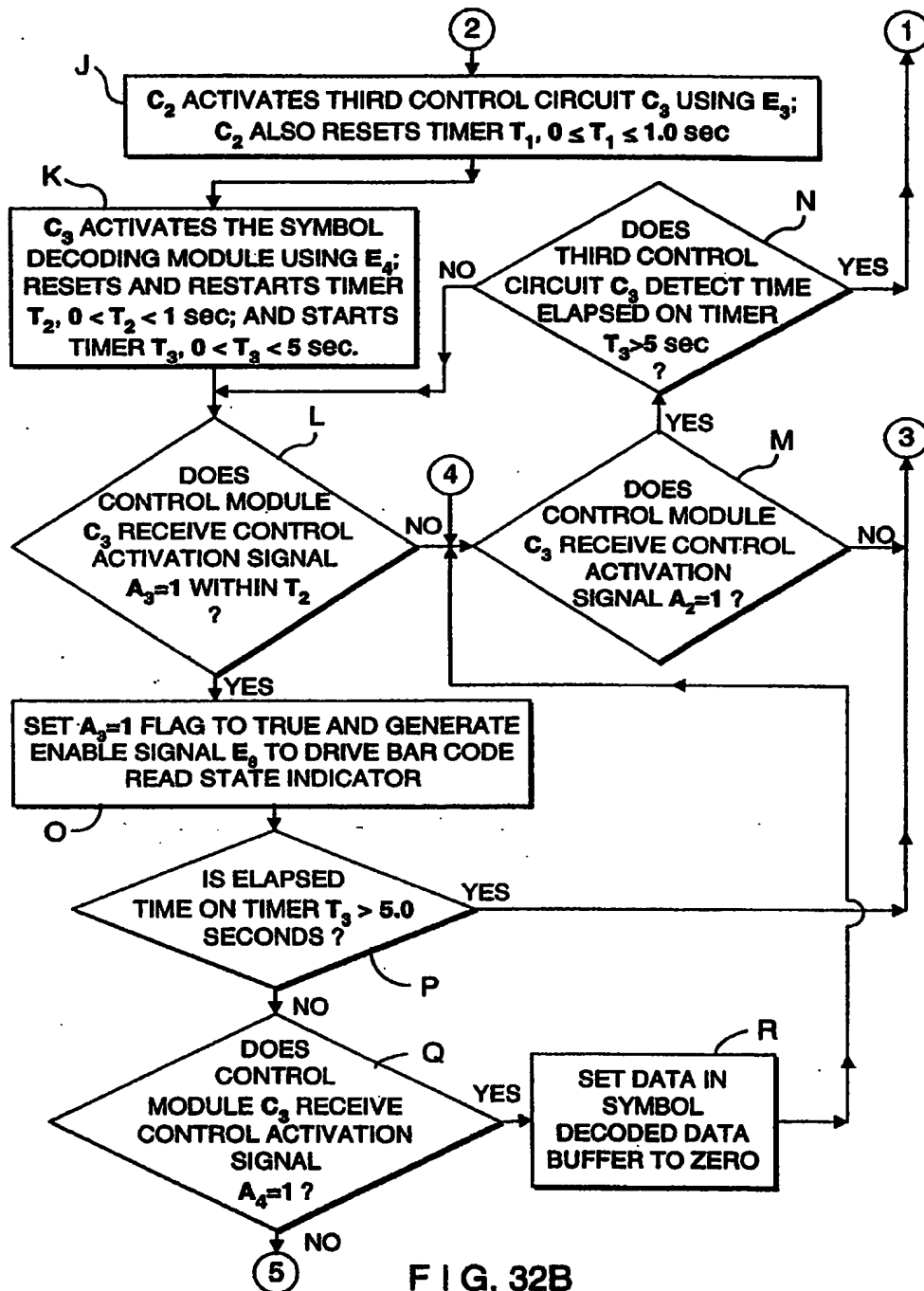


FIG. 32B

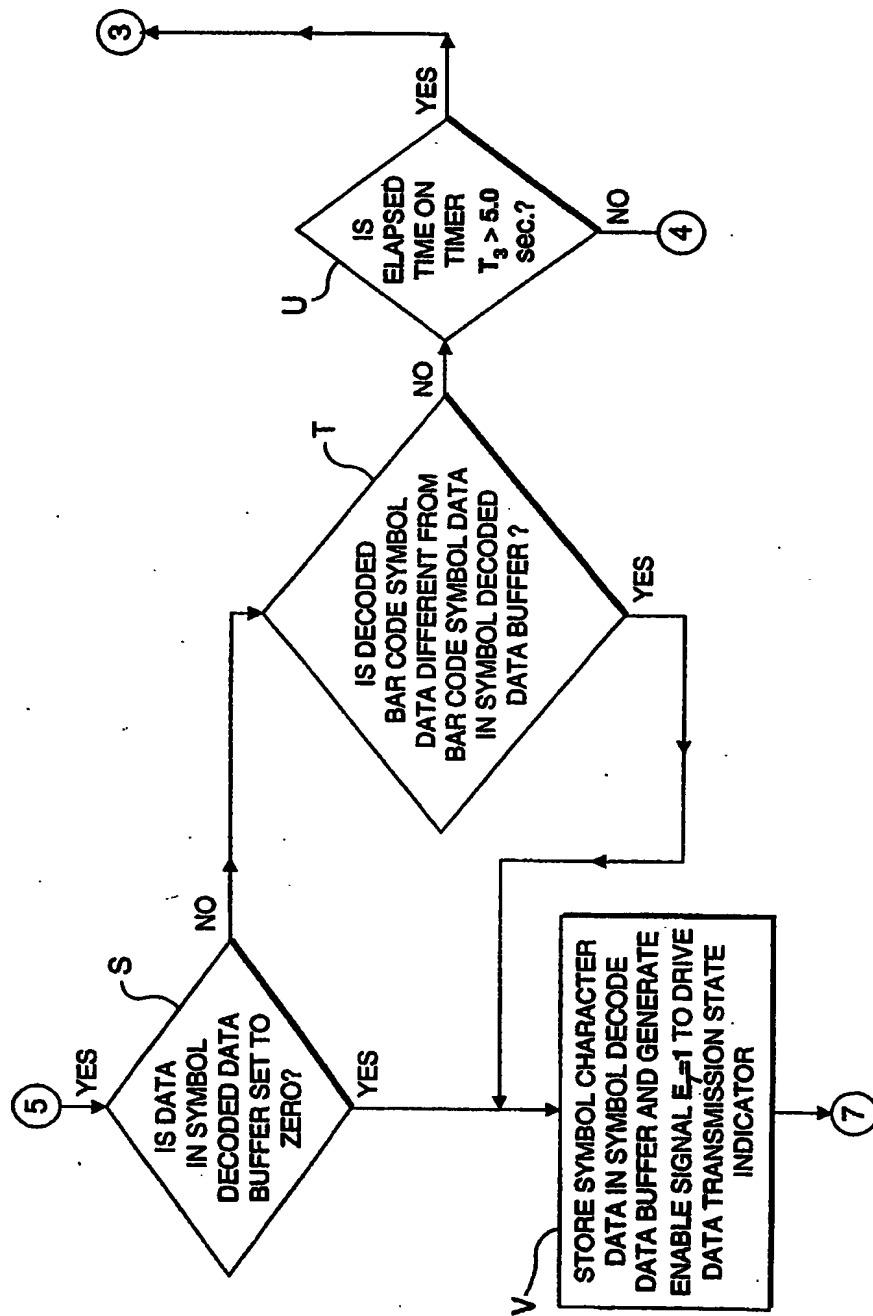


FIG. 32C

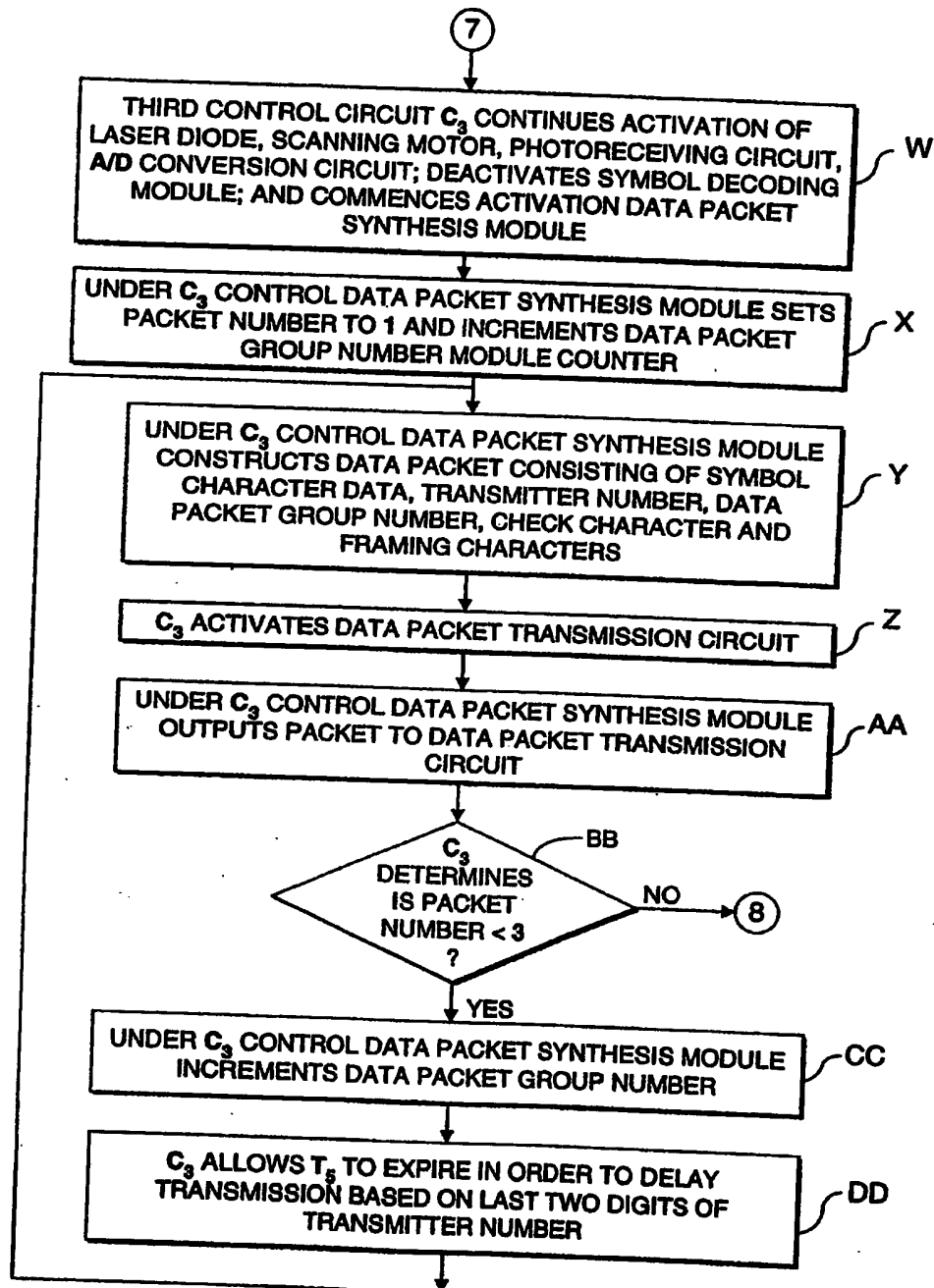
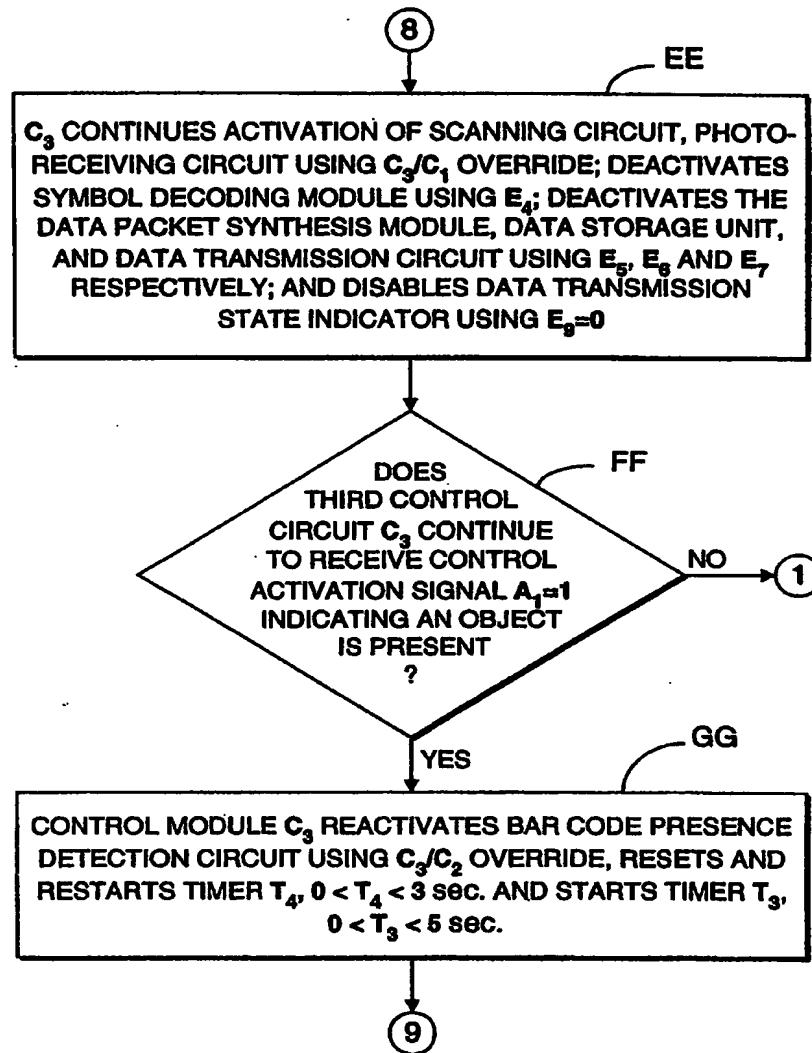


FIG. 32D



**FIG. 32E**

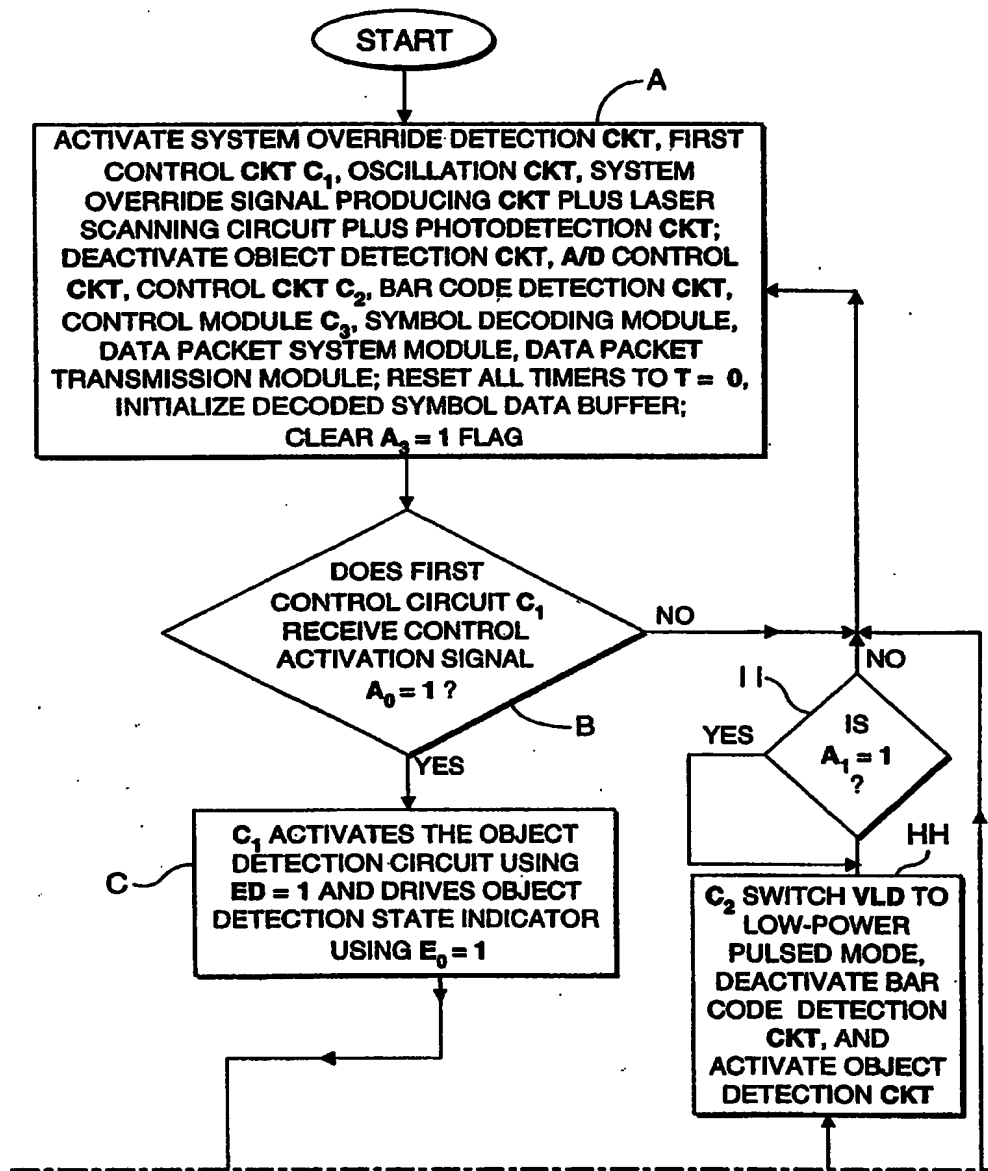
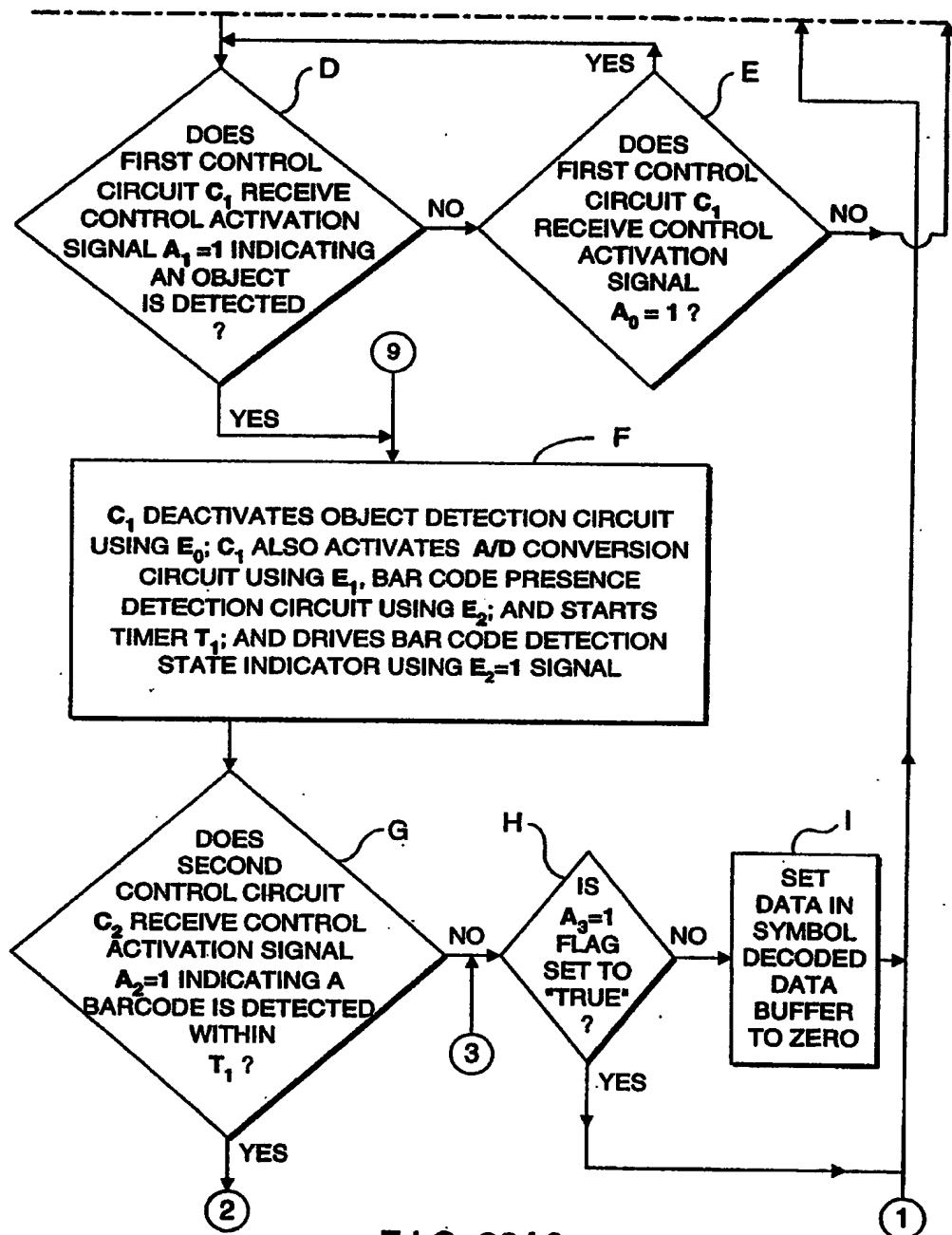


FIG. 33A1



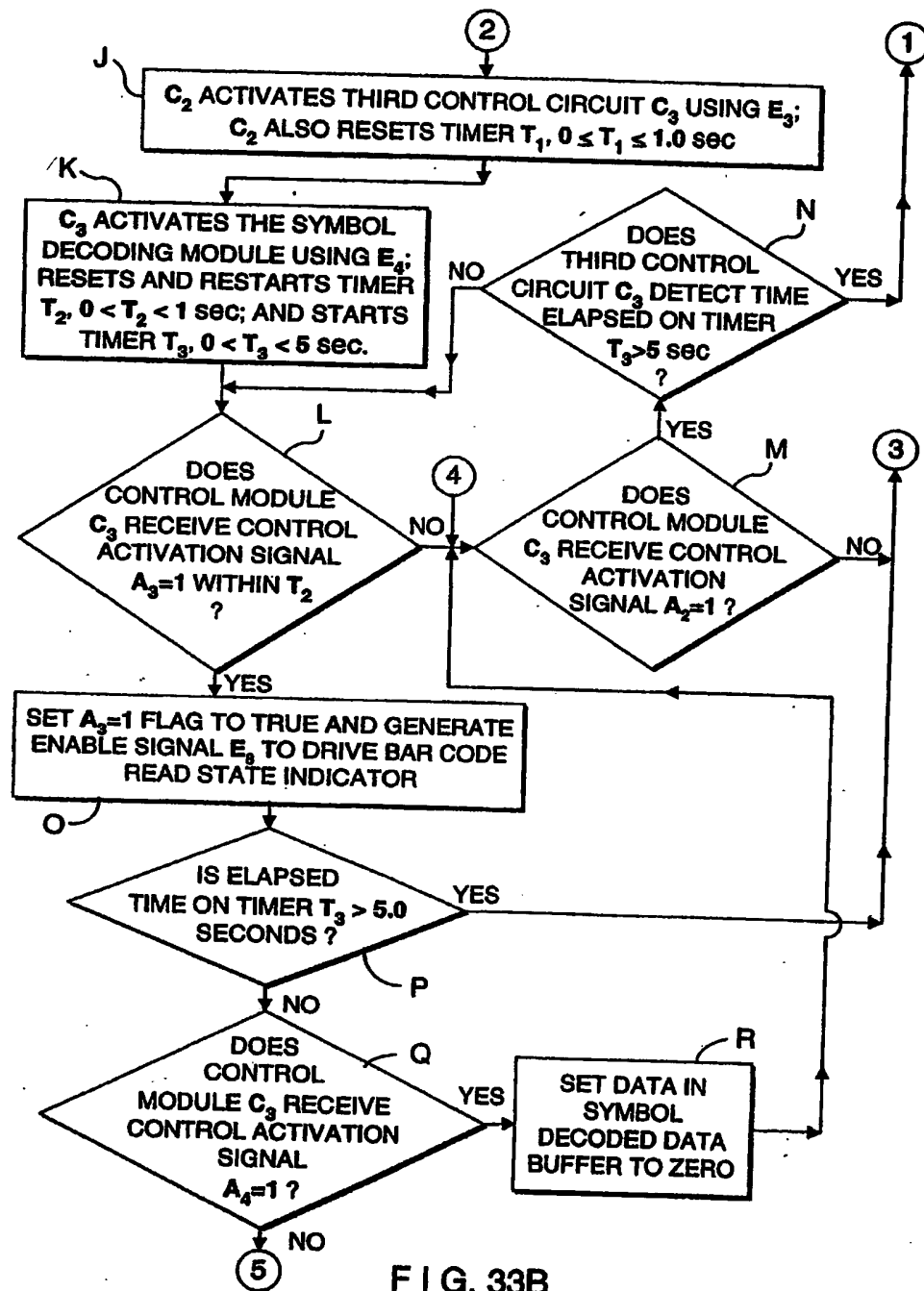


FIG. 33B

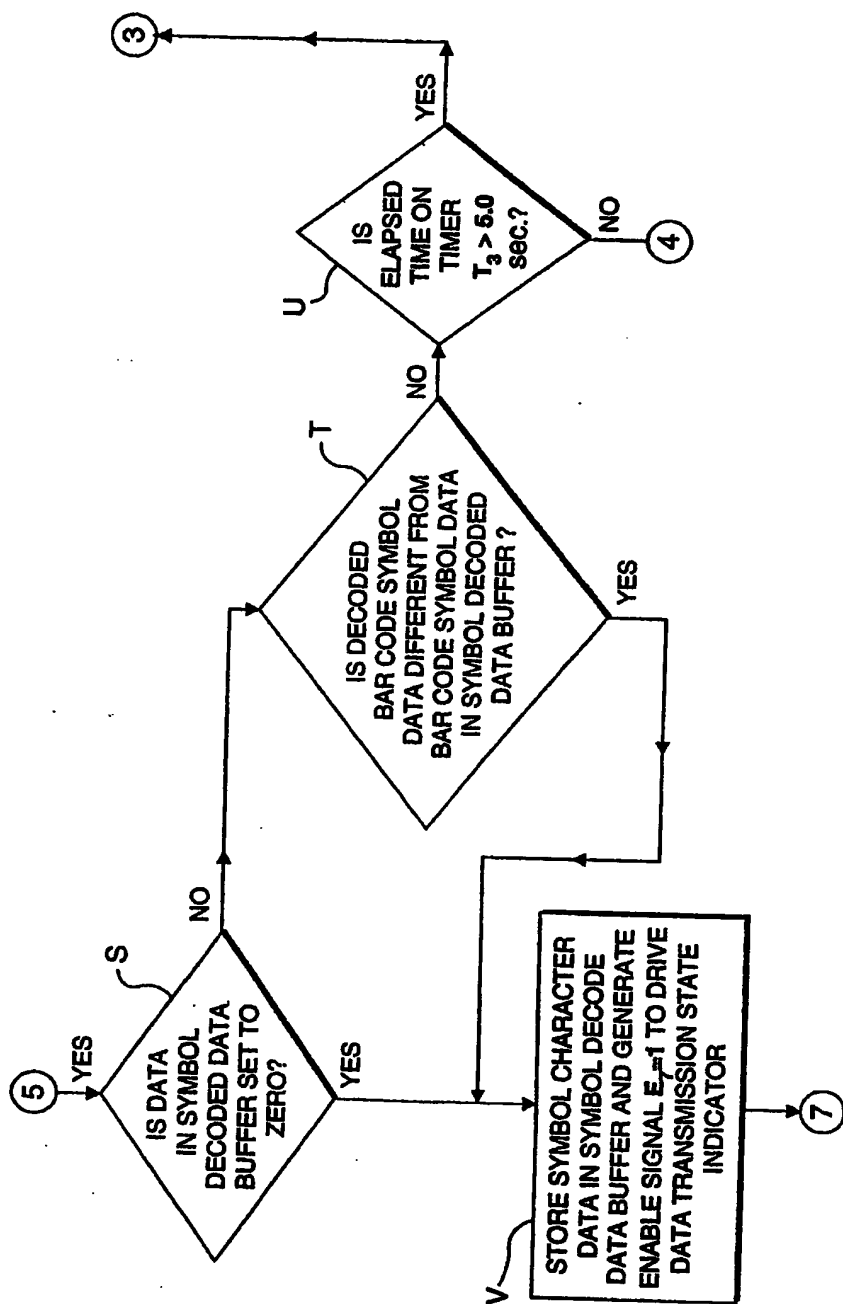


FIG. 33C

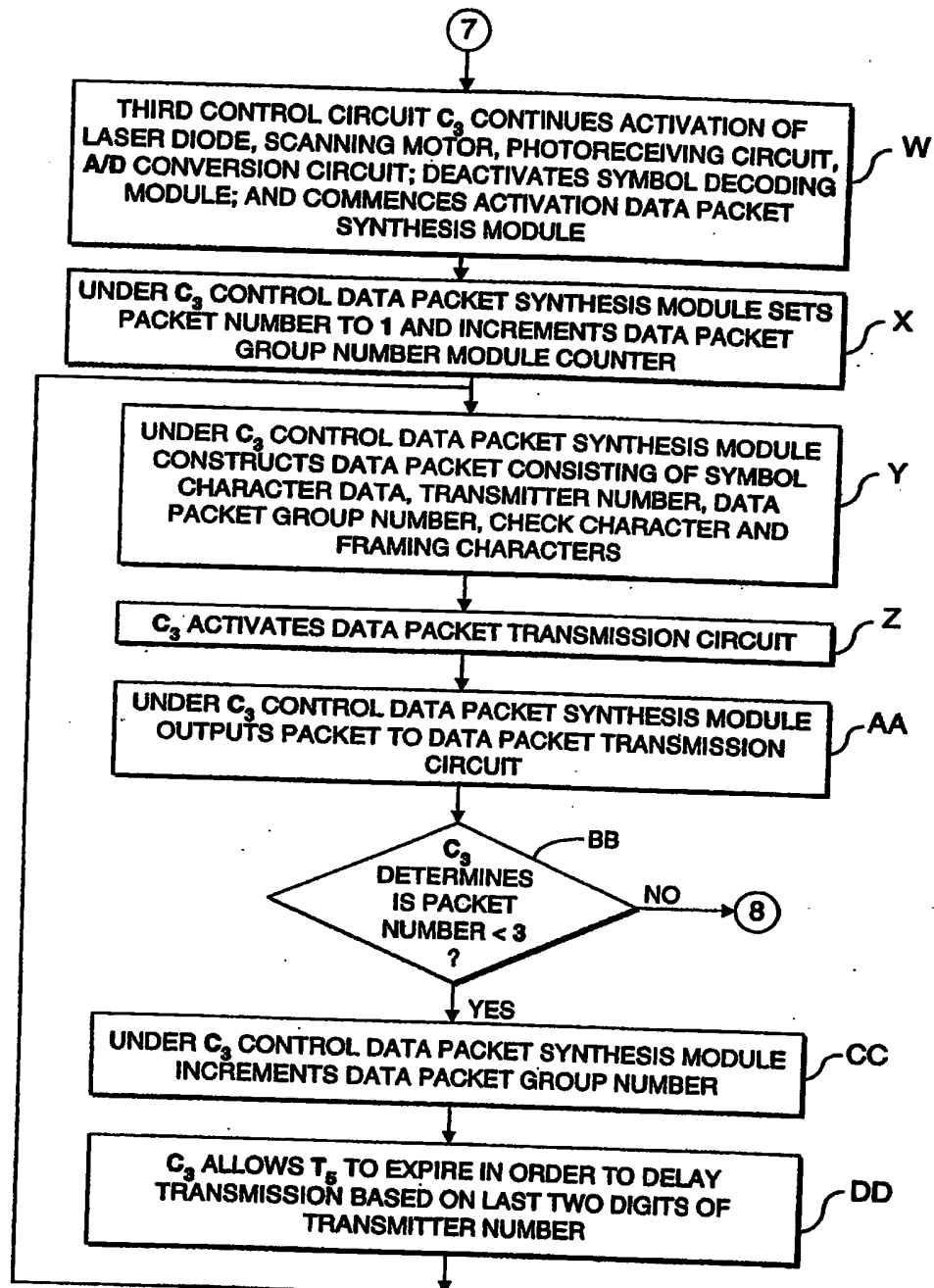
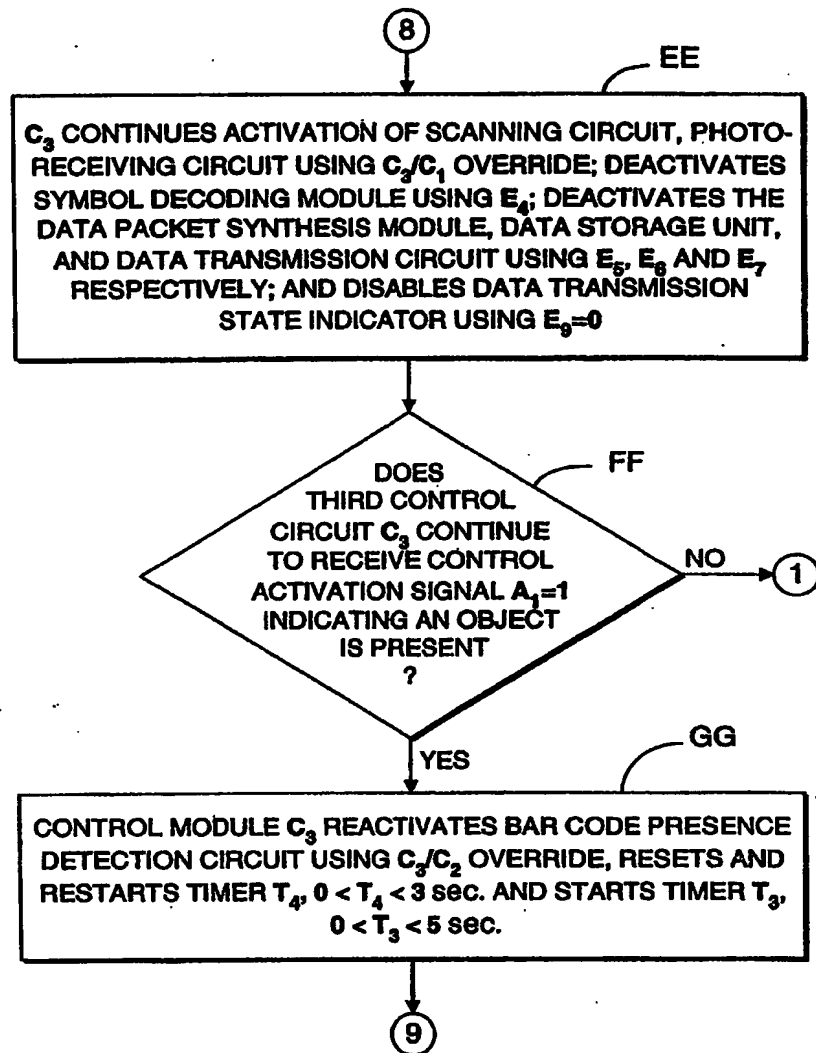


FIG. 33D



**FIG. 33E**

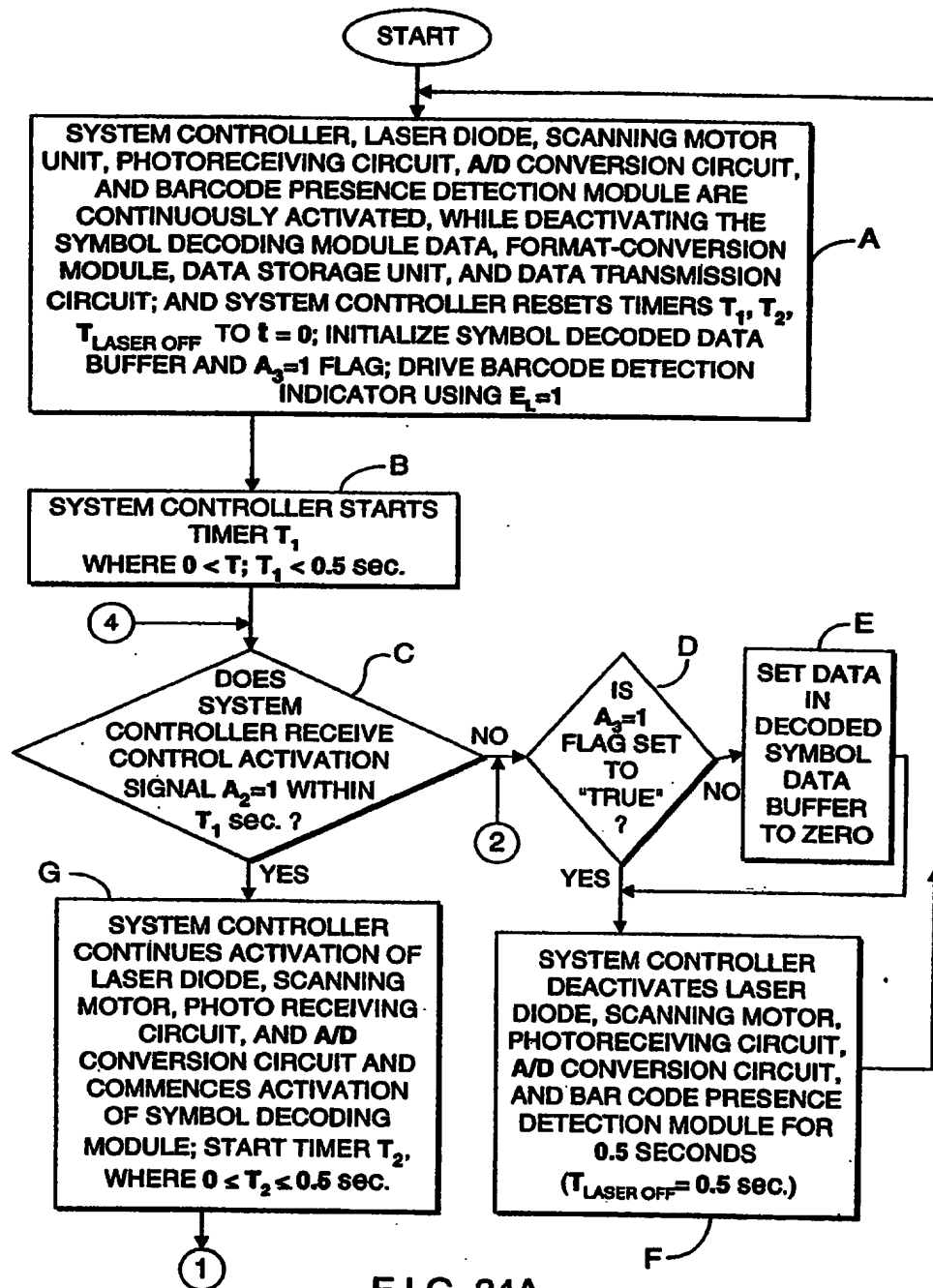


FIG. 34A

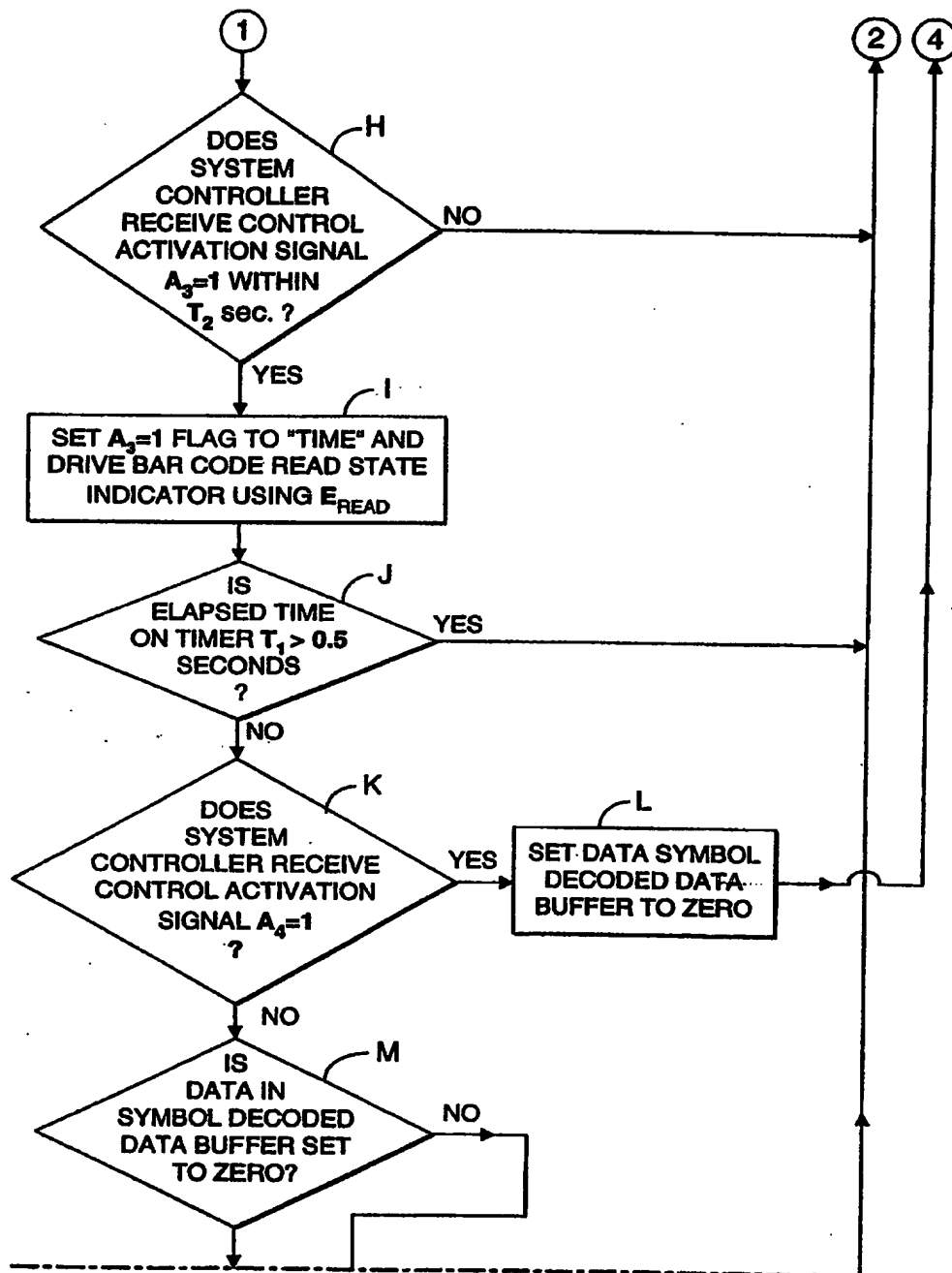


FIG. 34B1

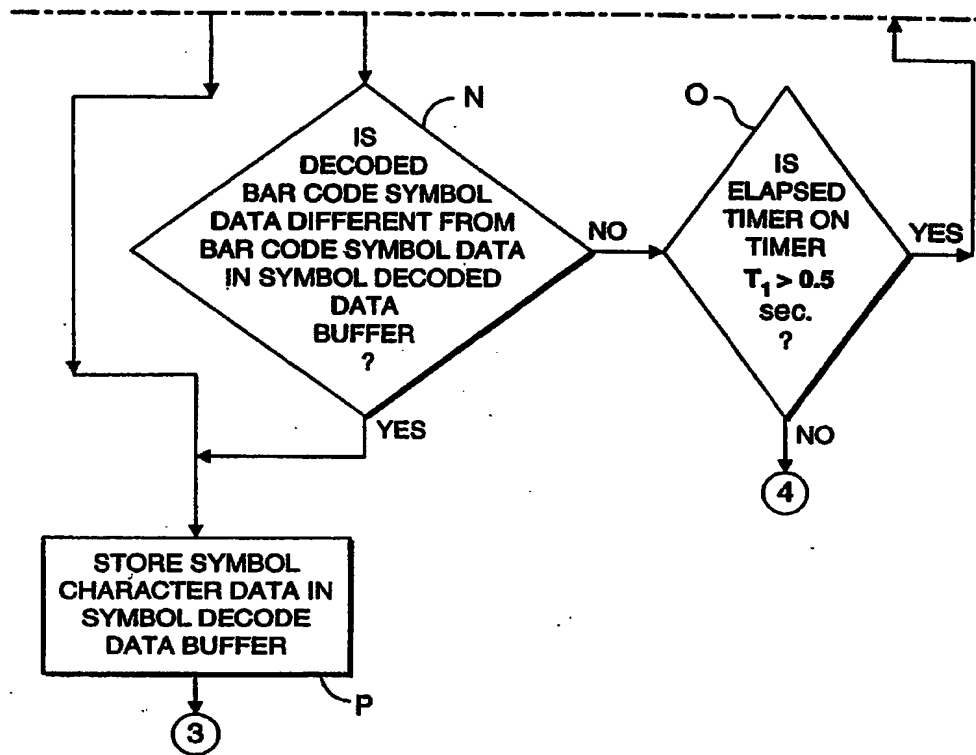


FIG. 34B2

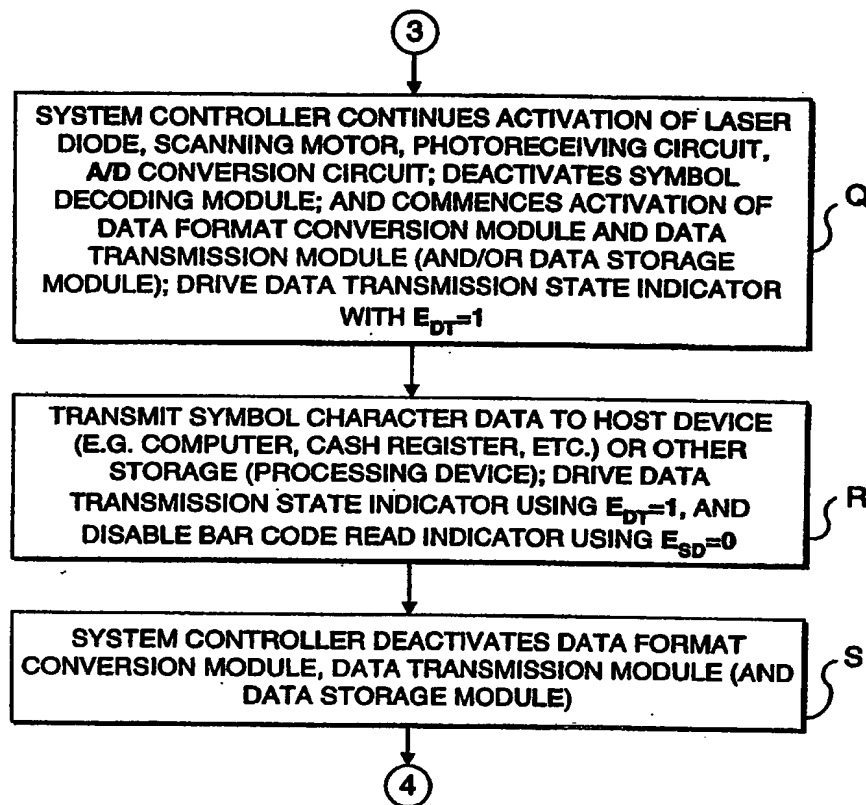


FIG. 34C

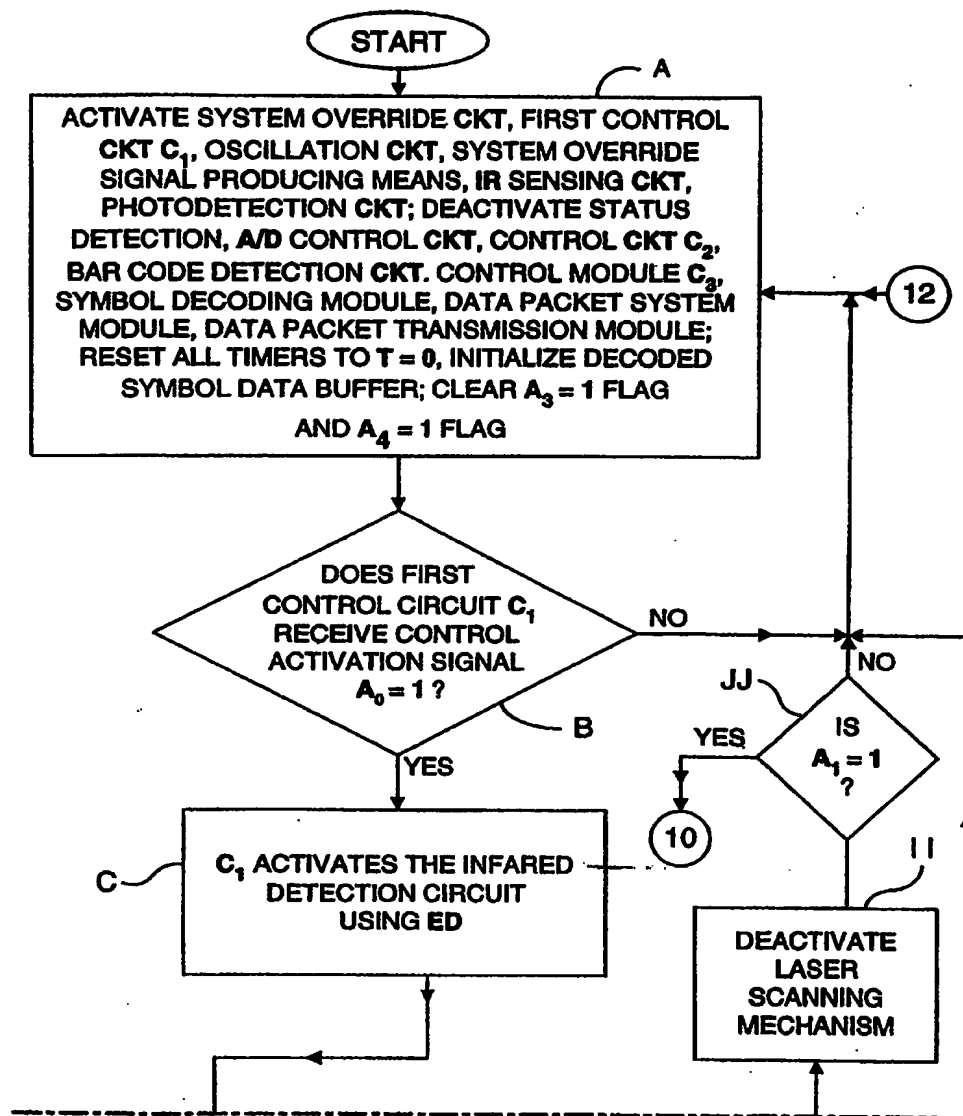


FIG. 35A1

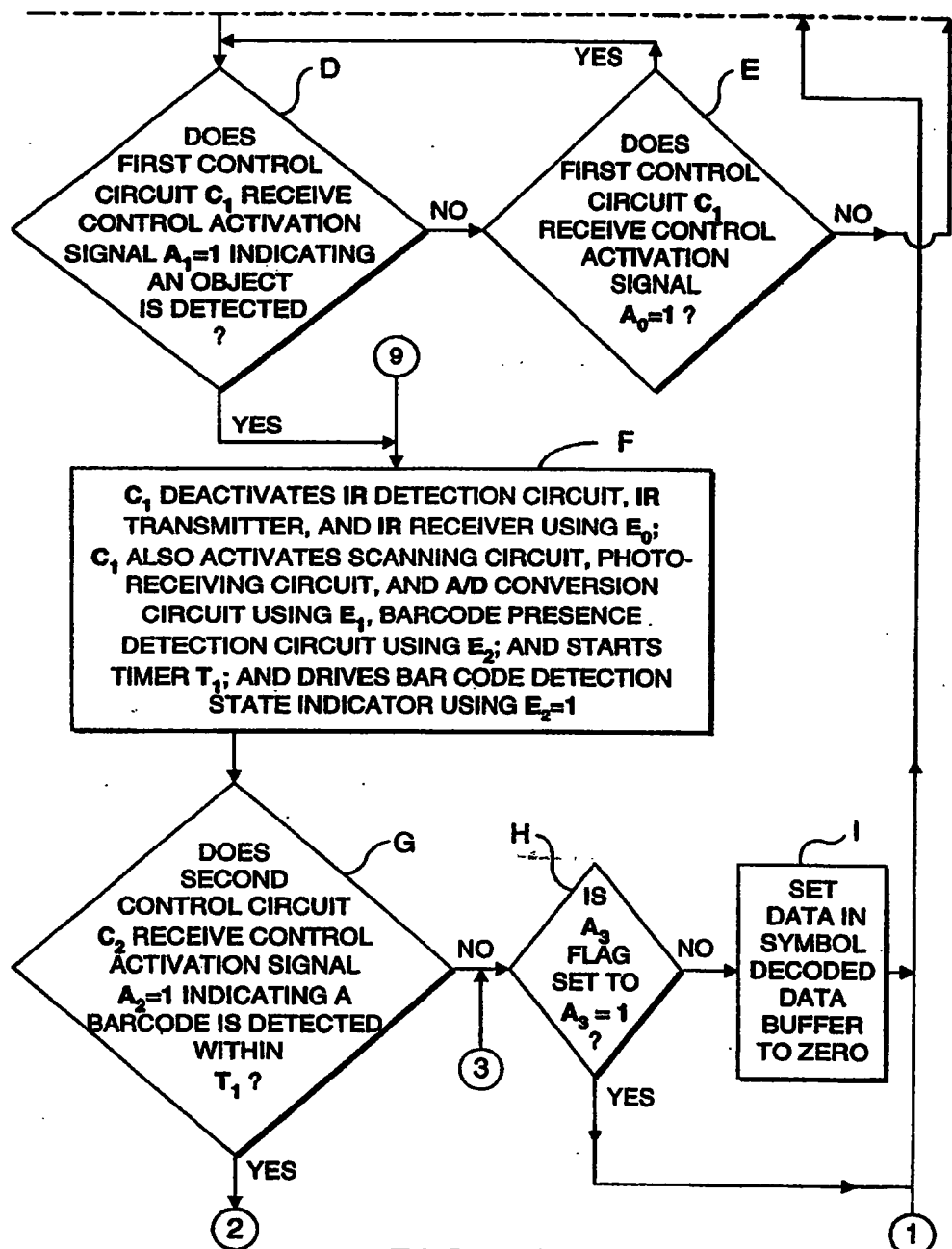


FIG. 35A2

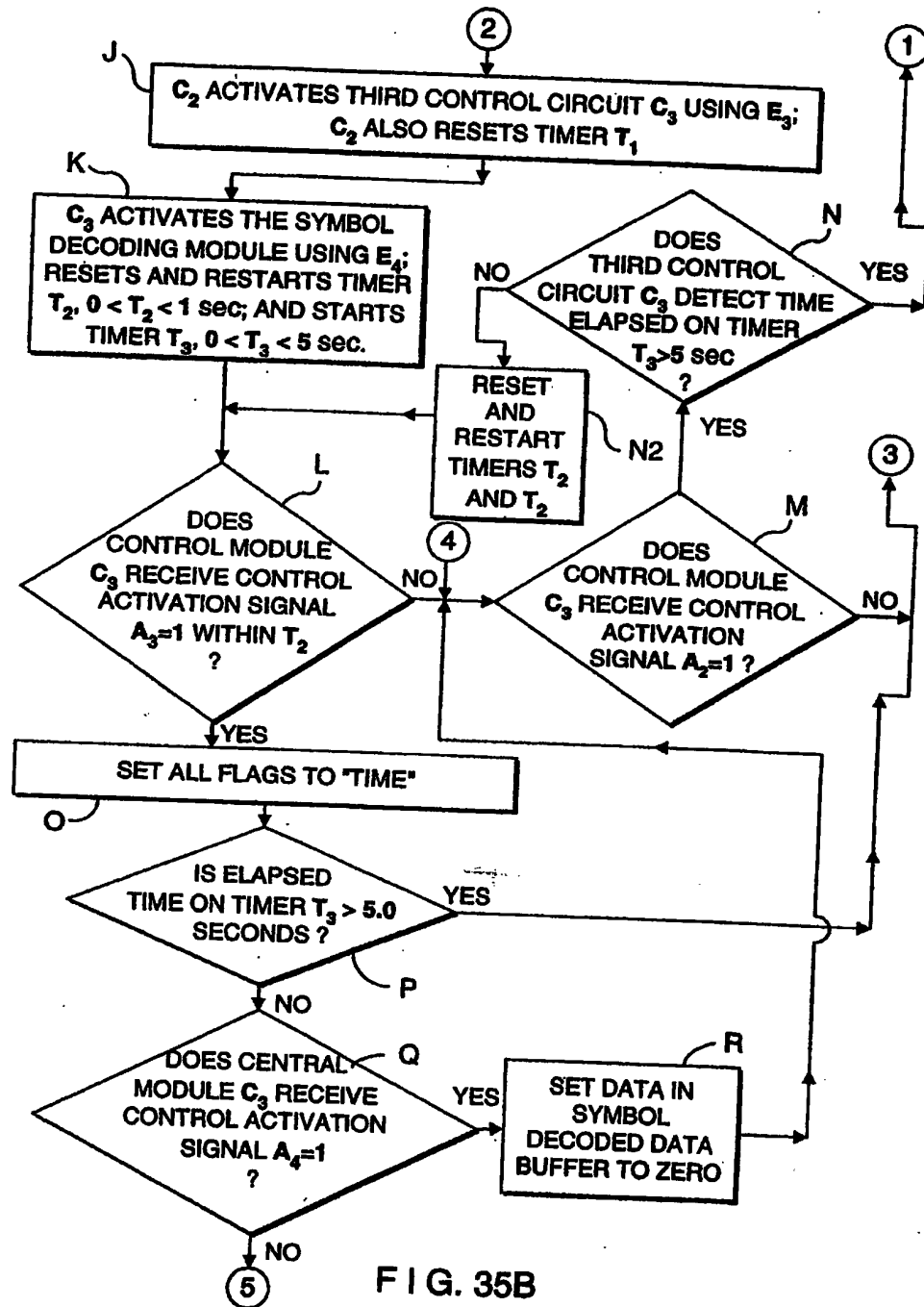


FIG. 35B

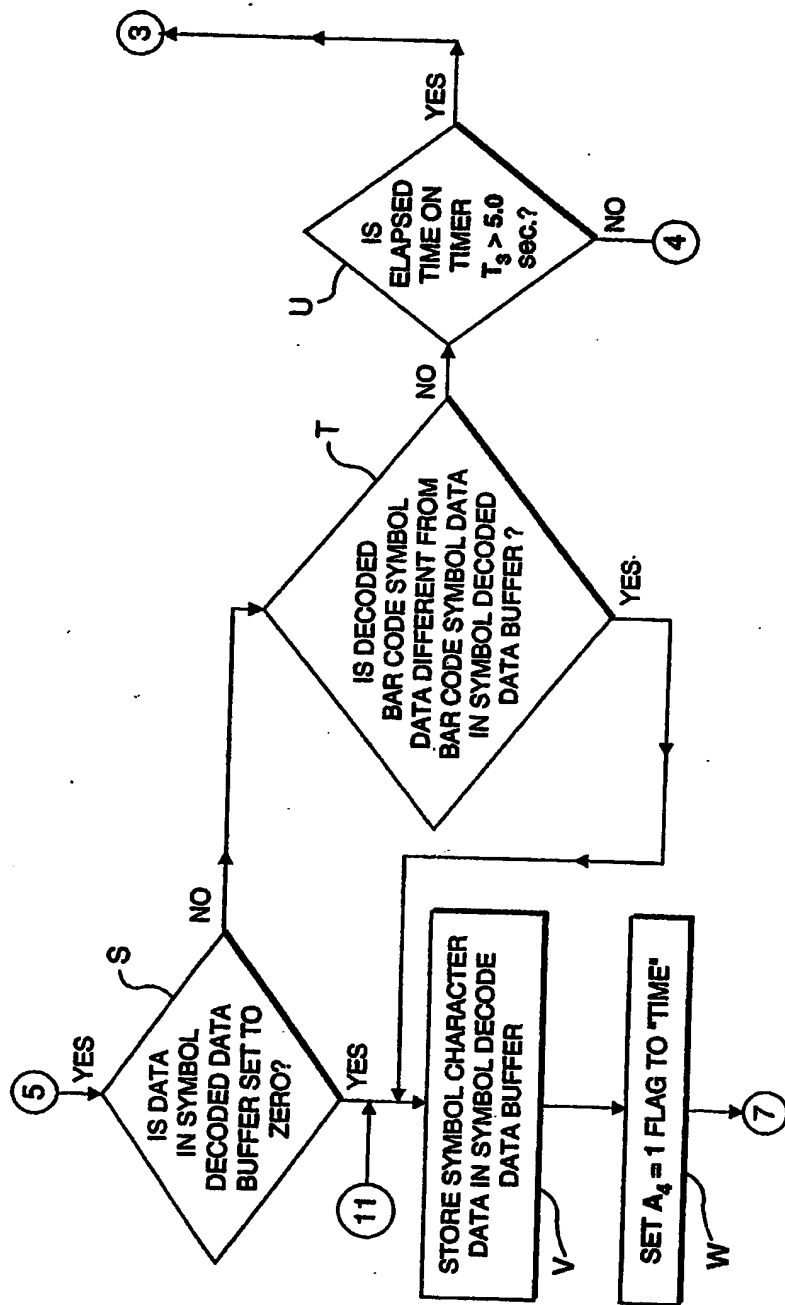


FIG. 35C

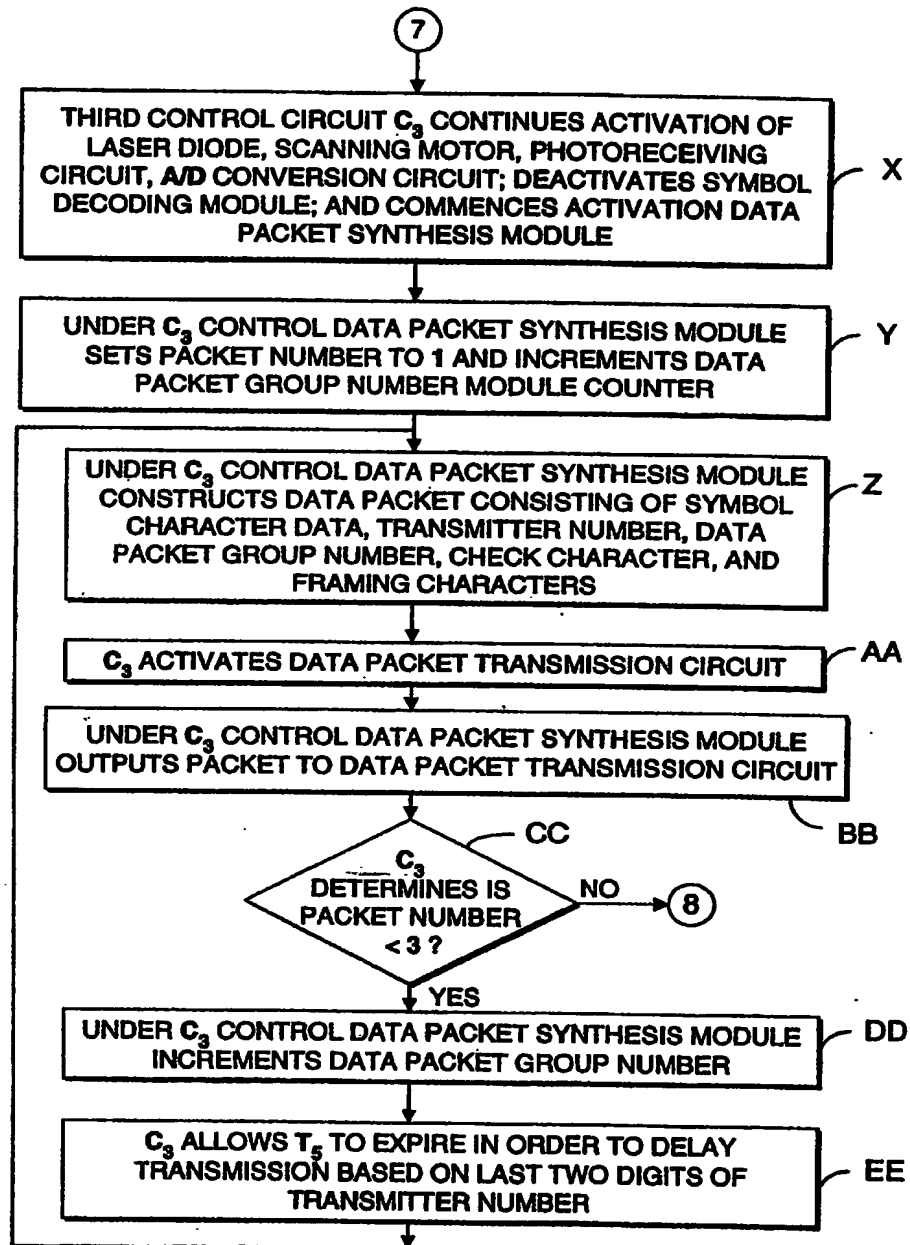
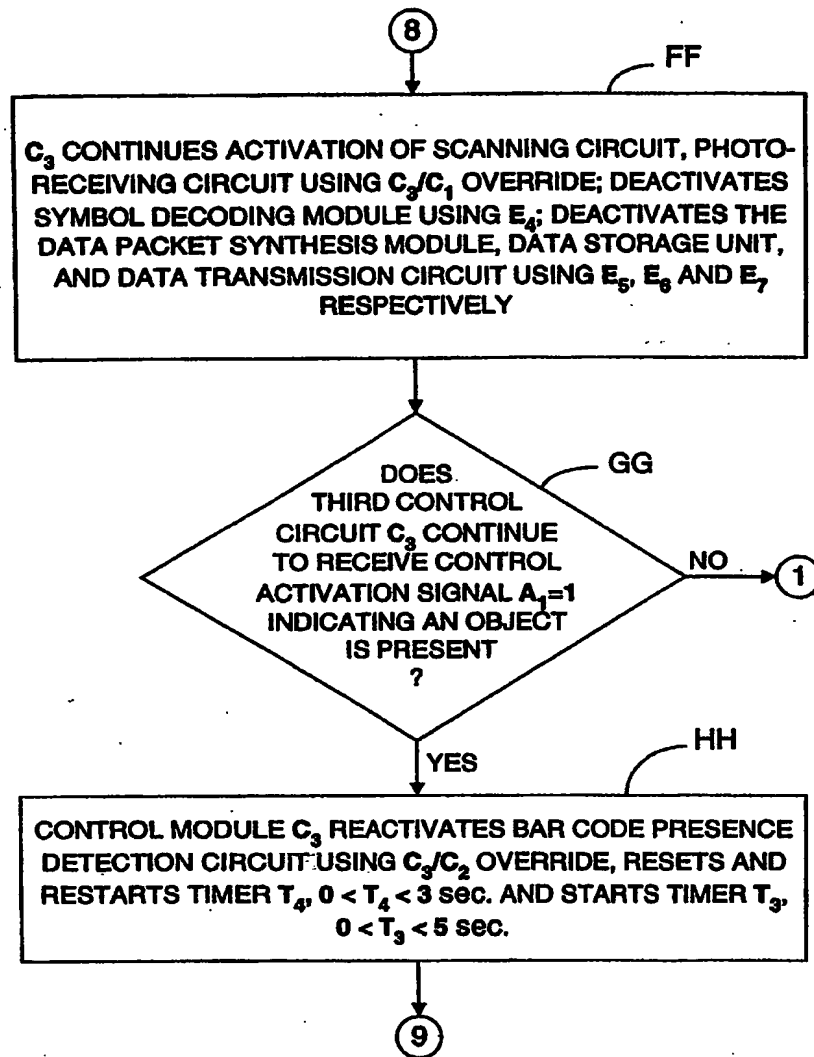


FIG. 35D



**FIG. 35E**

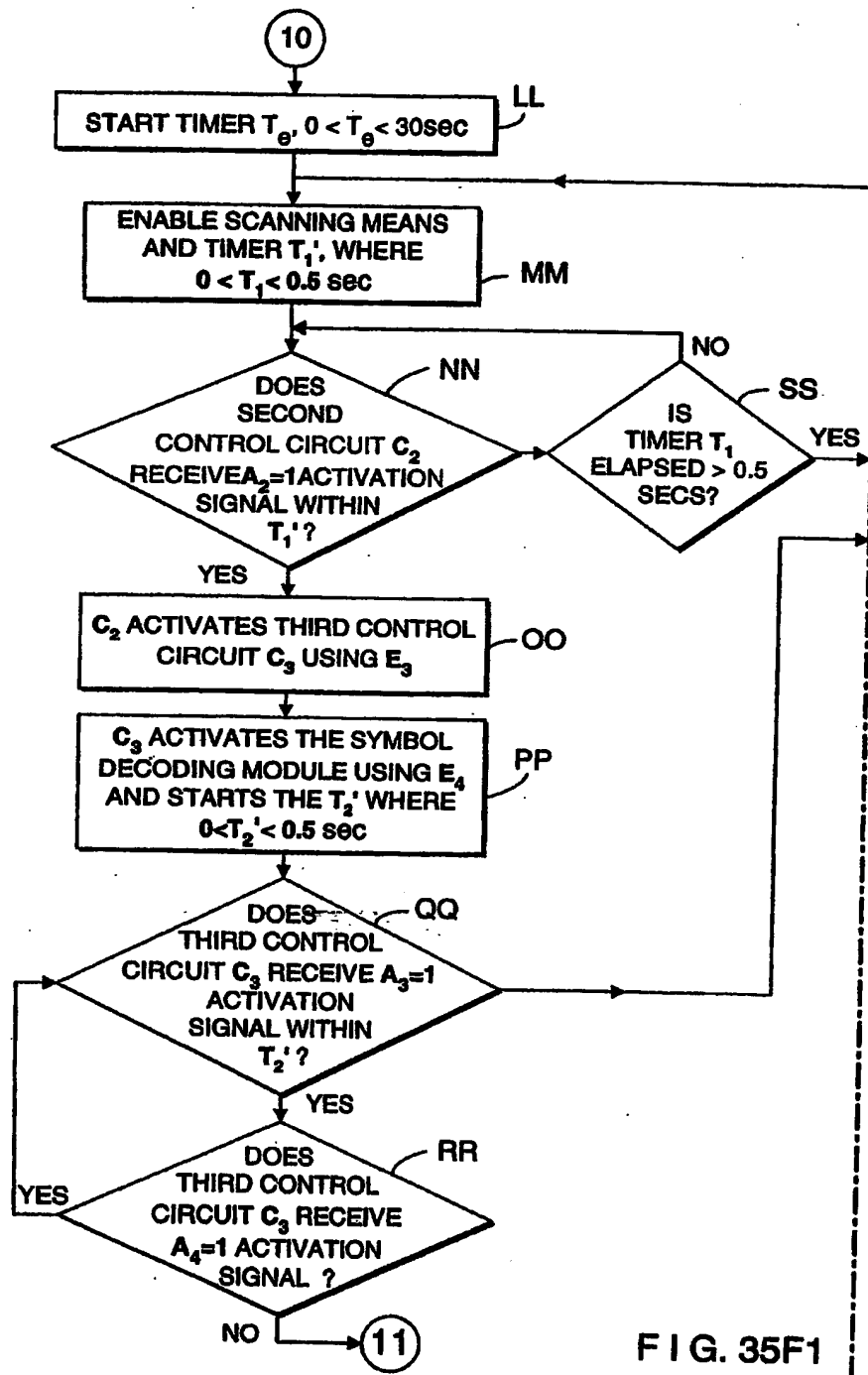
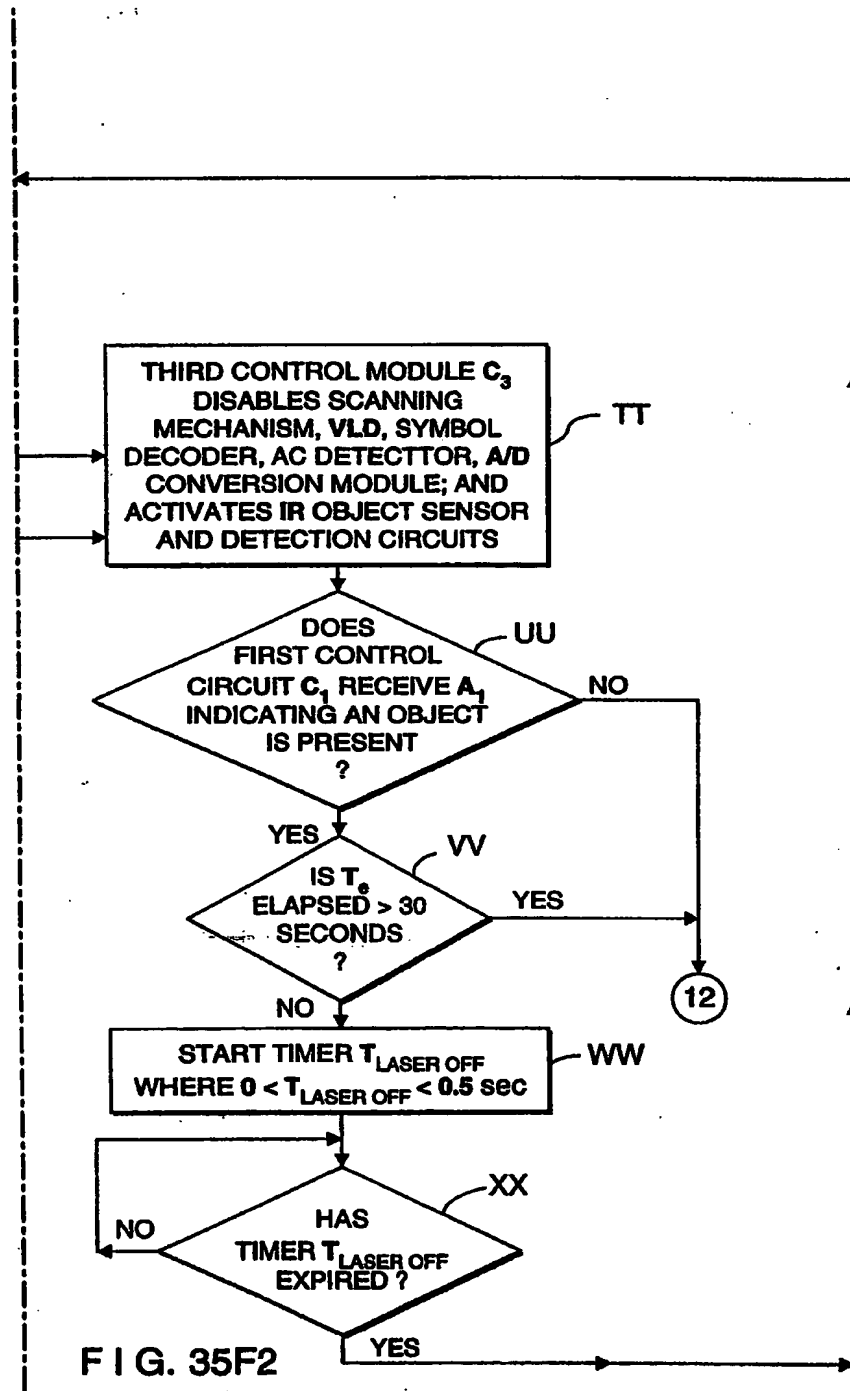
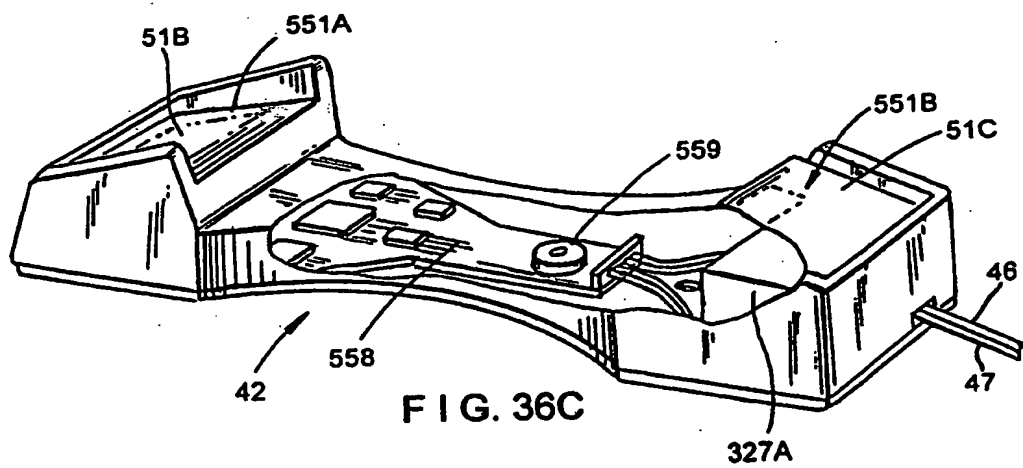
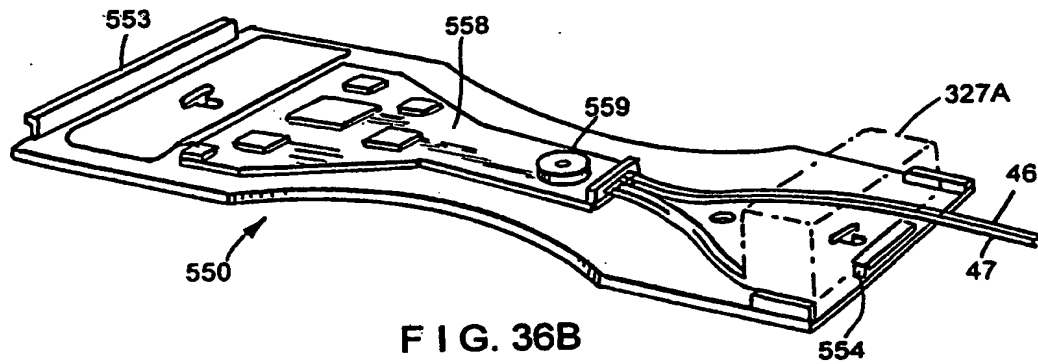
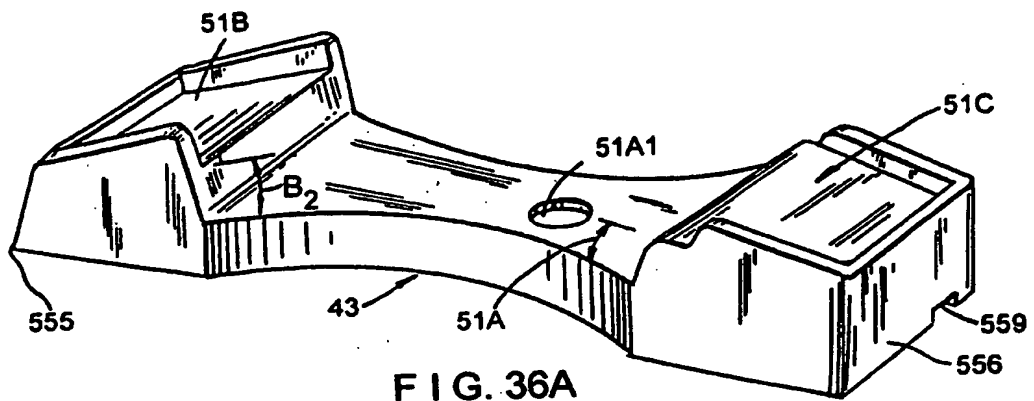


FIG. 35F1





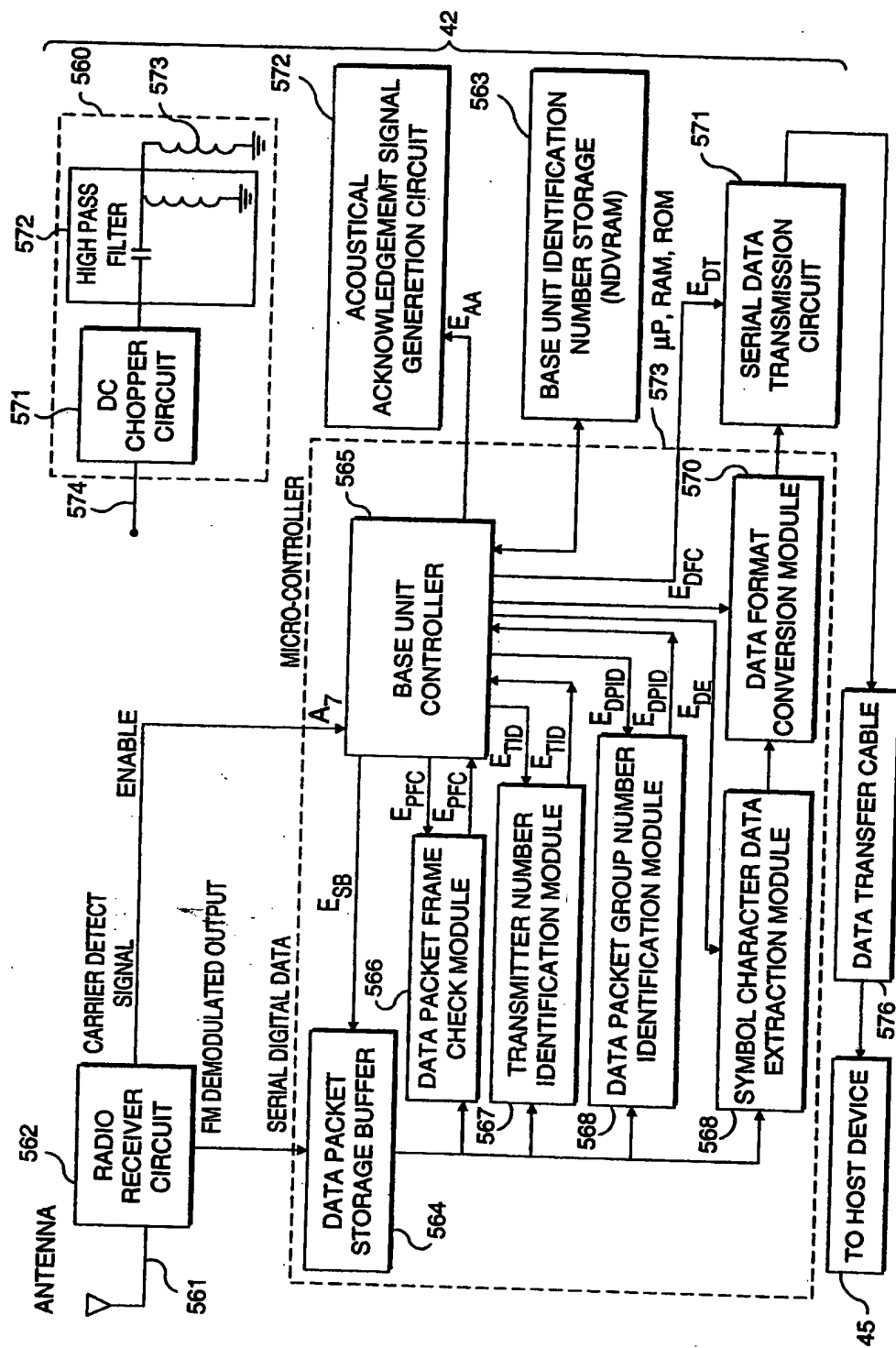


FIG. 37

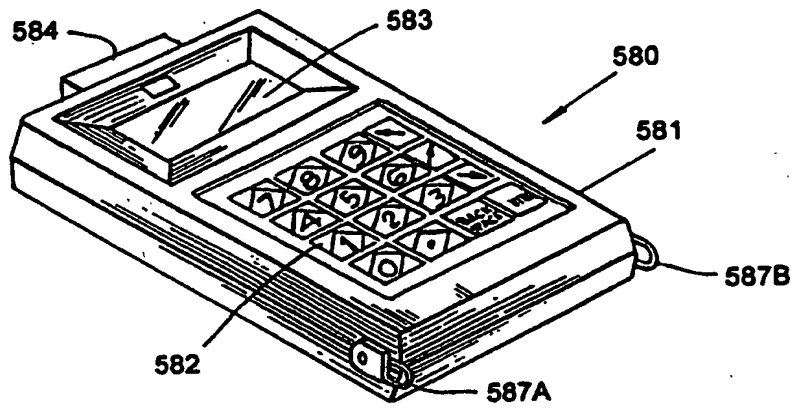


FIG. 38A



FIG. 38B

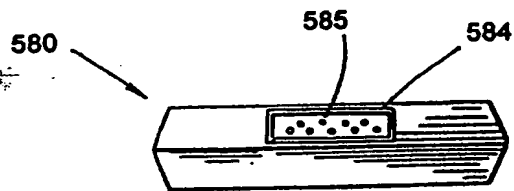


FIG. 38C

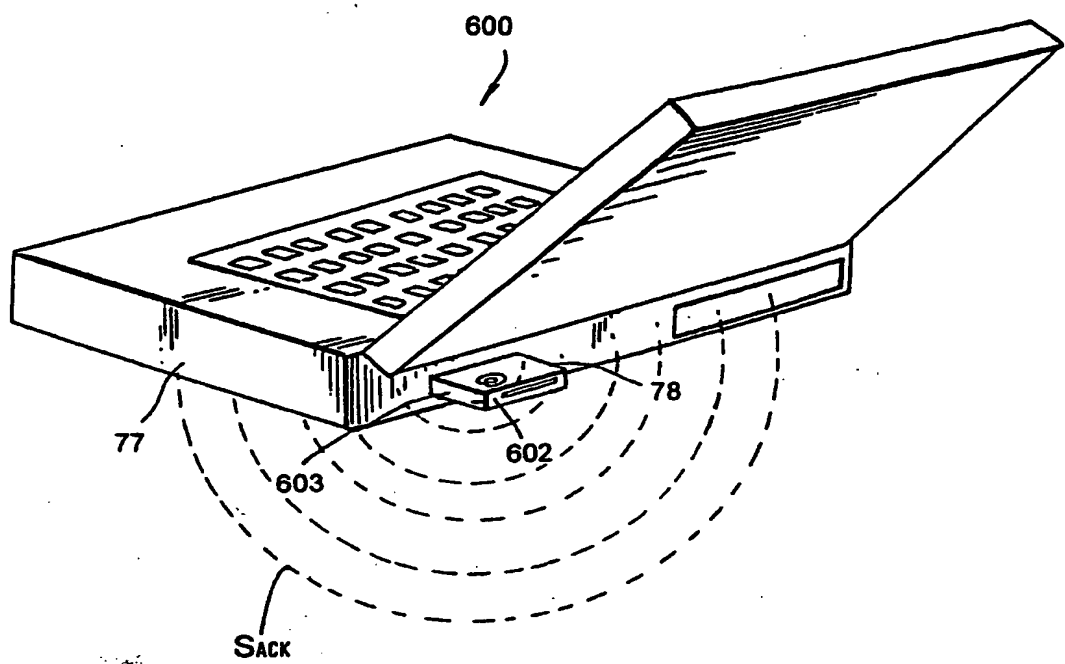


FIG. 39

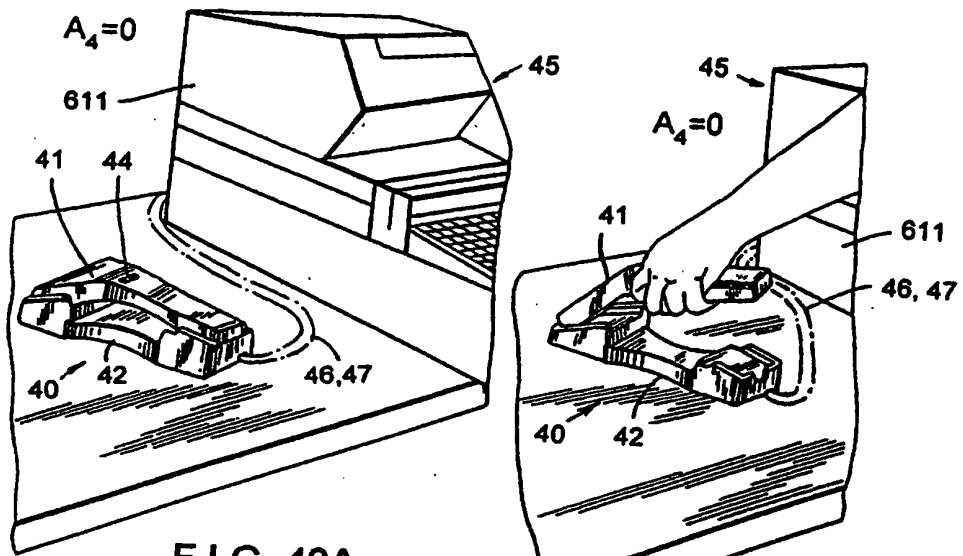


FIG. 40A

FIG. 40B

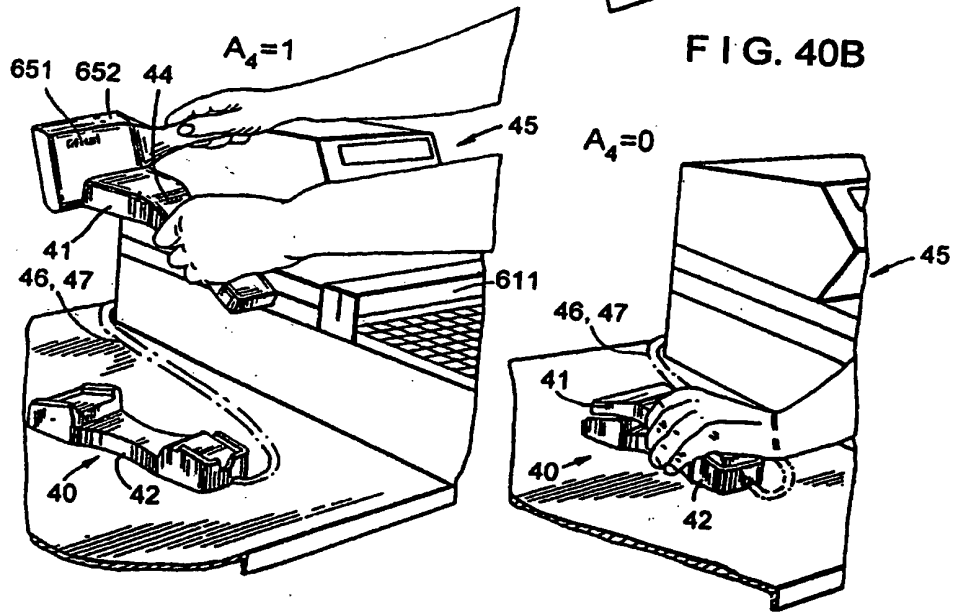


FIG. 40C

FIG. 40D

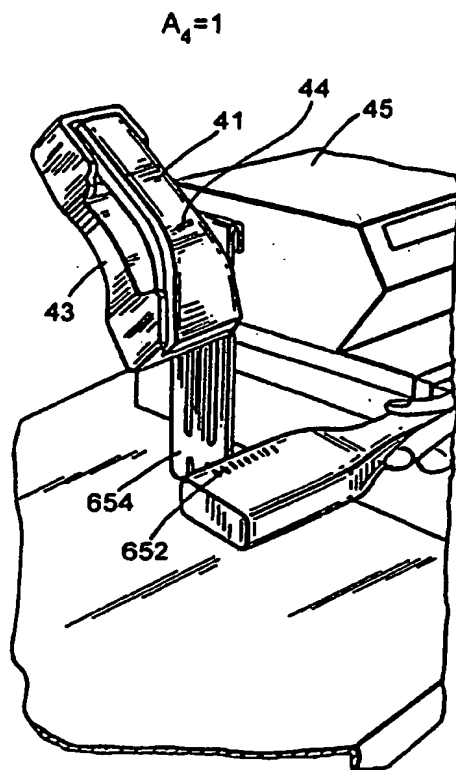


FIG. 41A

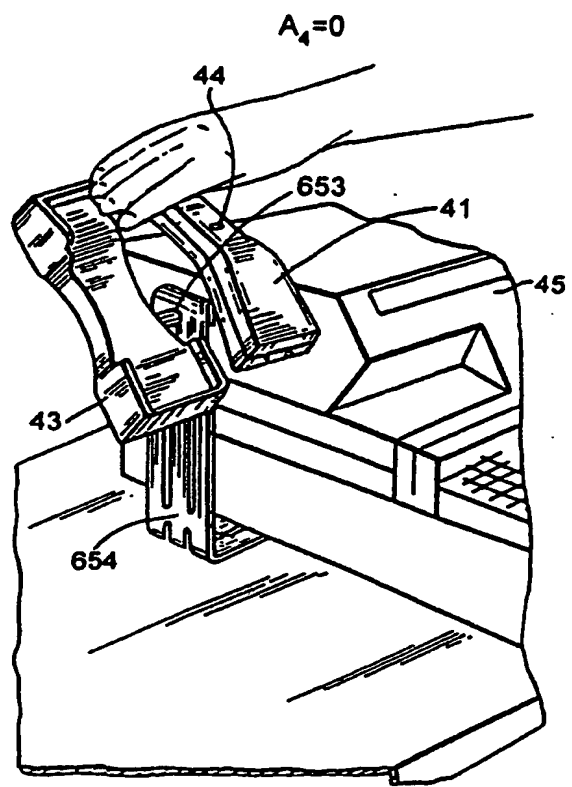


FIG. 41B

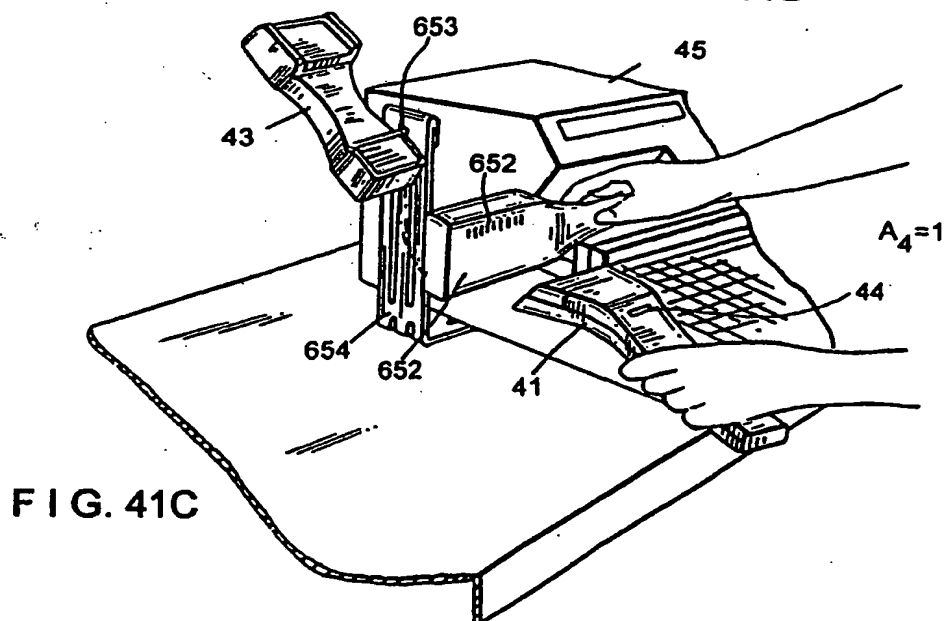


FIG. 41C

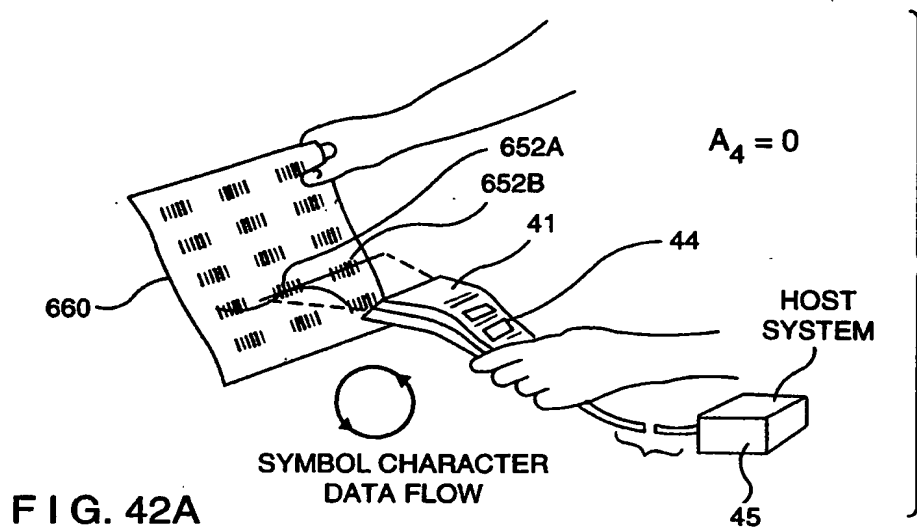


FIG. 42A

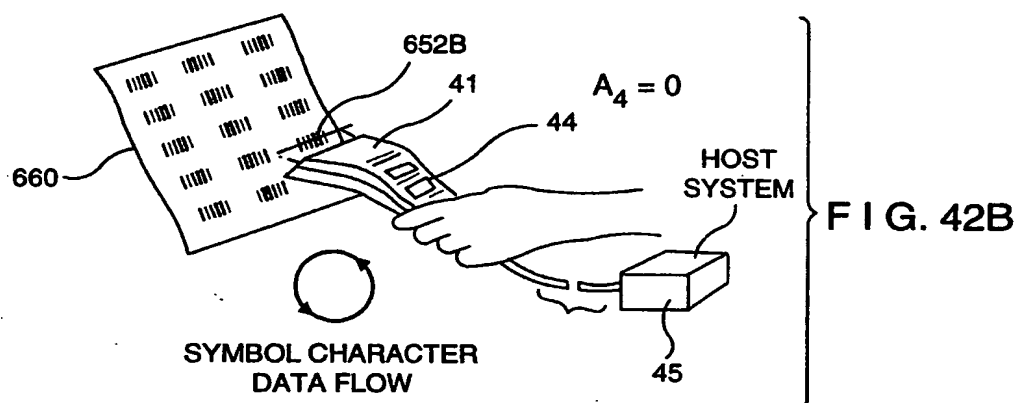


FIG. 42B

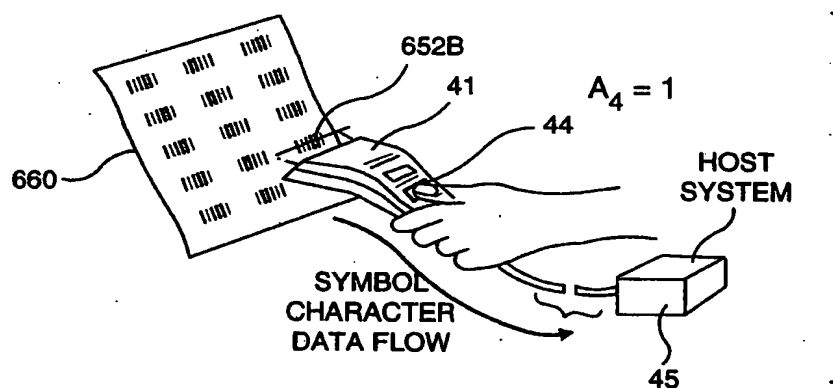


FIG. 42C

Automatic Bar Code Reading System With  
2-Way RF Communication Link

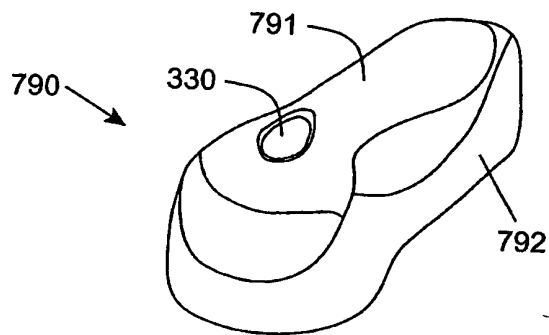


FIG. 43A

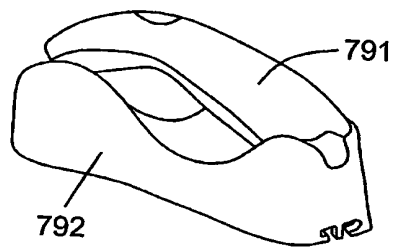


FIG. 43B

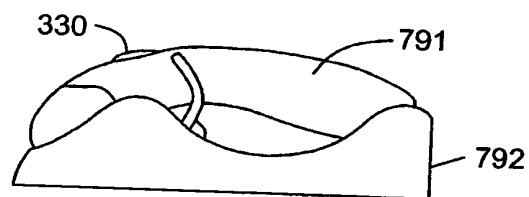


FIG. 43C

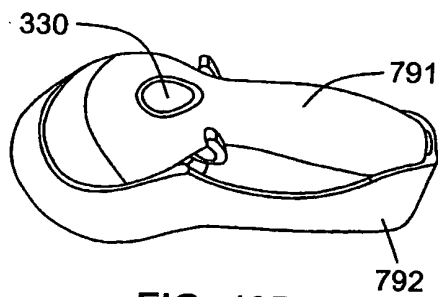


FIG. 43D

Protracted Configuration

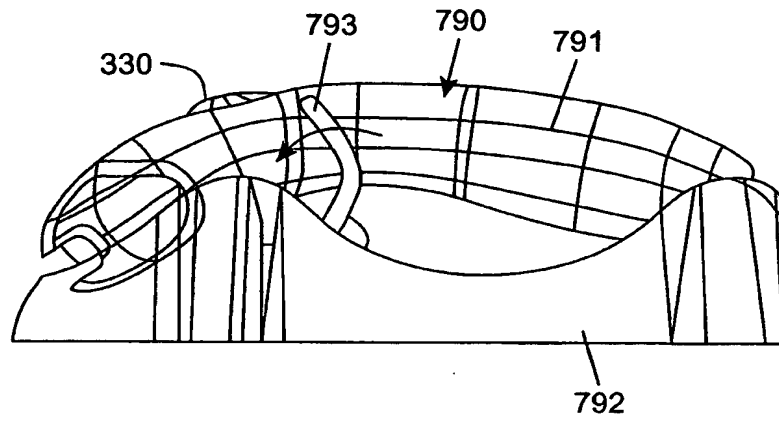


FIG. 43E

Protracted Configuration

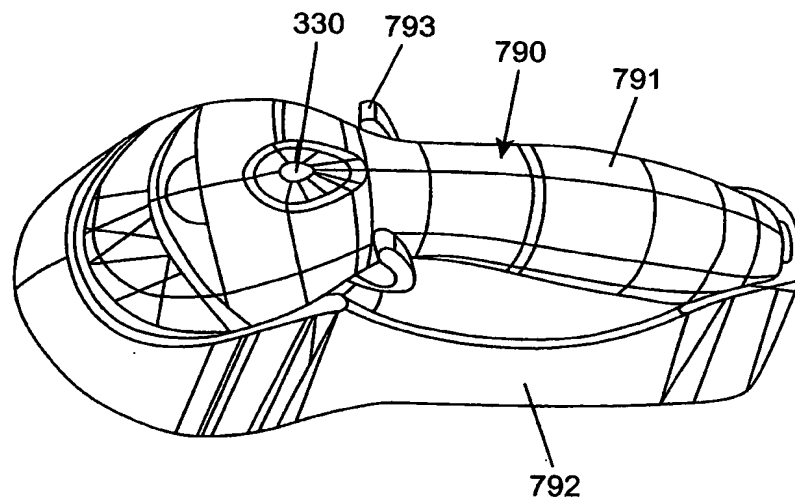


FIG. 43F

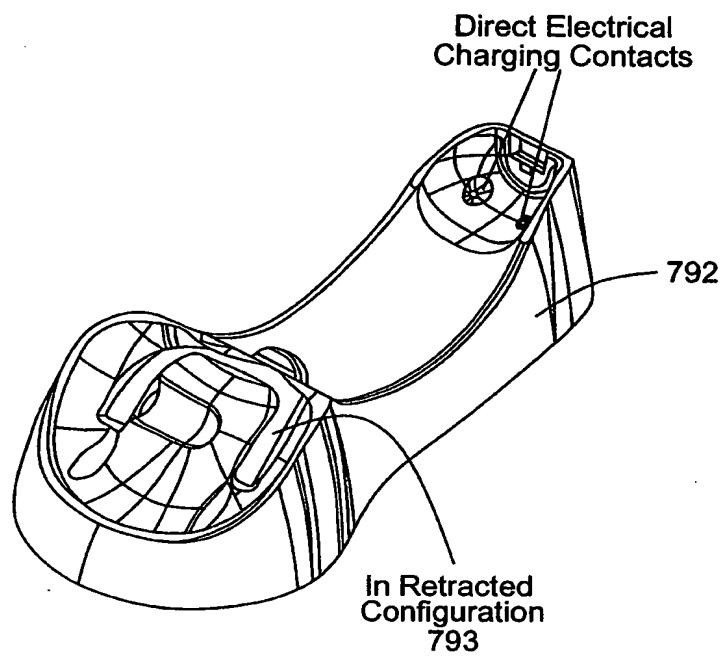


FIG. 43G

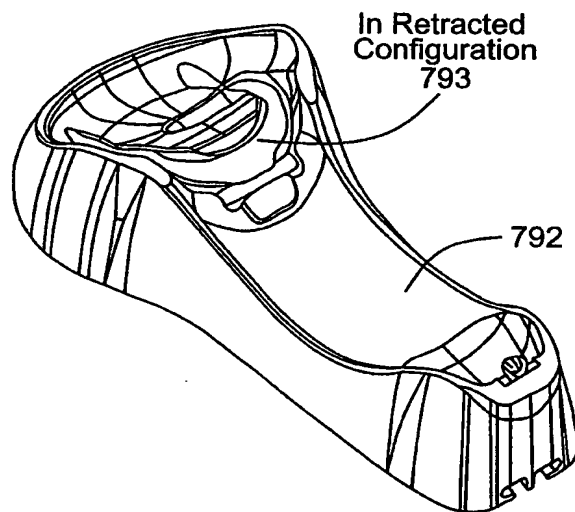


FIG. 43H

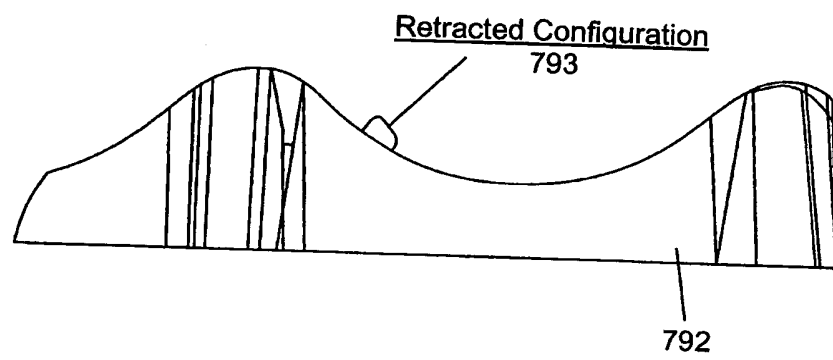


FIG. 43I

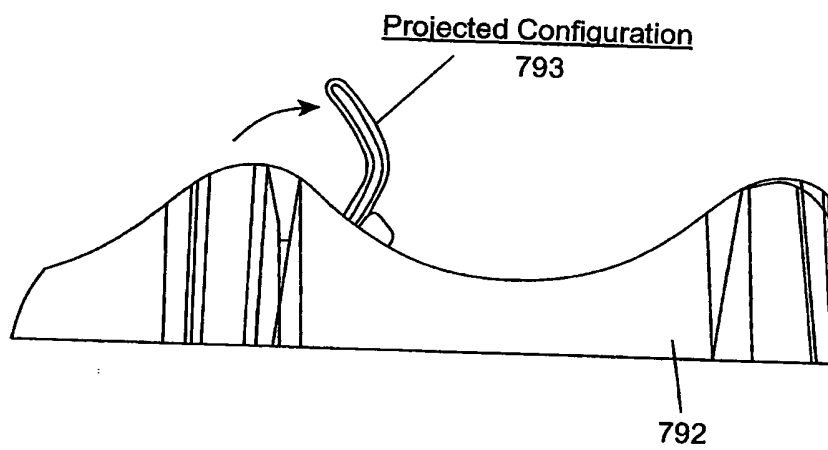


FIG. 43J

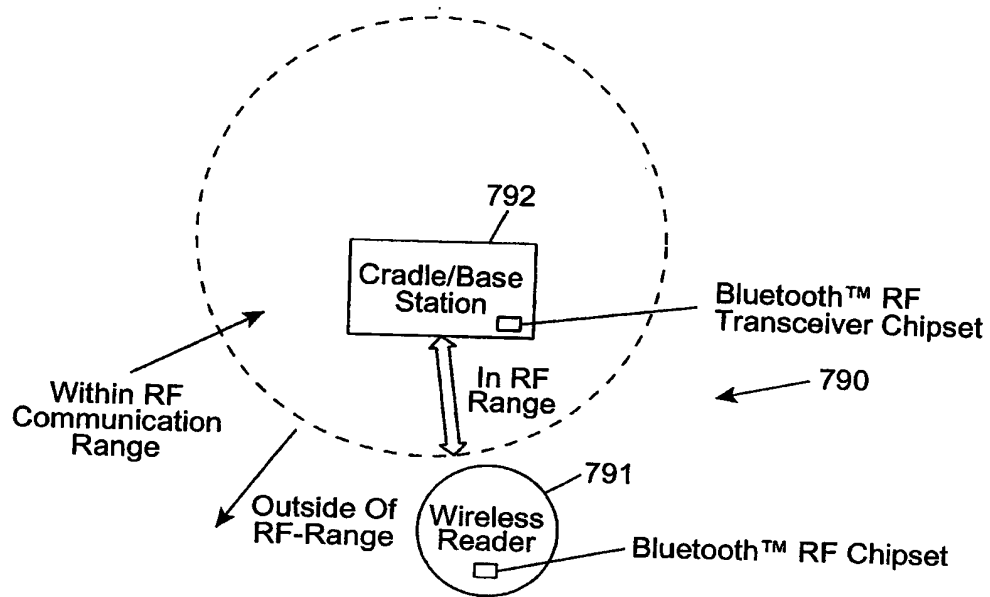


FIG. 44A1

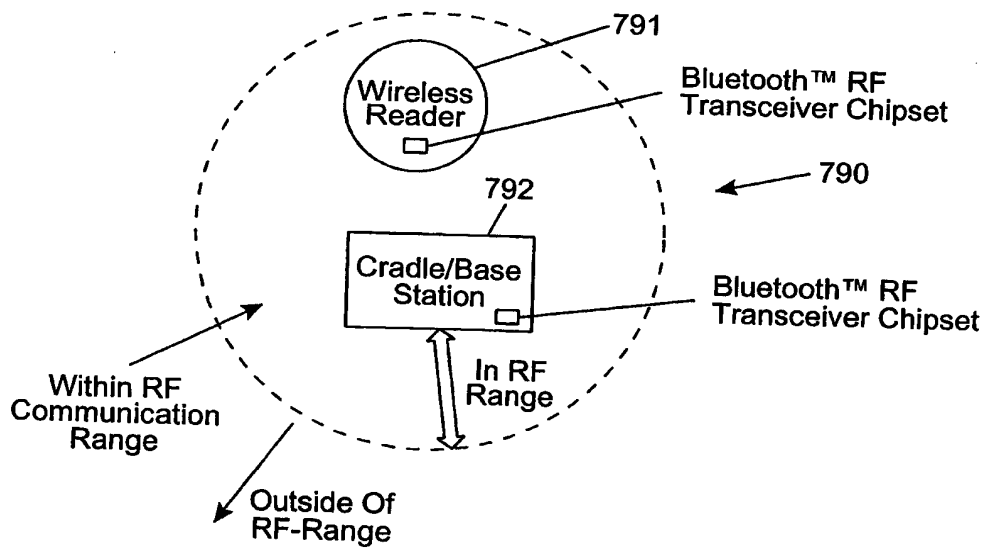


FIG. 44A2

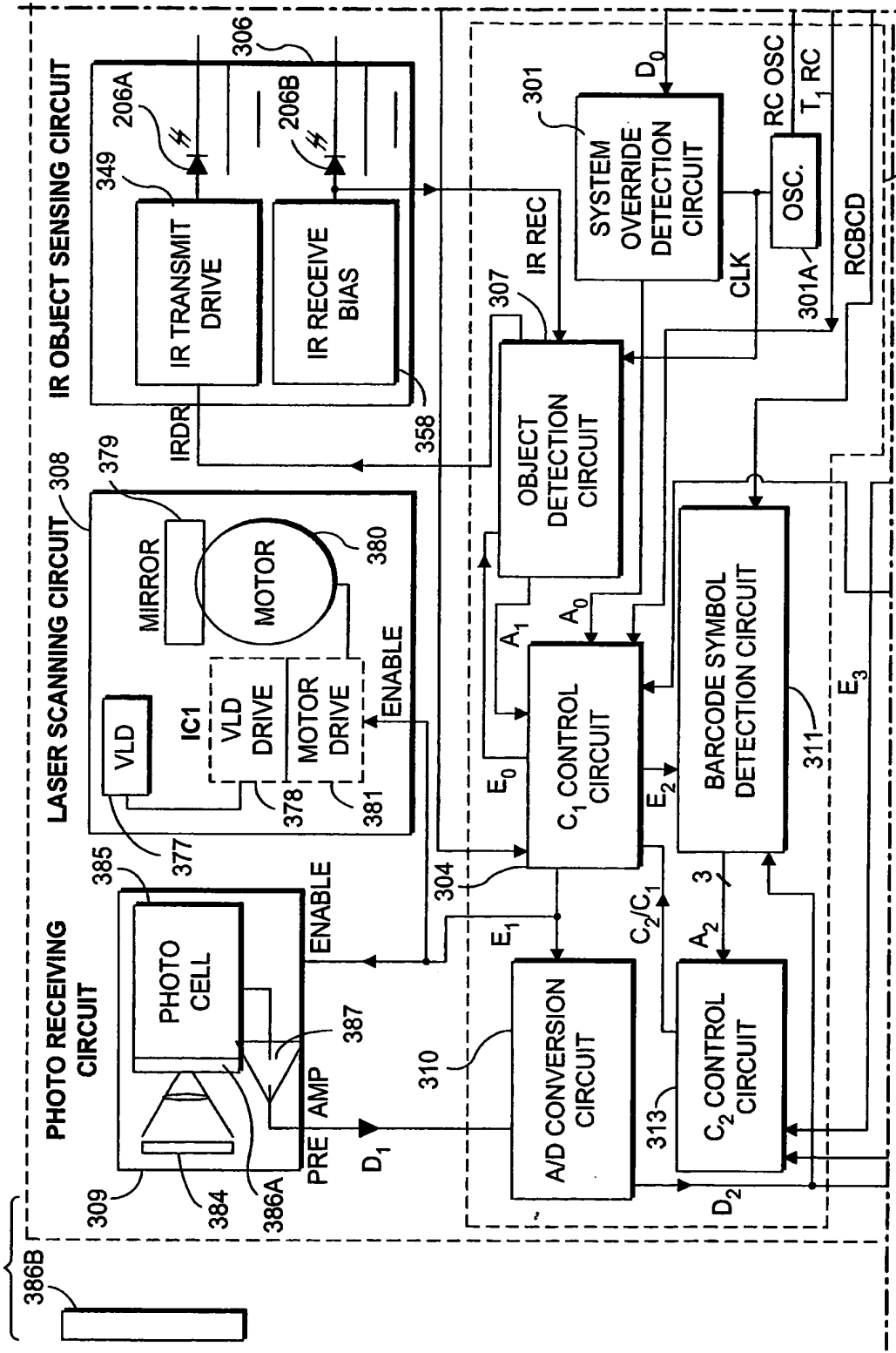


FIG. 45A1

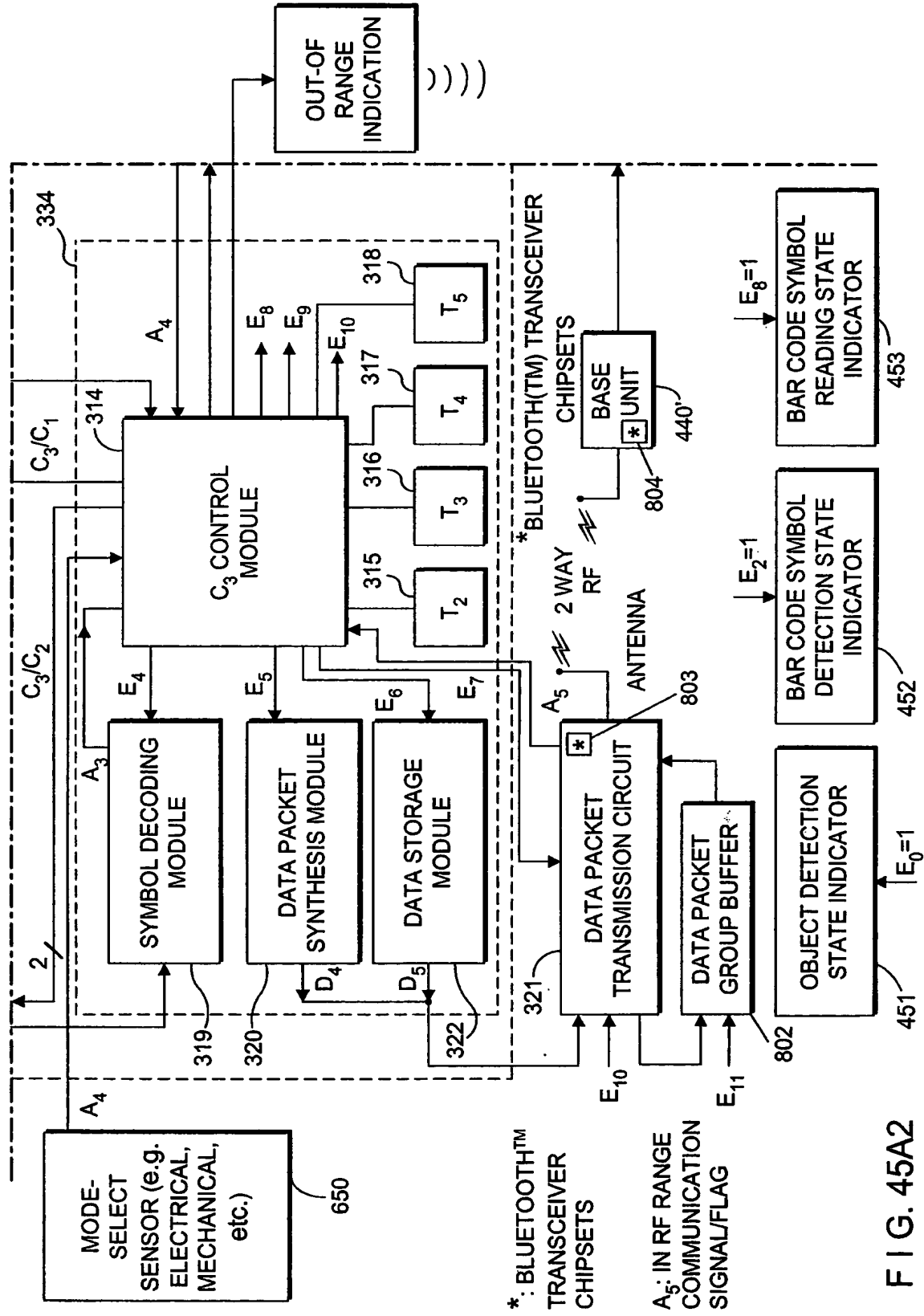


FIG. 45A2

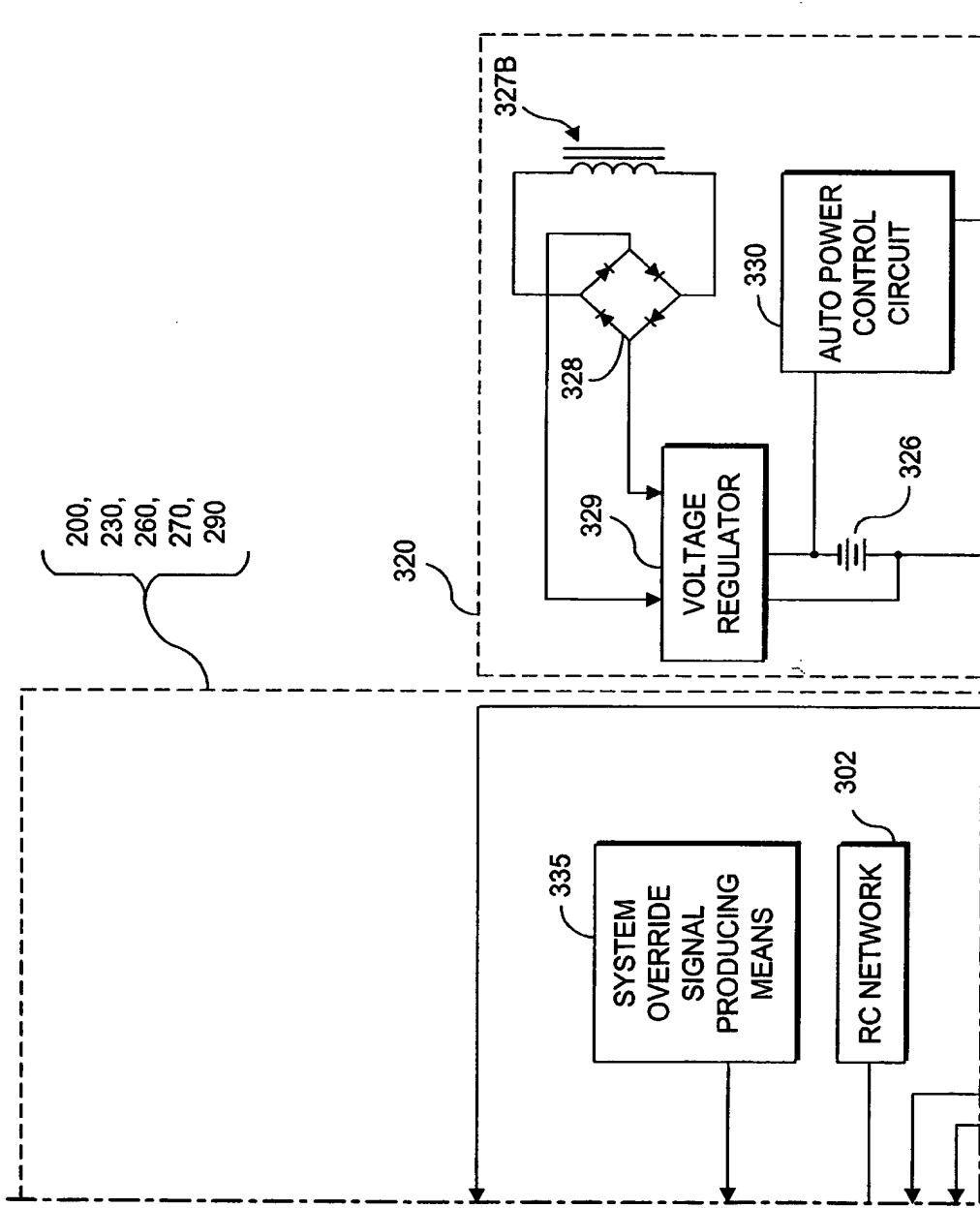


FIG. 45A3

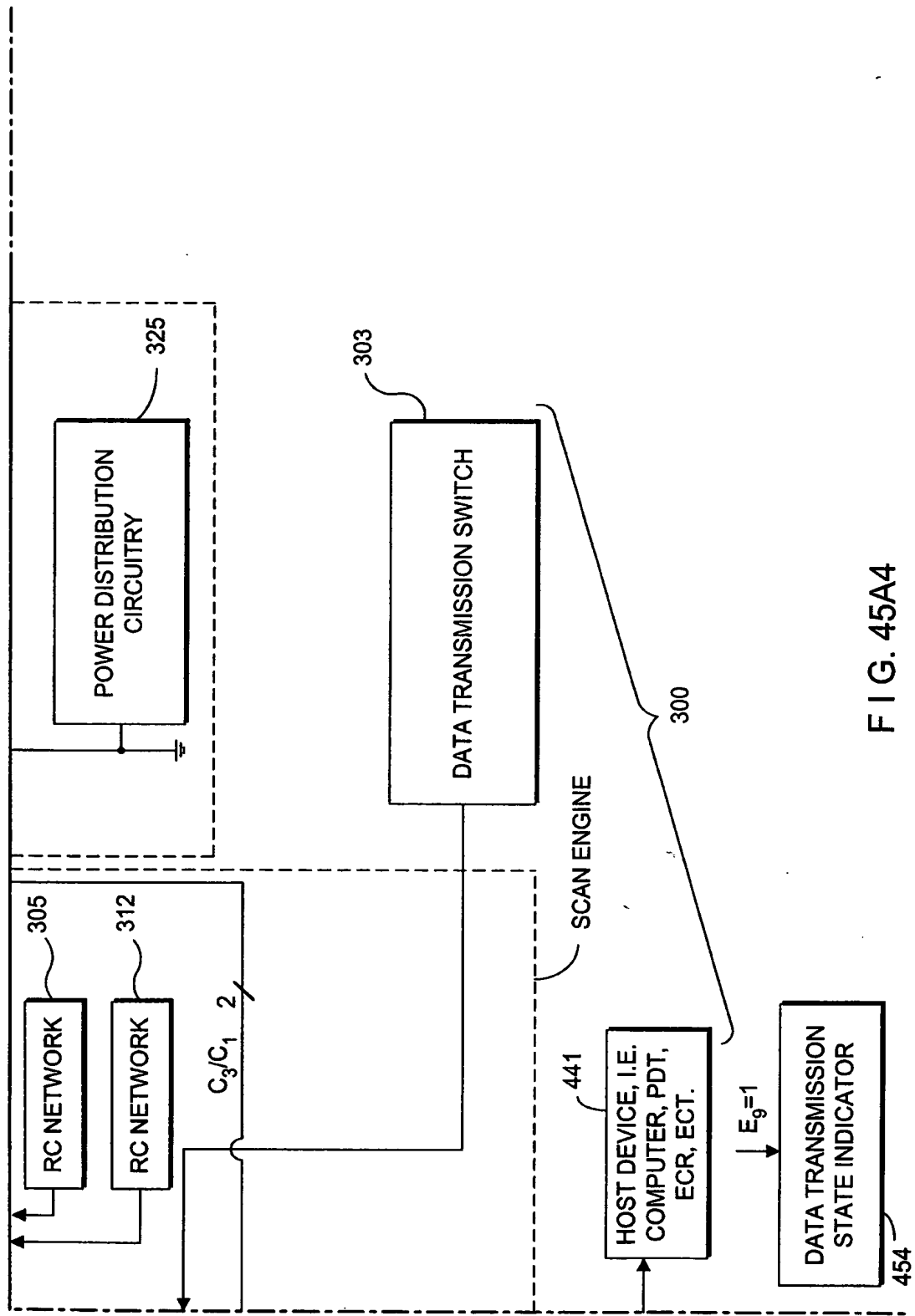


FIG. 45A4

"Direct-Contact Charge Technique"

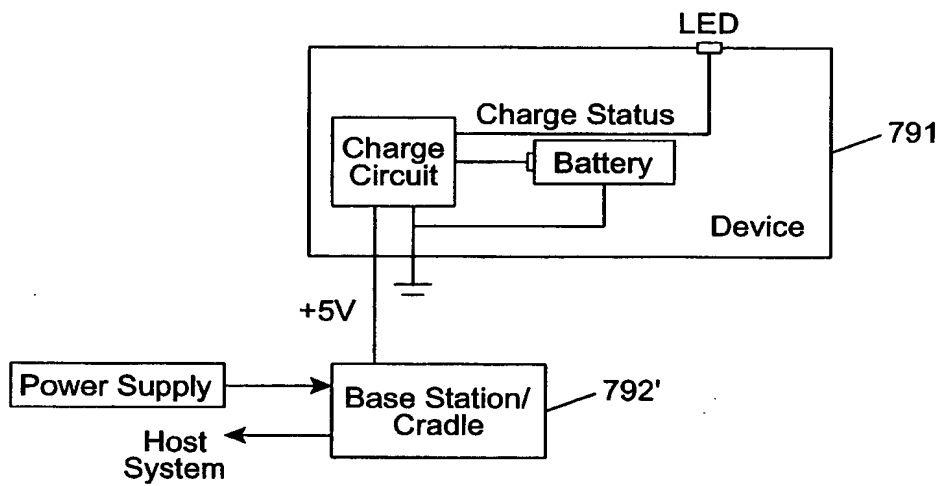


FIG. 45B

# DATA PACKET TRANSMISSION VIA 2-WAY RF WITH AUTOMATIC RF-RANGE DEPENDENT CONTROL

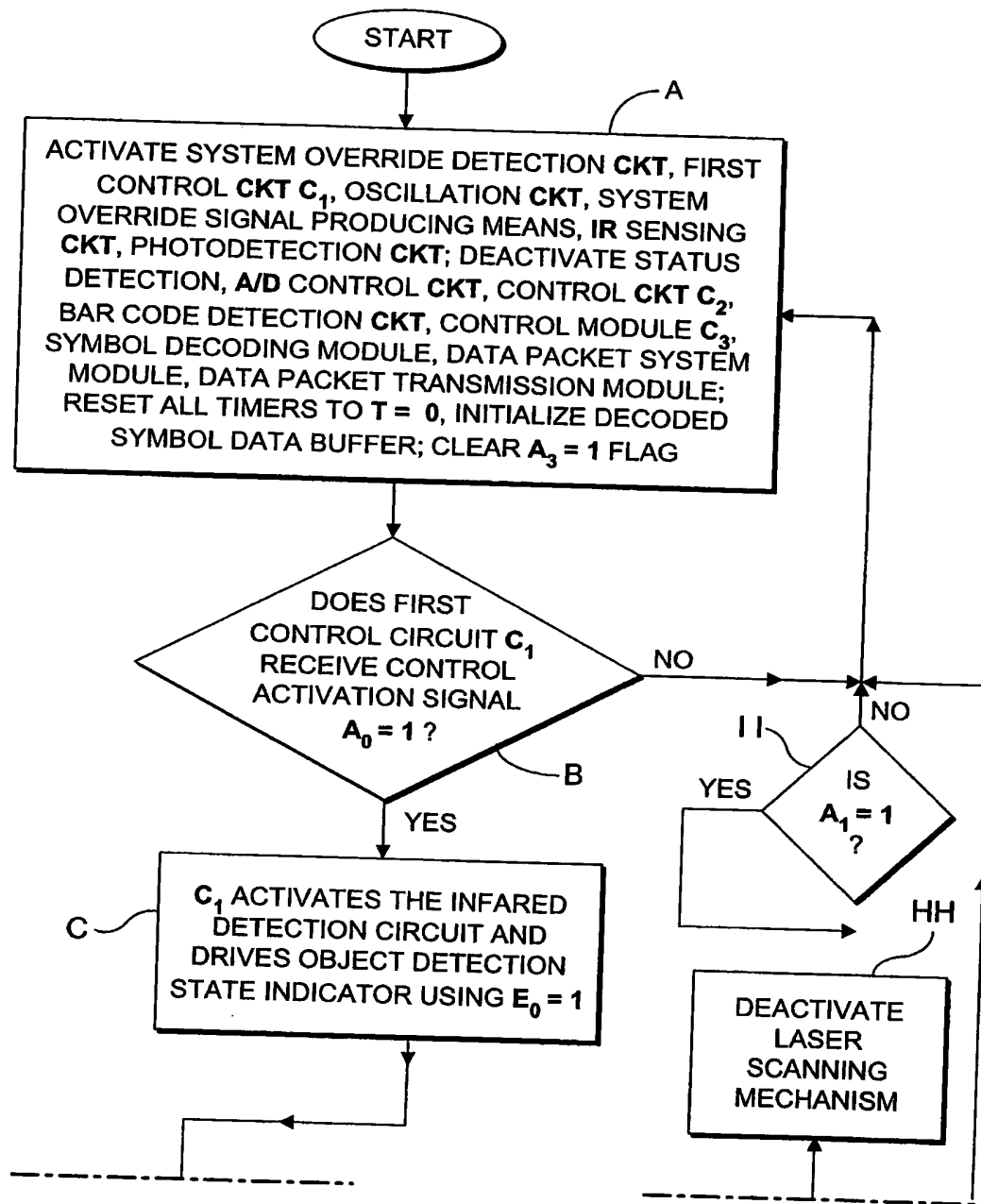


FIG. 46A1

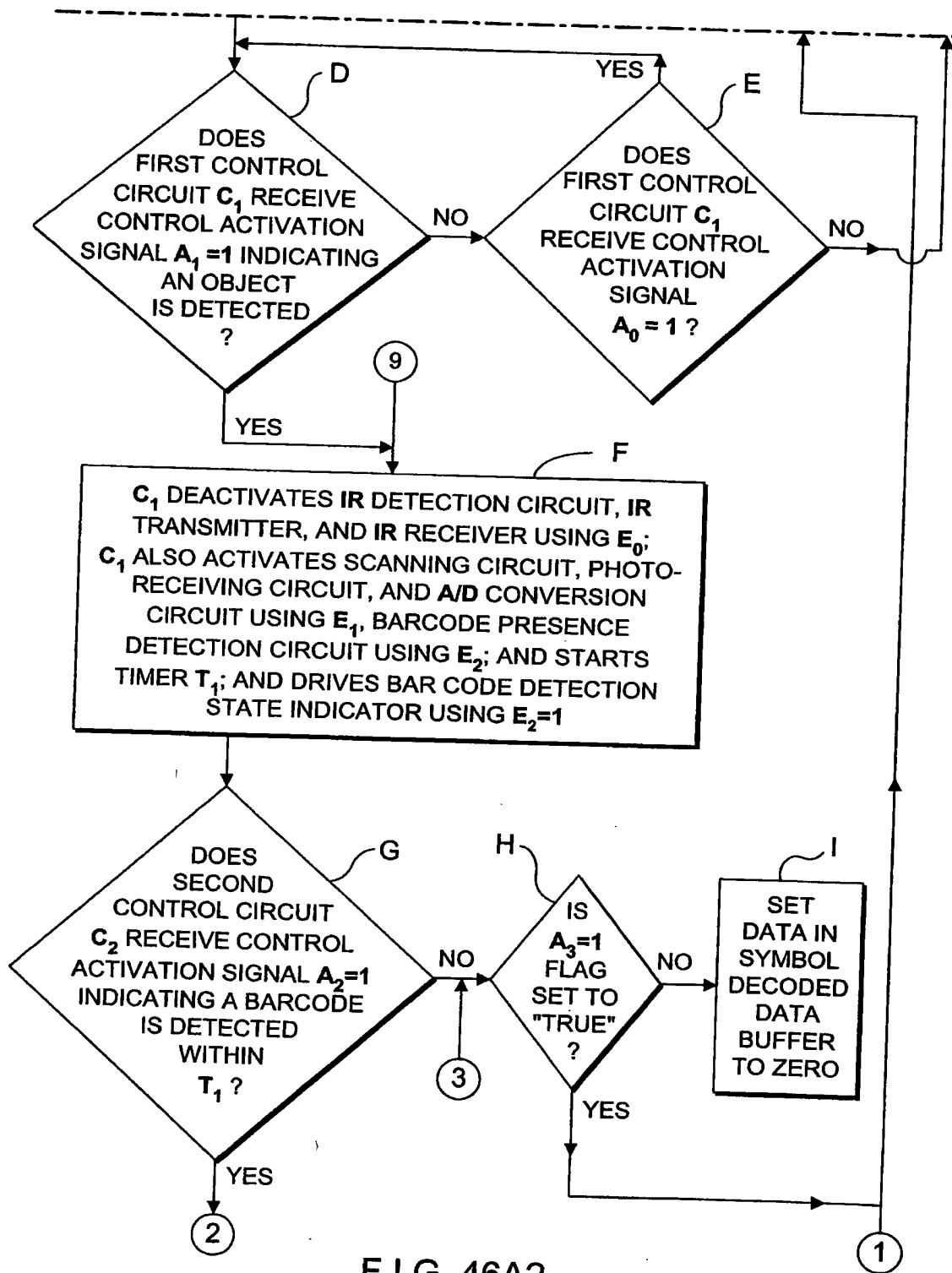


FIG. 46A2

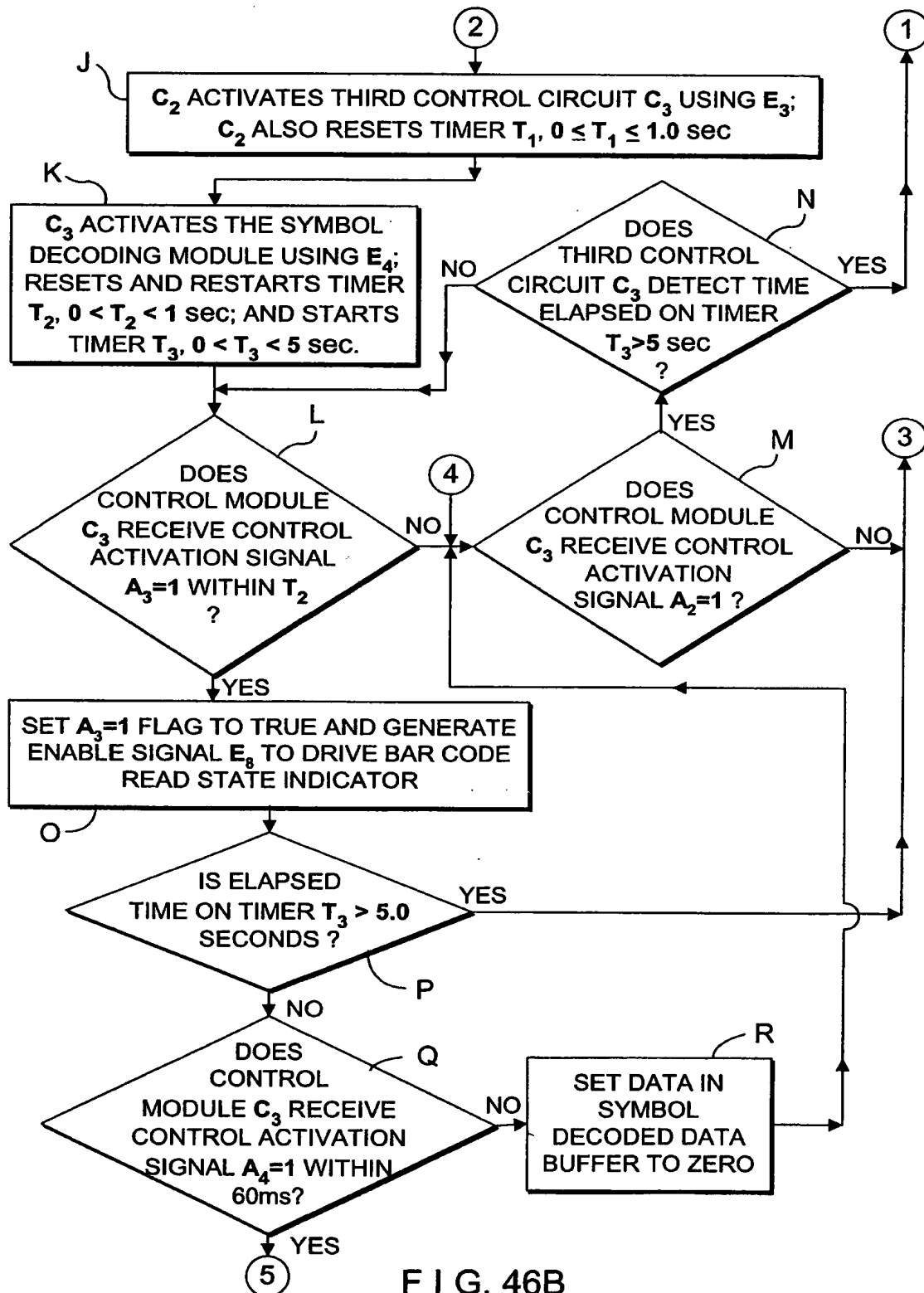


FIG. 46B

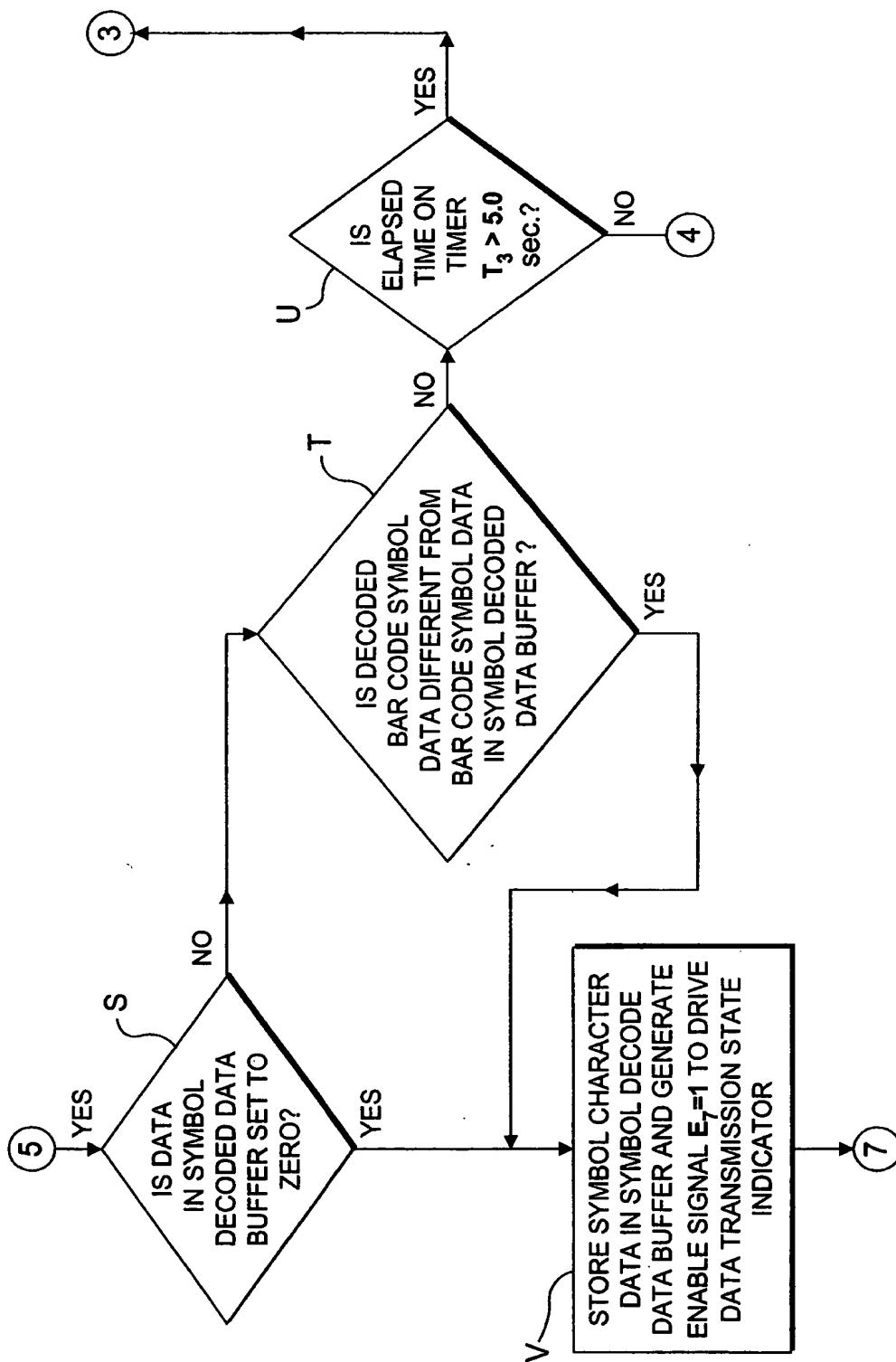


FIG. 46C1

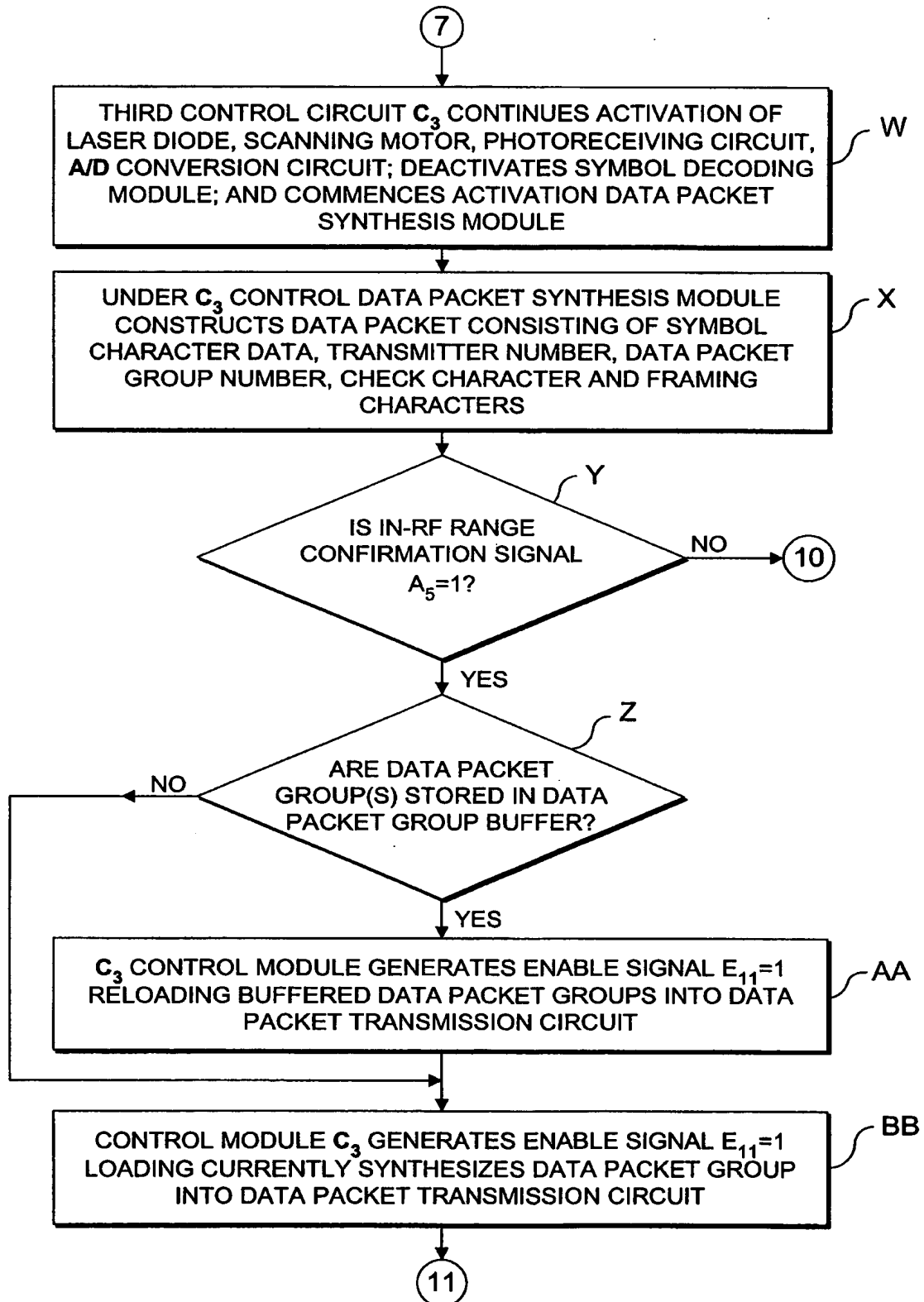


FIG. 46C2

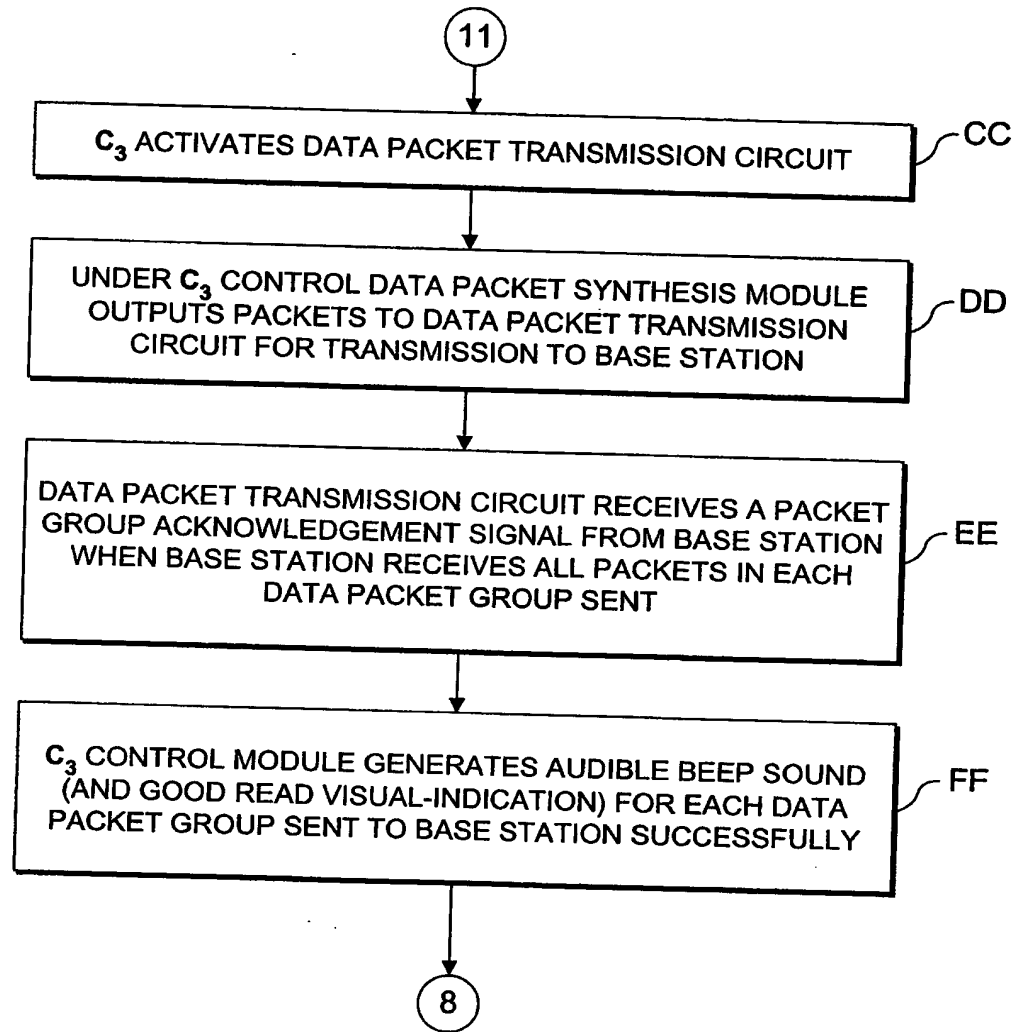


FIG. 46C3

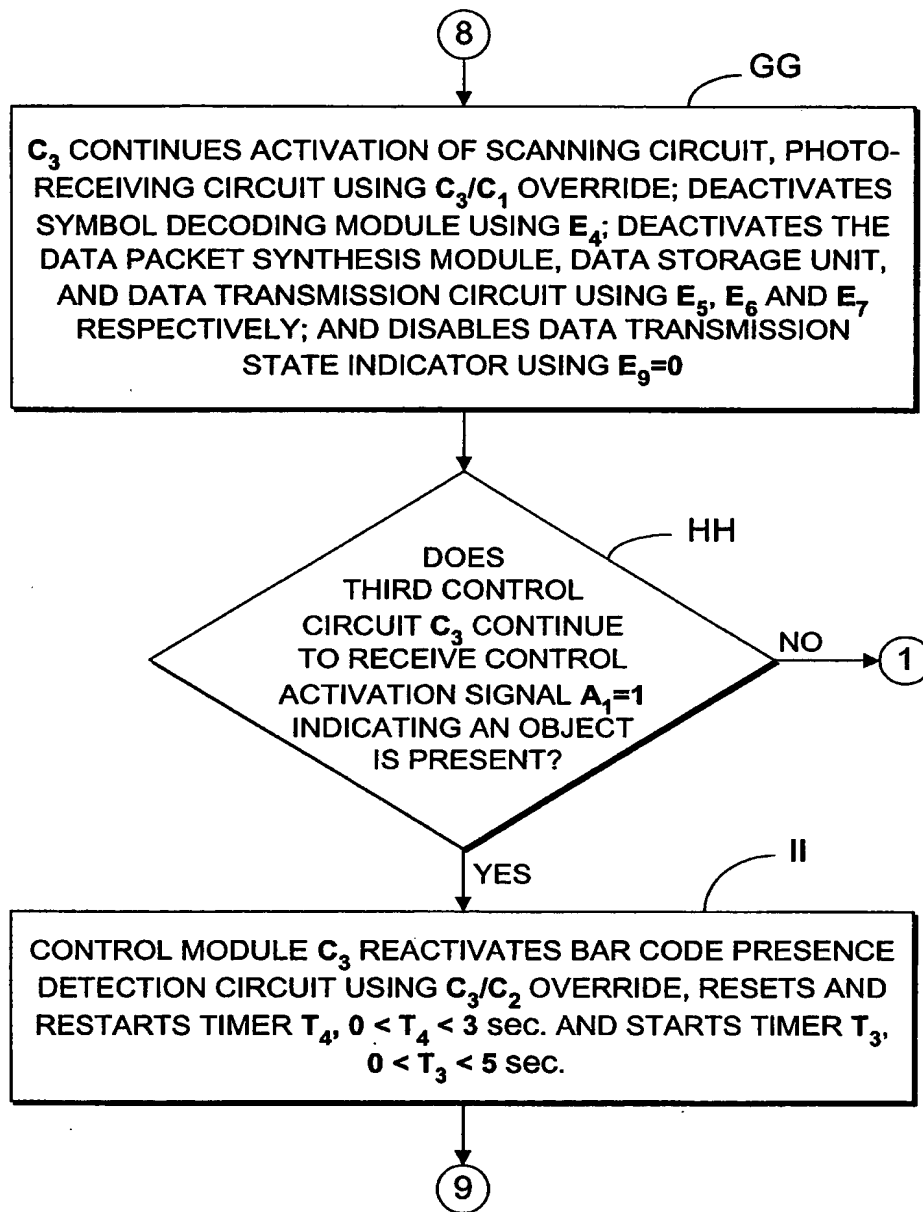


FIG. 46C4

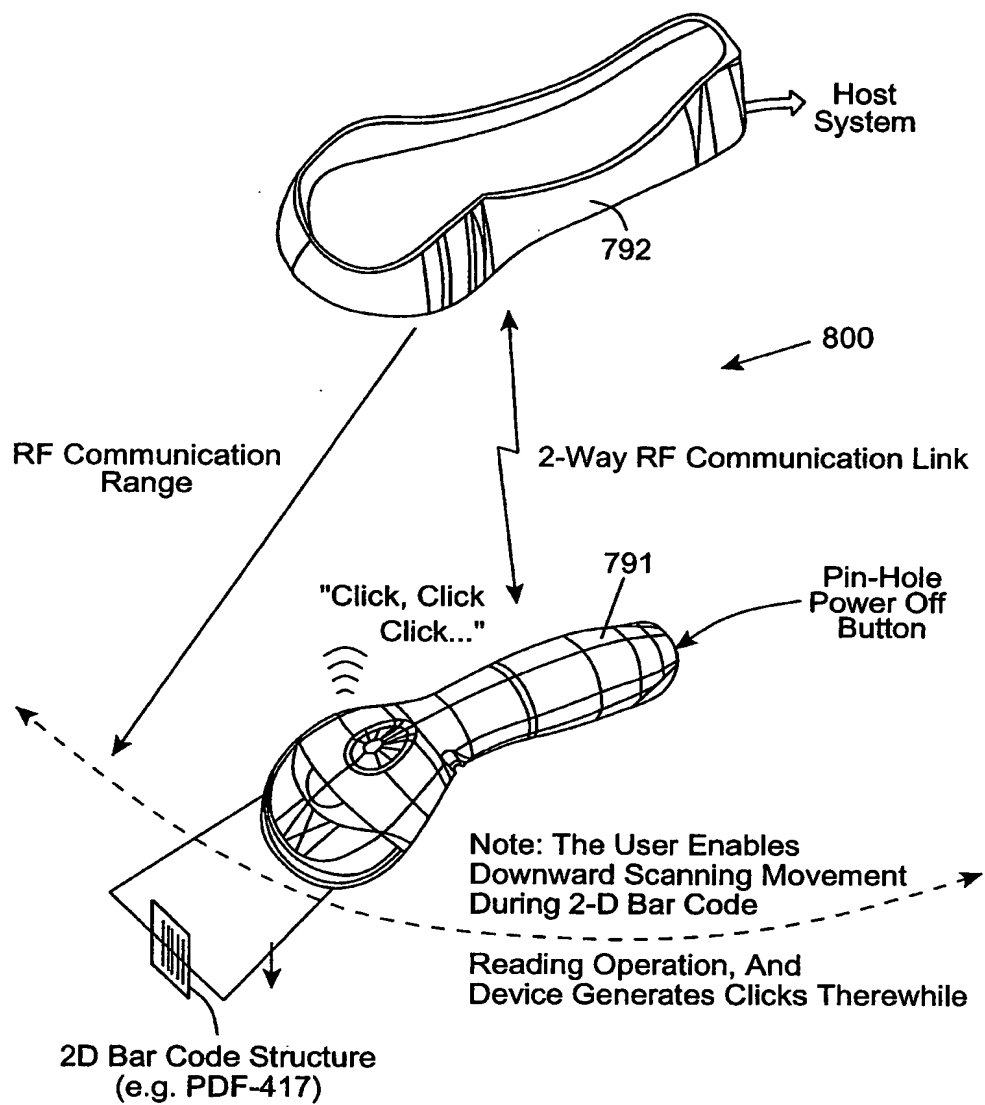


FIG. 47

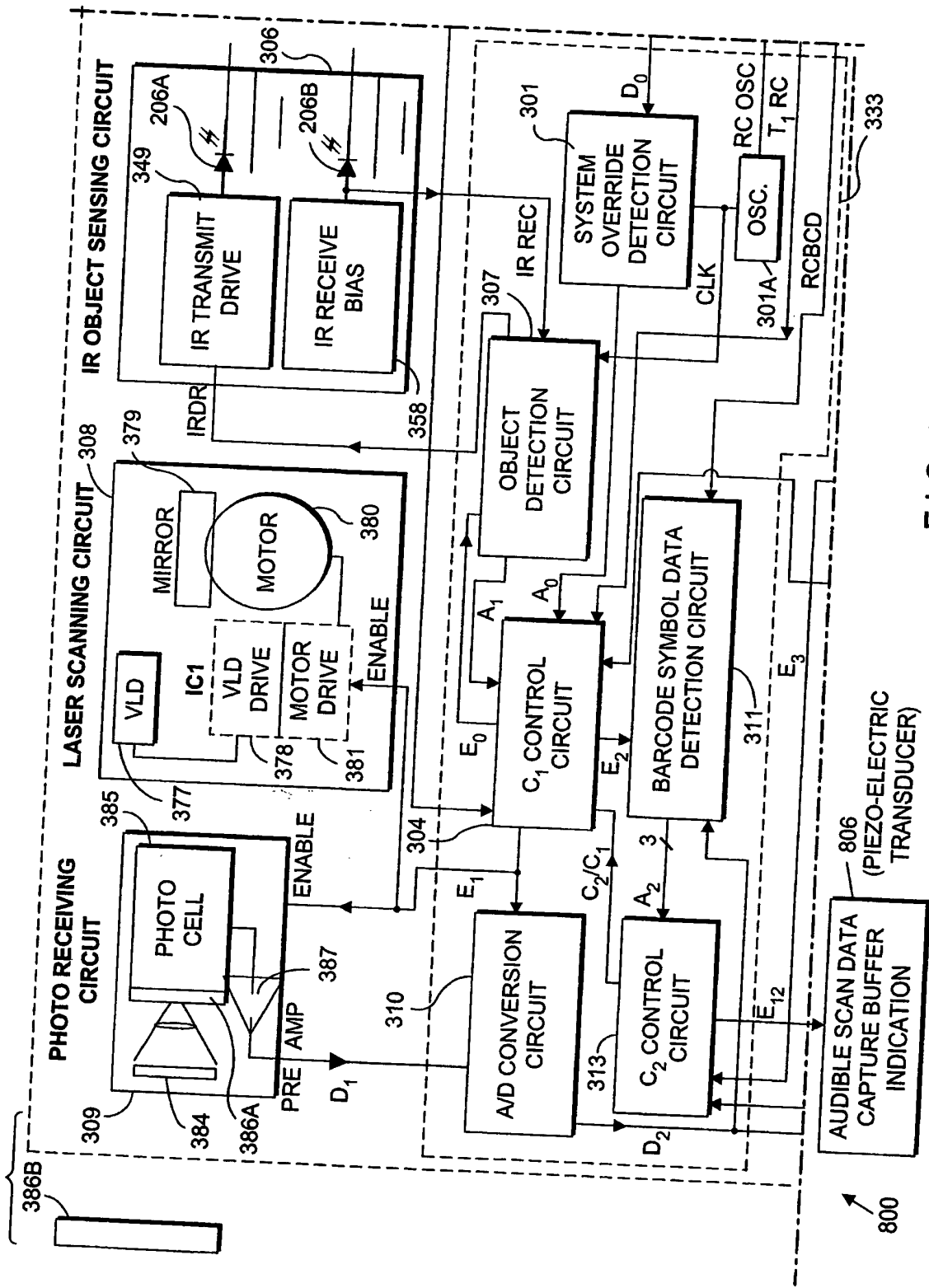


FIG. 47A1

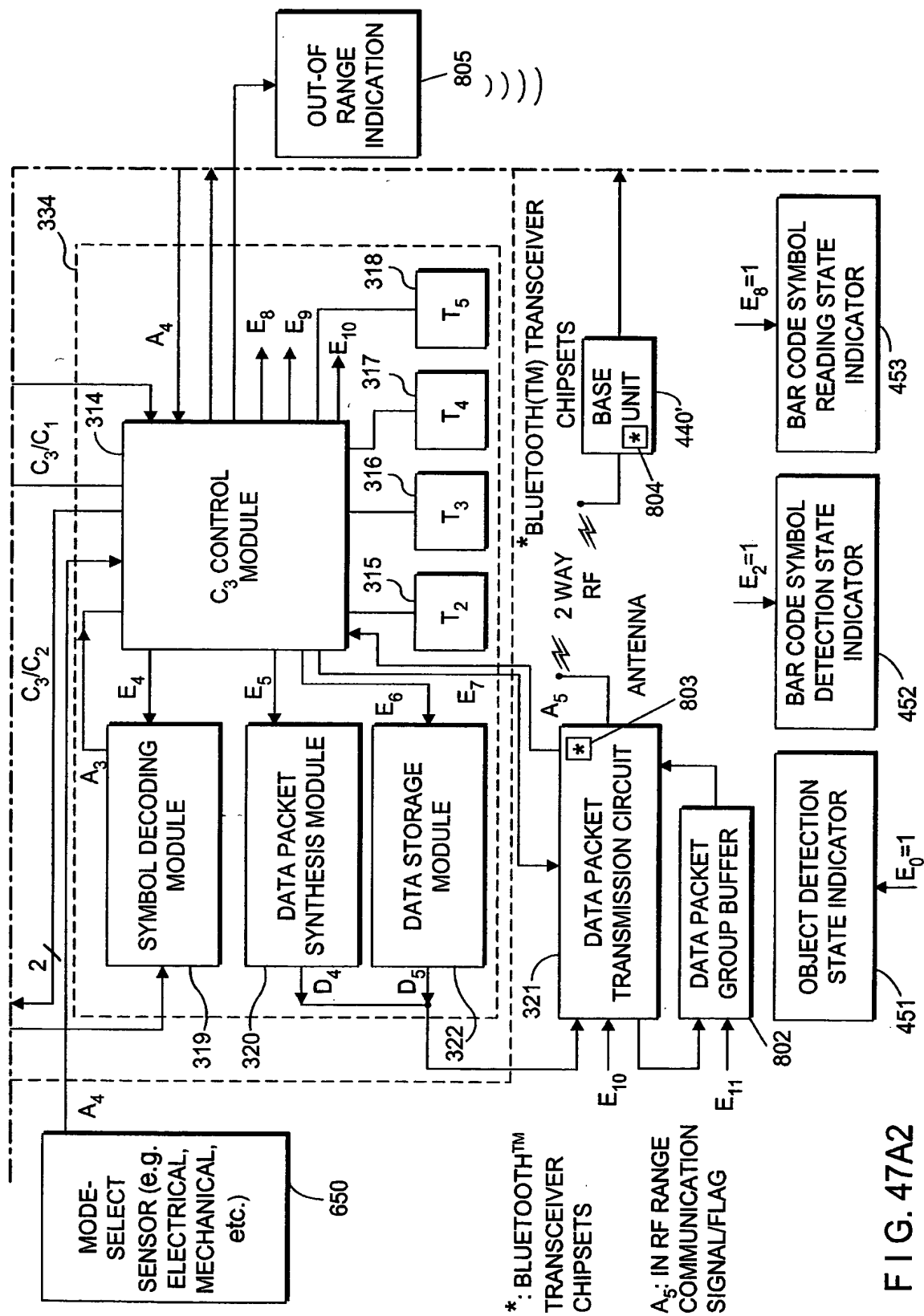


FIG. 47A2

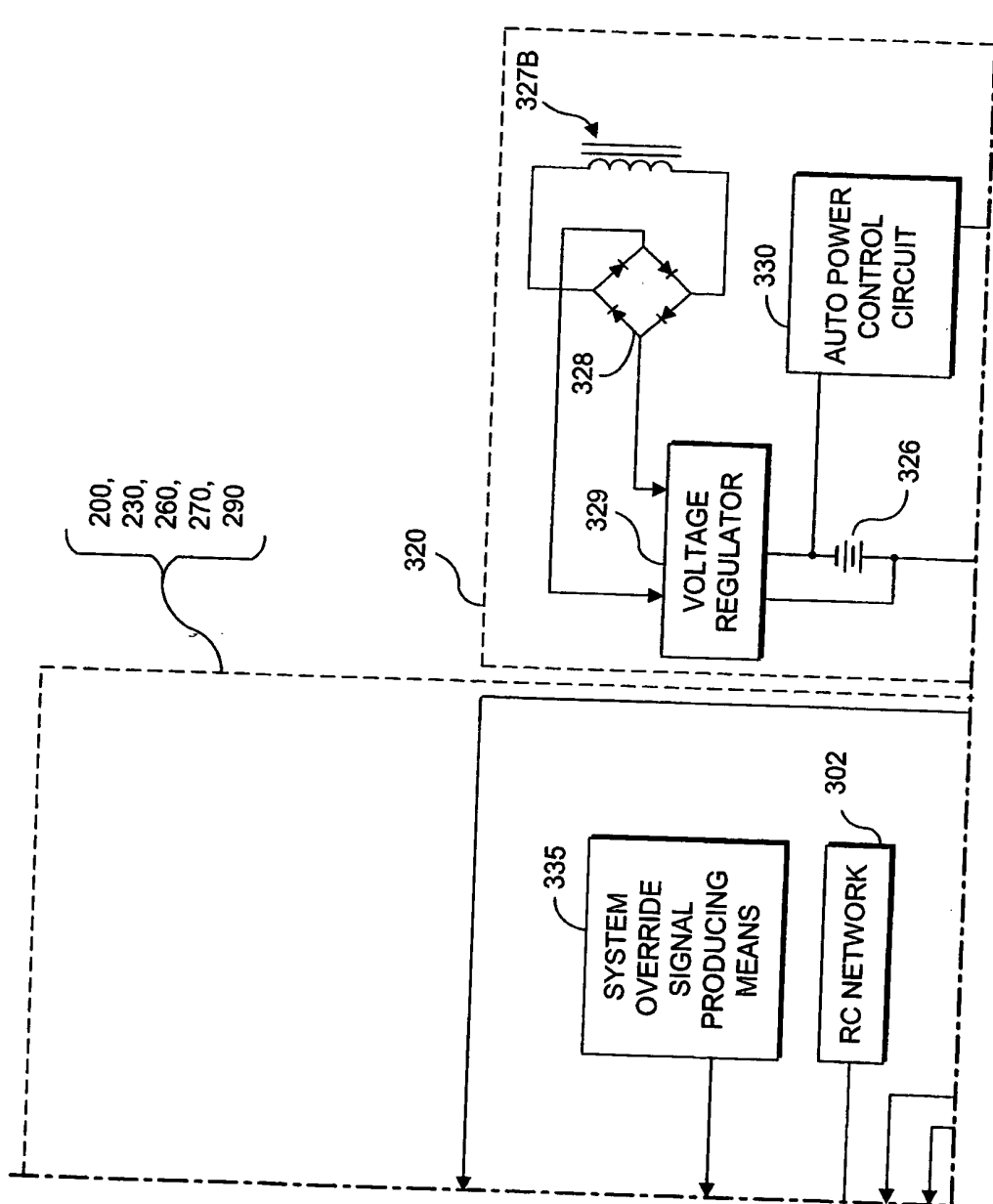
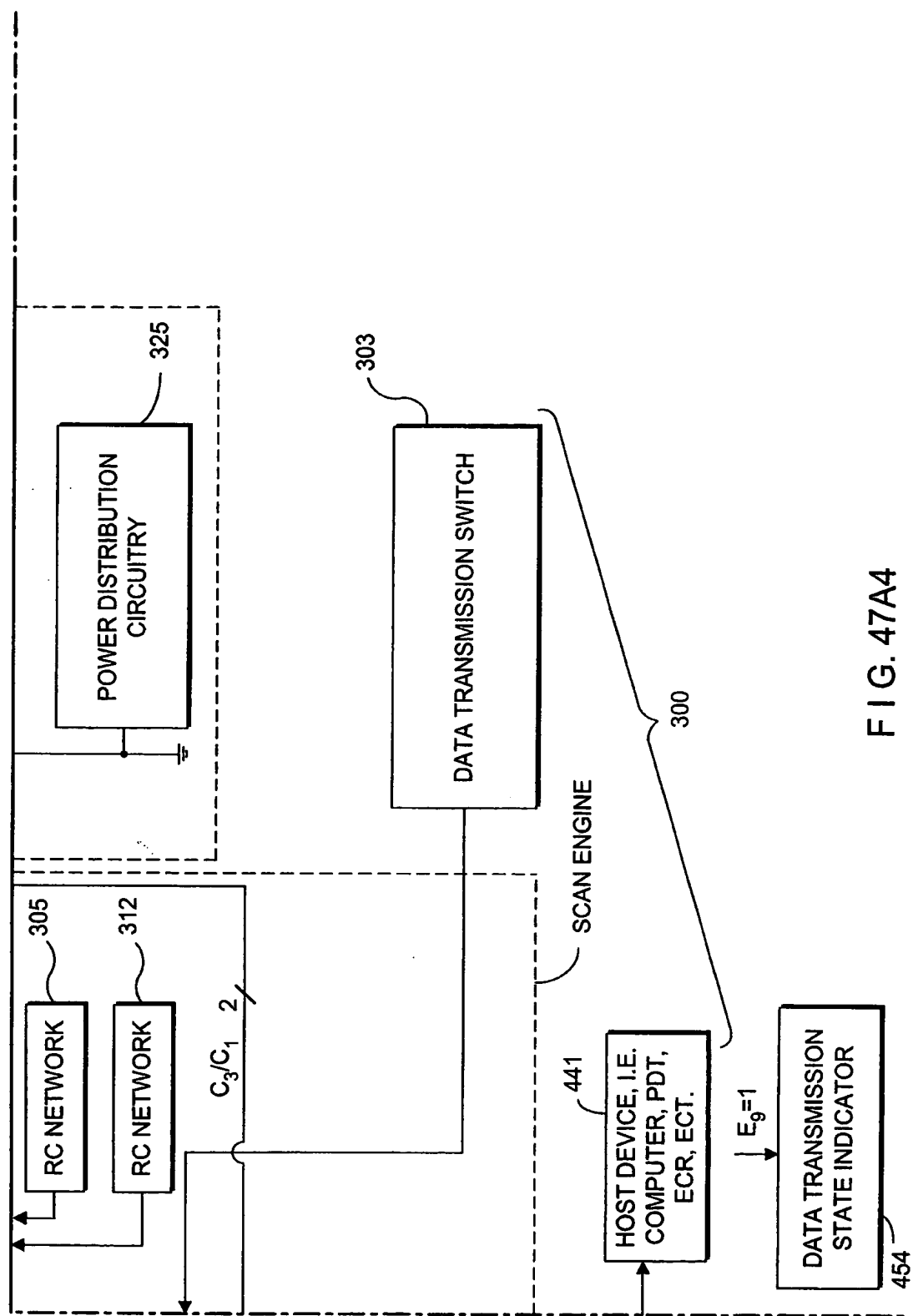


FIG. 47A3



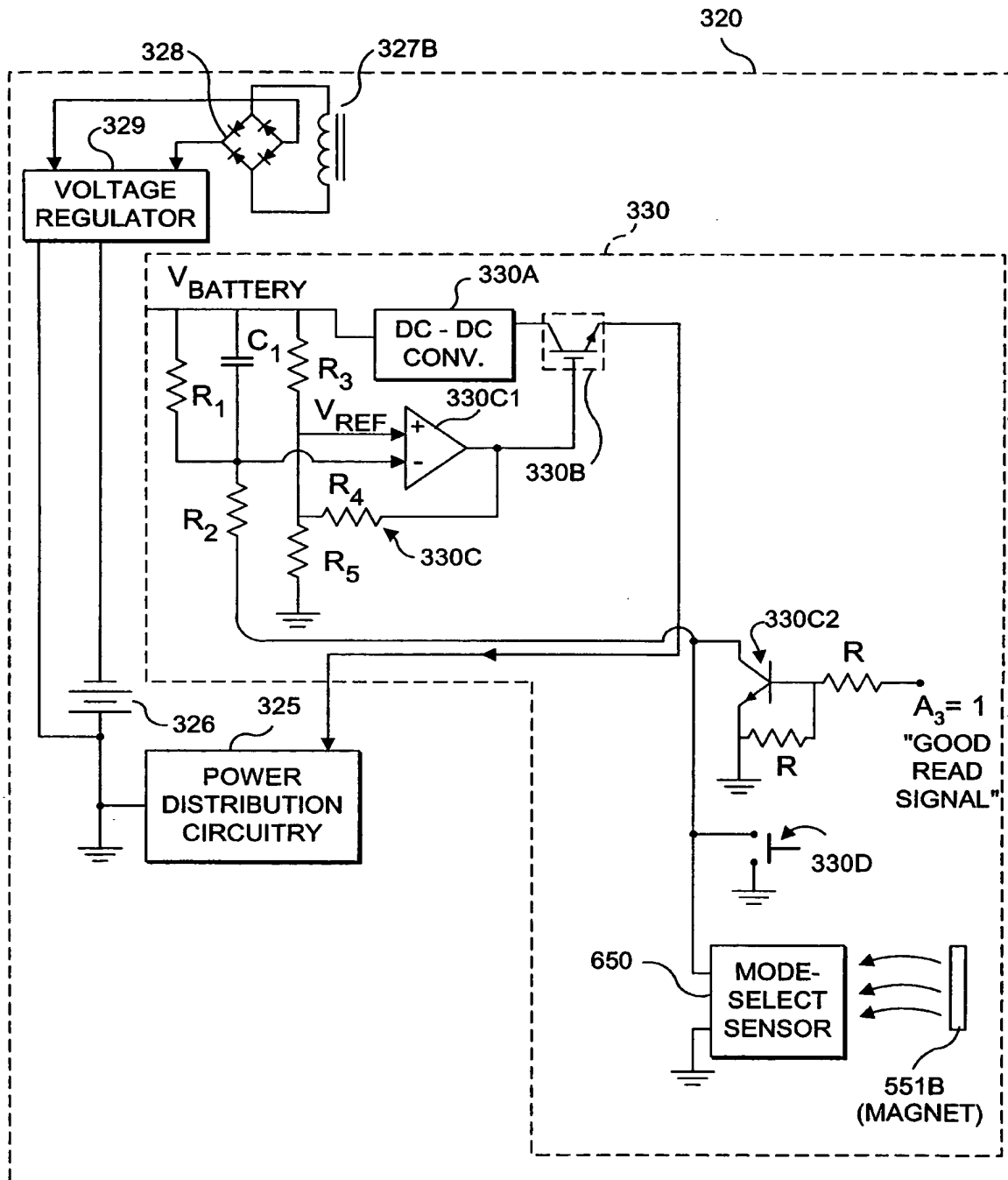


FIG. 47B

PDF DATA PACKET TRANSMISSION VIA 2-WAY RF WITH  
AUTOMATIC RF-RANGE DEPENDENT CONTROL  
(2-D READING MODE)

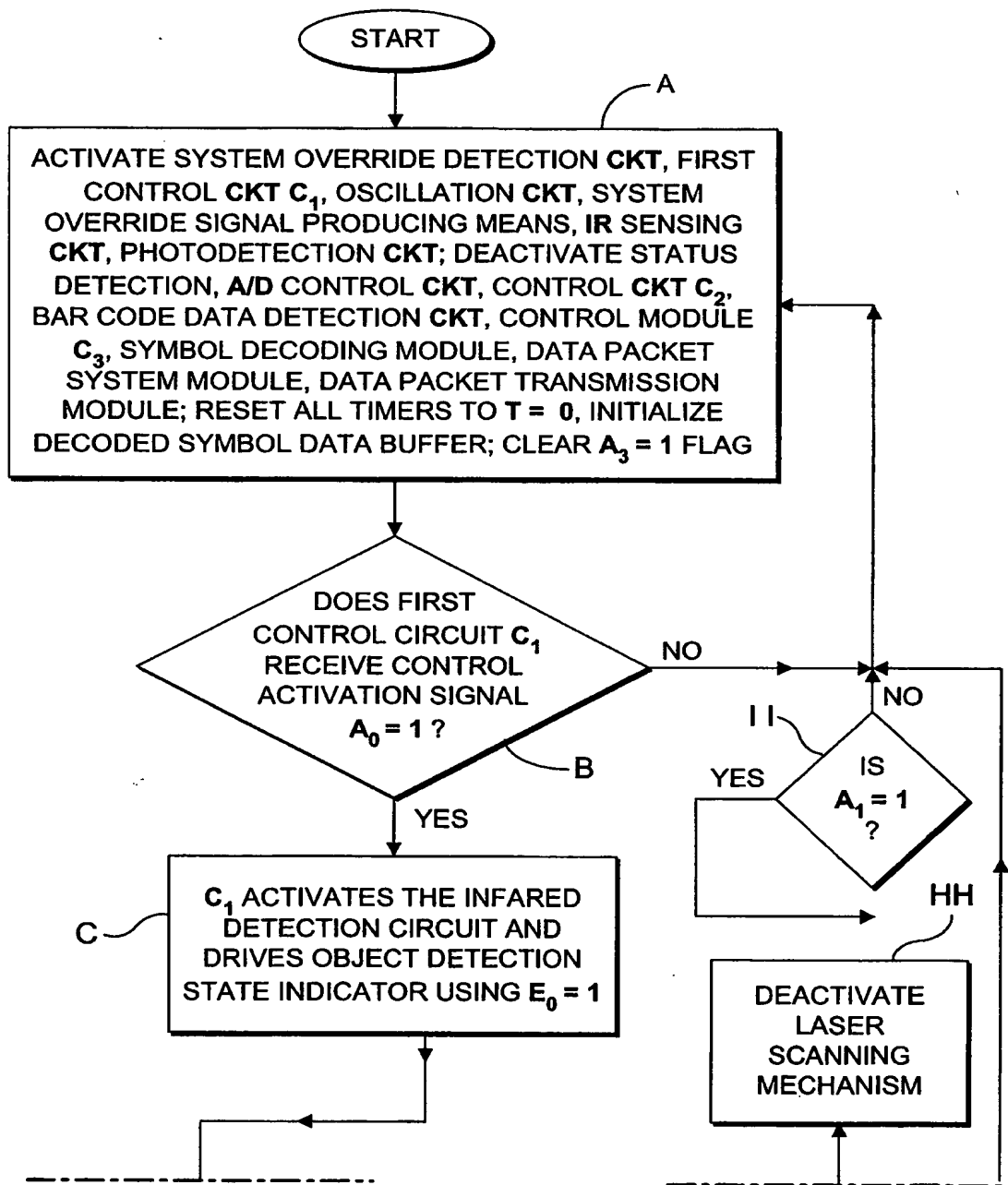


FIG. 48A1

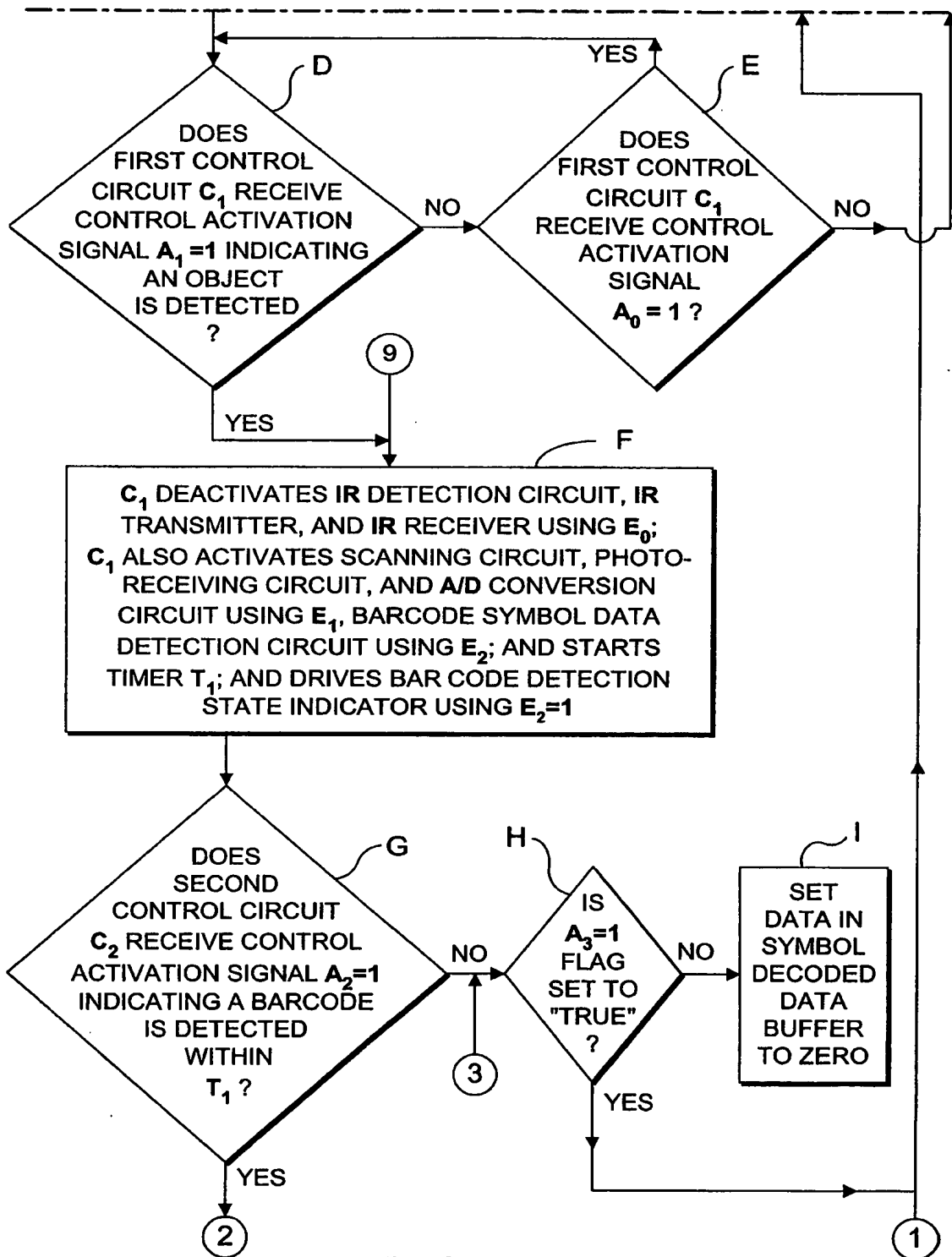


FIG. 48A2

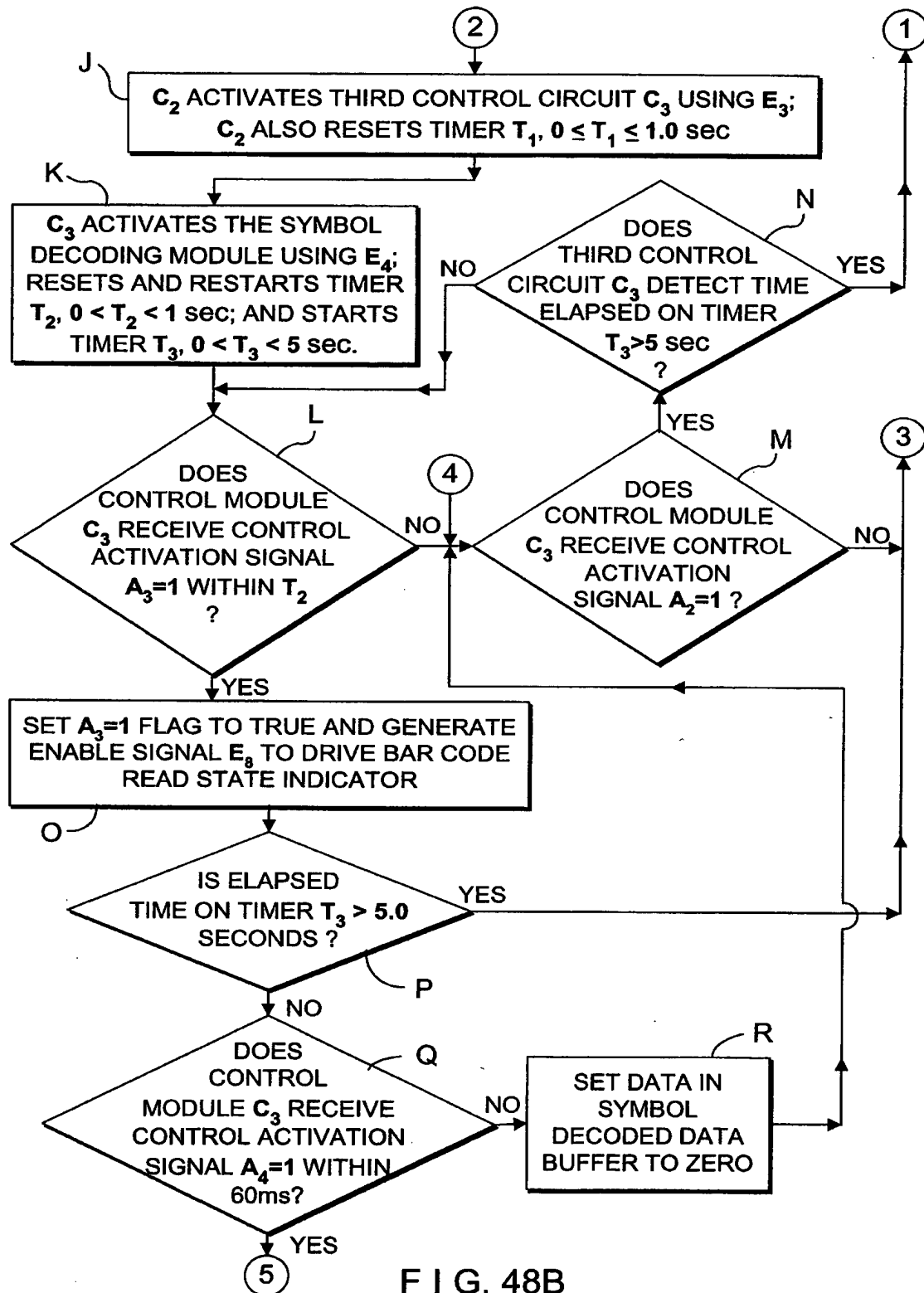


FIG. 48B

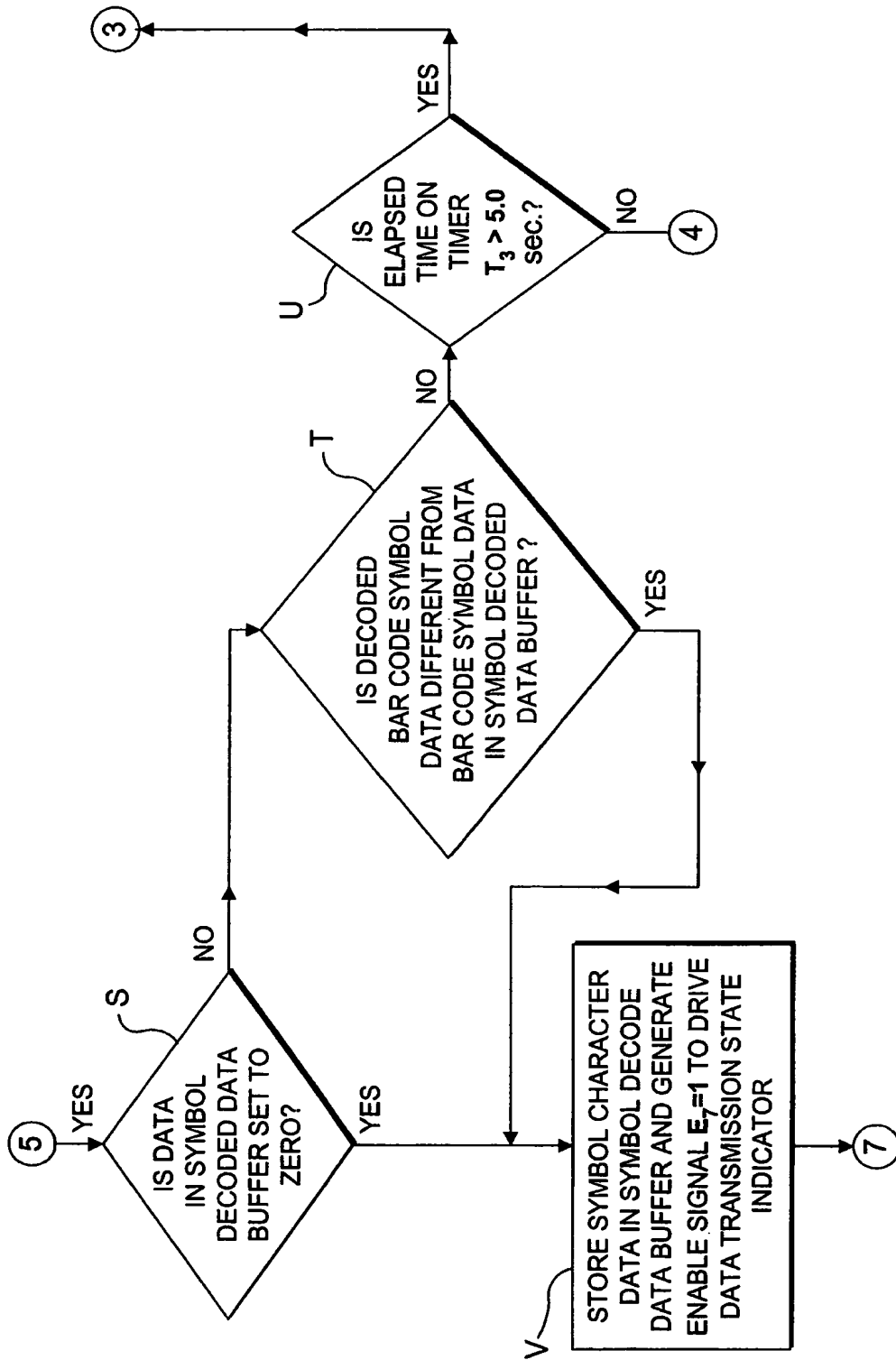


FIG. 48C1

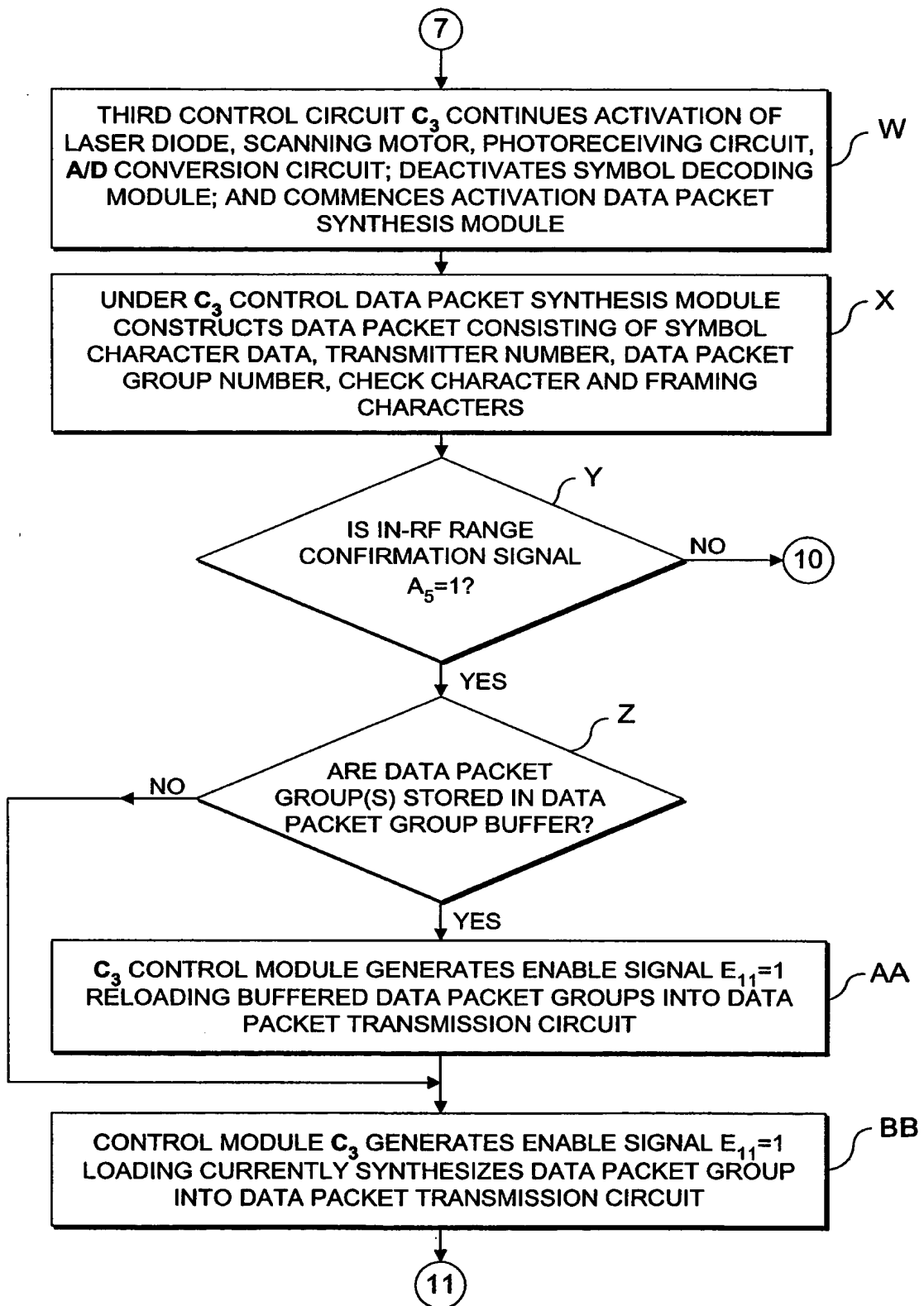


FIG. 48C2

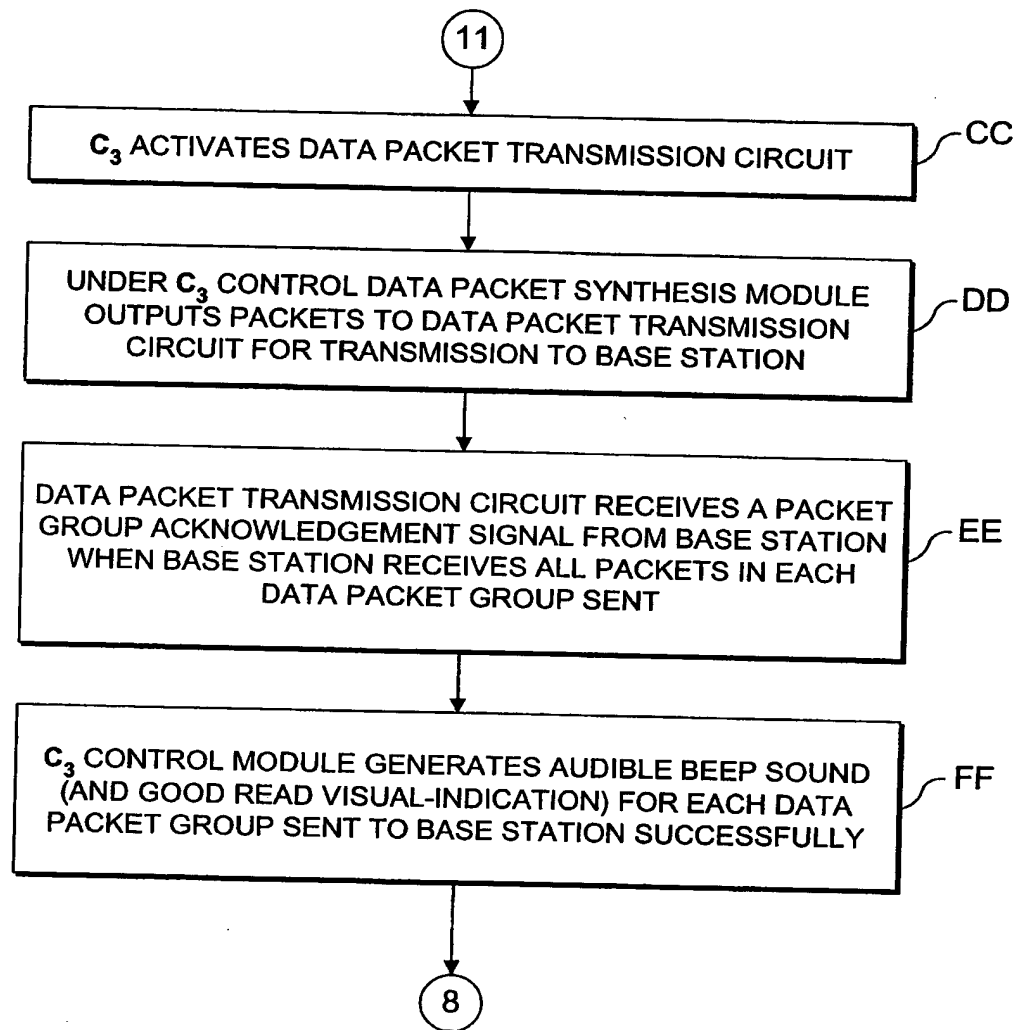


FIG. 48C3

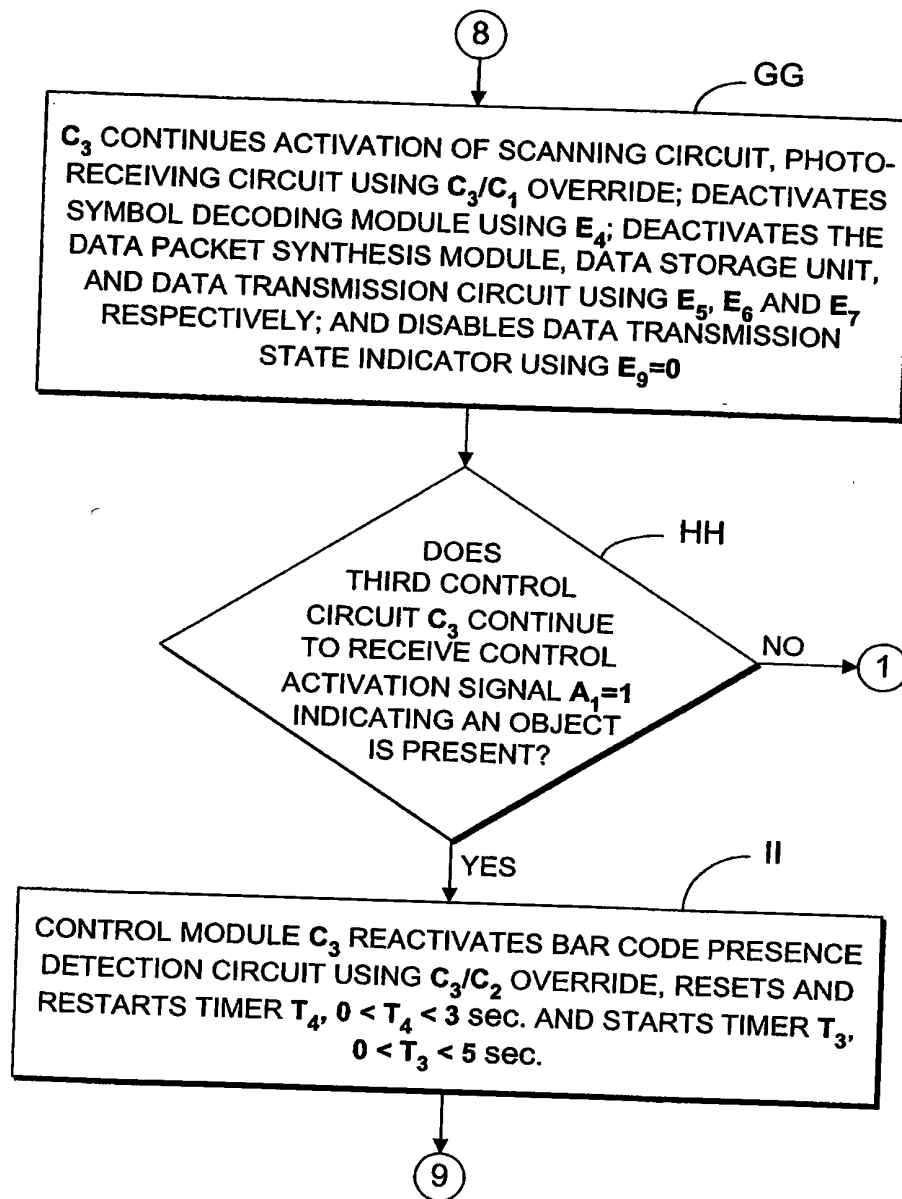


FIG. 48C4